

การปรับปรุงคุณภาพเชือเพลิงอัดเม็ดจากตะกอนพลาสติกผสมชีวมวล  
โดยใช้การทอริแฟคชัน



วิทยานิพนธ์เสนอบัณฑิตวิทยาลัย มหาวิทยาลัยนเรศวร เพื่อเป็นส่วนหนึ่งของการศึกษา  
หลักสูตรปริญญาวิทยาศาสตร์ธรรมชาติ  
สาขาวิชาวิทยาศาสตร์สิ่งแวดล้อม  
พฤษภาคม 2562  
ลิขสิทธิ์เป็นของมหาวิทยาลัยนเรศวร

วิทยานิพนธ์ เรื่อง “การปรับปรุงคุณภาพเชือเพลิงอัดเม็ดจากตะกอนเพลาสติกผสมชีวมวล  
โดยใช้การหอริแฟคชัน”

## ของ นางสาว รัตนาภรณ์ พันธุรัตน์

ได้รับการพิจารณาให้รับเป็นส่วนหนึ่งของการศึกษาตามหลักสูตร  
ปริญญาวิทยาศาสตร์บัณฑิต สาขาวิทยาศาสตร์สิ่งแวดล้อม

## คณะกรรมการสอบวิทยานิพนธ์

## ..ประชานักเรียนการสอนวิทยานิพนธ์

(ดร.คณิต มนัสธรวง)

## ..ประชานที่ปรึกษาวิทยานิพนธ์

## (ទ.អូរករណ សម្រាកសមាម)

## การรวมการที่บ่อกำหนดวิทยานิพนธ์

(ផ្សេងៗរបស់ទារាជារី លោក គិនុ ជិនតានុកម្ម)

## การรวมการที่บ่อกำชุมวิทยานิพนธ์

(ดร.ชาญยุทธ กฤตสุนันท์กุล)

## การ暮การผู้ทรงคุณวุฒิภายใน

(ผู้ช่วยศาสตราจารย์ ดร.ชนินทร์ อัมพรสิริ)

ପ୍ରମାଣି

(ศาสตราจารย์ ดร.ไพบูล มุณีสว่าง)

คณบดีบ้านศิริวิทยาลัย

23 Jan 2562

## ประกาศคุณปการ

ผู้วิจัยขอกราบขอบพระคุณเป็นอย่างสูงในความกรุณาของ ดร.อุกฤษ สมัครสาโน ประธานที่ปรึกษาวิทยานิพนธ์ ที่ได้สละเวลาอันมีค่ามาเป็นที่ปรึกษา พร้อมทั้งให้คำแนะนำต่อติดต่อระยะเวลาในการทำวิทยานิพนธ์ฉบับนี้ และขอกราบขอบพระคุณคณะกรรมการวิทยานิพนธ์อันประกอบไปด้วย ผู้ช่วยศาสตราจารย์ ดร.ศิรินุช จินดารักษ์ และ ดร.ชาญยุทธ กฤตสุนันท์กุล กรรมการที่ปรึกษาวิทยานิพนธ์ ดร.คณิต มนະอุรุ ประธานกรรมการ และผู้ช่วยศาสตราจารย์ ดร.ชนินทร์ อัมพรสิริ กรรมการผู้ทรงคุณวุฒิ ที่ได้กรุณาให้คำแนะนำต่อติดต่อจนแก้ไขข้อบกพร่องของวิทยานิพนธ์ด้วยความเอาใจใส่ จนทำให้วิทยานิพนธ์ฉบับนี้สำเร็จลุล่วงได้อย่างสมบูรณ์และทรงคุณค่า

กราบขอบพระคุณ ผู้ช่วยศาสตราจารย์ กิตติกร สาสุจิตร์ และ ศุภิญวิจัยพลังงานและวิทยาลัยพลังงานทดแทนมหาวิทยาลัยแม่โจ้ จังหวัดเชียงใหม่ที่อนุเคราะห์เครื่องมือและอุปกรณ์ในการอัดเม็ดเชื้อเพลิง บริษัท เบลตัน อินดัสเตรียล (ประเทศไทย) จำกัด ที่ให้ความอนุเคราะห์ วิเคราะห์ข้อมูลการปั้นเปื้อนคลอไรด์ในเชื้อเพลิงอัดเม็ด การสนับสนุนจากการวิจัย ทุนอุดหนุนการวิจัยระดับบัณฑิตศึกษา มหาวิทยาลัยนเรศวร ประจำปีงบประมาณ พ.ศ.2561 และได้รับทุนอุดหนุนการวิจัยจากกองทุนเพื่อส่งเสริมการอนุรักษ์พลังงาน ประจำปีงบประมาณ 2561 สำหรับการทำการวิจัยในครั้งนี้

เนื่อสืบอื่นใดขอกราบขอบพระคุณ บิดา มาตรฐานและครอบครัว ของผู้วิจัยที่ให้กำลังใจ และให้การสนับสนุนในทุกๆ ด้านอย่างดีที่สุดเสมอมา

คุณค่าและคุณประโยชน์อันเพิ่งจะมีจากวิทยานิพนธ์ฉบับนี้ ผู้วิจัยขอขอบพระคุณและอุทิศแด่ผู้มีพระคุณทุกๆ ท่าน ผู้วิจัยหวังเป็นอย่างยิ่งว่า งานวิจัยนี้จะเป็นประโยชน์ต่อการพัฒนาเชื้อเพลิง อัดเม็ดเพื่อให้เป็นเชื้อเพลิงทดแทนในประเทศไทยและผู้ที่สนใจนำไปกันน้อย

รัตนภรณ์ พันธุรัตน์

<b>ชื่อเรื่อง</b>	การปรับปรุงคุณภาพเชือกเพลิงอัดเม็ดจากตะกอนพลาสติกผสม ชีวมวลโดยใช้การหอริแฟคชัน
<b>ผู้จัด</b>	รัตนภรณ์ พันธุรัตน์
<b>ประธานที่ปรึกษา</b>	ดร.อุกฤษ สมัครสมาน
<b>กรรมการที่ปรึกษา</b>	ผู้ช่วยศาสตราจารย์ ดร.ศิรินุช จินดาภักดี ดร.ชาญยุทธ กฤตสุนันท์กุล
<b>ประเภทสารนิพนธ์</b>	วิทยานิพนธ์ ว.ท.ม. สาขาวิชาวิทยาศาสตร์สิ่งแวดล้อม, มหาวิทยาลัยนเรศวร, 2561
<b>คำสำคัญ</b>	หอริแฟคชัน ตะกอนพลาสติก ชีวมวล เชือกเพลิงอัดเม็ด

## บทคัดย่อ

ปัจจุบันขยายจากขาดพลาสติกชนิดพอลิเอทิลีนเทเรฟทาเลต (PET) มีแนวโน้มเพิ่มขึ้น  
เนื่องจากมีปริมาณการใช้เพิ่มขึ้นทุกวัน ถึงแม้จะมีการรีไซเคิลโดยผ่านกระบวนการเชิงกลก็ยังมี  
ปริมาณของเสียจากตะกอนพลาสติกที่ไม่สามารถนำกลับไปใช้ได้อีก การกำจัดแบบผิดวิธีโดย  
ทิ้งรวมกับขยะชุมชนหรือถักลงบนารวมกับขยะชุมชนอาจจะก่อให้เกิดมลพิษทางอากาศ ฝุ่นผง  
และโลหะหนัก และส่งผลกระทบโดยตรงต่อสุขภาพและสิ่งแวดล้อม งานวิจัยนี้มีวัตถุประสงค์เพื่อ  
ศึกษาคุณสมบัติทางกายภาพและเคมีของวัตถุดิบที่เกิดจากการบดย่อยของพลาสติกและชีวมวล  
ทางการเกษตร และเชือกเพลิงอัดเม็ดที่ผลิตได้ เพื่อศึกษาอัตราส่วนที่เหมาะสมของวัตถุดิบ  
ในการผลิตเชือกเพลิงอัดเม็ดและสภาวะที่เหมาะสมในการหอริแฟคชันเชือกเพลิงอัดเม็ด และเพื่อ  
ศึกษาสมบัติเชิงความร้อนของเชือกเพลิงอัดเม็ดที่ผ่านกระบวนการหอริแฟคชันและการทดสอบค่า  
มลพิษที่เกิดขึ้นจากการเผาไหม้ โดยนำของเสียจากตะกอนพลาสติกชนิด PET ผสมชีวมวล ได้แก่  
ชีลีอยไม้สัก (TS) ชีลีอยไม้ยูคาลิปตัส (ES) และชั้งช้าโพเด (CS) มาขีนรูปเป็นเชือกเพลิงอัดเม็ด  
โดยใช้เครื่องอัดแบบไฮดรอลิก และนำมาปรับปรุงคุณภาพโดยการหอริแฟคชัน วัตถุดิบตั้งต้น  
(PET, TS, ES และ CS) จะถูกวิเคราะห์คุณสมบัติทางกายภาพและเคมี และค่าความร้อน จากนั้น  
นำมาทดสอบตามสัดส่วนที่กำหนดและอัดเม็ดด้วยเครื่องไฮดรอลิก เชือกเพลิงอัดเม็ดที่ได้นำไป  
ทดสอบค่าดัชนีความคงทน (DSI) เพื่อเลือกสภาวะการอัดเชือกเพลิงที่เหมาะสมและนำไปสู่การ  
หอริแฟคชันเพื่อเลือกสภาวะการหอริแฟคชันที่เหมาะสมโดยมีค่า DSI ดีที่สุด ซึ่งกำหนดสภาวะใน  
การหอริแฟคชันที่อุณหภูมิ 170 190 225 °C อัตราการไหลของอากาศ 1 4 6 L/min

เวลา 5 10 15 นาที จากนั้นนำเชือกเหล็กอัดเม็ดทึบก่อนและหลังการห่อริแฟคชันไปทดสอบ  
หาคุณสมบัติทางกายภาพ ความร้อน ค่าการปนเปื้อนprotoและคลอร์ไดด์ทดสอบการเผาไหม้  
มลพิษ

จากการศึกษาพบว่าสมบัติทางกายภาพของเชือกเหล็กอัดเม็ดหลังการห่อริแฟคชัน  
มีปริมาณความชื้นลดลงเฉลี่ยร้อยละ 0.07-0.17 และมีปริมาณสารระเหยลดลงเฉลี่ยร้อยละ  
97.66-98.07 ค่าความร้อนของเชือกเหล็กอัดเม็ดทึบก่อนและหลังการห่อริแฟคชันมีค่าความร้อนสูง<sup>ก</sup>  
กว่าหัวตุบดึงต้นประมาณ 21-22 MJ/kg ค่า DSi ของเชือกเหล็กอัดเม็ดหลังการห่อริแฟคชัน  
มีค่ามากกว่าเชือกเหล็กอัดเม็ดก่อนการห่อริแฟคชัน ค่าการปนเปื้อนคลอร์ของเชือกเหล็ก  
หลังการห่อริแฟคชันมีปริมาณลดลง 23.64-33.28 µg/l หรือ 1.09-1.72 µg/MJ ซึ่งการห่อริแฟคชัน  
สามารถกำจัดคลอร์ออกจากเชือกเหล็กอัดเม็ดได้ถึงร้อยละ 26.50-74.23 ค่าการปนเปื้อนprotoใน  
เชือกเหล็กอัดเม็ดทึบก่อนและหลังการห่อริแฟคชันไม่สามารถตรวจพบ การวิเคราะห์ปริมาณก๊าซเสีย<sup>ข</sup>  
ของเชือกเหล็กอัดเม็ดหลังการห่อริแฟคชันมี CO<sub>2</sub> ลดลง มี CO และ NOx เกิดขึ้นจากการเผาไหม้  
หัวนีตรัวไม่พบ SO<sub>2</sub> ส่วนปริมาณก๊าซมลพิษจำพวก 13PAHs และ BTEX การทดสอบในเชือกเหล็ก  
อัดเม็ด PET/TS และ PET/ES หลังการห่อริแฟคชันมีปริมาณความเข้มข้นรวมของ 13PAHs ลดลง  
เฉลี่ย 0.07 และ 0.03 g/m<sup>3</sup> ตามลำดับ ปริมาณความเข้มข้นรวมของ BTEX ตรวจไม่พบ ส่วน  
เชือกเหล็กอัดเม็ด PET/CC หลังการห่อริแฟคชันมีปริมาณความเข้มข้นรวมของ 13PAHs  
ไม่เปลี่ยนแปลง มีค่าเฉลี่ยเท่ากับ 6.45 g/m<sup>3</sup> และปริมาณความเข้มข้นรวมของ BTEX มีปริมาณที่  
ลดลงเฉลี่ย 0.01 g/m<sup>3</sup> เชือกเหล็กอัดเม็ดทึบก่อนและหลังการห่อริแฟคชันมีผลการวิเคราะห์เป็นไป  
ตามที่มาตรฐานกำหนด สามารถเป็นตัวเลือกที่จะใช้เป็นเชือกเหล็กแทนได้

<b>Title</b>	Pellets Improvement from Crushing Sludge Plastics mixed with Biomass by Torrefaction
<b>Author</b>	Rattanaporn Punturat
<b>Advisor</b>	Ukrit Samaksaman, Ph.D
<b>Co-Advisor</b>	Assistant Professor Sirinuch Chindaraksa, Ph.D. Chanyud Kritsunankul, Ph.D
<b>Academic Paper</b>	Thesis M.S. Environmental Science, Naresuan University, 2018
<b>Keywords</b>	Pellets, Crushing Sludge Plastics, Biomass, Torrefaction

## ABSTRACT

Increasing of polyethylene terephthalate (PET) bottle usage is represented by the daily amount of PET waste contained in municipal solid waste generation. Although PET bottles have been taken into the recycling system by the mechanical process. It still has some problems in term of byproducts because PET waste is the secondary waste generated by the manufacturer. The sludge of crushed plastic PET cannot be used and recycled. Moreover, the lack of knowledge about waste management and disposal of the sludge which was affected to the environment and human health. The objectives of this study were to determine the physical and chemical properties of raw materials such as sludge of crushed plastics PET, biomass, and fuel pellets. Other objectives were to investigate the optimal ratio of materials which used to produce the pellets, also to study the operating conditions of torrefaction process, and thermal properties of non-torrefied and torrefied pellets and pollution from combustion of pellet fuel. The experimental procedure followed by the sludge of crushed plastics PET (PET), Teak sawdust (TS), Eucalyptus sawdust (ES), and Corncob (CC) used as materials were determined the physical and chemical properties tests. Proximate and ultimate analysis and heating values were analyzed before produced as pellets. On one hand, the pellets production using hydraulic press machine with ratios of different materials. The value of drop shatter index (DSI) was a key to pellets quality measurement. The best value of DSI was the optimal ratio for pellets production. On the other hand, torrefaction process used for

quality improvement of pellets that the condition of torrefaction have defined temperature at 170 190 and 225 °C air flow rate 1 4 and 6 L/min time 5 10 and 15 min. Then after, the fuel pellets of non-torrefied and torrefied pellets were also analyzed properties analysis, heating values, mercury and chloride contamination, and behavior during fuel combustion.

The experimental results indicated that moisture content of pellets samples after torrefaction reduced in the average of 0.073-0.16 % and volatile matter content also reduced in the average of 97.67-98.08 %. Heating value of pellets from both before and after torrefaction showed higher than raw materials with in the range of 21 to 22 MJ/kg. The torrefied pellets showed the value of DSI higher than non-torrefied pellets. Moreover, the results of chloride contamination in pellets represented in the number of reduction after torrefaction process that were in the range of 23.64-33.28 ppb (46.51-92.41 ppb of non-torrefied pellets) or 1.09-1.72 µg/MJ By mean, torrefaction process could remove the chloride content in pellets with the removal of 26.50-74.23 %. Mercury (Hg) contaminant had not detect of both before and after torrefied pellets. For combustion tests, the results of flue gas analysis showed the reduction of CO<sub>2</sub>CO and NOx in the torrefied pellets. In overall test of pellets combustion could not be detected SO<sub>2</sub> due to all of materials had no sulfur content. Gas emissions from pellets combustion such as 13PAHs and BTEX were determined by gas chromatography-mass spectrometer. The experimental results indicated that the torrefaction of PET/TS pellets and PET/ES pellets reduced emission of total 13PAHs with the values about 0.07 g/m<sup>3</sup> and 0.03 g/m<sup>3</sup>, respectively. Emission of BTEX could not be detected. Moreover, the torrefied PET/CC pellets had no trend of the change of 13PAHs with in the average value of 6.45 g/m<sup>3</sup> and emission of BTEX reduced in the average value of 0.01 g/m<sup>3</sup>. In conclusion, pellets production and quality improvement by torrefaction process showed the good experimental results and almost data complied with the important parameters of pellets standards. Fuel pellets from sludge of crushed plastic PET mixed with biomass and torrefied pellets can be selected to use as alternative solid fuels.

## สารบัญ

บทที่	หน้า
1 บทนำ.....	1
ความเป็นมาและความสำคัญของปัญหา.....	1
วัตถุประสงค์ของการวิจัย.....	3
ขอบเขตของการวิจัย.....	3
นิยามศัพท์เฉพาะ .....	4
สมมติฐานของการวิจัย.....	4
ผลที่คาดว่าจะได้รับ.....	5
2 เอกสารและงานวิจัยที่เกี่ยวข้อง.....	6
ประวัติของการผลิตเชื้อเพลิงอัดเม็ด .....	6
หลักการจำแนกประเภทของเชื้อเพลิงราย.....	7
องค์ประกอบและคุณสมบัติของเชื้อเพลิงอัดเม็ด .....	9
กระบวนการผลิตเชื้อเพลิงอัดเม็ด .....	11
เทคโนโลยีที่ใช้ในการผลิตเชื้อเพลิงอัดเม็ด .....	15
การนำเชื้อเพลิงอัดเม็ดไปใช้ประโยชน์.....	18
การใช้เศษพลาสติกในการผลิตเชื้อเพลิงอัดเม็ด.....	19
การใช้ข้าวมวลเป็นส่วนผสมในเชื้อเพลิงอัดเม็ด.....	24
กระบวนการทอริแฟคชัน.....	25
การปนเปื้อนโลหะหนักของเชื้อเพลิงอัดเม็ด.....	27
ทฤษฎีการเผาไหม้.....	30
ผลพิธีที่เกิดจากการเผาไหม้เชื้อเพลิง.....	33
3 วิธีดำเนินการวิจัย.....	37
วัตถุประสงค์ที่ใช้ในการผลิตเชื้อเพลิงอัดเม็ด.....	39

## สารน้ำ (ต่อ)

บทที่

หน้า

การทดสอบคุณสมบัติทางกายภาพและเคมีของวัตถุดิบตั้งต้นและเชื้อเพลิงอัดเม็ดทั้งก่อนและหลังการหอริไฟฟ์ชัน.....	40
การทดสอบคุณสมบัติค่าความร้อนด้วยเครื่อง Bomb Calorimeter.....	44
การผลิตเชื้อเพลิงอัดเม็ด.....	45
การหอริไฟฟ์ชันเชื้อเพลิงอัดเม็ด.....	46
การทดสอบคุณสมบัติค่าดัชนีความคงทนของเชื้อเพลิงอัดเม็ด .....	48
การวิเคราะห์หาค่าป्रอทไนเชื้อเพลิงอัดเม็ด .....	48
การวิเคราะห์หาค่าคลอไรด์ในเชื้อเพลิงอัดเม็ด .....	49
การทดสอบการเผาไหม้.....	50
การวิเคราะห์ก๊าซเสียจากการเผาไหม้.....	52
การวิเคราะห์ปริมาณมลพิษ 13PAHs และ BTEX.....	52
 4 ผลการทดลองและอภิรายผล.....	55
สมบัติทางกายภาพและเคมี ค่าความร้อนของวัตถุดิบตั้งต้นและเชื้อเพลิงอัดเม็ดทั้งก่อนและหลังการหอริไฟฟ์ชัน.....	55
คุณสมบัติเชิงพลังงานความร้อน (Heating value).....	59
ค่าดัชนีความคงทน (Drop shatter index; DSI) ของเชื้อเพลิงอัดเม็ดทั้งก่อนและหลังการหอริไฟฟ์ชัน.....	61
ผลของสภาวะการหอริไฟฟ์ชันเชื้อเพลิงอัดเม็ด.....	68
ปริมาณการบันเปื้อนคลอไรด์และป्रอทไนเชื้อเพลิงอัดเม็ดทั้งก่อนและหลังการหอริไฟฟ์ชัน.....	70
ปริมาณก๊าซเสีย (Flue gas) ที่เกิดจากการเผาไหม้ของเชื้อเพลิงอัดเม็ดทั้งก่อนและหลังการหอริไฟฟ์ชัน.....	72
ปริมาณ 13PAHs และ BTEX ที่เกิดจากการเผาไหม้ของเชื้อเพลิงอัดเม็ดทั้งก่อนและหลังการหอริไฟฟ์ชัน.....	75

## สารบัญ (ต่อ)

บทที่	หน้า
5 บทสรุปและข้อเสนอแนะ.....	80
สรุปผลการวิจัย.....	80
ข้อเสนอแนะ.....	81
บรรณานุกรม.....	83
ภาคผนวก.....	97
ประวัติผู้เขียน.....	127



## สารบัญตาราง

ตาราง	หน้า
1 คุณลักษณะของเชือกเพลิงอัดเม็ดตามข้อกำหนดของ EN 15359:2011.....	8
2 คุณสมบัติทางกายภาพของเชือกเพลิงอัดเม็ด.....	10
3 คุณสมบัติทางเคมีของเชือกเพลิงอัดเม็ด .....	11
4 คุณสมบัติทางกายภาพและค่าความร้อนของพลาสติกและวัสดุเหลือทิ้ง.....	21
5 องค์ประกอบทางเคมีของพลาสติกและวัสดุเหลือทิ้ง.....	21
6 โลหะหนักที่ปนเปื้อนอยู่ในพลาสติกและวัสดุเหลือทิ้ง.....	22
7 ปริมาณโลหะหนักที่ตรวจพบในเชือกเพลิงอัดเม็ดจากการวิจัยที่ผ่านมา.....	29
8 16PAHs ที่อาจก่อให้เกิดมะเร็งต่อกائنตามมาตรฐาน US.EPA 1993 กำหนด .....	36
9 ศึกษาสัดส่วนที่เหมาะสมสมสำหรับวัตถุดิบชนิดต่างๆ.....	46
10 สมบัติทางกายภาพและค่าความร้อนของวัตถุดิบตั้งต้น.....	55
11 สมบัติทางกายภาพของเชือกเพลิงอัดเม็ดทั้งก่อนและหลังการหอริแฟคชัน.....	56
12 สมบัติทางเคมีของวัตถุดิบตั้งต้น.....	59
13 ค่าความร้อนของเชือกเพลิงอัดเม็ดทั้งก่อนและหลังการหอริแฟคชัน.....	61
14 ค่าดัชนีความคงทนของเชือกเพลิงอัดเม็ดทั้งก่อนและการหอริแฟคชัน.....	66
15 ค่าดัชนีความคงทนของเชือกเพลิงอัดเม็ดหลังการหอริแฟคชัน.....	67
16 ค่าการปนเปื้อนprotoxของเชือกเพลิงอัดเม็ดทั้งก่อนและหลังการหอริแฟคชัน.....	72
17 ปริมาณก๊าซเสียที่เกิดจากการเผาไหม้ของเชือกเพลิงอัดเม็ดทั้งก่อนและหลัง การหอริแฟคชัน.....	74
18 ผลการทดสอบและการคำนวณค่าความชื้น (Moisture content) เชือกเพลิงอัดเม็ด ผลิตจากตะกอนพลาสติกชนิด PET และชีล์เดอร์ไม้สักหลังการหอริแฟคชัน หรือ ตัวอย่างที่ 18.....	98
19 ผลการทดสอบและการคำนวณเถ้า (Ash content) เชือกเพลิงอัดเม็ดผลิตจาก ตะกอนพลาสติกชนิด PET และชีล์เดอร์ไม้สักหลังการหอริแฟคชัน หรือ ตัวอย่างที่ 18.....	98

## สารบัญตาราง (ต่อ)

ตาราง	หน้า
20 ผลการทดลองและการคำนวณปริมาณสารระเหย (Volatile matter) เขื้อเพลิงอัดเม็ดผลิตจากตะกอนพลาสติกชนิด PET และจี๊ดจี๊ดไม่สกหลัง การหอริแฟคชัน หรือ ตัวอย่างที่ 18.....	99
21 การคำนวณปริมาณมลพิษอากาศชนิด 13PAHs จากเขื้อเพลิงอัดเม็ด PET/TS ก่อนการหอริแฟคชัน.....	100
22 การคำนวณปริมาณมลพิษอากาศชนิด 13PAHs จากเขื้อเพลิงอัดเม็ด PET/ES ก่อนการหอริแฟคชัน.....	101
23 การคำนวณปริมาณมลพิษอากาศชนิด 13PAHs จากเขื้อเพลิงอัดเม็ด PET/CC ก่อนการหอริแฟคชัน.....	102
24 การคำนวณปริมาณมลพิษอากาศชนิด 13PAHs จากเขื้อเพลิงอัดเม็ด PET/TS หลังการหอริแฟคชัน.....	103
25 การคำนวณปริมาณมลพิษอากาศชนิด 13PAHs จากเขื้อเพลิงอัดเม็ด PET/ES หลังการหอริแฟคชัน.....	104
26 การคำนวณปริมาณมลพิษอากาศชนิด 13PAHs จากเขื้อเพลิงอัดเม็ด PET/CC หลังการหอริแฟคชัน.....	105
27 การคำนวณปริมาณมลพิษอากาศชนิด BTEX จากเขื้อเพลิงอัดเม็ด PET/TS, PET/ES และ PET/CC ก่อนการหอริแฟคชัน.....	106
28 การคำนวณปริมาณมลพิษอากาศชนิด BTEX จากเขื้อเพลิงอัดเม็ด PET/TS, PET/ES และ PET/CC หลังการหอริแฟคชัน.....	107
29 สรุปภาวะของเครื่อง GC/MS ที่ใช้ในการวิเคราะห์ของ 13PAHs จากการเผาใหม่ เขื้อเพลิงอัดเม็ด.....	108
30 สรุปภาวะของเครื่อง GC/MS ที่ใช้ในการวิเคราะห์ของ BTEX จากการเผาใหม่ เขื้อเพลิงอัดเม็ด.....	109

## สารบัญภาพ

ภาพ	หน้า
1 เที่ยวน้ำมันดิบของแต่ละประเทศ .....	7
2 ลักษณะของเที่ยวน้ำมันดิบ RDF/SRF.....	9
3 กระบวนการผลิตเที่ยวน้ำมันดิบโดยทั่วไป.....	12
4 กระบวนการผลิตเที่ยวน้ำมันดิบโดยมีการแยกเศษดินและหินออกจาก วัตถุดิบตั้งต้น.....	13
5 กระบวนการผลิตเที่ยวน้ำมันดิบในประเทศไทย .....	14
6 เครื่องอัดเม็ดแบบไฮดรอลิก.....	17
7 กระบวนการผลิตพลาสติกชนิดเอทิลีน เทเรฟทาเลต (Polyethylene terephthalate; PET).....	20
8 กระบวนการรีไซเคิลขวดพลาสติก.....	23
9 ตะกอนพลาสติกจากกระบวนการบดอย่างรวดเร็วและเที่ยวน้ำมันดิบ.....	24
10 กระบวนการเผาไหม้เที่ยวน้ำมัน.....	31
11 การแปลงสภาพทางเคมีความร้อน (Thermochemical conversion) ของเชื้อเพลิง.....	32
12 แผ่นผังดำเนินการวิจัย.....	38
13 วัตถุดิบตั้งต้น.....	39
14 การเตรียมวัตถุดิบตั้งต้นเพื่อหาปริมาณความชื้น.....	41
15 เตรียมตัวอย่างเพื่อหาปริมาณเจ้าและปริมาณสารระเหยและเตาเผาความร้อนสูง Muffle Furnace.....	42
16 การเตรียมตัวอย่างเพื่อวิเคราะห์ค่าความร้อนและเครื่องวิเคราะห์ค่าความร้อน Bomb Calorimeter (LECO, AC-500).....	44
17 เครื่องอัดแบบไฮดรอลิก เครื่องสีทเตอร์ให้ความร้อน, เที่ยวน้ำมันดิบ, เครื่องมือ <sup>*</sup> และอุปกรณ์การทดลอง.....	45
18 การห่อวิเฟคชันเบื้องเพลิงอัดเม็ด.....	47
19 เครื่องวิเคราะห์ค่าการแตกร่วน.....	48

## สารบัญภาพ (ต่อ)

ภาพ	หน้า
20 เที่รียมตัวอย่างเพื่อวิเคราะห์ค่าการปนเปื้อนปรอทในเชื้อเพลิงอัดเม็ดทั้งก่อนและหลังการหอริแฟคชัน.....	50
21 เที่รียมตัวอย่างเพื่อวิเคราะห์ค่าการปนเปื้อนคลอร่าไดในเชื้อเพลิงอัดเม็ดทั้งก่อนและหลังการหอริแฟคชัน.....	50
22 การทดสอบการเผาไหม้เชื้อเพลิงอัดเม็ดทั้งก่อนและหลังการหอริแฟคชัน.....	51
23 อุปกรณ์และเครื่องมือในการเก็บตัวอย่างมลพิษจากการเผาไหม้เชื้อเพลิงอัดเม็ด เตาเผาอุณหภูมิ $850^{\circ}\text{C}$ , เครื่อง Flue gas analyzer, Testo 350H และ เครื่องวิเคราะห์แก๊สในรากน้ำโดยการฟลูออโรกราฟี/แมสสเปกโตรมิเตอร์ (Gas chromatography/Mass Spectrometer).....	54
24 ผลการทดสอบ Shatter index ของสภาวะอุณหภูมิในการอัดเชื้อเพลิงอัดเม็ด.....	62
25 ผลการทดสอบ Shatter index ของเวลาในการอัดเชื้อเพลิงอัดเม็ด.....	64
26 ผลการทดสอบ Shatter index ของแรงดันในการอัดเชื้อเพลิงอัดเม็ด.....	65
27 เชื้อเพลิงอัดเม็ดที่มีค่า DSI ต่ำสุด.....	68
28 เชื้อเพลิงอัดเม็ดภายใต้สภาวะการหอริแฟคชันต่างๆ.....	69
29 ค่าการปนเปื้อนคลอร่าไดในเชื้อเพลิงอัดเม็ดทั้งก่อนและหลังการหอริแฟคชันและค่าร้อยละการกำจัดคลอร่าไดปนเปื้อนออกจากเชื้อเพลิงอัดเม็ด PET/TS (ตะกอนพลาสติกชนิด PET/ซีลเล่ย์ไม้สัก) PET/ES (ตะกอนพลาสติกชนิด PET/ซีลเล่ย์ไม้ยูคาลิปตัส) และ PET/CC (ตะกอนพลาสติกชนิด PET/ชั้นข้าวโพด) หลังการหอริแฟคชัน.....	71
30 ความเข้มข้นรวมของ 13PAHs ในเชื้อเพลิงอัดเม็ดก่อนและหลังการหอริแฟคชัน.....	76
31 สัดส่วนของ Polycyclic Aromatic Hydrocarbons (PAHs) แต่ละชนิดใน เชื้อเพลิงอัดเม็ดก่อนและหลังหอริแฟคชัน.....	77
32 ความเข้มข้นรวมของ BTEX ในเชื้อเพลิงอัดเม็ดก่อนและหลังหอริแฟคชัน.....	78
33 สัดส่วนของ BTEX ในเชื้อเพลิงอัดเม็ดก่อนและหลังหอริแฟคชัน.....	79

## สารบัญภาพ (ต่อ)

ภาพ	หน้า
34 เอกสารผลการวิเคราะห์คุณสมบัติทางเคมี (Ultimate analysis) ของวัตถุดิบตั้งต้นที่ส่งวิเคราะห์ที่มหาวิทยาลัยเทคโนโลยีสุรนารี.....	110
35 เอกสารผลการวิเคราะห์การปนเปื้อนคลอร์ไดโนเรียเพลิงอัดเม็ดก่อนการหอวิไฟค์ชัน ส่งวิเคราะห์ที่บริษัท เบลตัล อินดัสเตรียล (ประเทศไทย) จำกัด...	111
36 เอกสารผลการวิเคราะห์การปนเปื้อนคลอร์ไดโนเรียเพลิงอัดเม็ดก่อนหลังการหอวิไฟค์ชัน ส่งวิเคราะห์ที่บริษัท เบลตัล อินดัสเตรียล (ประเทศไทย) จำกัด...	111
37 เอกสารผลการวิเคราะห์การปนเปื้อนปรอทในเชื้อเพลิงอัดเม็ดทั้งก่อนหลังการหอวิไฟค์ชัน ส่งวิเคราะห์ที่บริษัท ห้องปฏิบัติการกลาง (ประเทศไทย) จำกัด...	112
38 กราฟความเข้มข้นของสารมาตรฐาน 13PAHs ความเข้มข้นที่ 30 90 120 mg/l.....	113
39 กราฟความเข้มข้นของสารมาตรฐาน BTEX ความเข้มข้นที่ 5 20 30 40 mg/l.....	118
40 ผลการวิเคราะห์ค่า 13PAHs ในเชื้อเพลิงอัดเม็ดผลิตจากตะกอนพลาสติก และชีล์เดอร์ไม้สักทั้งก่อนและหลังการหอวิไฟค์ชันจากเครื่อง GC/MS.....	120
41 ผลการวิเคราะห์ค่า 13PAHs ในเชื้อเพลิงอัดเม็ดผลิตจากตะกอนพลาสติก และชีล์เดอร์ไม้ยูคานิปตัสทั้งก่อนและหลังการหอวิไฟค์ชันจากเครื่อง GC/MS.....	120
42 ผลการวิเคราะห์ค่า 13PAHs ในเชื้อเพลิงอัดเม็ดผลิตจากตะกอนพลาสติก และชั้งข้าวโพดทั้งก่อนและหลังการหอวิไฟค์ชันจากเครื่อง GC/MS.....	121
43 ผลการวิเคราะห์ค่า BTEX ในเชื้อเพลิงอัดเม็ดผลิตจากตะกอนพลาสติก และชีล์เดอร์ไม้สักทั้งก่อนและหลังการหอวิไฟค์ชันจากเครื่อง GC/MS.....	121
44 ผลการวิเคราะห์ค่า BTEX ในเชื้อเพลิงอัดเม็ดผลิตจากตะกอนพลาสติก และชีล์เดอร์ไม้ยูคานิปตัสทั้งก่อนและหลังการหอวิไฟค์ชันจากเครื่อง GC/MS.....	122
45 ผลการวิเคราะห์ค่า BTEX ในเชื้อเพลิงอัดเม็ดผลิตจากตะกอนพลาสติก และชั้งข้าวโพดทั้งก่อนและหลังการหอวิไฟค์ชันจากเครื่อง GC/MS.....	122

## สารบัญภาพ (ต่อ)

ภาพ	หน้า
46 ชุดสกัดนาเบรินาน 13PAHs และ BTEX ในเชื้อเพลิงอัดเม็ดทั้งก่อนและหลังการหอริแฟคชัน.....	123
47 เครื่องกลั่นระเหยแบบหมุนภายใต้สูญญากาศ (Rotary evaporator, BUCHI Rotavapor, R-200) .....	123
48 เต้าของตะกอนพลาสติกชนิด PET ซึ่งเลือยไม้สัก ซึ่งเลือยไม้ยูคาลิปตัส ซังข้าวโพด และเชื้อเพลิงอัดเม็ดทั้งก่อนและหลังการหอริแฟคชันเผาที่อุณหภูมิ 750 °C 3 ชั่วโมง.....	124
49 เจ้าจากการวิเคราะห์ปริมาณสารระเหยของตะกอนพลาสติกชนิด PET ซึ่งเลือยไม้สัก ซึ่งเลือยไม้ยูคาลิปตัส ซังข้าวโพด และเชื้อเพลิงอัดเม็ดทั้งก่อนและหลังการหอริแฟคชันเผาที่อุณหภูมิ 900 °C เวลา 7 นาที.....	124
50 ตัวอย่างเตรียมทดสอบค่าดัชนีความคงทนด้วยเครื่องวิเคราะห์ค่าการแตกร่วนและตัวอย่างหลังทดสอบค่าดัชนีความคงทนด้วยเครื่องวิเคราะห์ค่าการแตกร่วน.....	125
51 เครื่องมือและอุปกรณ์ที่ใช้ในการทดสอบ.....	126

## บทที่ 1

### บทนำ

#### ความเป็นมาและความสำคัญของปัญหา

ขาดพลาสติกเป็นสิ่งที่เราใช้กันอย่างแพร่หลายในปัจจุบันและผู้ประกอบการนิยมใช้เป็นบรรจุภัณฑ์สำหรับสินค้าต่างๆ เนื่องจากสะดวกต่อการใช้งาน การเก็บและการขนส่ง ซึ่งหลังจาก การใช้งานแล้วนั้นขาดพลาสติกเหล่านี้ก็จะกลายเป็นขยะโดยในปี.ศ.2015 ที่ผ่านมาทั่วโลกมี ปริมาณขยะขาดพลาสติกเพิ่มขึ้น 300 ล้านตันต่อปี แต่สามารถนำกลับไปใช้ใหม่ได้เพียงร้อยละ 10 ชั่งในปี.ศ. 2050 มีแนวโน้มของขยะขาดพลาสติกเพิ่มขึ้นในห้องผู้คนกลับขยะและตามธรรมชาติ ประมาณ 12 พันล้านตัน (Liu et al., 2018) แนวทางที่จะช่วยลดปัญหาโดยการนำขาดพลาสติก เหล่านี้มาทำภาชนะรีไซเคิลเพื่อนำกลับไปใช้ประโยชน์ได้ใหม่ อาทิเช่น การผลิตวัสดุดิบเม็ดพลาสติก ชนิดหยาบจากขาดพลาสติกรีไซเคิล โดยเฉพาะขาดพลาสติกชนิดพอลิเอทิลีนเทเรฟทาเลต (Polyethylene terephthalate; PET) เป็นวิธีที่นิยมกันในปัจจุบันเนื่องจากต้องการลดต้นทุน การผลิตขาดพลาสติกและส่งเสริมกระบวนการรีไซเคิล ซึ่งเม็ดพลาสติกที่มาจากการลดต้นทุน PET สามารถนำกลับไปใช้ทำบรรจุภัณฑ์อาหารในรูปของ งาน ชาม และใช้บรรจุน้ำอัดลม ถุง ยา เครื่องสำอาง น้ำมันพืช เป็นต้น

อย่างไรก็ตามการนำขาดพลาสติกมารีไซเคิลเพื่อนำไปแปรรูปเป็นเม็ดพลาสติก ซึ่งในกระบวนการเดรียมขาดพลาสติกเพื่อรีไซเคิลจะต้องผ่านกระบวนการคัดเลือก (Selection) แยก (Sorting) ตัด (Cutting) บดย่อย (Crushing) ล้าง (Washing) และการผึ้งแห้ง (Drying) ก็ยังมี ปริมาณของเศษที่เป็นตะกรันพลาสติก ซึ่งไม่สามารถนำกลับไปใช้ได้อีกเพิ่มมากขึ้น เป็นสาเหตุ นำไปสู่การเกิดมลพิษของขยะจำพวกไมโครพลาสติกที่มีขนาดเล็กกว่า 5 mm และไม่สามารถย่อย ลายได้เองตามธรรมชาติ เมื่อปนเปื้อนลงสู่แหล่งน้ำส่งผลกระทบต่อสิ่งมีชีวิตในน้ำรวมถึงสุขภาพ ของมนุษย์ เนื่องจากเมื่อสิ่งมีชีวิตในน้ำได้กินไมโครพลาสติกเข้าไปจะทำให้เกิดการสะสมสารเคมี ในร่างกายของสิ่งมีชีวิตซึ่งเป็นอาหารมนุษย์ส่งผลต่อการสะสมของสารเคมีในร่างกายมนุษย์เข่นกัน เมื่อบริโภคสิ่งมีชีวิตเหล่านี้ (Pegadoa et al., 2018)

ในด้านการจัดการตะกอนพลาสติกผู้ประกอบการส่วนใหญ่ยังขาดความรู้ โดยนำไปทิ้ง รวมกับขยะทั่วไปหรือลักษณะพิเศษ เช่น กับขยะทั่วไป ซึ่งการเผาทำลายรวมกับขยะทั่วไปทำให้เกิดมลพิษทางอากาศ ฝุ่นผง และโลหะหนักต่างๆ โดยเฉพาะถ้าตะกอนพลาสติกนั้นมี

การปนเปื้อนของตะกอนของพลาสติกชนิด พอลิไวนิลคลอไรด์ (Polyvinylchloride; PVC) ที่ผลิตมาจากส่วนผสมของสารโพลิเมอร์คลอรีเนต (Chlorinated polymers) เมื่อมีการเผาแบบผิดวิธี ก็จะมีการปลดปล่อยก๊าซพิษที่เป็นกรดไฮโดรคลอไรด์ (Hydrochloric acid) ออกมากจากตะกอนพลาสติก PVC นอกจากนี้ยังมีสารประกอบไดออกซิน (Dioxin) ฟิวแรน (Furans) โพลีคลอรีเนตเต็ดไบฟินิล(Polychlorinated Biphenyls: PCBs) พอลิไบร์มีเนตเต็ดไบฟีโนล (PBBs) พอลิไบร์มีเนตเต็ดไดฟีโนล อีเทอร์ (PBDEs) ซึ่งส่งผลกระทบโดยตรงต่อสุขภาพและสิ่งแวดล้อมโดยรอบ (Bonifazi et al., 2015)

ปัจจุบันได้มีแนวทางในการนำขยะหรือของเสียมาผลิตเป็นเชื้อเพลิงทดแทนโดยผลิตเป็นเชื้อเพลิงอัดเม็ด ซึ่งผลิตจากขยะที่ไม่อนันตรายและขยะที่ไม่สามารถนำไปใช้ใหม่ได้ ขยะเหล่านี้จะถูกอัดและขึ้นรูปเป็นเชื้อเพลิงอัดเม็ดโดยทั่วไปจะประกอบไปด้วย กระดาษร้อยละ 30 ไม้ร้อยละ 20 พลาสติกร้อยละ 35 และ剩ไส้ผ้าร้อยละ 15 ในด้านคุณสมบัติและคุณลักษณะของเชื้อเพลิงอัดเม็ดมีค่าความร้อน 0.016-0.018 MJ/kg การแปรรูปเชื้อเพลิงขยะเป็นเชื้อเพลิงอัดเม็ด เป็นการแปรรูปเชื้อเพลิงให้มีคุณภาพดีขึ้น โดยการนำม้าอัดให้อยู่ในรูปที่เป็นก้อนเม็ด ลูกบาศก์ และแท่ง ซึ่งเป็นการปรับปูนห้องคุณสมบัติทางกายภาพและทางเคมี ทำให้มีค่าความชื้นต่ำ ค่าความร้อนใกล้เคียงกับเชื้อเพลิงพาณิชย์ทั่วไป มีความเป็นเนื้อดีกว่ากันสูง ปริมาณการปลดปล่อยมลพิษต่ำ (Conesa et al., 2011) ซึ่งเชื้อเพลิงอัดเม็ดนอกจากจะมีค่าความร้อนปริมาณที่สูงแล้ว ยังมีปริมาณขององค์ประกอบของคลอไรด์และprotoต่ำ มีการปลดปล่อยโลหะหนักที่ต่ำและมีคุณสมบัติที่เหมาะสมในการนำไปเป็นเชื้อเพลิงในอุตสาหกรรมผลิตปุ๋ยเคมีต์ โรงไฟฟ้า และอุตสาหกรรมเกี่ยวกับหม้อต้มไอน้ำ เป็นต้น (Wagland et al., 2011)

การเพิ่มประสิทธิภาพของเชื้อเพลิงนี้จะนำไปสู่กระบวนการทอริแฟคชัน (Torrefaction) ซึ่งเป็นกระบวนการทางความร้อนที่ต้องแปลงสภาพของเชื้อเพลิงโดยใช้อุณหภูมิไม่สูงนัก ประมาณ 200-400 °C ภายใต้สภาวะที่ปราศจากออกซิเจน หรือเป็นกระบวนการไฟโรไรซิสที่อุณหภูมิต่ำ (Mild pyrolysis) ซึ่งกระบวนการทอริแฟคชันที่อุณหภูมิและเวลาที่เหมาะสม สามารถเพิ่มประสิทธิภาพในการแตกตัว (Grindability) ของพลาสติกชนิด PET เพิ่มการลดมลรวมระหว่างชีวมวลจากไม้ กับ พลาสติกชนิด PET (Ansah et al., 2016) ข้อดีของกระบวนการทอริแฟคชันนอกจากเพิ่มประสิทธิภาพทางด้านความร้อนแล้วยังสามารถเพิ่มคุณสมบัติของเชื้อเพลิงอัดเม็ดได้หลายประการ เช่น เพิ่มคุณสมบัติการไม่ซับความชื้น เพิ่มความแข็งแกร่งของเชื้อเพลิงและในอุณหภูมิที่เหมาะสมยังสามารถช่วยลดปัญหาที่เกิดจากสารอะโรมาติก สารประกอบชั้ลเฟอร์ สารประกอบโลหะคลอไรด์ เป็นต้น (Recari et al., 2017)

ในส่วนของข้อเสียนั้นจะมีคุณสมบัติค่าความร้อน (Calorific value) น้อยกว่าถ่านหิน (Conesa et al., 2011) แต่อย่างไรก็ตามการใช้เทคโนโลยีเป็นการเพิ่มทางเลือกของการใช้เชื้อเพลิงอัดเม็ดจากตะกอนพลาสติกผสมชีวมวลแทนถ่านหินที่ใช้กันอยู่ในปัจจุบัน ซึ่งเชื้อเพลิงอัดเม็ดที่นำไปปรับปรุงคุณภาพโดยผ่านการห้องเผาขัน สามารถลดความชื้นและทำให้เชื้อเพลิงอัดเม็ดมีค่าความร้อนเพิ่มสูงขึ้นถึง 24 MJ/kg เพิ่มความคงทนหรือความแข็งแกร่งให้กับเชื้อเพลิงอัดเม็ดซึ่งส่งผลทำให้ง่ายต่อการขนส่งและจัดเก็บเนื่องจากเชื้อเพลิงอัดเม็ดไม่เกิดการแตกร่วนและยังคงรูปเดิม อีกทั้งสามารถลดการปลดปล่อยก๊าซเสียเข่น ก๊าซคาร์บอนไดออกไซด์ ก๊าซคาร์บอนมอนอกไซด์ และมีเทน ในระหว่างการเผาไหม้เชื้อเพลิงทำให้ไม่เกิดมลพิษที่ส่งผลต่อสิ่งแวดล้อมและสุขภาพ (Manouchehrinejad et al., 2018)

งานวิจัยนี้ได้ศึกษาวิจัยอย่างครอบคลุมตั้งแต่การติดต่อประสานงานกับโรงงานบดขวดพลาสติก เก็บตัวอย่าง การผลิตเชือเพลิงอัดเม็ด การใช้กระบวนการทรัฟเฟคชัน การทดสอบคุณสมบัติทางกายภาพและทางเคมี การทดสอบค่าความคงทน (Drop shatter index; DSI) การทดสอบค่าความร้อน การทดสอบการปนเปื้อน proxyl และคลอร์ รวมถึงทดสอบการแยกเนื้อของเชือเพลิงอัดเม็ดทั้งก้อนและหลังการทรัฟเฟคชัน ตั้งนี้ในการศึกษางานวิจัยนี้สามารถเป็นแนวทางในการจัดการขยะขวดพลาสติกและตะกรันพลาสติกที่ไม่สามารถนำไปใช้ประโยชน์ได้อีกมาแปรรูปเป็นเชือเพลิงอัดเม็ดที่มีคุณภาพเทียบเท่ากับเชือเพลิงถ่านหินที่ยังใช้กันอยู่ในปัจจุบัน

## วัตถุประสงค์ของการวิจัย

1. ศึกษาคุณสมบัติทางกายภาพและเครื่องของวัตถุดินที่เกิดจากกระบวนการด้วยขวดพลาสติก และรีวิวผลทางการเกษตร และเรื่องเพลิงอัดเม็ดที่ผลิตได้
  2. ศึกษาอัตราส่วนที่เหมาะสมของวัตถุดินในการผลิตเรือเพลิงอัดเม็ดและสภาวะที่เหมาะสมในการหอริแฟคชันเรือเพลิงอัดเม็ด
  3. ศึกษาสมบัติเชิงความร้อนของเรือเพลิงอัดเม็ดที่ผ่านกระบวนการหอริแฟคชันและการทดสอบค่ามลพิษที่เกิดขึ้นจากการเผาไหม้

## ข้อบกพร่องของการวิจัย

ศึกษาความเป็นไปได้ในการผลิตเชื้อเพลิงอัดเม็ดจากตะกอนพลาสติกผสมกับชีวมวลทางการเกษตร ได้แก่ ชีลี่อยไม้สัก ชีลี่อยไม้ยูคาลิปตัส และซังข้าวโพด และศึกษาผลของการหอริแฟคชันต่อกุณภาพเชื้อเพลิงอัดเม็ด สภาวะของกราฟดลอง ได้แก่ อุณหภูมิ อัตราการบีบอุ้ก ระยะเวลาในการหอริแฟคชัน การทดสอบคุณสมบัติต่างๆ เช่น คุณสมบัติทางกายภาพ

และเคมี (Proximate and Ultimate analysis) การทดสอบค่าดัชนีความคงทน (Drop shatter index; DSI) ค่าความร้อน (Heating value) ค่าการปนเปื้อนปรอทและคลอร์ไรด์ (Mercury and Chloride contamination) และการวิเคราะห์มลพิษจากการเผาไหม้ (Pollutant emission analysis)

### นิยามศัพท์เฉพาะ

กระบวนการทอริเฟคชัน หมายถึง กระบวนการไฟฟ้าไลซิสที่อุณหภูมิต่ำโดยมีอุณหภูมิไม่สูงนักประมาณ  $200\text{--}400\text{ }^{\circ}\text{C}$  ภายใต้สภาพที่มีอัตราเชิงอุ่นอยู่น้อยประมาณ  $0.3\text{ L/min}$  และใช้เวลา  $15\text{--}30$  นาทีในการทอริเฟคชัน (Zhang et al., 2018) และเป็นกระบวนการทางความร้อนที่แปลงสภาพของเชื้อเพลิงให้มีคุณภาพด้านพลังงาน เพิ่มประสิทธิภาพด้านคุณสมบัติทางกายภาพและเคมี รวมถึงลดปริมาณก๊าซเสียในระหว่างการเผาไหม้ของเชื้อเพลิง (Araújo et al., 2016)

ตะกอนพลาสติก หมายถึง ขยะหรือของเสียที่เป็นไมโครพลาสติกซึ่งมีขนาดเล็กกว่า  $5\text{ mm}$  ไม่สามารถย่อยสลายได้เองตามธรรมชาติ (Pegadoa et al., 2018) และเป็นพอลิเมอร์ชนิดเทอร์โมพลาสติก (Thermoplastic) ซึ่งสามารถให้ความร้อนได้ถึง  $21.90\text{ MJ/kg}$  (Zhao et al., 2016)

ชีวมวล หมายถึง สารอินทรีย์ที่สามารถนำไปผลิตเป็นเชื้อเพลิงแทนถ่านหินได้ เนื่องจากมีองค์ประกอบคาร์บอนในเนื้อเยื่อกินนิที่สามารถให้ความร้อนได้ดี และมีองค์ประกอบไออกไซเจนซึ่งสามารถทำให้ชีวมวลผลิตแก๊สชีวภาพ (Biogas) เพื่อผลิตเป็นพลังงานทดแทนได้ (Archer et al., 2018)

เชื้อเพลิงอัดเม็ด หมายถึง เชื้อเพลิงที่ผลิตจากของเสียหรือขยะที่ไม้อันตรายและไม่สามารถนำกลับไปใช้ใหม่ได้ โดยจะนำมาอัดให้อยู่ในรูปที่เป็นก้อน เม็ด ลูกบาศก์ และแท่ง ซึ่งให้ความร้อน  $0.016\text{--}0.018\text{ MJ/kg}$  มีความชื้นและการปลดปล่อยมลพิษต่ำ สามารถนำมาผลิตเป็นเชื้อเพลิงทดแทนได้ (Conesa et al., 2011)

### สมมติฐานของการวิจัย

ตะกอนพลาสติกที่เกิดจากกระบวนการบดปอกของพลาสติกในระบบบริไซเดล สามารถผลิตเป็นเชื้อเพลิงอัดเม็ดได้ และการทอริเฟคชันเชื้อเพลิงอัดเม็ดส่งผลดีต่อคุณสมบัติบางประการของเชื้อเพลิงอัดเม็ด

### ผลที่คาดว่าจะได้รับ

1. ทราบถึงคุณสมบัติทางกายภาพและเคมีของวัตถุดิบที่เกิดจากการบดปั่น ขวดพลาสติกและชีวมวลทางการเกษตร และเชื้อเพลิงอัดเม็ดที่ผลิตได้
2. ทราบถึงอัตราส่วนที่เหมาะสมของวัตถุดิบในการผลิตเชื้อเพลิงอัดเม็ด และสภาวะที่เหมาะสมในการหอริแฟคชัน รวมถึงมลพิษที่เกิดจากการเผาไหม้เชื้อเพลิงอัดเม็ด
3. ได้เชื้อเพลิงอัดเม็ดที่ผลิตได้มีคุณสมบัติผ่านเกณฑ์มาตรฐาน สามารถนำไปเผยแพร่ ให้เกิดการใช้งานได้จริงในอนาคต และลดปัญหาที่เกิดจากการกำจัดตะกอนพลาสติกรวมถึง ลดปัญหาทางด้านมลพิษสิ่งแวดล้อม



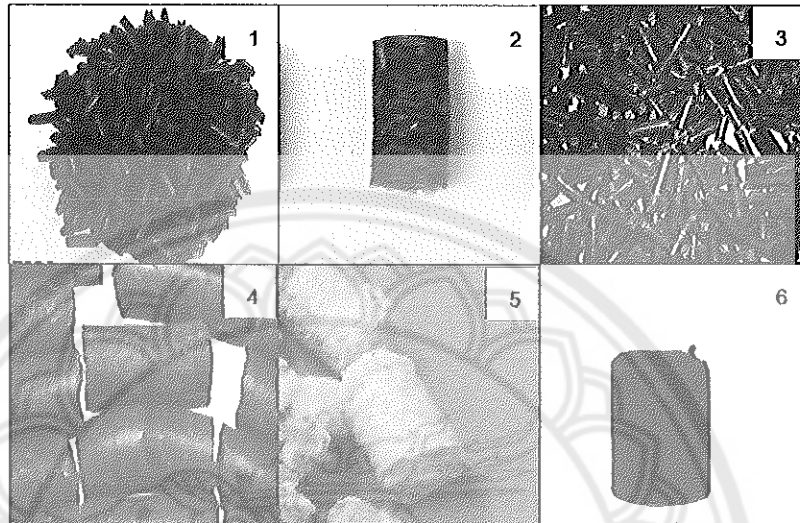
## บทที่ 2

### เอกสารและงานวิจัยที่เกี่ยวข้อง

#### 1. ประวัติของการผลิตเชื้อเพลิงอัดเม็ด

การเปลี่ยนขยะเป็นพลังงานเชื้อเพลิง (Waste to energy) เป็นอีกแนวทางหนึ่งที่ช่วยลดปัญหาของการเพิ่มปริมาณขยะในปัจจุบัน โดยเฉพาะอย่างที่ไม่สามารถนำกลับไปใช้ประโยชน์ได้ซึ่งขยะเหล่านี้ในประเทศไทยส่วนมากจะนำไปกำจัดโดยวิธีฝังกลบ เมื่อมีปริมาณขยะเพิ่มมากขึ้น จะส่งผลทำให้เกิดการซะของน้ำขยะที่อาจปนเปื้อนโลหะหนักลงสู่แหล่งน้ำธรรมชาติ สงสัยทำให้เกิดค่าซีโอดี (Chemical Oxygen Demand; COD) และค่าอินทรีคาร์บอนรวม (Total Organic Carbon; TOC) มีปริมาณที่เพิ่มขึ้น รวมถึงมีการปลดปล่อยก๊าซเสีย ได้แก่ สารประกอบอินทรีระเหยง่าย (Volatile organic compound; VOC) ก๊าซคาร์บอนไดออกไซด์ (Carbon dioxide; CO<sub>2</sub>) ก๊าซมีเทน(Methane; CH<sub>4</sub>) เป็นต้น ซึ่งการเกิดมลพิษเหล่านี้มาจากการย่อยสลายของจุลินทรี (Microbiological activity) ในหลุมฝังกลบขยะ (Landfill) (Casado et al., 2016) ทางยุโรปได้เริ่มน้ำขยะชุมชนเมือง (Municipal solid waste; MSW) โดยผ่านกระบวนการบำบัดด้วยวิธี物理และชีวภาพ (Mechanical and biological treatment; MBT) เป็นกระบวนการที่ใช้แอโรบิกแบคทีเรีย (Aerobic bacteria) ย่อยสลายสารอินทรีในขยะมูลฝอยซึ่งทำให้ค่าความชื้นของขยะลดลง และนำขยะชุมชนเมืองเหล่านี้มาผลิตเป็นเชื้อเพลิงแท็ง (Passamani et al., 2016) ในประเทศอิตาลีและสเปนได้นำขยะชุมชนเมืองในหลุมฝังกลบที่ผ่านกระบวนการบำบัดด้วยวิธี MBT มาผลิตเป็นเชื้อเพลิงอัดเม็ดซึ่งส่วนใหญ่จะเป็นขยะที่ไม่อนزنตราย ได้แก่ พลาสติก กระดาษ เศษไม้ เศษอาหาร เส้นใยผ้า และเศษแก้ว เป็นต้น (Casado et al., 2016; Arena et al., 2016) นอกจากนี้ยังมีอีกหลายประเทศที่ได้นำขยะมาผลิตเป็นเชื้อเพลิงและนำไปเป็นเชื้อเพลิงร่วมอาทิเช่น สหรัฐอเมริกา ประเทศแคนนาดา ประเทศอิตาลี ประเทศอินเดีย และประเทศจีน ได้นำเศษชีวนิวเคลียนมาผลิตเป็นเชื้อเพลิงอัดเม็ดซึ่งมีลักษณะเป็นเม็ดทรงกระบอก (Cylinder shape) มีเส้นผ่านศูนย์กลางขนาด 6 mm ถึง 12 mm แสดงดังภาพที่ 1 เชื้อเพลิงอัดเม็ดที่ผลิตได้มีค่าความชื้นลดลงและมีค่าความร้อนเพิ่มขึ้นเมื่อเทียบกับวัตถุดิบตั้งต้น ดังในงานวิจัยของ Bialowiec et al. (2017) ศึกษาเกี่ยวกับผลของการหอริแฟคชันของเชื้อเพลิงอัดเม็ดที่ผลิตจากขยะชุมชนเมืองจากการศึกษาพบว่า เมื่อนำวัตถุดิบตั้งต้นมาผลิตเป็นเชื้อเพลิงอัดเม็ดค่าความชื้นลดลงร้อยละ 22.9 จากร้อยละ 55.8 และมีค่าความร้อนเพิ่มขึ้น 25.3 MJ/kg จาก 19 MJ/kg อีกทั้ง

เชื้อเพลิงอัดเม็ดประมาณ 74,472.04 ton/year สามารถผลิตกระแสไฟฟ้าได้  $3.4 \times 10^{-4}$  GJ/ton (Gisi et al., 2017)



ภาพ 1 เชื้อเพลิงอัดเม็ดของแต่ละประเทศ อาทิเช่น

- (1) สหรัฐอเมริกา (Manouchehrinejad et al., 2018)
- (2) ประเทศไทย (Hosseini zand et al., 2018)
- (3) สาธารณรัฐประชาชนจีน (Xiao et al., 2015)
- (4) ประเทศไทยเดียว (Pradhan et al., 2017)
- (5) ประเทศไทยเดียว (Arena et al., 2016)
- (6) ประเทศไทยเดียว (Surup et al., 2018)

## 2. หลักการจำแนกประเภทของเชื้อเพลิงขยะ

เชื้อเพลิงขยะ (Refuse Derived Fuel; RDF หรือ Solid Recovered Fuel; SRF) เป็นเชื้อเพลิงที่ผลิตจากขยะที่ไม่คันตรายเพื่อใช้เป็นเชื้อเพลิงทดแทน (Energy recovery fuel) และเชื้อเพลิงร่วมในเตาเผา (Co-incinerator plants) ในการผลิตเชื้อเพลิงขยะ (RDF/ SRF) ให้มีประสิทธิภาพทั้งทางด้านพลังงานและไม่ก่อให้เกิดมลพิษ ทางยุโรปได้กำหนดกฎหมายของสหภาพยุโรป (European union legislation) โดยกำหนดมาตรฐานเกี่ยวกับเชื้อเพลิงขยะ (RDF/ SRF) ซึ่ง ซึ่งมาตรฐานนี้เป็นตัวกำหนดความแตกต่างของเชื้อเพลิงขยะ RDF และเชื้อเพลิงขยะ SRF เนื่องจากประเทศไทยเดียวได้ให้มาตรฐาน UNI 9903-1 (2004) ซึ่งเป็นตัวกำหนดชนิดของเชื้อเพลิงขยะ RDF โดยจะแบ่งออกเป็น 2 ชนิด ได้แก่ เชื้อเพลิงขยะ RDF

และ เชื้อเพลิงขยะ RDF-Q (RDF of high quality) โดยกำหนดให้มีค่าความร้อน ( $RDF > 15 \text{ MJ/kg}$ ,  $RDF-Q > 20 \text{ MJ/kg}$ ) ค่าความชื้น ( $RDF < \text{ร้อยละ } 25$ ,  $RDF-Q < \text{ร้อยละ } 18$ ) เต้า ( $RDF < \text{ร้อยละ } 20$ ,  $RDF-Q = \text{ร้อยละ } 15$ ) หลังจากน้ำทางยูโรปได้พัฒนามาตรฐานเกี่ยวกับ เชื้อเพลิงขยะ SRF ชี้น และได้ยกเลิกการใช้มาตรฐาน UNI 9903-1 (2004) และนำมาตรฐาน UNI EN 15359 (2011) ซึ่งกำหนดโดยมาตรฐาน CEN/TC 343 (European committee for standardization) เป็นมาตรฐานของยูโรปเกี่ยวกับเชื้อเพลิงขยะ SRF (Casado et al., 2016) ซึ่งมาตรฐานนี้ได้กำหนดเกี่ยวกับค่าความร้อน (Net calorific value; NCV) องค์ประกอบคลอร์ (Chlorine content) และองค์ประกอบปรอท (Mercury content) แสดงดังตาราง 1 โดยจะใช้ตัวดัชนีเหล่านี้ในการกำหนดคุณภาพของเชื้อเพลิงขยะ SRF และมาตรฐานนี้ จะช่วยสนับสนุนการค้าแบบเสรีของเชื้อเพลิงขยะ SRF ในตลาดสากลซึ่งจะสร้างความเชื่อมั่น ในเชิงธุรกิจ (Lonardo et al., 2016)

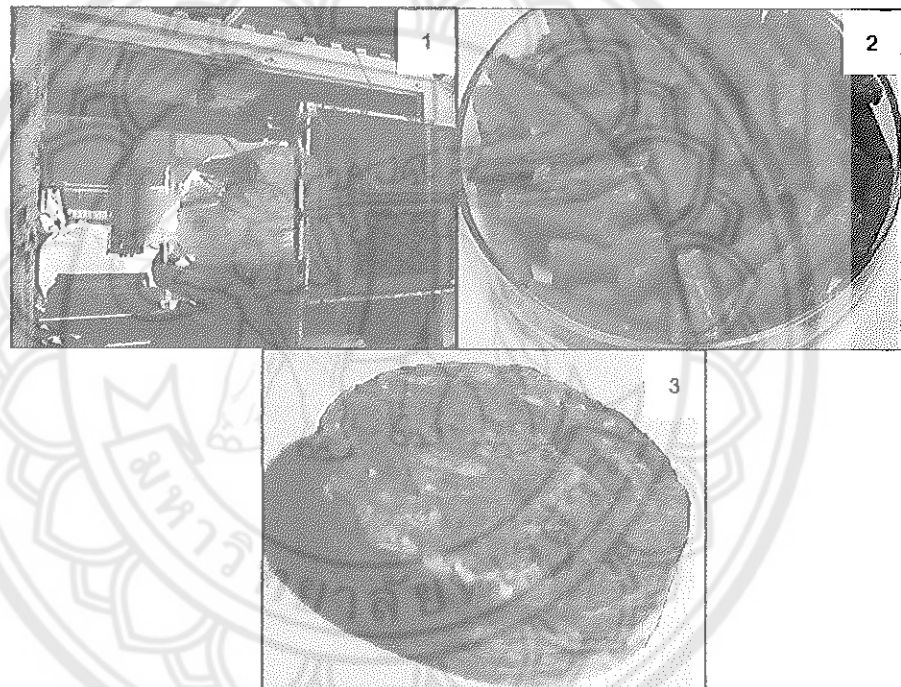
ตาราง 1 คุณลักษณะของเชื้อเพลิงอัดเม็ดตามข้อกำหนดของ EN 15359:2011

คุณสมบัติ	ค่าทางสถิติ	หน่วย	ชนิดของเชื้อเพลิงอัดเม็ด				
			1	2	3	4	5
ค่าความร้อนสุทธิ	Mean	MJ/kg	$\geq 25.00$	$\geq 20.00$	$\geq 15.00$	$\geq 10.00$	$\geq 3.00$
คลอร์	Mean	%	$\leq 0.20$	$\leq 0.60$	$\leq 1.00$	$\leq 1.50$	$\leq 3.00$
	Median	mg/MJ	$\leq 0.02$	$\leq 0.03$	$\leq 0.08$	$\leq 0.15$	$\leq 0.50$
ปรอท	80th percentile	mg/MJ	$\leq 0.04$	$\leq 0.06$	$\leq 0.16$	$\leq 0.30$	$\leq 1.00$

ที่มา: Lonardo et al., 2016

นอกจากนี้เชื้อเพลิงขยะ SRF ที่ผลิตในบจกบันมีลักษณะรูปทรงที่หลากหลาย เพื่อ适合ต่อการขนส่งและการจัดเก็บ โดยมีลักษณะเป็นก้อนทรงกระบอก (Bale) ขนาด เส้นผ่าศูนย์กลางและสูงเฉลี่ยประมาณ 1.2 m หนักประมาณ 0.00261 ตัน (Passamani et al., 2016) แสดงดังภาพ 2 (1) ลักษณะเป็นเม็ดทรงกระบอก (Pellet Fuels) มีความยาวประมาณ 12 mm ขนาดเส้นผ่าศูนย์กลางประมาณ 6 mm (Azócarra et al., 2019) แสดงดังภาพ 2 (2) และลักษณะ เป็นแบบก้อน (Briquette fuels) ซึ่งมีลักษณะที่ใหญ่กว่าลักษณะเม็ดทรงกระบอกโดย

มีเส้นผ่านศูนย์กลางประมาณ 3.8 cm (Gug et al., 2015) แสดงดังภาพ 2 (3) แนวโน้มราคาเชื้อเพลิงพลังงาน (Energy cost) ของเชื้อเพลิงอัดเม็ดในยุโรปมีแนวโน้มทันมาใช้พลังงานจากเชื้อเพลิงอัดเม็ดเพิ่มขึ้น เพื่อลดการซื้อเชื้อเพลิงนำมันเนื่องจากราคาของเชื้อเพลิงอัดเม็ดในประเทศเยอรมัน อิตาลีและกรีซ มีราคาประมาณ 2.59 – 2.48 และ 2.70 THB/kWh และราคาเชื้อเพลิงนำมันของแต่ละประเทศอยู่ที่ 2.73 – 4.74 และ 4.28 THB/kWh ตามลำดับ ซึ่งราคาเชื้อเพลิงนำมันมีราคาที่แพงกว่า ทางยุโรปจึงมีแนวโน้มที่จะหันมาเลือกซื้อเชื้อเพลิงพลังงานจากเชื้อเพลิงแข็งมากกว่า (Sandro et al., 2018)



ภาพ 2 ลักษณะของเชื้อเพลิงแข็งRDF/SRF อาทิเช่น

- (1) เชื้อเพลิงแข็งแบบก้อนทรงกระบอก (Bale) (Passamani et al., 2016)
- (2) เชื้อเพลิงอัดเม็ดทรงกระบอก (Pellet Fuels) (Azócar et al., 2019)
- (3) เชื้อเพลิงอัดเม็ดแบบก้อน (Briquette fuels) (Gug et al., 2015)

### 3. องค์ประกอบและคุณสมบัติของเชื้อเพลิงอัดเม็ด

เชื้อเพลิงอัดเม็ดเป็นเชื้อเพลิงที่ผลิตจากขยะที่ไม่เป็นอันตรายและขยายที่ไม่สามารถนำไปลับไปใช้ใหม่ได้ ซึ่งในงานวิจัยของ Casado et al. (2016) ได้ทำการวิจัยเกี่ยวกับการศึกษาประเภทและคุณสมบัติของเชื้อเพลิงอัดเม็ดที่ผลิตจากขยะชุมชนในพื้นที่น้ำราชา ประเทศสเปนและ

เพื่อร่วมกับเศษไม้มะกอก โดยเชื้อเพลิงอัดเม็ดจะประกอบด้วยกระดาษร้อยละ 30 ไม้ร้อยละ 20 พลาสติกร้อยละ 35 และเส้นใยผ้าร้อยละ 15 เป็นต้น ในด้านคุณสมบัติของเชื้อเพลิงอัดเม็ดมีค่าความร้อนประมาณ 16-18 kJ/g ส่วนใหญ่เชื้อเพลิงอัดเม็ดมีขนาดความยาวไม่เกิน 4 cm แสดงดังภาพ 1 นอกจากราชเชื้อเพลิงอัดเม็ดจะมีค่าความร้อนที่เหมาะสมที่จะนำไปเป็นเชื้อเพลิงทดแทน อีกทั้งยังมีปริมาณคลอโรด์น้อยกว่าร้อยละ 0.5 และมีปริมาณปรอทน้อยกว่า 10 mg/kg ซึ่งเป็นไปตามข้อกำหนดของมาตรฐาน EN 15359 (2011) ยังมีการปลดปล่อยโลหะที่ต่ำในขณะการเผาใหม่ สะتفاعต่อการขนส่งและการจัดเก็บ มีคุณสมบัติที่เหมาะสมในการนำไปเป็นเชื้อเพลิงในอุตสาหกรรมผลิตปูนซีเมนต์ โรงไฟฟ้า และอุตสาหกรรมเกี่ยวกับหมักดองไอน้ำ (Wagland et al., 2011) นอกจากนี้เชื้อเพลิงอัดเม็ดยังมีคุณสมบัติที่สามารถนำไปพิจารณาเกี่ยวกับการให้พลังงานได้แก่ คุณสมบัติทางกายภาพ (Proximate analysis) ได้แก่ ความชื้น (Moisture) ปริมาณเถ้า (Ash) ปริมาณสารระเหย (Volatile matter) และปริมาณคาร์บอนคงตัว (Fixed carbon) เป็นต้น คุณสมบัติทางเคมี (Ultimate analysis) ประกอบด้วยธาตุคาร์บอน (C) ไฮโดรเจน (H) ในต่อเจน (N) และกำมะถัน (S) เป็นต้น ซึ่งผลในการศึกษาคุณสมบัติทางกายภาพและเคมีและค่าความร้อนของเชื้อเพลิงอัดเม็ด แสดงดังตาราง 2 และ 3

ตาราง 2 คุณสมบัติทางกายภาพของเชื้อเพลิงอัดเม็ด

สมบัติทางกายภาพ	หน่วย	(1)	(2)	(3)
ความชื้น	%	8.80	8.39	9.21
เถ้า	%	21.10	13.24	21.41
ปริมาณสารระเหย	%	75.50	72.58	82.29
ปริมาณคาร์บอนคงตัว	%	3.40	5.78	17.71
ค่าความร้อน	MJ/kg	21.92	23.29	13.46

ที่มา: (1) Casado et al., 2016; (2) Recari et al., 2017; (3) Xiao et al., 2015

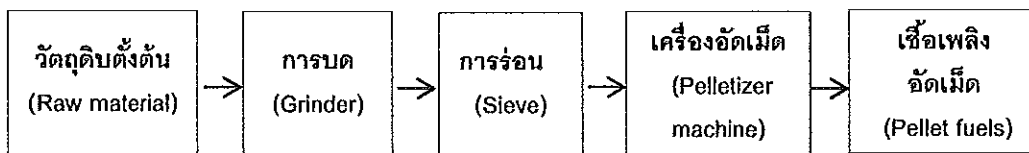
### ตาราง 3 คุณสมบัติทางเคมีของเชือเพลิงอัดเม็ด

องค์ประกอบ	สัดส่วนทางเคมี (%)		
	(1)	(2)	(3)
คาร์บอน	51.70	46.03	38.52
ไฮโดรเจน	7.00	7.49	4.84
ออกซิเจน	17.94	31.71	55.08
ไนโตรเจน	1.20	0.66	1.01
ฟลูออร์	0.30	0.26	0.31
คลอร์	0.76	0.59	0.2

ที่มา: (1) Casado et al., 2016; (2) Recari et al., 2017; (3) Xiao et al., 2015

#### 4. กระบวนการผลิตเชือเพลิงอัดเม็ด

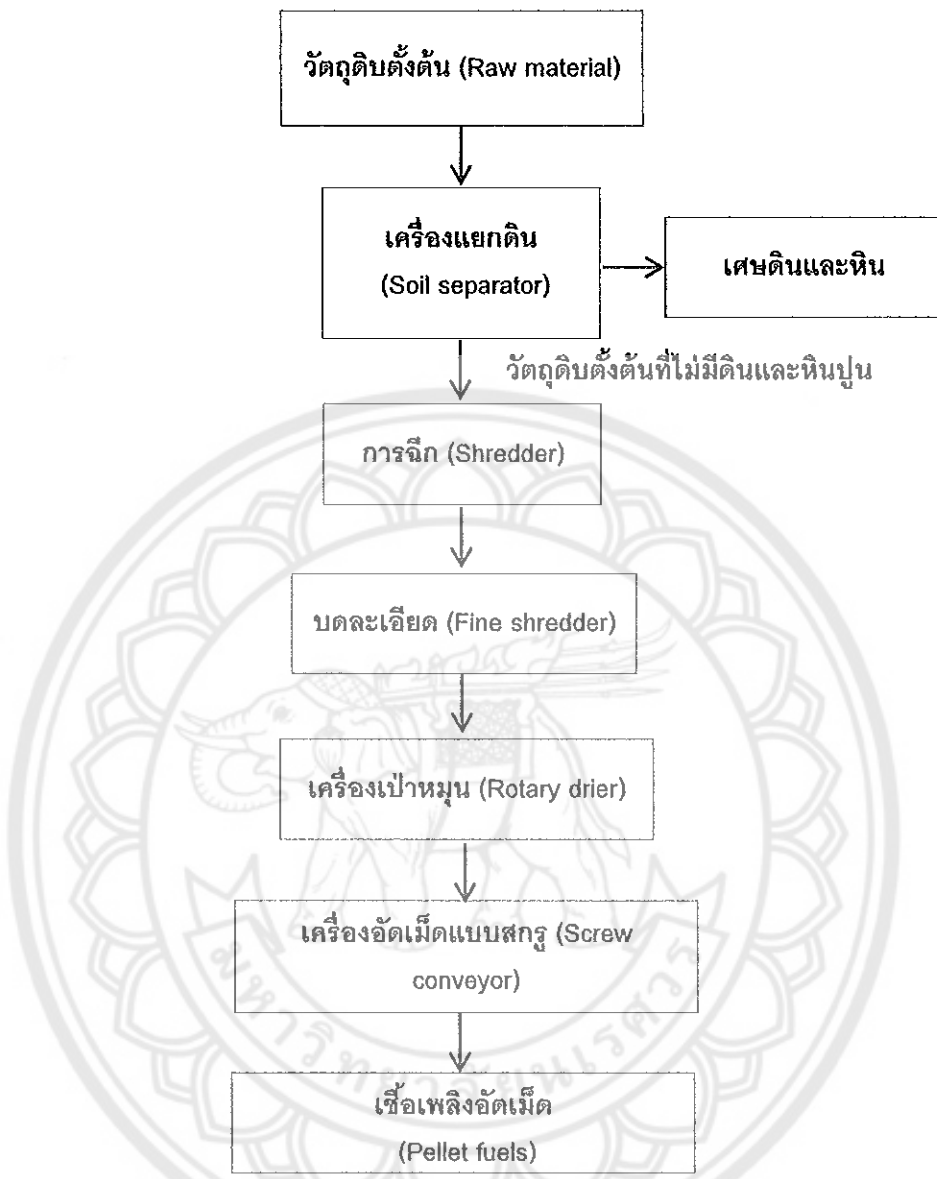
ในกระบวนการผลิตเชือเพลิงอัดเม็ดจะเริ่มตั้งแต่การเตรียมตัวอย่างที่มีคุณสมบัติเหมาะสมในการผลิตเชือเพลิง โดยจะต้องมีความชื้นต่ำและให้ค่าความร้อนที่สูงเพื่อเตรียมผสม และอัดขึ้นรูปเป็นเม็ด ได้แก่ ตะกอนพลาสติก ซึ่งเลือยไม้ กระดาษ เส้นใย เป็นต้น ซึ่งชื่นอยู่กับว่าใน การผลิตเชือเพลิงอัดเม็ดนั้นผู้วิจัยจะนำตัวอย่างปะเกทไหนามาผลิตเป็นเชือเพลิงอัดเม็ด โดย สำรวจกระบวนการผลิตเชือเพลิงอัดเม็ดจะเริ่มตั้งแต่นำตัวอย่างมาด (Grinder) ให้ละเอียด และทำการร่อน (Sieve) ด้วยตะแกรง เพื่อแยกขนาดของตัวอย่างให้เท่ากันประมาณ 2-5 mm (Azócaro et al., 2019) จากนั้นนำตัวอย่างที่มีขนาดเท่ากันมาผสมกันและนำไปปอกที่อุณหภูมิ 105 °C เพื่อให้ความชื้นเนื้องจากเมื่อมีองค์ประกอบความชื้นต่ำจะทำให้มีประสิทธิภาพด้าน พลังงานสูง และนำวัตถุดินทั้งหมดไปขึ้นรูปเป็นเม็ดโดยเครื่องอัดเม็ด (Pelletizer machine) โดยใช้ แรงดัน อุณหภูมิ และเวลาที่เหมาะสมในการอัด (HosseiniZand et al., 2018) กระบวนการผลิต เชือเพลิงอัดเม็ดโดยทั่วไป แสดงดังภาพ 3



ภาพ 3 กระบวนการผลิตเชื้อเพลิงอัดเม็ดโดยทั่วไป

ที่มา: Hosseini zand et al., 2018; Azocara et al., 2019

นอกจากนี้ในการเตรียมตัวอย่างจะมีขั้นตอนในการแยกดินและหินออกจากตัวอย่าง ก่อนที่จะนำตัวอย่างมาบด ดังในงานวิจัยของ Pradhan et al. (2017) ได้ศึกษาเกี่ยวกับ การประเมินคุณสมบัติของเชื้อเพลิงอัดเม็ดที่ผลิตจากชีวมวลจากสวน โดยได้นำเศษชีวมวลในสวน ได้แก่ ในมะม่วง ในขนุน ในjam จุรี หญ้า และเศษเปลือกไม้ มาเป็นวัตถุดิบในการผลิตเชื้อเพลิง อัดเม็ด ซึ่งก่อนจะนำไปผลิตเป็นเชื้อเพลิงจะนำตัวอย่างไปเข้าสู่กระบวนการแยกดินและหิน ออกจากตัวอย่างโดยใช้เครื่องแยกดิน (Soil separator) จากนั้นจะเข้าสู่กระบวนการการฉีก (Shredder) ให้มีขนาดเล็กลงประมาณ 25.4 mm จากนั้นจะนำไปบดละเอียด (Fine shredder) เพื่อให้มีขนาดเล็กลงมากกว่าเดิมประมาณ 6.35 mm และจะลดความชื้นในตัวอย่างด้วย เครื่องเปาหมูน (Rotary drier) จากนั้นจะนำตัวอย่างเข้าสู่กระบวนการการอัดเม็ดโดยใช้เครื่องอัดเม็ด แบบสกรู (Screw conveyor) แสดงดังภาพ 4

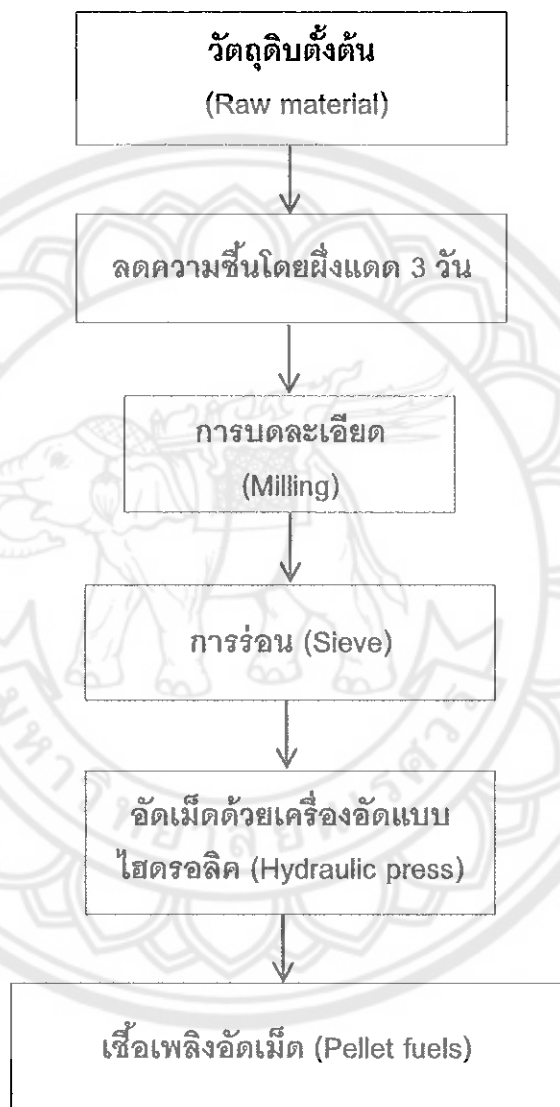


ภาพ 4 กระบวนการผลิตเชื้อเพลิงอัดเม็ดโดยมีการแยกเศษดินและหินออกจากวัตถุดิบตั้งต้น

ที่มา: Pradhan et al., 2017

ในกระบวนการผลิตเชื้อเพลิงอัดเม็ดของประเทศไทยดังในงานวิจัย Unpinit et al. (2015) ซึ่งทำการศึกษาเกี่ยวกับคุณสมบัติของเชื้อเพลิงอัดเม็ดที่ผลิตจากชีวมวลภายใต้การอัดที่สภาวะต่างๆ โดยได้นำชีวมวล ได้แก่ รากไม้ไผ่ ลำไผ่ไม้ยูคาลิปตัส ขังข้าวโพด รากไม้ไผ่ ยางพารา เส้นใยปาล์ม และเศษหอย ในพื้นที่จังหวัดขอนแก่น โดยมีขั้นตอนดังนี้ นำวัตถุดิบตั้งต้นมาผึงแฉด

ประมาณ 3 วัน เพื่อลดความชื้น จากนั้นนำตัวอย่างไปบดละเอียด (Milling) ด้วยเครื่องบดแบบตีบอนหรี่ยง (Hammer mill) ให้มีขนาดเล็กลงประมาณ 2 mm และนำไปร่อน (Sieve) เพื่อคัดขนาดให้เท่ากัน จากนั้นนำตัวอย่างที่ได้ไปทำการอัดด้วยเครื่องอัดแบบไฮดรอลิก (Hydraulic press) แสดงดังภาพ 5



ภาพ 5 กระบวนการผลิตเชื้อเพลิงอัดเม็ดในประเทศไทย

ที่มา: Unpinit et al., 2015

สัดส่วนของตัวอย่างที่เหมาะสมเพื่อผลิตเป็นเชือเพลิงอัดเม็ดต้องมีปริมาณของพลาสติกมากกว่าชีวมวล จะทำให้มีการเผาไหม้ที่ดี เพราะมีปริมาณความชื้นต่ำ ส่งผลทำให้มีค่าความร้อนสูงกว่าเมื่อเทียบกับเชือเพลิงอัดเม็ดที่มีอัตราส่วนผสมของตะกอนพลาสติกน้อยกว่าชีวมวล ซึ่งสอดคล้องกับงานวิจัยของ Ansah et al. (2016) ได้ทำการวิจัยเกี่ยวกับลักษณะการสูญเสียน้ำหนักโดยใช้ความร้อนและปริมาณความร้อนระหว่างไฟโรไลซิสรวมขององค์ประกอบขยะชุมชนเมืองซึ่งจากการวิจัยพบว่า เชือเพลิงอัดเม็ดที่มีอัตราส่วนผสมของพลาสติก PET มากกว่าไม้ (ร้อยละ 70 ต่อ ร้อยละ 30) มีค่าความร้อนประมาณ  $4,365 \text{ J/g}$  หรือ  $4.365 \text{ MJ/kg}$  ซึ่งมี ค่าความร้อนสูงกว่า เชือเพลิงอัดเม็ดที่มีอัตราส่วนผสมของไม้เทากับพลาสติก PET (ร้อยละ 50 ต่อ ร้อยละ 50) ซึ่งมี ค่าความร้อนประมาณ  $1,138 \text{ J/g}$  หรือ  $1.138 \text{ MJ/kg}$

การอัดเป็นการเพิ่มความแข็งแรงภายในวัตถุดิบหรือตัวอย่างจนกระหั่งเป็นก้อน โดยใช้แรงอัดที่สูงถ้าวัตถุดิบนั้นมีเนื้อที่ละเอียดจะเปลี่ยนรูปทรงภายใต้แรงอัดที่มีความดันสูงโดยไม่ต้องใช้ตัวผู้สาบ แต่วัตถุดิบบางชนิดจำเป็นที่จะต้องใช้ตัวผู้สาบเข้าช่วยเพื่อเพิ่มการจับตัวกันให้เป็นก้อน ซึ่งการอัดมีผลต่อกำหนดแน่นของเชือเพลิงสามารถทำให้เชือเพลิงที่ฝานการอัด มีความหนาแน่นเพิ่มขึ้น ดังในงานวิจัยของ Gug et al. (2015) ได้ทำการศึกษาเกี่ยวกับกระบวนการผลิตและการศึกษาสมบัติของเชือเพลิงแข็งที่ผลิตจากขยะชุมชนเมืองและพลาสติกriseเดิลพบว่า ความหนาแน่นของแห้งเชือเพลิงเพิ่มขึ้น ร้อยละ 7-10 โดยการเพิ่มอุณหภูมิแรงกดจาก  $125-150 \text{ }^{\circ}\text{C}$  ซึ่งการเพิ่มแรงกดที่อุณหภูมิ  $150 \text{ }^{\circ}\text{C}$  ในขั้นแรกจะทำให้อากาศระเหยออกไปส่งผลทำให้ความหนาแน่นของพลาสติก PET เพิ่มขึ้นร้อยละ 8 และพลาสติก HDPE เพิ่มขึ้นร้อยละ 11 นอกจากนี้ในการผลิตเชือเพลิงอัดเม็ดเมื่อนำมาปั๊ดในช่วงอุณหภูมิ  $75-100 \text{ }^{\circ}\text{C}$  มีผลต่อการอ่อนตัวและการสร้างพันธะที่แข็งแกร่ง (Solid bridge formation) ของเส้นใยลิกนินและโปรตีนในชีวมวลทำให้เกิดการยึดเกาะตัวกันต่ำและเกิดการสลายตัว สามารถเพิ่มแรงอัดได้และทำให้เชือเพลิงมีความหนาแน่นและยึดเกาะกันเป็นรูปทรงได้ดี (Nguyen et al., 2014) รวมทั้งมีผลทำให้พลาสติกเริ่มเกิดการหลอมตัว (Glass transition) เล็กน้อย โดยเปลี่ยนจากสถานะของแข็งคล้ายแก้วลายเป็นลักษณะเหนียวคล้ายยางหลอมรวมกับชีวมวลในเชือเพลิง (Ansah et al., 2016)

## 5. เทคนิcosิที่ใช้ในการผลิตเชือเพลิงอัดเม็ด

ในการผลิตเชือเพลิงเพื่อให้เชือเพลิงคงรูปสวยงามต่อการขนส่งและการจัดเก็บ ซึ่งปัจจุบันมีการผลิตเชือเพลิงออกมากหลายรูปแบบ อาทิเช่น ลักษณะเม็ด แห้ง ลูกบาศก์ ซึ่งขึ้นอยู่กับความเหมาะสมและวัตถุดิบที่นำมาผลิตเป็นเชือเพลิง ซึ่งเครื่องอัดที่จะนำมาขึ้นรูปเป็นเชือเพลิงอัดเม็ดจะแบ่งออกเป็น 3 ประเภท ดังนี้

**เครื่องอัดประภากที่ 1** เครื่องอัดแบบลูกศูน (Piston Press) สามารถอัดได้ประมาณ 40-1,000 kg/h ซึ่งมีหลักการทำงานโดยลูกศูนจะอัดตัวอย่างเข้าสู่ระบบอัดที่มีลักษณะเป็นเกลียว ทำหน้าที่ด้านการเคลื่อนตัวของตัวอย่างจะได้เชือเพลิงที่มีลักษณะเป็นรูปทรงกระบอกมีขนาดเส้นผ่านศูนย์กลางประมาณ 50-100 mm

**เครื่องอัดประภากที่ 2** เครื่องอัดแบบเกลียว (Screw Press) แบ่งออกเป็น 3 แบบ ได้แก่

แบบที่ 1 แบบเกลียวรูปกรวย (Conical screw press) อัดได้ประมาณ 500-1,000 kg/h มีหลักการทำงานโดยเกลียวรูปกรวยจะดันเด้วอย่างเคลื่อนไปข้างหน้า ซึ่งในระหว่างที่มีการดันตัวอย่างอุณหภูมิจะเพิ่มขึ้นประมาณ 100-200 °C ทำให้ตัวอย่างที่เป็นชีวมวล มีลักษณะละลายเป็นตัวประสานเชือเพลิงและจำได้เชือเพลิงอัดแห้งออกมา

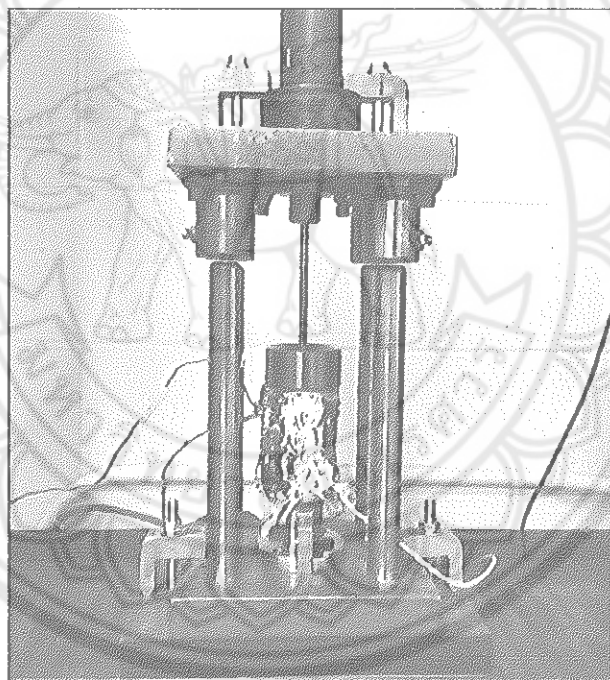
แบบที่ 2 แบบเกลียวคู่ (Twin screw press) สามารถอัดได้ประมาณ 2,800-3,600 kg/h โดยมีเกลียวอัด 2 อันต่อเข้ากับเพลาที่ส่วนกับเกลียวสามารถหมุนเร็วได้ โดยตัวอย่างที่จะนำมาผลิตเชือเพลิงต้องมีค่าความชื้นร้อยละ 25 จึงจะอัดได้

แบบที่ 3 แบบเกลียวพร้อมเขตลดร้อน (Screw press with heated die) โดยเขตลดจะมีความร้อนประมาณ 350 °C ซึ่งมีหลักการทำงานตัวอย่างจะถูกดันโดยเกลียวผ่านเข้าระบบอัดที่มีเขตลดความร้อน ซึ่งจะทำให้ตัวอย่างเกิดการยึดเกาะกันเป็นแท่งได้ และแห้งเชือเพลิงนี้จะมีรูกลวงตรงกลางเพื่อเป็นรูระบายน้ำและก้าชในระหว่างการอัดแห้งเชือเพลิงออกมา และเครื่องอัดนี้สามารถอัดได้ประมาณ 50-500 kg/h ส่วนตัวอย่างที่จะนำมาผลิตต้องมีค่าความชื้นร้อยละ 8-12 จึงจะสามารถอัดขึ้นรูปได้ เป็นต้น

**เครื่องอัดประภากที่ 3** เป็นเครื่องอัดแบบลูกกลิ้ง (Roll press) เป็นเครื่องอัดที่ต้องใช้ตัวอย่างขนาดเล็ก โดยเชือเพลิงที่ได้จะมีความหนาแน่นที่น้อยกว่าเชือเพลิงที่ได้จากการอัดแบบอื่น จึงต้องใช้ตัวประสานเข้ามาช่วย เพื่อทำให้เชือเพลิงมีการยึดเกาะกันและมีความหนาแน่นเพิ่มขึ้น โดยเครื่องอัดแบบลูกกลิ้ง มีหลักการทำงานโดยจะอัดตัวอย่างให้ตกลงระหว่างลูกกลิ้ง ที่หมุนตรงข้ามกัน ทำให้ตัวอย่างถูกอัดเข้าสู่เครื่องรองรับแห่นอต นอกจากนี้ยังมีเครื่องอัดเม็ด (Pelletizing press) ซึ่งจะได้เชือเพลิงมีขนาดเส้นผ่านศูนย์กลางประมาณ 5-15 cm ยาวประมาณ 30 mm โดยเครื่องอัดนี้จะประกอบไปด้วยพิมพ์ (Matrix) และลูกกลิ้ง (Roller) โดยจะอัดตัวอย่างระหว่างแรงกดของพิมพ์และลูกกลิ้งทำให้เกิดความร้อนจากการเสียดสี และอัดตัวอย่างผ่านพิมพ์จะได้เชือเพลิงอัดเม็ดออกมา (เดช วัฒนารักษ์ยิ่งเจริญ, 2555)

นอกจากนี้ยังมีการผลิตเชือเพลิงอัดเม็ดโดยใช้เครื่องอัดเม็ดแบบไฮดรอลิก แสดงดังภาพ 6 ซึ่งจะกำหนดทั้งอุณหภูมิและแรงดันในการอัดโดยเครื่องอัดจะประกอบไปด้วยลูกศูน (Piston)

มีเส้นผ่านศูนย์กลางประมาณ 6.35 mm ยาวประมาณ 120 mm และมีระบบอัดที่มีรูตรงกลางໄ้ส์สำหรับใส่ตัวอย่าง โดยมีขนาดเส้นผ่านศูนย์กลางประมาณ 6.35 mm ยาวประมาณ 90 mm โดยตัวระบบอัดจะให้ความร้อนขณะอัดตัวอย่างโดยมีอุณหภูมิประมาณ 50-100 °C แรงดันในการอัดประมาณ  $79.73\text{-}111.62 \text{ kg/cm}^2$  โดยหลักการทำงานเน้นลูกศุบจะถูกดันด้วยแรงดันที่กำหนดซึ่งจะอัดตัวอย่างที่อยู่ในระบบอัดที่ให้ความร้อนในระหว่างการอัด ตรงส่วนด้านล่างของระบบอัดจะมีตัวบล็อก (Block) ที่สามารถดูดออกได้หลังจากอัดเสร็จตัวลูกศุบจะดันเข้าเพลิงออกจากระบบอัดทางด้านล่างทั้งนี้เครื่องอัดนี้สามารถอัดเชือเพลิงได้ที่ละเม็ด ซึ่งเชือเพลิงที่ได้จะมีลักษณะเป็นเม็ดทรงกระบอกมีขนาดเส้นผ่านศูนย์กลางประมาณ 6 mm ยาวประมาณ 12 mm (Hosseini et al., 2018)



ภาพ 6 เครื่องอัดเม็ดแบบไส้กรองลิค

ที่มา: Hosseini et al., 2018

## 6. การนำเชื้อเพลิงอัดเม็ดไปใช้ประโยชน์

ในปัจจุบันเชื้อเพลิงอัดเม็ดเป็นเชื้อเพลิงที่ทั่วโลกต่างให้ความสนใจ ซึ่งนำไปใช้ประโยชน์ ในด้านเชื้อเพลิงทดแทนแทนการใช้เชื้อเพลิงถ่านหินในอุตสาหกรรม อาทิ เช่น ประเทศทางฝั่งอเมริกา ได้แก่ ประเทศแคนาดา ได้นำเชื้อเพลิงอัดเม็ดไปใช้เป็นเชื้อเพลิงในการผลิตกระแสไฟฟ้า แทนการใช้เชื้อเพลิงฟอสซิล ซึ่งเชื้อเพลิงอัดเม็ดผลิตจากเศษไม้สามารถลดต้นทุนในการผลิตกระแสไฟฟ้าได้ประมาณ 4.45 THB/kWh เมื่อเทียบกับราคาน้ำมันเชื้อเพลิงอัดเม็ดที่ผลิตจากเศษไม้สักนอร์เวย์และญี่ปุ่น ได้แก่ ประเทศญี่ปุ่น ได้นำเชื้อเพลิงอัดเม็ดที่ผลิตจากขี้เลือยไม้สักนอร์เวย์และญี่ปุ่น ได้ออกมาผลิตเป็นเชื้อเพลิงอัดเม็ด ซึ่งนำไปใช้ในอุตสาหกรรมเหมืองแร่ (Ferroalloy industries) เพื่อลดการปลดปล่อยก๊าซคาร์บอนไดออกไซด์ (Surup et al., 2018) ส่วนประเทศไทยในฝั่งเชียงใหม่ ได้แก่ ประเทศกาหลีใต้ ได้นำเชื้อเพลิงอัดเม็ดที่ผลิตจากชิวนวลด เศษอาหาร พลาสติก และยางมาผลิตเป็นเชื้อเพลิงอัดเม็ด แทนการใช้ถ่านหินบีทูมินัสในอุตสาหกรรมเตาเผาผลิตซีเมนต์ (Cement industry) ซึ่งสามารถลดปริมาณก๊าซคาร์บอนไดออกไซด์ลงประมาณ 10,773.81 ktCO<sub>2</sub>eq จาก 12,358.04 ktCO<sub>2</sub>eq (Huh et al., 2018) ในประเทศไทยได้วันได้นำเชื้อเพลิงอัดเม็ดมาผลิตเป็นเชื้อเพลิงในอุตสาหกรรมเตาหลอมเหล็กด้วยไฟฟ้า (Electric Arc furnace steel industry) ซึ่งเชื้อเพลิงอัดเม็ดที่ได้ผลิตจากเศษไม้และขี้เลือยสามารถผลิตกระแสไฟฟ้าได้ถึง 1,000 MWh/yr ซึ่งให้เห็นว่าเชื้อเพลิงอัดเม็ดสามารถนำมาเป็นเชื้อเพลิงทดแทนเชื้อเพลิงถ่านหินที่ใช้ในอุตสาหกรรมได้ (Lin et al., 2016) ส่วนในประเทศไทยได้นำเชื้อเพลิงอัดเม็ดไปใช้เป็นเชื้อเพลิงในเตาเผาผลิตซีเมนต์ในจังหวัดลำปาง สระภูรี และนครศรีธรรมราช โดยนำเชื้อเพลิงอัดเม็ดไปใช้แทนเชื้อเพลิงถ่านหินเนื่องจากมีราคาที่ถูกกว่า ถึงแม้ว่าจะมีค่าความร้อนที่ต่ำกว่าประมาณ 20 MJ/kg แต่ก็สามารถทำให้มีลดลงจากเดิมและอุปกรณ์ของระบบบำบัดพิษอากาศ ได้แก่ ถุงกรอง (Bag house) เครื่องดักฝุ่นแบบไฟฟ้าสถิต (Electrostatic precipitator) และระบบบำบัดอากาศเสีย (Scrubber) สามารถดูแลได้ง่ายและมีประสิทธิภาพการทำงานได้ดี และในอุตสาหกรรมผลิตพลังงาน (Power industry) ได้นำเชื้อเพลิงอัดเม็ดไปใช้ในจังหวัดชลบุรีโดยนำไปเป็นเชื้อเพลิงร่วมกับเชื้อเพลิงถ่านหินบีทูมินัส และแกลบ รวมถึงได้นำเชื้อเพลิงอัดเม็ดไปใช้ในเชื้อเพลิงอุตสาหกรรมหม้อไอน้ำ (Industrial boilers) ซึ่งหม้อไอน้ำในประเทศไทยจะใช้ในอุตสาหกรรมผลิตอาหาร เครื่องดื่ม สิ่งทอ ไม้และเฟอร์นิเจอร์ กระดาษ รวมถึงอุตสาหกรรมผลิตโลหะและสารเคมี เป็นต้น ซึ่งเชื้อเพลิงหลักที่ใช้ส่วนใหญ่จะเป็นเชื้อเพลิงถ่านหินลิกไนต์ ปิโตรเลียม ก้าชธรรมชาติและชิวนวลด เป็นต้น (Nithikul et al., 2010) ข้อดีของการใช้เชื้อเพลิงอัดเม็ดสามารถลดค่าใช้จ่ายและลดการใช้

เชื้อเพลิงถ่านหินได้อีกทางหนึ่ง นอกจากนี้ยังลดปริมาณการปลดปล่อยคาร์บอนและเพิ่มประสิทธิภาพของการใช้พลังงานที่ยั่งยืน ลดการเกิดผลกระทบทางสิ่งแวดล้อมโดยมีการปลดปล่อยมลพิษที่ต่ำ ๆ และลงกำเนิด เช่น โรงผลิตปูนซีเมนต์ รวมถึงการให้ค่าความร้อนที่สูง (1 ตันของถ่านหินเท่ากับ 1 หรือ  $\frac{1}{2}$  ตันของเชื้อเพลิงอัดเม็ด) เป็นต้น เชื้อเพลิงอัดเม็ดสามารถนำไปใช้ประโยชน์เป็นเชื้อเพลิงร่วมได้โดยการเผาไหม้ร่วมกับเชื้อเพลิงอื่น เช่น ถ่านหินหรือชีวมวล ให้ร่วมกับถ่านหินหรือชีวมวลในกระบวนการ แก๊สซิฟิเคชัน และยังสามารถนำไปเป็นเชื้อเพลิงเผาไฟมีเตาผลิตปูนซีเมนต์ เป็นต้น (Fyffe et al., 2012)

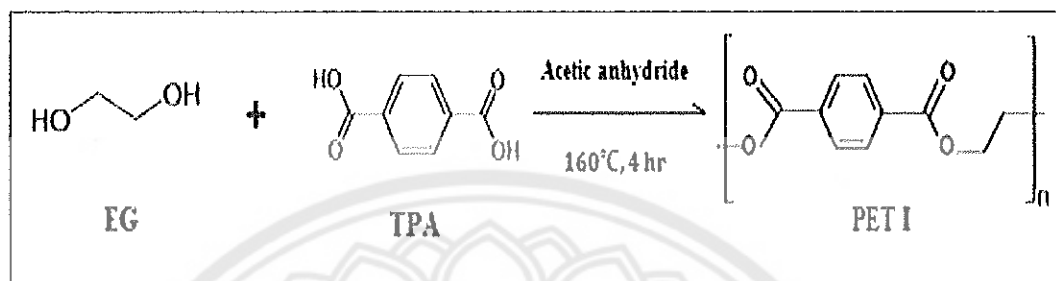
## 7. การใช้เศษพลาสติกในการผลิตเชื้อเพลิงอัดเม็ด

ปัจจุบันพลาสติกที่ใช้กันมีอยู่หลายประเภท ส่วนใหญ่จะเป็นพลาสติกที่สามารถนำมาใช้เดิมเพื่อกลับมาใช้ใหม่ ได้แก่ พลาสติก พอลิเอ็ธิลีนเทเรฟทาเลต (Polyethylene Terephthalate; PET) พลาสติกพอลิเอธิลีนความหนาแน่นสูง (High Density Polyethylene; HDPE) พลาสติกพอลิไวนิลคลอไรด์ (Polyvinylchloride; PVC) พลาสติกพอลิเอธิลีนความหนาแน่นต่ำ (Low Density Polyethylene; LDPE) และพลาสติกพอลิโพร์พิลีน (Polypropylene; PP) พลาสติกพอลิสไตรีน (Polystyrene; PS) เป็นต้น (Porshnov et al., 2018) ซึ่งพลาสติกเหล่านี้ผลิตมาจากผลิตภัณฑ์ปิโตรเลียม ทำให้มีความยืดหยุ่น ทนทาน และมีน้ำหนักเบา รวมถึงต้นทุนในการผลิตต่ำ

ทั้งนี้ในยุโรปและประเทศไทยก็พบว่า มีปริมาณขยะซุ่มชนเมืองประมาณร้อยละ 10-13 ซึ่งมีปริมาณขยะพลาสติกนิด PET อยู่ประมาณ 1.7 ล้านตัน การที่พับปริมาณพลาสติกนิด PET เป็นจำนวนมากเนื่องจากเป็นพลาสติกที่นิยมน้ำไปผลิตเป็นบรรจุภัณฑ์อาหาร ภาชนะเครื่องใช้ในครัวเรือน ขวดพลาสติก และบรรจุภัณฑ์ต่างๆ มากมาย เป็นต้น (Diaz-Silvarrey et al., 2018) ส่วนพลาสติกในประเทศไทยที่นำมาใช้จะเป็นพลาสติก PET PP PS PVC และ HDPE โดยมีพลาสติก PVC มีปริมาณมากที่สุดประมาณร้อยละ 83 ส่วนใหญ่จะใช้ในอุตสาหกรรมก่อสร้าง รองลงมาจะเป็นพลาสติก PP ร้อยละ 54 PS ร้อยละ 33 PET ร้อยละ 15 และ HDPE ร้อยละ 9.9 (สถาบันพลาสติกแห่งประเทศไทย, 2556)

พลาสติกนิด PET เป็นพลาสติกกึ่งผลึก (Semi-crystalline) และเป็นเทอร์โมพลาสติก (Thermoplastic) ที่มีความแข็งแรงและเป็นพลาสติกเมื่อได้รับความร้อนจะเกิดการอ่อนตัว ซึ่งสามารถที่จะนำมาลดลงเป็นรูปใหม่ได้ จึงนิยมนำพลาสติกนิดมารีไซเคิลเพื่อผลิตเป็นผลิตภัณฑ์ใหม่ได้ ทั้งนี้พลาสติกนิด PET ผลิตมาจากกรดเทอร์พาลิกบิสุทิค (Pure terephthalic acid; TPA) และเอทิลีนไอกลคอล (Ethylene glycol; EG) ซึ่งมาจากการนำมันเดิบเมื่อนำสารเคมีทั้ง 2 ชนิด

ได้รับความร้อนจะได้ผลิตภัณฑ์เป็นมอนโอมอร์ BHET (Bis-hydroxyethyl terephthalate) ผสมพอลิเมอร์ที่มีรากโมเลกุลต่ำนิดโอลิโกลิเมอร์ (Oligomer) และจะมีการกลั่นเอทิลีนไกลคอล ซึ่งเป็นสารส่วนเกินออกและจะได้ผลิตภัณฑ์สุดท้ายเป็นพลาสติกชนิด PET แสดงดังภาพ 7



ภาพ 7 กระบวนการผลิตพลาสติกชนิดเอทิลีน เทเรฟทาเลต (Polyethylene terephthalate; PET)

ที่มา: Chen et al., 2018

ในการผลิตเชื้อเพลิงอัดเม็ดวัตถุดิบตั้งต้นที่จะนำมาผลิตต้องให้ค่าความร้อนสูง ความชื้นต่ำ ปริมาณการปนเปื้อนโลหะหนักและคลอร์ต่ำ เพื่อให้เชื้อเพลิงอัดเม็ดที่ผลิตได้มีประสิทธิภาพการให้พลังงานสูงและการเกิดมลพิษต่ำ ซึ่งพลาสติกชนิด PET เป็นวัตถุดิบตั้งต้นที่เหมาะสมที่จะการนำมาผลิตเป็นเชื้อเพลิงอัดเม็ดเนื่องจากมีค่าความชื้นต่ำประมาณร้อยละ 0.50 ค่าความร้อนสูงประมาณ 21.90 MJ/kg แสดงดังตาราง 4 และไม่มีการปนเปื้อนคลอร์ (Zhao et al., 2016) แสดงดังตาราง 5 อีกทั้งพลาสติก PET สามารถที่จะใช้เป็นวัตถุดิบในการผลิตเชื้อเพลิงทดแทน หรือผลิตเป็นเชื้อเพลิงร่วมแทนเชื้อเพลิงฟอสซิล (Fossil fuel) หรือเชื้อเพลิงถ่านหิน (Coal) ได้ (Bonifazi et al., 2015) ทั้งนี้ในกระบวนการการเผาไหม้แบบไฟโรไอลซิฟพลาสติก PET มีค่าความร้อนสำหรับไฟโรไอลซิส (Heat consumption) ที่สูงกว่าพวงเชื้อเพลิงชีวมวล แสดงว่า ความร้อนสำหรับการเพิ่มชีวมวลของคุณภาพพลาสติก PET และความร้อนของการทำปฏิกิริยาจะสูง (Ansah et al., 2016)

ตาราง 4 คุณสมบัติทางกายภาพและค่าความร้อนของพลาสติกและวัสดุเหลือทิ้ง

ตัวอย่าง	ค่าความชื้น	ปริมาณเจ้า	ปริมาณสารระเหย	ค่าความร้อนต่ำสุด
	(%)	(%)	(%)	(MJ/kg)
PP/PE	0.06	0.03	99.40	43.20
PS	0.12	0.020	99.80	39.90
PET	0.50	0.10	94.60	21.90
เส้นใย	5.40	0.90	93.60	16.60
กระดาษ	7.10	17.10	75.60	12.10
ซีกมวล	73.80	1.10	21.40	4.10

ที่มา: Zhao et al., 2016

ตาราง 5 องค์ประกอบทางเคมีของพลาสติกและวัสดุเหลือทิ้ง

ตัวอย่าง	องค์ประกอบเคมี (%)				
	C	H	N	O	Cl
PP/PE	85.31	14.31	0.01	0.08	0.00
PS	61.65	4.19	0.00	31.57	0.00
PET	92.08	7.83	0.00	0.00	0.00
เส้นใย	37.81	5.51	0.07	44.74	0.10
กระดาษ	57.93	5.62	2.11	36.21	0.06
ซีกมวล	45.36	7.40	1.83	49.35	0.80

ที่มา: Zhao et al., 2016

ส่วนการปนเปื้อนโลหะหนักพลาสติกชนิด PET มีค่าการปนเปื้อนของโลหะหนักต่ำที่สุด ซึ่งไม่พบ cadmium (Cd) ทองแดง (Cu) และสังกะสี (Zn) ส่วนโคโรเมียม (Cr) และตะกั่ว (Pb) มีปริมาณ 2.0 และ 3.6 mg/l ตามลำดับ แสดงดังตาราง 6

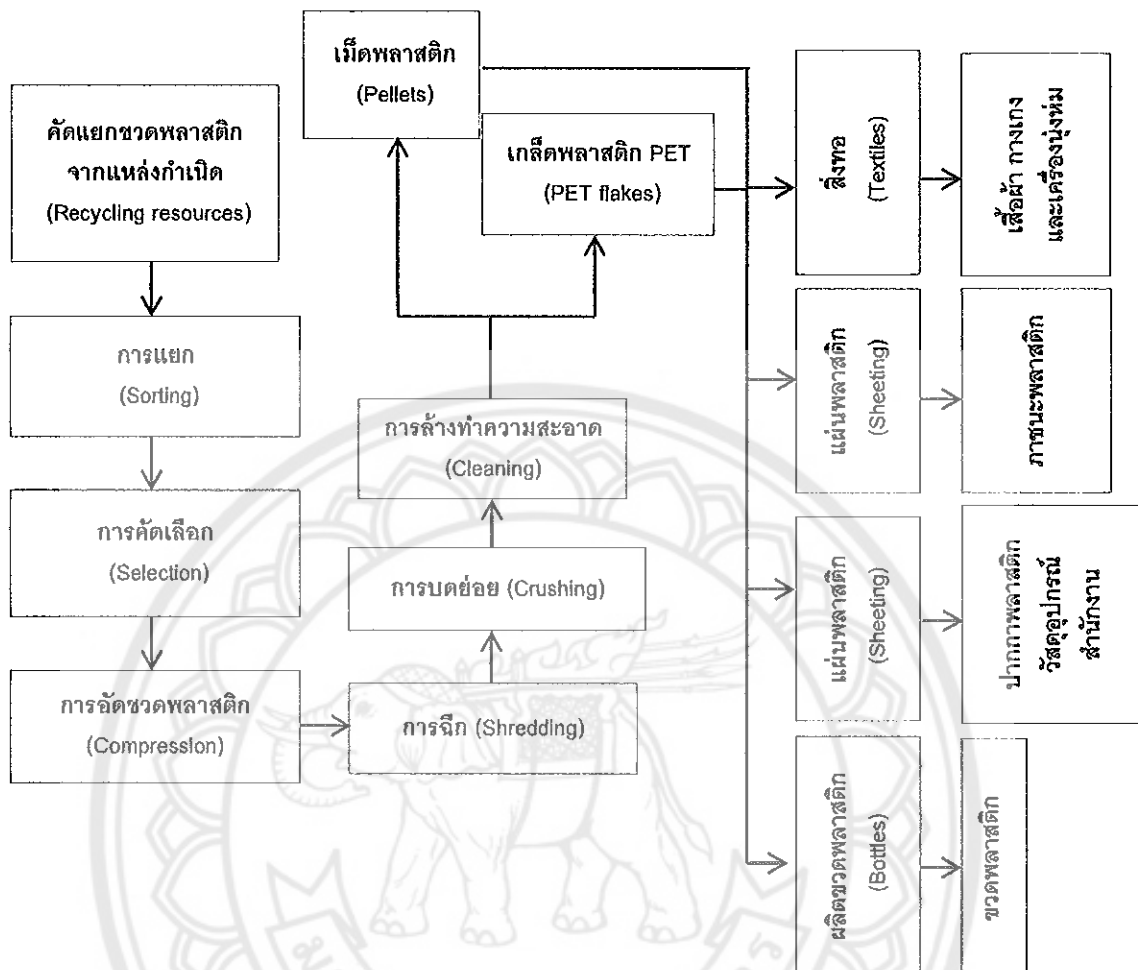
### ตาราง 6 โลหะหนักที่ปนเปื้อนอยู่ในพลาสติกและวัสดุเหลือทิ้ง

ตัวอักษร	ความเข้มข้นโลหะหนัก (ppm)						
	Cd	Cr	Cu	Mn	Pb	Zn	Ni
PP	0.02	1.20	0.60	0.70	3.80	N.D.	2.90
PET	N.D.	2.00	N.D.	0.70	3.60	N.D.	0.40
LDPE	5.60	3.20	8.00	6.20	19.00	96.00	4.00
HDPE	3.90	1.60	2.00	2.00	11.50	17.30	2.70
PS	N.D.	2.50	N.D.	0.70	4.90	61.00	3.00
กระดาษ	0.10	4.00	54.00	14.00	6.10	23.00	2.30
เส้นใย	0.10	2.50	4.50	2.60	4.20	25.00	3.70
ชีวมวล	0.01	0.50	1.40	7.20	4.90	24.00	0.80

หมายเหตุ: N.D.(Not Detected)=ตรวจไม่พบ

ที่มา: Zhao et al., 2016

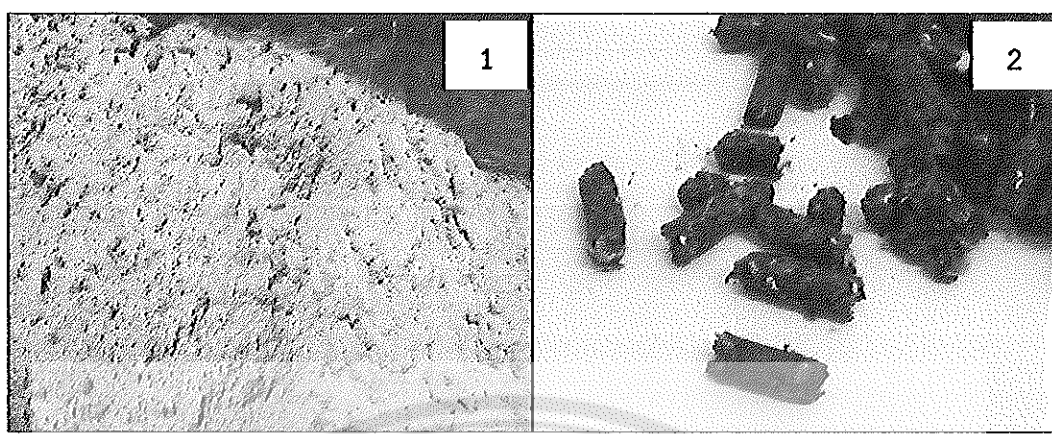
ห้องน้ำในบ้านมีกระบวนการและเทคโนโลยีต่างๆ ที่นำมาลดการเกิดปัญหาของการเพิ่มปริมาณขยะขวดพลาสติก ซึ่งหนึ่งในกระบวนการนี้คือ การนำขวดพลาสติกมาใช้เดิล แสดงดังภาพ 8 กระบวนการรีไซเคิลขวดพลาสติกของสภาริใช้เดิลขวดพลาสติกของประเทศไทย (Council for pet bottle recycling) ซึ่งมี 6 ขั้นตอนหลัก ได้แก่ การแยก (Sorting) การคัดเลือก (Selection) การตัด (Cutting) การบดย่อย (Crushing) การล้าง (Washing) และการผึ้งแห้ง (Drying) เป็นต้น ห้องน้ำในกระบวนการเหล่านี้มีการตะกรอนพลาสติกขนาดเล็ก ซึ่งมีขนาดเล็กกว่า 5 mm ไม่สามารถย่อยสลายเองได้ตามธรรมชาติและไม่สามารถนำไปใช้ประโยชน์อย่างอื่นได้ เมื่อกำจัดแบบผิดวิธี สามารถส่งผลกระทบต่อสิ่งแวดล้อมและสุขภาพ (Pegadoa et al., 2018) โดยเฉพาะถ้าตะกรอนพลาสติกนั้นมีการปนเปื้อนของตะกรอนของพลาสติกชนิด PVC เมื่อมีการเผาแบบผิดวิธี จะมีการปลดปล่อยก๊าซพิษที่เป็นกรดไฮโดรคลอร์ิก สารประกอบไดออกซิน ฟิวแรน รวมถึงสารประกอบอินทรีย์จำพวก PCBs PBBs และPBDEs ซึ่งส่งผลกระทบโดยตรงต่อสุขภาพและสิ่งแวดล้อมโดยรอบ (Bonifazi et al., 2015)



ภาพ 8 กระบวนการรีไซเคิลขวดพลาสติก

ที่มา: Plastic Waste Management Institute, 2009

อย่างไรก็ตามในขั้นตอนการบดย่อยขวดพลาสติกก็ยังมีการเกิดขึ้นเดี่ยวจากกระบวนการ ซึ่งของเสียที่เกิดขึ้นนั้นก็คือตะกรันพลาสติก แสดงดังภาพ 9 (1) ซึ่งตะกรันเหล่านี้จะถูกนำไปเพิ่มรวมกับขยะอื่นๆ เพื่อนำไปกำจัดลงในหลุมฝังกลบหรือเผาทิ้ง อย่างไรก็ตามพลาสติกมีคุณสมบัติที่เหมาะสมดังที่กล่าวมาในข้างต้นที่จะนำไปเป็นเชื้อเพลิงในการเผาใหม่ให้ในอุตสาหกรรมผลิตปูนซีเมนต์ โรงไฟฟ้า รวมถึงอุตสาหกรรมหน้อต้มไอน้ำ ซึ่งจะนำไปทำเป็นเชื้อเพลิงอัดเม็ด แสดงดังภาพ 9 (2) ที่มีคุณสมบัติเหมาะสมในการนำไปเป็นเชื้อเพลิงและเชื้อเพลิงร่วมในการเผาใหม่ได้



ภาพ 9 ตะกอนพลาสติกจากกระบวนการบดย่อยขวดพลาสติกและเชื้อเพลิงอัดเม็ด

(1) ตะกอนพลาสติกจากกระบวนการบดย่อยขวดพลาสติก

(2) เชื้อเพลิงอัดเม็ด (Casado et al., 2016)

### 8. การใช้ชีวมวลเป็นส่วนผสมในเชื้อเพลิงอัดเม็ด

คุณสมบัติของเชื้อเพลิงชีวมวลที่จะนำมาเป็นส่วนผสมของเชื้อเพลิงอัดเม็ดนี้จะต้องมีค่าความร้อนไม่ต่ำกว่า 12.55 MJ/kg ค่าคาร์บอนคงตัว (Fixed Carbon) ไม่ต่ำกว่าร้อยละ 15 เดือ(Ash) ไม่มากกว่าร้อยละ 20 และกำมะถันรวม (Total Sulfur) ไม่เกินร้อยละ 2 (คู่มือแนวทางและเกณฑ์คุณสมบัติของเชื้อเพลิงเพื่อการเปลี่ยนผ่านเชื้อเพลิงและปลอกปะตาน, 2560) จากงานวิจัยของ Balogun et al. (2014) ได้ทำงานวิจัยเกี่ยวกับการวิเคราะห์ไฟโรไลซิสของไม้สักจาก การวิจัยพบว่า คุณสมบัติของไม้สักมีค่าความชื้น (Moisture Content) ร้อยละ 15 ปริมาณเดือนร้อยละ 0.7 ปริมาณสารระเหย (Volatile matter) ร้อยละ 67.3 คาร์บอนคงตัว ร้อยละ 3.8 ค่าความร้อนสูงสุด 19.8 MJ/kg นอกจากนี้ยังมีการศึกษาเกี่ยวกับองค์ประกอบของถ่านไม้สักพบว่า องค์ประกอบทางเคมีของถ่านไม้สัก ได้แก่ คาร์บอนคงตัวมีค่าร้อยละ 75.9 ซึ่งคาร์บอนคงตัวจะแปรผันตรงกับคุณภาพ มีค่า เมื่อคุณภาพสูงขึ้นถ่านไม้มีแนวโน้มที่จะให้ร้อยละของ คาร์บอนคงตัวสูงขึ้นด้วย ในทางกลับกันปริมาณสารระเหยที่ได้จะมีแนวโน้มลดลงเมื่อเผาถ่านที่คุณภาพสูงขึ้น นอกจากนี้ถ้าถ่านไม้มีค่าร้อยละของความชื้นสูงขึ้นจะมีผลทำให้คุณิติดไฟยากขึ้นด้วย (แผนงานวิจัย การวิจัยและพัฒนาการเพิ่มมูลค่าไม้สักตัดสาขาขยายระยะจากสวนป่า โครงการ การให้ประโยชน์ถ่านและน้ำสัมควรไม้จากเศษไม้ ปลายไม้ของไม้สักเพื่อสร้างมูลค่าเพิ่ม, 2560) ซึ่ง ปริมาณเชื้ออยไม้สักมีประมาณ 268.8 ลบ.ม./ปี (อ Rathnayaka, 2017) นอกจากนี้ สามารถใช้ไม้ยูคาลิปตัสมาเป็นเชื้อเพลิงผสมของเชื้อเพลิงอัดเม็ดได้ เช่นกัน เนื่องจากมีคุณสมบัติที่เหมาะสมในการนำมาเป็นวัตถุดับตั้นผลิตเชื้อเพลิง จากรงานวิจัยของ Araújo et al. (2016)

ได้ทำการวิจัยเกี่ยวกับผลจากการทำหอริแฟคชันเพื่อผลิตก้อนไม้ยูคาลิปตัสภายใต้แรงดันที่แตกต่างกันจากการวิเคราะห์คุณสมบัติของไม้ยูคาลิปตัสพบว่า เมื่ออุณหภูมิสูงขึ้นประมาณ  $220^{\circ}\text{C}$  ค่าความชื้นลดลงร้อยละ 11.42 ปริมาณเดาร้อยละ 0.86 ปริมาณสารระเหยเพิ่มขึ้nr้อยละ 90.34 คาร์บอนคงตัวร้อยละ 8.81 และมีค่าความร้อน 20.44 MJ/kg ทั้งนี้การที่มีค่าความชื้นลดลงสามารถที่จะให้ความร้อนในเตาเผาได้ และการที่มีค่าสารระเหยเพิ่มขึ้นทั้งนี้ เนื่องมาจากเชื้อเพลิงสามารถเปลี่ยนเป็นแก๊สได้เร็วและให้ค่าความร้อนได้ดี เช่นกัน (Montané et al., 2013) ซึ่งไม้ยูคาลิปตัสในประเทศไทยมีประมาณ 6.8 ล้านตัน/ปี (กรมพัฒนาพัฒนาฯ 2556) ทั้งนี้ซึ่งข้าวโพดสามารถนำมาผลิตเป็นเชื้อเพลิงอัดเม็ดได้ดัง ในงานวิจัยของ Yao et al. (2016) ได้ทำการวิจัยเกี่ยวกับการเบรียบเทียบคุณสมบัติและการใช้ประโยชน์ได้ของข้าวโพด จากการบวนการแก๊สซิฟิเคชันและกระบวนการเผาใหม่จากการวิเคราะห์คุณสมบัติของ ข้าวโพดพบว่า มีค่าความชื้นร้อยละ 0.87 ปริมาณเดาร้อยละ 2.24 ปริมาณสารระเหยร้อยละ 79.25 คาร์บอนคงตัวร้อยละ 17.64 และจากการวิจัยของ Lin et al. (2015) ได้ทำการวิจัยเกี่ยวกับการเผาใหม่ของข้าวโพดต่อถ่านหินบีทูมินัส และไม้มเนื้อแข็งต่อถ่านหินบีทูมินัสจากการวิเคราะห์ค่าความร้อนของข้าวโพดพบว่า มีค่าความร้อนสูงสุดเท่ากับ 17.36 MJ/kg ซึ่งในประเทศไทยมีปริมาณข้าวโพดประมาณ 120,997.14 ตัน/ปี (กรมพัฒนาพัฒนาฯ 2556)

## 9. กระบวนการหอริแฟคชัน

เป็นกระบวนการทางความร้อนที่ต้องการแปลงสภาพวัตถุดินหรือเชื้อเพลิง โดยใช้อุณหภูมิไม่สูงนักประมาณ  $200\text{-}400^{\circ}\text{C}$  ภายใต้สภาวะไร้ออกซิเจนหรือเรียกว่าเป็นกระบวนการ "ไฟโรไคลซิส" ที่อุณหภูมิต่ำ ซึ่งกระบวนการหอริแฟคชันที่  $200\text{-}220^{\circ}\text{C}$  เป็นการเพิ่มศักยภาพด้านพลังงานและเพิ่มประสิทธิภาพด้านคุณสมบัติของเชื้อเพลิงอัดเม็ด เช่น เพิ่มความแข็งเกร่งเพิ่มคุณสมบัติการไม้ขับความชื้น (Araújo et al., 2016) นอกจากนี้ในงานวิจัยของ Recari et al. (2017) ได้ทำงานวิจัยเกี่ยวกับการศึกษาการหอริแฟคชันของเชื้อเพลิงอัดเม็ดเพื่อพัฒนาคุณสมบัติของเชื้อเพลิงสำหรับกระบวนการแก๊สซิฟิเคชันจากงานวิจัยพบว่า กระบวนการหอริแฟคชันที่อุณหภูมิที่เหมาะสมประมาณ  $290\text{-}320^{\circ}\text{C}$  จะช่วยลดปัญหาที่เกิดจากสารอีโนมาติก สารประกอบซัลเฟอร์ สารประกอบโลหะคลอไรด์จากเชื้อเพลิงอัดเม็ดที่ผลิตมากจากขยะพลาสติก ซึ่งสามารถถูกป้องกันโดยเชื้อเพลิงอัดเม็ดแล้วนำเข้าสู่กระบวนการเผาสามารถทำให้เกิดการกัดกร่อนของเตาเผาได้ นอกจากนี้กระบวนการหอริแฟคชันสามารถทำให้

เชื้อเพลิงอัดเม็ดมีค่าความร้อนเพิ่มขึ้นโดยเชื้อเพลิงอัดเม็ดที่ฝานกระบวนการหอริแฟคชันที่อุณหภูมิ  $290^{\circ}\text{C}$  มีค่าความร้อนต่ำสุดเพิ่มขึ้น  $25.44\text{ MJ/kg}$  จากเชื้อเพลิงอัดเม็ดที่ไม่ได้ฝานกระบวนการหอริแฟคชันมีค่าความร้อนต่ำสุด  $23.29\text{ MJ/kg}$  ในงานวิจัยของ Yue et al. (2017) ได้ทำงานวิจัยเกี่ยวกับการนำชีวมวลข้าวฟ่างไปฝานกระบวนการหอริแฟคชันเพื่อพัฒนาคุณสมบัติทางด้านเชื้อเพลิงจากการวิจัยพบว่า กระบวนการหอริแฟคชันที่อุณหภูมิ  $100-200^{\circ}\text{C}$  ซึ่งเป็นช่วงอุณหภูมิที่น้ำระเหยออกจาก ชีวมวล นอกจากนี้ถ้าอุณหภูมิในการหอริแฟคชันและออกซิเจนในชีวมวลลดลง การทำปฏิกิริยาความร้อนของเอนไซม์เซลลูโลสและเซลลูโลสบนส่วนจะส่งผลทำให้ค่าของพลังงานความร้อนลดลง ในส่วนของอุณหภูมิที่  $300^{\circ}\text{C}$  จะส่งผลให้อัตราส่วนออกซิเจน/คาร์บอน ( $\text{O/C}$ ) และอัตราส่วนไฮโดรเจน/คาร์บอน ( $\text{H/C}$ ) ลดลงตามไปด้วย เนื่องจากหมู่ไไซดรอกซิลในชีวมวลลดลง นอกจากนี้ในงานวิจัยยังพบว่า กระบวนการหอริแฟคชันสามารถทำให้ค่าความชื้นของชีวมวล ข้าวฟ่างลดลง โดยการหอริแฟคชันที่อุณหภูมิ  $300^{\circ}\text{C}$  ทำให้ค่าความชื้นลดลงร้อยละ  $4.37$  จาก ชีวมวลข้าวฟ่างที่ไม่ผ่านกระบวนการหอริแฟคชัน ซึ่งมีค่าความชื้นร้อยละ  $9.29$  และสามารถทำให้ค่าความร้อนสูงสุดของชีวมวลข้าวฟ่างเพิ่มขึ้น  $26.88\text{ MJ/kg}$  จากชีวมวลข้าวฟ่างที่ไม่ผ่านกระบวนการหอริแฟคชันซึ่งมีค่าความร้อนสูงสุด  $16.45\text{ MJ/kg}$  ซึ่งกระบวนการหอริแฟคชันสามารถเพิ่มศักยภาพทางด้านพลังงานความร้อนลดความชื้นและปริมาณคอลอเรตให้กับเชื้อเพลิงได้

ในด้านเทคโนโลยีที่นำมาใช้ในการหอริแฟคชันนั้นมีหลากหลายเทคโนโลยี ดังเช่นในงานวิจัยของ Lee et al. (2016) ได้ใช้เครื่องปฏิกรณ์แบบเบดคงที่ (Fixed bed reactor system) ในการหอริแฟคชัน โดยใช้อุณหภูมิที่  $250^{\circ}\text{C}$  1 ชั่วโมง อัตราการไหลของก๊าซในต่อจุน  $50\text{ ml/min}$  ในการหอริแฟคชัน เครื่องปฏิกรณ์นี้จะประกอบไปด้วยเตาเผาความร้อนสูง ตัวควบคุมก๊าซในต่อจุนและอุณหภูมิ ระบบหล่อเย็นผลิตของเหลว และส่วนเก็บก๊าซ โดยผสัตตภันฑ์ที่ปล่อยออกมารจากเครื่องปฏิกรณ์จะห่วงการหอริแฟคชันจะผ่านไปยังระบบหล่อเย็นที่ผลิตของเหลว ที่อุณหภูมิ  $-21^{\circ}\text{C}$  ส่วนก๊าซจะถูกเก็บด้วยถุงก๊าซเทฟлонเชื่อมกับตัวเก็บของเหลว ในงานวิจัยของ Recari et al. (2017) ได้ใช้เครื่องปฏิกรณ์ Pilot auger (Pilot auger reactor) มาทำการหอริแฟคชันโดยใช้อุณหภูมิ  $290-320^{\circ}\text{C}$  เวลา 15 นาที อัตราการไหลของก๊าซในต่อจุน  $8\text{ NL/min}$  ในกระบวนการหอริแฟคชัน ซึ่งเครื่องปฏิกรณ์จะประกอบไปด้วย ระบบป้อนหัวอย่าง เครื่องอบแห้ง เครื่องปฏิกรณ์หอริแฟคชัน สกูร์รับบายความร้อน เครื่องสำหรับเก็บรวมของแข็งและระบบควบแน่น โดยเครื่องอบแห้ง เครื่องปฏิกรณ์หอริแฟคชันและสกูร์รับบายความร้อนจะประกอบกันเป็นท่อแนวอน โดยจะมีระบบไฟฟ้าที่ให้ความร้อนเป็นตัวควบคุมอุณหภูมิ ส่วน

ความเย็นจะถูกควบคุมด้วยวัสดุเตอร์เจ็คเก็ต (Water jacket) ในการดำเนินการทอริแฟคชันจะใส่ เชือเพลิงเข้าไปในระบบป้อนตัวอย่าง จากนั้นเชือเพลิงจะผ่านเข้าสู่เครื่องอบแห้งและไหลเข้าสู่เครื่องปฏิกิริยาริแฟคชัน หลังจากนั้นเชือเพลิงที่ได้จะถูกเก็บด้วยเครื่องเก็บรวมของแข็ง สร้างก๊าซที่ได้จะถูกเก็บไว้ที่ระบบไชโคลนเพื่อกำจัดอนุภาคขนาดเล็ก และถูกส่งไปยังระบบควบแน่นเพื่อควบแน่นก๊าซให้กล้ายเป็นของเหลว และในงานวิจัยของ Manouchehrinejad et al. (2018) ใช้ เครื่องปฏิกิริยแบบงา (Batch reactor) 在การทอริแฟคชันโดยเครื่องปฏิกิริยทำจากโลหะทึบ ภายในจะประกอบด้วยเตาเผาความร้อนไฟฟ้า และเครื่องปฏิกิริยนี้จะปิดด้วยปะเก็นโลหะ (Steel gasket) เพื่อบังกันไม่ให้ก๊าซพิษระห่ำงการทอริแฟคชันออกจากระบบ และใช้เครื่อง เทอร์โมคปเปลเป็นตัวดักอุณหภูมิในการทอริแฟคชัน โดยก๊าซหรือปริมาณสารระเหยของเชือเพลิงที่ เกิดจากการทอริแฟคชันจะถูกเก็บในรูปของ Torgas และถูกส่งไปยังระบบควบแน่นเพื่อเปลี่ยน สถานะเป็นของเหลว ใน การดำเนินการทอริแฟคชันจะเริ่มดำเนินการใส่เชือเพลิงลงไปในเครื่อง ปฏิกิริยที่อุณหภูมิห้อง และหลังจากนั้นให้ความร้อนในการทอริแฟคชันที่อุณหภูมิ 230 250 290 °C เวลา 30 นาที อัตราการไหลของก๊าซในต่อจูน 2 L/min หลังจากการทอริแฟคชัน เครื่องปฏิกิริยจะมีพัดลมเป็นตัวช่วยลดความร้อนจนกระทั่งตัวอย่างมีความร้อนลดลง ที่อุณหภูมิห้อง และเก็บเชือเพลิงที่ผ่านการทอริแฟคชันเพื่อนำไปวิเคราะห์ต่อไป

## 10. การปนเปื้อนโลหะหนักของเชือเพลิงอัดเม็ด

การผลิตเชือเพลิงอัดเม็ดจากขยะถังแม้จะทำให้ปริมาณของขยะลดลงแต่ก็ยังมีปัญหา ของโลหะหนักปนเปื้อนอยู่ในเด็กของเชือเพลิง เนื่องจากในระหว่างการเผาไหม้ที่อุณหภูมิสูงก็ไม่ สามารถทำให้โลหะหนักบางชนิดสลายตัวได้ จำนวนมากจะพบในเด็กอย (Fly ash) และตะกรัน (Slag) จึงต้องมีการตรวจสอบและตรวจวิเคราะห์ปริมาณโลหะหนักปนเปื้อนซึ่งผลการวิเคราะห์ของ โลหะหนักในเชือเพลิงอัดเม็ด แสดงดังตาราง 7 โลหะหนักที่พบในเด็กส่วนใหญ่ ได้แก่ ตะกั่ว (Pb) สังกะสี (Zn) ทองแดง (Cu) โครเมียม (Cr) แคนเดเมียม (Cd) สารหมุ (As) และปรอท (Hg) เป็นต้น (Xiao et al., 2015)

ในประเทศไทยได้กำหนดให้มีการปลดปล่อยโลหะหนักจากการเผาไหม้เชือเพลิงขยะที่ ผลิตจากขยะมูลฝอย โดยองค์การบริหารการคุ้มครองสิ่งแวดล้อมของประเทศไทย (The State Environmental Protection Administration of China) ได้กำหนดให้ Cd ไม่เกิน  $0.1 \text{ mg/m}^3$  และ As Pb Cr Cu ไม่เกิน  $1 \text{ mg/m}^3$  เนื่องจากโลหะหนักเหล่านี้ไม่เพียงแต่ส่งผลกระทบต่อสิ่งแวดล้อม ได้แก่ ชั้นบรรยากาศการทำลาย มนพิษทางน้ำ มนพิษทางดินจากการสะสมของปริมาณโลหะหนัก

และห่วงโซ่อាឣาหารทางระบบปัสสาวะที่ทำลาย ยังส่งผลกระทบต่อสุขภาพของมนุษย์โดยมีผลต่อระบบทางเดินหายใจและหลอดเลือด (Respiratory and cardiovascular disease) รวมถึงสามารถทำให้เกิดโรคปอดได้ (Pulmonary disease) เป็นต้น (Ke et al., 2019) การที่พบปริมาณโลหะหนักในเต้าและตะกรันของเชื้อเพลิงอัดเม็ด เมื่อจากวัตถุที่นำมาผลิตเป็นเชื้อเพลิงอัดเม็ด มีการปนเปื้อนของโลหะหนัก ซึ่งถ้าพบโลหะหนักจำพวก Hg Zn Cr จะมีส่วนผสมของชั้นประภาก พลาสติก ชีวมวล โฟม เส้นใยผ้า และหนัง ส่วนโลหะหนักจำพวก Pb Cu Zn และ Cd ส่วนใหญ่มาจากการประภากกระดาษและพลาสติก เป็นต้น โลหะหนักที่ต้องระวังไม่ให้มีการปนเปื้อนใน เชื้อเพลิงอัดเม็ด ได้แก่ As Cd Hg และ Pb เมื่อจากโลหะหนักเหล่านี้จะระเหยกล้ายเป็นไอที่ อุณหภูมิ 800-900 °C ซึ่งจะปนเปื้อนไปกับเต้าลดอย่างซึ่งโลหะหนัก Hg และ As จะระเหยกล้ายเป็น ก๊าซเสียออกซูบรายาการ ส่วนโลหะหนัก Cd Cr Cu Pb และ Zn ประมาณร้อยละ 75-98 จะยังคง อยู่ในเต้า ซึ่งส่วนมาก Hg จะระเหยเป็นก๊าซเสียออกซูบรายาการได้มากกว่าโลหะหนักชนิดอื่น (Wagland et al., 2011) ในส่วนของสำนักงานปกป้องสิ่งแวดล้อมแห่งสหรัฐอเมริกา (Environmental Protection Agency; USEPA) ได้กำหนดให้ Hg เป็นสารระเหยอันตรายที่ส่งผลกระทบต่อสุขภาพมนุษย์และสิ่งแวดล้อม โดยกำหนดให้มีการปลดปล่อย Hg จากการเผาใหม่ เชื้อเพลิงไม่เกิน 0.1 µg/g (Hu et al., 2018) ในระหว่างการเผาใหม่เชื้อเพลิง Hg จะพบใน 3 รูปแบบ ได้แก่ อนุภาคของปarticulate (Particle-bound; Hg<sub>p</sub>) ก๊าซ (Gaseous elemental mercury; Hg<sup>0+</sup>) ที่อุณหภูมิสูงกว่า 500 °C และ เกิดปฏิกิริยาออกซิเดชัน (Gaseous mercuric oxide) เป็น Hg<sup>2+</sup> เป็นต้น ทั้งการเผาใหม่ที่อุณหภูมิสูงกว่า 800 °C Hg จะระเหยกล้ายเป็น ก๊าซเมอร์คิวริคลอไรด์ (Mercury II chloride; HgCl<sub>2</sub>) และสามารถควบແມนกถ่ายเป็นเต้าได้ โดย ส่วนมาก Hg จะระเหยกล้ายเป็นก๊าซเสียมากกว่าร้อยละ 30 และปนเปื้อนอยู่ในเต้าน้อยกว่าร้อยละ 6 (Contreras et al., 2018) ก๊าซเสียเมอร์คิวรี(I) คลอไรด์ (HgO<sub>2</sub>) สามารถส่งผลกระทบต่อสุขภาพของมนุษย์เนื่องให้รับสัมผัสทางระบบทางเดินหายใจ (Inhalation system) โดยก่อให้เกิด โรคโลหิตจาง (Anemia) เนื่องเยื่อไตถูกทำลาย (Renal histopathology) สงผลทำให้เนื้อเยื่อของไตตาย (Necrosis) รวมถึงทำให้เกิดภาวะเลือดดองของเส้นเลือดฟอยท์ไต (Hyperemia of glomerular capillaries) และทำลายระบบประสาท (Erythropoietin) เป็นต้น (Tan et al., 2018) นอกจากนี้ เมื่อได้รับสัมผัสโลหะหนัก Cd และ Pb มากกว่า 5 µg/g และ Cr Cu Zn As ได้รับสัมผัสมากกว่า 3-5 µg/g ซึ่งเมื่อได้รับสัมผัสโลหะ Pb เป็นระยะเวลานานจะทำให้เกิดโรคโลหิตจาง (Anemia) ไตตาย (Renal damage) และเสียชีวิตได้ โลหะหนัก Cd และ Cr สามารถทำลายเนื้อเยื่อตับ และเกิดโรคอีไติอีไต (Itai-Itai disease) ส่วนโลหะหนัก Cu และ Zn ทำลายเนื้อเยื่อปอด

(Pulmonary granuloma) ทำให้ความดันโลหิตสูง (Hypertension) และส่งผลทำให้เกิดโรคหัวใจ (Heart disease) เป็นต้น (Li et al., 2019) นอกจากนี้เมื่อได้รับสัมผัสโลหะหนัก As และ Cd ทางระบบทางเดินหายใจในปริมาณที่มากกว่า  $1 \times 10^{-4}$  mg/kg/day มีภาวะเสี่ยงก่อให้เกิด โรคมะเร็งได้ (Carcinogenic risk) (Jiang et al., 2017)

ตาราง 7 ปริมาณโลหะหนักที่ตรวจพบในเชื้อเพลิงอัดเม็ดจากงานวิจัยที่ผ่านมา

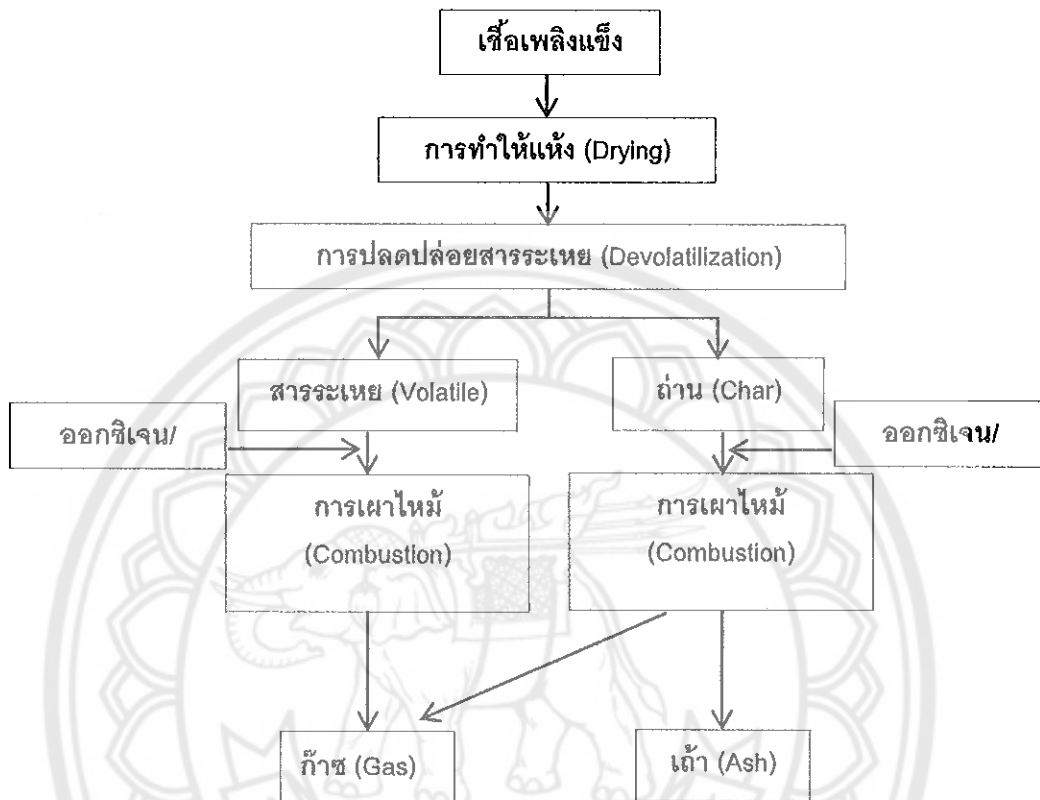
โลหะหนัก	ปริมาณการปนเปื้อน (mg/kg)			
	(1)	(2)	(3)	(4)
สารอนุ (As)	25.00	6.15	<0.50	0.01
แคนเดียม (Cd)	2.00	0.43	-	0.05
โคบอน (Co)	4.00	-	-	-
โครเมียม (Cr)	78.00	277.11	21.60	4.50
ทองแดง (Cu)	240.00	502.89	5.30	6.40
ปรอท (Hg)	0.20	0.07	<0.50	0.07
แมงกานีส (Mn)	354.00	-	140.00	39.60
ไนโตรเจน (N)	1.07	1.01	1.40	0.03
ซังกะสี (Zn)	658.00	449.41	-	10.80
ニเกิล (Ni)	52.00	55.62	16.00	-
ตะกั่ว (Pb)	235.00	36.64	28.30	1.00
กัมมะถัน (S)	0.15	0.31	0.16	0.07
พลวง (Sb)	32.00	-	-	-
ตีบุก (Sn)	18.00	-	-	-
เทลลูเรียม (Te)	2.00	-	-	-
ไทเทเนียม (Ti)	4.00	-	-	<0.10
วาเนเดียม (V)	15.00	-	-	-

ที่มา: (1) Conesa et al., 2011; (2) Xiao et al., 2015; (3) Gisi et al., 2017;  
(4) Wagland et al., 2011

## 11. ทฤษฎีการเผาไหม้

การเผาไหม้ (Combustion) เป็นกระบวนการที่สารประกอบอินทรีย์ได้แก่ คาร์บอน และ 'ไฮโดรเจน ทำปฏิกิริยาออกซิเดชัน (Oxidation) กับออกซิเจนได้ผลลัพธ์ความร้อนออกมา ซึ่งการเผาไหม้ที่สมบูรณ์ของเชื้อเพลิงต้องมีปริมาณออกซิเจนที่เพียงพอ (อนุญา เก้าศด, 2561) ส่วนการเผาไหม้ที่ไม่สมบูรณ์เกิดจากปริมาณของออกซิเจนไม่เพียงพอที่จะทำให้carbonหันหมดเผาไหม้ได้ ก้าว carbon ได้ออกไซด์โดยจะเกิดเป็นก้าว carbon monoxide (เดช วัฒนชัยยิ่งเจริญ, 2555) ในกระบวนการเผาไหม้เชื้อเพลิงจะประกอบไปด้วย 4 กระบวนการ ได้แก่ กระบวนการที่ 1 การทำให้แห้ง (Drying) เป็นกระบวนการที่ระเหยความชื้นออกจากเชื้อเพลิงหลังจากได้รับความร้อนที่อุณหภูมิ ในช่วง 100-250 °C กระบวนการที่ 2 การปลดปล่อยสารระเหย (Devolatilization) เป็นกระบวนการที่เกิดการระเหยของสารระเหยประกอบด้วยสารระเหยที่ควบแน่นไม่ได้ (Non-Condensable volatile) หรือก้าวและสารระเหยที่ควบแน่นได้ (Condensable volatile) หรือหาร์(Tar) โดยเกิดที่อุณหภูมิในช่วง 250-500 °C และเกิดเป็นถ่าน (Char) กระบวนการที่ 3 เป็นกระบวนการเผาไหม้ของสารระเหย (Volatile combustion) เป็นกระบวนการที่สารระเหยถูกปล่อยออกมานำเสนอที่ความร้อนที่เกิดขึ้นจะนำไปใช้ในกระบวนการทำให้แห้งและกระบวนการปลดปล่อยสารระเหย ส่วนกระบวนการที่ 4 การเผาไหม้ของถ่าน (Char combustion) เป็นกระบวนการที่ถ่านได้ปลดปล่อยสารระเหยแล้ว โดยส่วนใหญ่จะประกอบด้วยcarbonเมืองทำให้มีค่าความร้อนจากการเผาไหม้สูงกว่าการเผาไหม้สารระเหย แต่อัตราการเกิดปฏิกิริยาจะช้ากว่าเนื่องจากเป็นปฏิกิริยาแบบวิวิธพันธ์ (Heterogeneous reaction) ระหว่างถ่านกับออกซิเจนโดยมีการแพร่ของออกซิเจนไปที่พื้นผิวของของแข็งก่อนการเกิดปฏิกิริยาซึ่งจะเป็นตัวกำหนดอัตราการเกิดปฏิกิริยา กระบวนการการเผาไหม้แสดงดังภาพ 10 (ประพันธ์ คุชลธารา และ ศศิธร สรวพ่อค้า, 2558) ทั้งนี้กระบวนการที่ทำให้เกิด NOx จากการเผาไหม้มีอยู่ 3 กระบวนการดังนี้ กระบวนการแรก คือ กลไกการเกิด Thermal NOx เป็นกระบวนการที่ออกซิเจนและไนโตรเจนในอากาศบางส่วนรวมตัวกันเกิดเป็น NO และ NO<sub>2</sub> ซึ่งเกิดขึ้นในบริเวณที่มีอุณหภูมิสูงในขณะเผาไหม้เชื้อเพลิงในอากาศ กระบวนการที่สอง คือ กลไกการเกิด Flue NOx เกิดจากการเผาไหม้เชื้อเพลิงที่มีไนโตรเจนเป็นองค์ประกอบ โดยจะทำให้เกิด NO และ NO<sub>2</sub> และกระบวนการสุดท้าย คือ กลไกการเกิด Prompt NOx เป็นกลไกที่ NOx จากการเผาไหม้จากปฏิกิริยาระหว่างโมเลกุลของไนโตรเจนกับอนุมูลิสระของสารไฮโดรเจนไซยาไนด์ (HCN) และไนโตรเจน (N) ที่มีอยู่ในเปลวไฟซึ่งปฏิกิริยาที่เกิดขึ้นจะไม่เกี่ยวกับอุณหภูมิของก้าวและเผาไหม้ เป็นต้น ปัจจัยที่สำคัญที่ทำให้เกิด NOx ได้แก่

อุณหภูมิ เวลาการเผาไหม้ และปริมาณของออกซิเจนที่ญี่ในบริเวณที่เกิดการเผาไหม้ เป็นต้น  
(นพกานพ พานิช, 2547)

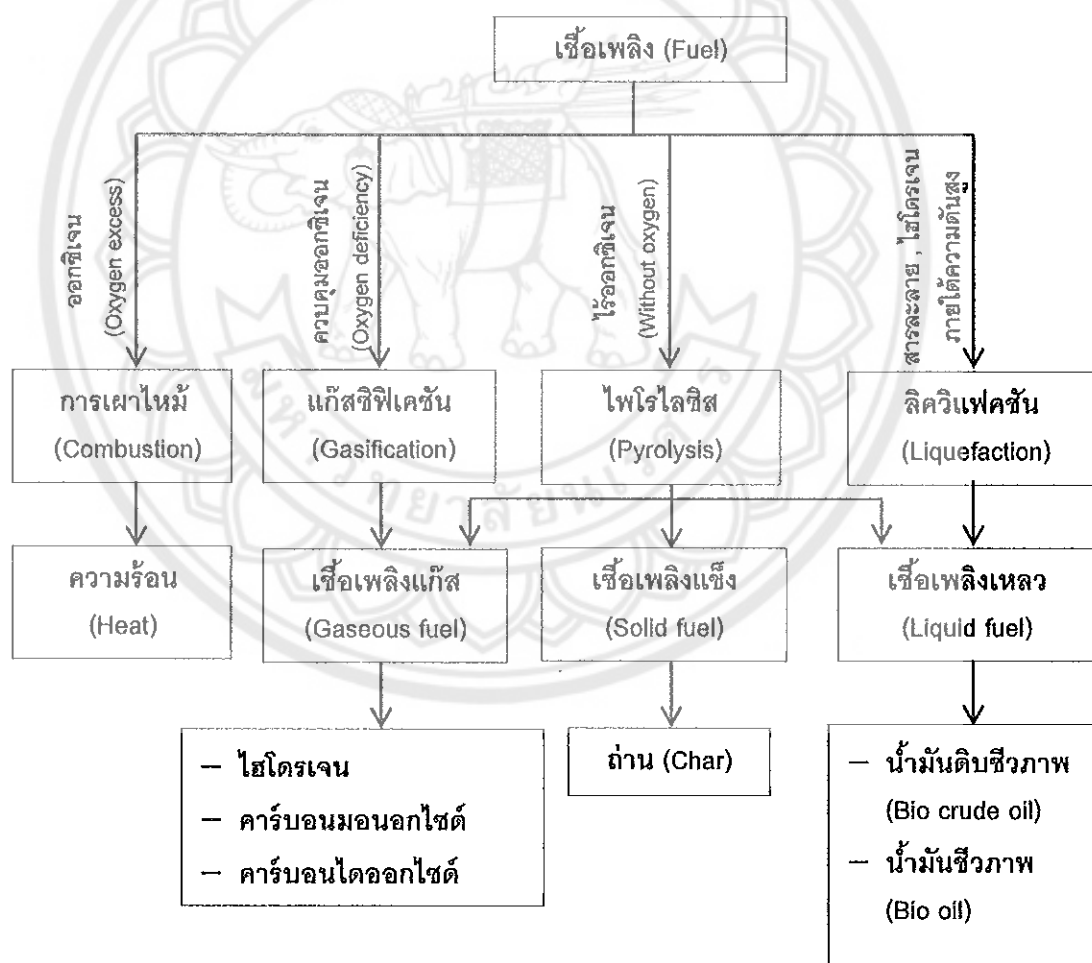


ภาพ 10 กระบวนการเผาไหม้เชื้อเพลิงแข็ง

ที่มา: ประพันธ์ คุชจารava ,และศศิธร สรวฟอค้า, 2558

ในการแปลงสภาพทางเคมีความร้อน (Thermochemical conversion) ของเชื้อเพลิงเป็นกระบวนการที่เกิดปฏิกิริยาเคมีที่อุณหภูมิสูงกว่าอุณหภูมิห้อง โดยจะประกอบด้วยการเผาไหม้ (Combustion) ไฟโรไลซิส (Pyrolysis) แก๊สซิฟิเคชัน (Gasification) และลิควิแฟคชัน (Liquefaction) ซึ่งการเผาไหม้จะทำปฏิกิริยากับออกซิเจนได้ความร้อน (Heat) การไฟโรไลซิสเป็นกระบวนการทางความร้อนในช่วงอุณหภูมิ 250-700°C ในสภาวะที่ไร้ออกซิเจน (Without oxygen) สามารถถ่ายพันธะทางเคมีและทำให้เกิดการสูญเสียน้ำหนักของโมเลกุลของสารประกอบอินทรีย์ ในช่วงเวลา เนื่องจากมีการระเหยความชื้นและสารระเหยออกจากเชื้อเพลิงซึ่งผลิตภัณฑ์สุดท้ายที่ได้จากการไฟโรไลซิสจะเป็นเชื้อเพลิงแข็ง (Solid fuel) หรือถ่าน (Char) และก๊าซไฮโดรเจน คาร์บอน มอนอกไซด์ คาร์บอนไดออกไซด์ และจะได้ไว้มันดินชีวภาพ (Bio crude oil) เป็นผลิตภัณฑ์ใน

สถานะของเหลวออกมาน้ำด้วย ส่วนแก๊สซิฟิเคชันเป็นกระบวนการทางเคมีที่เปลี่ยนเชื้อเพลิงแข็งเป็น เชื้อเพลิงก๊าซ (Syngas) โดยจะมีการรับอนุมอนออกไซด์และไฮดรเจนเป็นองค์ประกอบหลัก ซึ่ง เชื้อเพลิงก๊าซที่เกิดขึ้นสามารถนำไปผลิตเป็นเชื้อเพลิงสังเคราะห์ได้ (Synthetic fuel) เช่น เชื้อเพลิง ก๊าซชีวภาพ (Biofuel) (Nicodème et al., 2018) การแปลงสภาพทางเคมีความร้อนแบบ ลิกวิแฟคชันของเชื้อเพลิง เป็นกระบวนการที่เปลี่ยนเชื้อเพลิงจากสถานะก๊าซและของแข็งไปเป็น เชื้อเพลิงเหลว (Liquid fuel) ที่อุณหภูมิ  $280\text{--}370\text{ }^{\circ}\text{C}$  ภายใต้ความดัน  $5\text{--}21\text{ kg/cm}^2$  จะได้ เชื้อเพลิงเหลว ได้แก่ น้ำมันดิบชีวภาพ (Bio-crude) และน้ำมันชีวภาพ (Bio oil) ซึ่งเชื้อเพลิงเหลว ที่ได้จากการกระบวนการนี้จะมีคอกหีเจนและน้ำอยู่น้อย (Han et al., 2019) การแปลงสภาพทางเคมี ความร้อนของเชื้อเพลิง แสดงดังภาพ 11



ภาพ 11 การแปลงสภาพทางเคมีความร้อน (Thermochemical conversion) ของเชื้อเพลิง

ที่มา: Goffe et al., 2018; ประพันธ์ ศุขจารava, และศศิธร สรวพ่อค้า, 2558

## 12. มลพิษที่เกิดจากการเผาไหม้เชื้อเพลิง

การเผาไหม้เชื้อเพลิงไม่ว่าจะเป็นเชื้อเพลิงจากถ่านหิน ชีวมวล หรือเชื้อเพลิงที่ผลิตจากขยะหรือของเสียที่ไม่สามารถนำไปใช้ประโยชน์ได้มาผลิตเป็นเชื้อเพลิงทดแทน เป็นอีกสาเหตุหนึ่งที่สามารถก่อให้เกิดสารมลพิษจากการเผาไหม้ อากาศเสีย (Flue gas) และสารประกอบของโลมาติกต่างๆ ซึ่งสามารถส่งผลกระทบต่อสุขภาพและสิ่งแวดล้อมได้ ทั้งนี้กําลังเสียเกิดจากกระบวนการเผาไหม้เชื้อเพลิงซึ่งส่วนใหญ่จะก่อให้เกิดสารมลพิษต่างๆ ได้แก่ คาร์บอนไดออกไซด์ ( $\text{CO}_2$ ) คาร์บอนมอนอกไซด์ ( $\text{CO}$ ) ออกซิเจน ( $\text{O}_2$ ) ออกไซด์ของไนโตรเจน ( $\text{NOx}$ ) และซัลฟอร์ไดออกไซด์ ( $\text{SO}_2$ ) เป็นต้น  $\text{CO}$  เกิดจากการเผาไหม้ที่ไม่สมบูรณ์ซึ่งเป็นอันตรายต่อสุขภาพเนื่องจากเมื่อเข้าสู่ร่างกายแล้วสามารถทำปฏิกิริยา กับเม็ดเลือดแดง แล้วเกิดเป็นคาร์บอโคไฮโมโกลบิน (Carboxy-haemoglobin;  $\text{COHb}$ ) ทำให้ออกซิเจนไปเลี้ยงส่วนต่างๆ ของร่างกายไม่เพียงพอส่งผลทำให้เกิดอาการวิงเวียน (Dizziness) คลื่นไส้อาเจียน (Nausea) ปวดหัว (Headache) ถ้าได้รับในปริมาณมากสามารถทำให้หมดสติและเสียชีวิตได้ (Mabahwi et al., 2014) นอกจากนี้  $\text{CO}_2$  เป็นกําลังที่อยู่ในชั้นบรรยากาศครึ่งละ 0.033 โดยปริมาตรหรือมีความเข้มข้น 387 ppm ซึ่ง ASHRAE (American Society of Heating, Refrigerating and Air-Conditioning Engineers) "ได้กำหนดให้ความเข้มข้นของ  $\text{CO}_2$  ภายในอาคารต้องไม่เกิน 1,000 ppm (บริษัท ภานุภูมิ จำกัด จ.ชัยนาท 2560) ทั้งนี้ถ้ามีการเผาไหม้ของเชื้อเพลิงเพิ่มมากขึ้นส่งผลทำให้มีปริมาณของ  $\text{CO}_2$  ในชั้นบรรยากาศเพิ่มสูงขึ้น และทำให้เกิดปรากฏการณ์เรือนกระจก (Greenhouse effect) ตามมา (สถาบันวิจัยวิทยาศาสตร์และเทคโนโลยีแห่งประเทศไทย, 2558) นอกจากนี้ยังมี  $\text{SO}_2$  ที่เป็นกําลังเสียซึ่งเกิดจากการเผาไหม้เชื้อเพลิง กําชันนิดนี้มีส่วนประกอบของกำมะถันซึ่งเป็นสาเหตุทำให้เกิดฝันกรด (อนิยา เก้าศล, 2561) อีกทั้งยังส่งผลกระทบต่อสุขภาพเมื่อได้รับสัมผัสทางระบบทางเดินหายใจเข้าสู่ร่างกายจะทำให้เป็นโรคหืดหอบ (Asthma) หายใจลำบาก (Shortness of breath) และทำให้เกิดโรคหัวใจและหลอดเลือด (Cardiovascular disease) (Khaniabadi et al., 2016) ส่วน  $\text{NOx}$  เกิดจากการเผาไหม้ที่อุณหภูมิสูงซึ่งออกไซด์ของไนโตรเจน ได้แก่ ในตรัสรออกไซด์ ( $\text{N}_2\text{O}$ ) ในตริกออกไซด์ ( $\text{NO}$ ) ในไนโตรเจนไดออกไซด์ ( $\text{NO}_2$ ) และในไนโตรเจนไตรออกไซด์ ( $\text{N}_2\text{O}_3$ ) เป็นต้น ทั้งนี้  $\text{NO}$  เป็นกําลังที่ไม่มีกลิ่น ไม่มีสี เมื่อทำปฏิกิริยา กับออกซิเจนจะเปลี่ยนเป็น  $\text{NO}_2$  ซึ่งกําชันนิดนี้มีกลิ่นฉุน ละลายน้ำได้ดี และเป็นสาเหตุทำให้เกิดฝันกรดได้ (อนิยา เก้าศล, 2561) เมื่อได้รับสัมผัสเข้าสู่ร่างกายส่งผลทำให้ระบบทางเดินหายใจติดเชื้อ (Respiratory infection) เกิดอาการไอ เจ็บคอ คัดจมูก และเป็นไข้ นอกจากนี้ทำให้เกิดหลอดลมอักเสบ (Bronchitis) และปอดบวม (Pneumonia) (Mabahwi et al.,

2014) นอกจากนี้ยังมีฝุ่นละอองขนาดเล็กที่เกิดจากการเผาไหม้มอย่างฝุ่นละอองขนาดไม่เกิน  $2.5 \mu\text{m}$  หรือ PM<sub>2.5</sub> และฝุ่นละอองขนาดไม่เกิน  $10 \mu\text{m}$  หรือ PM<sub>10</sub> นอกจากจะบดบังทัศนวิสัย แล้วสามารถส่งผลต่อสุขภาพได้ เนื่องจากทำให้ระบบทางเดินหายใจติดเชื้อ (Respiratory Infection) ปอดอักเสบ (Lung inflammation) และสามารถทำให้เกิดโรคหัวใจได้ (Cardiopulmonary disease) (Mabahwi et al., 2014) ด้านค่ามาตรฐานในการกำหนดของปริมาณ CO ตามประกาศกระทรวงทรัพยากรธรรมชาติและสิ่งแวดล้อม เรื่อง กำหนดมาตรฐานควบคุมการปล่อยทึ้งอากาศเสียจากโรงงานอุตสาหกรรมได้กำหนดให้ CO มีความเข้มข้นไม่เกิน 690 ppm ปริมาณ NO<sub>x</sub> มีความเข้มข้นไม่เกิน 200 ppm และ SO<sub>2</sub> มีความเข้มข้นไม่เกิน 60 ppm (นพกพาร พานิช, 2550) องค์กรอนามัยโลก (World Health Organization; WHO) ได้กำหนดค่ามาตรฐานของ PM<sub>2.5</sub> ไม่เกิน  $10 \mu\text{m}^3$  และ PM<sub>10</sub> ต้องไม่เกิน  $20 \mu\text{m}^3$  NO<sub>2</sub> ไม่เกิน  $40 \mu\text{m}^3$  SO<sub>2</sub> ไม่เกิน  $20 \mu\text{m}^3$  CO ไม่เกิน  $60 \text{ mg/m}^3$  (WHO, 2006)

ในส่วนของมลพิษประเภทสารประกอบอะโรมาติก (Aromatic compounds) ที่เกิดจากการเผาไหม้เชื้อเพลิง ซึ่งสำนักงานปกป้องสิ่งแวดล้อมแห่งสหรัฐอเมริกา (US Environmental Protection Agency; US.EPA) ให้ความสำคัญ ได้แก่ โพลีไซคลิกอะโรมาติกไฮドราคาร์บอน (Polycyclic Aromatic Hydrocarbons; PAHs) 16 ชนิด และ สารกลุ่ม BTEX เนื่องจากสามารถก่อให้เกิดมะเร็งในมนุษย์เมื่อได้รับสัมผัส

ทั้งนี้สารประกอบ 16PAHs เป็นสารประกอบไฮโดราคาร์บอนที่ประกอบด้วยวงบนซึ่นตั้งแต่ 2 วงขึ้นไป ซึ่งมีจุดเดือดระหว่าง  $150-325^\circ\text{C}$  และมีจุดหลอมเหลวระหว่าง  $101-438^\circ\text{C}$  US.EPA พบว่า 16PAHs จัดอยู่ในสารก่อมะเร็งที่เกิดจากการเผาไหม้ไม่สมบูรณ์ (ศูนย์วิจัยและฝึกอบรมด้านสิ่งแวดล้อม กรมส่งเสริมคุณภาพสิ่งแวดล้อม กระทรวงทรัพยากรธรรมชาติและสิ่งแวดล้อม, 2560) นอกจากนี้ 16PAHs สามารถเกิดขึ้นได้เองตามธรรมชาติ เช่น ภูเขาไฟระเบิด ไฟป่า เป็นต้น และยังเกิดจากกิจกรรมของมนุษย์ ได้แก่ การเผาไหม้ การคมนาคม การเผาเชื้อเพลิง รวมถึงเกิดจากการเผาที่มาจากการเผาไหม้และเศษตกรถรวม เป็นต้น ทั้งนี้ US.EPA 1993 ได้กำหนด PAHs ออกเป็น 16 ชนิด ให้เป็นสารพิษอันตรายที่จะต้องให้ความสำคัญ ได้แก่ อะซีแนฟทิลลีน (Acenaphthylene; AcPy) อะซีแนฟทีน (Acenaphthene; AcP) แอนතราเซน (Anthracene; AnT) บันโซเอ็นทราเซน (Benzo (a)anthracene; B(a)A) บันโซโซเฟรน (Benzo (a)pyrene; B(a)P) บันโซบีฟลูออรานธีน (Benzo (b)fluoranthene; B(b)F) บันโซเฟลฟลูออรานธีน (Benzo (k)fluoranthene; B(k)F) บันโซเจ็อกโซไฟเรน (Benzo (g,h,i)-perylene; B(ghi)P) ไครซีน (Chrysene; Chr) ไดบันโซเอ็นทราเซน (Dibenz (a,h)-

anthracene; DbA) พลูออรีน (Fluorene; Flu) พลูอานธเรนท์ (Fluoranthene; FluA) อินเดน(1,2,3-ซีดี)ไพรีน(Indene (1,2,3-cd)pyrene; InP) แอนฟทาเลน (Naphthalene; NaP) ฟีเคนท์รีน (Phenanthrene; PhA) ไพรีน (Pyrene; Pyr) เป็นต้น และได้กำหนด 16PAHs ต้องไม่เกิน  $1 \text{ ng/m}^3$  (Standards Air Quality Environment European Commission, 2017) นอกจากนี้ได้กำหนด 16PAHs ที่อาจก่อให้เกิดมะเร็งต่อมนุษย์ และได้กำหนดความเสี่ยงในการก่อมะเร็งของ 16PAHs แต่ละชนิดดังตาราง 8

สารกลุ่ม BTEX เป็นสารอินทรีย์ระเหยง่ายในกลุ่มของสารไฮโดรคาร์บอน ได้แก่ เบนซีน (Benzene; Ben) โทลูอีน (Toluene; Tol) เอทธิลเบนซีน (Ethylbenzene; EtB) และไอกลีน (Xylene; Xy) เป็นต้น ซึ่งสารเหล่านี้มีอยู่ในน้ำมันเชื้อเพลิง พลาสติกและพลาสติก เป็นต้น สารเหล่านี้ มีผลกระทบต่อระบบประสาท นอกจากนี้องค์การวิจัยโรคมะเร็งนานาชาติ (International Agency for Research on Cancer ; IARC) ได้จัดให้สารเบนซีนเป็นสารก่อมะเร็งชั้งส่งผลทำให้เกิดมะเร็ง เม็ดเลือดขาว (Leukemia) และสารเอทธิลเบนซีนเป็นสารที่อาจก่อให้เกิดมะเร็งในมนุษย์ (Ruangtrakul et al., 2013) ทั้งนี้ US.EPA ได้กำหนดให้ค่าความเสี่ยงที่ก่อให้เกิดมะเร็งของ BTEX ต้องต่ำกว่า  $1 \times 10^{-6} \mu\text{g/m}^3$  (Dehghani et al., 2018)

ตาราง 8 16PAHs ที่อาจก่อให้เกิดมะเร็งต่อกลุ่มตามมาตรฐาน US.EPA 1993 กำหนด

กลุ่มพิษชนิด PAHs	ความเข้มข้น (ng/m <sup>3</sup> )	US.EPA
อะซีแนปทิสเลน	-	D
อะซีแนปทิน	-	D
แอนทราร์เซน	-	D
เบนโซไซเดอแอนทราร์เซน	0.0140	B2
เบนโซไซเดอไพรีน	1.0000	B2
เบนโซไซนีฟลูออแรนทรีน	0.1670	B2
เบนโซไซเคฟลูออแรนทรีน	0.0200	B2
เบนโซจีเจาไฮไพรีน	-	D
ไครเซ็น	0.0044	B2
ไคลเบนโซเอโซแอนทราร์เซน	1.1100	B2
ฟลูออรีน	-	D
ฟลูออแรนทรีน	-	D
อินดีโน (1,2,3-ซีดี)ไพรีน	0.0550	B2
แนบทาลีน (Naphthalene)	-	D
ฟิเนนทรีน	-	D
ไฟรีน	-	D

หมายเหตุ: D ไม่สามารถจัดตั่มได้สำหรับคนและสัตว์, B2 กดั่มที่จะก่อมะเร็งต่อกลุ่ม

ที่มา: Ambient Air Pollution by Polycyclic Aromatic Hydrocarbons (PAH),  
2001; จิตรลดा มุประสิทธิ์, 2553

### บทที่ 3

#### วิธีดำเนินการวิจัย

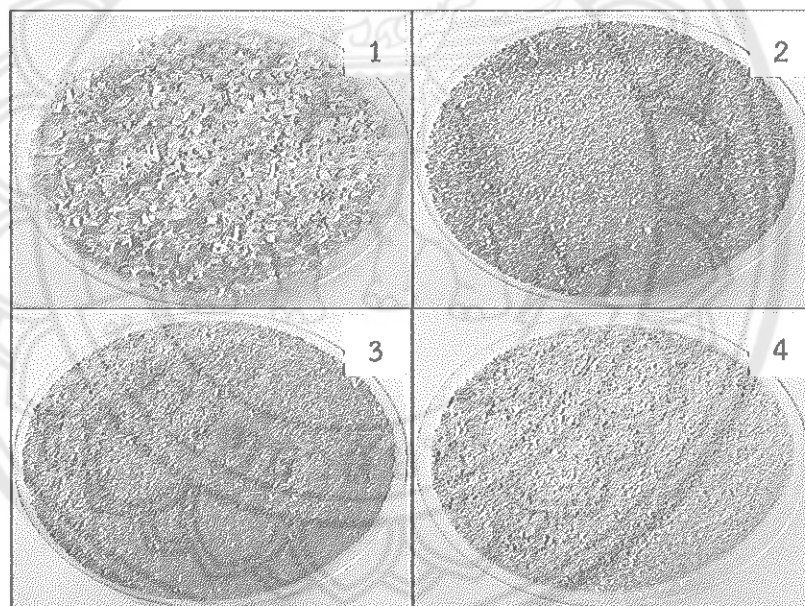
งานวิจัยนี้เป็นการศึกษาเพื่อหาสภาวะที่เหมาะสมสำหรับการปรับปรุงคุณภาพ เชื้อเพลิงอัดเม็ดจากตะกอนพลาสติกชนิด PET ผสมชีวมวลโดยใช้การทำอิริแฟค เริ่มดำเนินการโดยนำวัตถุดิบตั้งต้น ได้แก่ ตะกอนพลาสติกชนิด PET ซึ่งเลือยกิ่มสัก ซึ่งเลือยกิ่มสัก ซึ่งเลือยกิ่มสัก และชั้นข้าวโพด น้ำวิเคราะห์คุณสมบัติทางกายภาพและเคมี ค่าความร้อน จากนั้นนำมาผสมกันตามสัดส่วนที่กำหนดดังตาราง 9 และนำมาอัดด้วยเครื่องอัดไฮดรอลิก ซึ่งกำหนดอุณหภูมิ 85 100 และ 125 °C แรงดัน 100 110 และ 120 kg/cm<sup>2</sup> เวลา 0.5 1 และ 2 นาทีในการอัด จากนั้นนำเชื้อเพลิงอัดเม็ดที่ได้ แสดงดังภาพ 17 (3) ไปทดสอบค่าดัชนีความคงทน (Drop shatter index; DSİ) เพื่อเลือกสภาวะการอัดเชื้อเพลิงที่เหมาะสมโดยค่า DSİ ของเชื้อเพลิงอัดเม็ดต้องมีค่ามากกว่า 0.95 (Tembe et al., 2014) จากนั้นนำเชื้อเพลิงที่มีสภาวะการอัดที่เหมาะสมโดยมีค่า DSİ ดีที่สุดไปผ่านการทำอิริแฟคซันกำหนดสภาวะอุณหภูมิ 170 190 และ 225 °C อัตราการป้อนอากาศ 1 4 และ 6 L/min เวลา 5 10 และ 15 นาทีในการทำอิริแฟคซัน จากนั้นนำเชื้อเพลิงอัดเม็ดหลังการทำอิริแฟคซันไปทดสอบค่า DSİ เพื่อเลือกสภาวะการทำอิริแฟคซันที่เหมาะสมโดยมีค่า DSİ ดีที่สุด จากนั้นนำเชื้อเพลิงอัดเม็ดทั้งก่อนและหลังการทำอิริแฟคซันไปทดสอบหาคุณสมบัติทางกายภาพ ความร้อน ค่าการปนเปื้อนปรอทและคลอร์ด และทดสอบประสิทธิภาพเชื้อเพลิงอัดเม็ดที่ผลิตได้ทั้งก่อนและหลังการทำอิริแฟคซัน โดยการนำไปทดสอบการเผาไหม้ที่อุณหภูมิ 850 °C เพื่อวิเคราะห์ habriman ก๊าซเสียและมลพิษอากาศ ก๊าซเสีย (Flue gas) ได้แก่ CO<sub>2</sub> CO NOx และมลพิษอากาศที่เกิดจากการเผาไหม้ ได้แก่ โนโนไซคลิกอะโรมาติกไสโตรคาร์บอน หรือ BTEX เช่น เมนเซน โทลูอีน เอกิลเบนเซน ไซลีน เป็นต้น และพอลิไซคลิกอะโรมาติกไสโตรคาร์บอน (Polycyclic-aromatic hydrocarbons; PAHs) 13 ชนิด ได้แก่ อะซีแนปทิลลีน พลูอิรีน ฟิแนนทรีน แอนทรารีน ไพรีน เป็นโซเอไพรีน ไครซีน เป็นโซบีฟลูออยเรนทีน เป็นโซเคฟลูออยเรนทีน เป็นโซเอไพรีน ไดบีโนเอเอกสารนทรารีน เป็นโซจีเอส ไกไพรีน และอนดีโน (1,2,3-ซีดี) ไพรีน จากนั้นทำการสรุปผลการวิจัย ทั้งนี้ทุกการทำทดลองจะทำอย่างน้อย 3 รีซึ่งเพื่อความถูกต้องและแม่นยำของผลการทดลองที่ได้ซึ่งผลการทดลองจะถูกรายงานในรูปของค่าเฉลี่ย โดยนั้นตอนในการดำเนินงานวิจัยสามารถสรุปได้ แสดงดังภาพ 12



ภาพ 12 แผนผังดำเนินการวิจัย

### 1. วัตถุดิบที่ใช้ในการผลิตเชือเพลิงอัดเม็ด

ในขั้นตอนการดำเนินการทดสอบคุณสมบัติเชือเพลิงอัดเม็ดผลิตจากชีวมวล (ชีลีอยไม้สัก ชีลีอยไม้ยูคาลิปตัส และซังข้าวโพด) ผสมตะกอนพลาสติกชนิด PET จากกระบวนการบดอย่างรวดเร็วเป็นการวิจัยเชิงทดลองและได้เริ่มดำเนินการวิจัย โดยติดต่อประสานงานกับโรงงานเบนดขาดพลาสติกเพื่อทำการเก็บตัวอย่างตะกอนพลาสติกชนิด PET และเตรียมตัวอย่างวัตถุดิบตั้งต้นที่จะผลิตเชือเพลิงอัดเม็ด ได้แก่ ตะกอนพลาสติกชนิด PET จากการบดอย่างรวดเร็ว (ชีลีอยไม้สัก ชีลีอยไม้ยูคาลิปตัส และซังข้าวโพด) โดยจะนำวัตถุดิบตั้งต้นมาร่อนผ่านตะกรงกรองขนาด 2 mm เพื่อแยกเศษดินและหินออกจากวัตถุดิบตั้งต้น รวมทั้งเพือคัดขนาดของวัตถุดิบให้มีขนาดเท่ากัน จากนั้นนำวัตถุดิบตั้งต้นที่ผ่านการร่อนไปบดอย่างมีขนาดประมาณ 0.5-1 mm และดังภาพ 13



ภาพ 13 วัตถุดิบตั้งต้น;

- (1) ตะกอนพลาสติกชนิด PET
- (2) ชีลีอยไม้สัก
- (3) ชีลีอยไม้ยูคาลิปตัส
- (4) ซังข้าวโพด

## 2. การทดสอบคุณสมบัติทางกายภาพและเคมีของวัตถุดิบตั้งต้นและเชื้อเพลิงอัดเม็ดทั้งก้อนและหลังการหอริไฟฟ์ชัน

นำวัตถุดิบตั้งต้นที่จะผลิตเป็นเชื้อเพลิงอัดเม็ด ไปทดสอบคุณสมบัติทางเคมีและทางกายภาพรวมถึงวิเคราะห์คุณสมบัติเชิงความร้อน เพื่อเป็นข้อมูลขั้นต้นในการยืนยันคุณสมบัติของวัตถุดิบตั้งต้นในการนำมาผลิตเป็นเชื้อเพลิงอัดเม็ดต่อไป รวมถึงการนำเชื้อเพลิงอัดเม็ดทั้งก้อนและหลังการหอริไฟฟ์ชันมาทดสอบคุณสมบัติทางกายภาพเพื่อทราบถึงคุณสมบัติทางกายภาพของเชื้อเพลิง

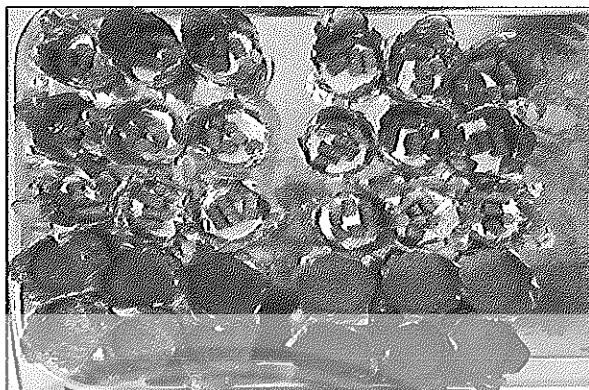
### 2.1 ทดสอบคุณสมบัติทางกายภาพและเคมี ดังนี้

2.1.1 ทดสอบคุณสมบัติทางกายภาพ (Proximate analysis) เช่น ค่าความชื้น (Moisture) ค่าสารระเหย (Volatile) ค่าคาร์บอนคงตัว (Fixed carbon) และ เศ้า (Ash) จะใช้วิธีวิเคราะห์ตามมาตรฐานโดยอ้างอิงจาก (Aller et al., 2017) ดังนี้

1) ค่าความชื้น (Moisture content) ความชื้นนี้มีผลต่อการเกิดปฏิกิริยาการเผาไหม้ถ้าเชื้อเพลิงที่มีปริมาณความชื้นต่ำจะมีประสิทธิภาพการเผาไหม้ที่ดี ตามมาตรฐาน EN 15414-3:2011 (European Committee for Standardization, 2011) เป็นการวิเคราะห์จากร้อยละของน้ำต่อน้ำหนักวัตถุดิบ การหาค่าปริมาณความชื้นทำได้โดยนำกระดาษฟอยล์ไปชั่งน้ำหนัก แล้วใส่ตัวอย่างลงในกระดาษฟอยล์ประมาณ  $5 \pm 0.0005$  กรัม(g) และดังดังภาพ 14 จากนั้นนำไปอบในตู้อบลมร้อน (Hot air oven) (Memmert) ที่อุณหภูมิ  $110^{\circ}\text{C}$  เป็นเวลา 24 ชั่วโมง นำกระดาษฟอยล์ออกมาทิ้งให้เย็นในโดดความชื้น (Desiccator) ประมาณ 2 ชั่วโมง แล้วนำไปชั่งน้ำหนักและคำนวณหาปริมาณความชื้นของตัวอย่างโดยคำนวณดังสมการ (1)

$$\text{ค่าความชื้น (\%)} = \frac{B-(C-A)}{B} \times 100 \quad (1)$$

- เมื่อ  
A คือ น้ำหนักของกระดาษฟอยล์ก่อนอบ (g)  
B คือ น้ำหนักของตัวอย่างก่อนอบ (g)  
C คือ น้ำหนักของกระดาษฟอยล์ (g) รวมกับน้ำหนักก่อนอบของตัวอย่าง (g) หลังอบที่อุณหภูมิ  $110^{\circ}\text{C}$  เป็นเวลา 24 ชั่วโมง



ภาพ 14 การเตรียมวัตถุดินตั้งต้นเพื่อหาปริมาณความชื้น

2) เถ้า (Ash content) เป็นปริมาณของเดือในชีวมวลหลังการเผา ซึ่งปริมาณเดือนี้สามารถบ่งบอกถึงค่าความร้อนของชีวมวลได้ เนื่องจากถ้ามีปริมาณเถ้าสูงแสดงว่าชีวมวลนั้นมีแนวโน้มที่จะมีค่าความร้อนต่ำ ตามมาตรฐาน EN 15403:2011 ให้วิเคราะห์ปริมาณเถ้า (European Committee for Standardization 15403, 2011) โดยนำครูซิเบิล (Crucible) ใส่เข้าไปในเตาเผาความร้อนสูง (Muffle Furnace) (ยี่ห้อ Chavachote รุ่น L9/12p) ที่อุณหภูมิ  $600^{\circ}\text{C}$  เป็นเวลา 1 ชั่วโมง เพื่อทำความสะอาดครูซิเบิล จากนั้นนำครูซิเบิลออกมาพิงไว้ให้เย็นในโถดูดความชื้น 24 ชั่วโมง ชั้นน้ำหนักครูซิเบิลหลังเผาแล้วนำมาใส่ตัวอย่าง อย่างละ 2 g แสดงดังภาพ 15 (1) จากนั้นนำครูซิเบิลที่ใส่ตัวอย่างไปเผาที่เตาเผาความร้อนสูง แสดงดังภาพ 15 (2) ที่อุณหภูมิ  $750^{\circ}\text{C}$  เป็นเวลา 3 ชั่วโมง แล้วปล่อยทิ้งไว้ในเย็นในโถดูดความชื้น เป็นเวลา 24 ชั่วโมง จากนั้นนำมารีบันน้ำหนักเพื่อหาปริมาณเถ้า โดยคำนวณหาปริมาณเถ้าดังสมการ (2)

$$\text{เถ้า (\%)} = \frac{D}{B} \times 100 \quad (2)$$

เมื่อ B คือ น้ำหนักของตัวอย่างก่อนเผา (g)

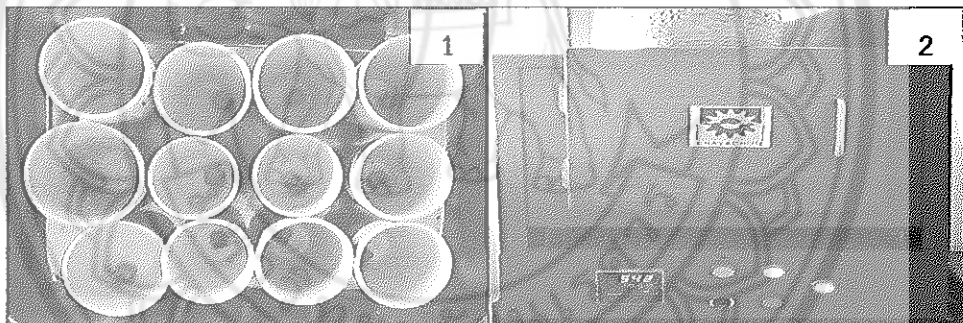
D คือ น้ำหนักของตัวอย่างหลังเผา (g) ที่อุณหภูมิ  $750^{\circ}\text{C}$  เป็นเวลา 3 ชั่วโมง

3) ปริมาณสารระเหย (Volatile matter) เป็นปริมาณสารระเหยที่มีอยู่ในชีวมวล สามารถนำมาคาดคะเนปริมาณค่าความร้อนได้เช่นกัน ถ้ามีปริมาณสารระเหยสูงก็มีแนวโน้มที่ชีวมวลนั้นจะมีค่าความร้อนสูงแต่ก็จะบ่งบอกถึงการมีปริมาณของคาร์บอนคงตัวต่ำตามมาตรฐาน EN 15402:2011 ให้วิเคราะห์ปริมาณสารระเหย (European Committee for

Standardization 15402, 2011) นำคุชชิเบลไปอบที่ตู้อบลมร้อน ที่อุณหภูมิ  $85^{\circ}\text{C}$  เป็นเวลา 15 นาที แล้วนำออกมาทิ้งให้เย็นในโถดูดความชื้น 1 ชั่วโมง จากนั้นนำมาซึ่งน้ำหนักโดยใส่ตัวอย่าง อย่างละ  $0.5 \pm 0.0005\text{ g}$  ลงในคุชชิเบลแล้วนำไปเผาในเตาเผาความร้อนสูงที่อุณหภูมิ  $900^{\circ}\text{C}$  เป็นเวลา 7 นาที แล้วนำไปพักให้เย็นในโถดูดความชื้น 24 ชั่วโมง แล้วนำไปซึ่งน้ำหนักเพื่อคำนวณหาปริมาณสารระเหย โดยคำนวณดังสมการ (3)

$$\text{ปริมาณสารระเหย (\%)} = \left( \frac{B - (C-A)}{B} \times 100 \right) - \text{ค่าความชื้น} \quad (3)$$

เมื่อ A คือ น้ำหนักของคุชชิเบลก่อนเผา (g)  
 B คือ น้ำหนักของตัวอย่างก่อนเผา (g)  
 C คือ น้ำหนักของคุชชิเบล (g) รวมกับน้ำหนักของตัวอย่าง (g) หลังเผาที่ อุณหภูมิ  $900^{\circ}\text{C}$  เป็นเวลา 7 นาที



ภาพ 15 (1) การเตรียมตัวอย่างเพื่อหาปริมาณเต้าและปริมาณสารระเหย  
 (2) เตาเผาความร้อนสูง Muffle Furnace (Chavachote,L9/12p)

4) ปริมาณคาร์บอนคงตัว (Fixed carbon) การหาปริมาณคาร์บอนคงตัว เป็นการนำผลต่างของค่าวัตถุยละเอียดของปริมาณความชื้น ปริมาณสารระเหย ปริมาณเต้ามาคำนวณหาโดยคำนวณดังสมการ (4)

$$\text{คาร์บอนคงตัว} = 100 - \text{ค่าความชื้น \%} - \text{ปริมาณสารระเหย \%} - \text{ปริมาณเต้า \%} \quad (4)$$

2.1.2 การทดสอบคุณสมบัติทางเคมีหรือสัดส่วนของชาตุ (Ultimat analysis) (European Committee for Standardization 15407, 2011) (European Committee for Standardization 15408, 2011) เป็นการวิเคราะห์หาสัดส่วนของชาตุในตัวอย่าง ได้แก่ ร้อยละคาร์บอน (C) ร้อยละไฮโดรเจน (H) ร้อยละไนโตรเจน (N) ร้อยละออกซิเจน (O) และ ร้อยละซัลเฟอร์ (S) โดยใช้เครื่อง Element analyzer (ยี่ห้อ CHN628 รุ่น Truspec Micro ) ดำเนินการส่งวิเคราะห์ตัวอย่าง ได้แก่ ตะกอนพลาสติกชนิด PET ซึ่งเลือยไม้สัก ซึ่งเลือยไม้ยูคาลิปตัส และชิ้นข้าวโพดไปยังศูนย์เครื่องมือวิทยาศาสตร์และเทคโนโลยีมหาวิทยาลัยเทคโนโลยีสุรนารี

2.1.3 การคำนวณหาค่าความร้อน (Heating value) จากสัดส่วนชาตุของปะกอบ โดยคำนวณจากสัดส่วนของชาตุต่างๆ ค่าความร้อนจะแยกออกเป็น 2 ประเภท ได้แก่ ค่าความร้อนสูงสุด (Higher heating value) เป็นค่าที่นำตัวอย่างมาลดความชื้นโดยการเผาให้มี สมบูรณ์ซึ่งน้ำที่อยู่ในตัวอย่างจะถูกเปลี่ยนเป็นไอน้ำโดยค่าที่ได้เป็นค่าความร้อนสูงสุดต่อน้ำหนัก กโดย ใช้สมการ (5) ซึ่งเรียกสมการนี้ว่า Dulong model (Garcés et al., 2016) คำนวณดังนี้

$$\text{Higher heating value (HHV)} = 80.8\text{C} + 344.9(\text{H-O}/8) + 22.5\text{S} \text{ kcal/kg} \quad (5)$$

เมื่อ C คือ เปอร์เซ็นต์คาร์บอน

H คือ เปอร์เซ็นต์ไฮโดรเจน

O คือ เปอร์เซ็นต์ออกซิเจน

S คือ เปอร์เซ็นต์กำมะถัน

ค่าความร้อนอีกประเภทหนึ่งคือค่าความร้อนต่ำสุด (Lower heating value) (European Committee for Standardization 15400, 2011) เป็นค่าความร้อนที่ออกมากลังการเผาให้มี สมบูรณ์ โดยนำที่อยู่ในเชื้อเพลิงเมื่อมีการเผาให้มีจะอยู่ในรูปของไอน้ำซึ่งค่าที่วัดได้เป็น ค่าความร้อนต่ำสุดของน้ำหนัก โดยใช้สมการที่ (6) คำนวณดังนี้

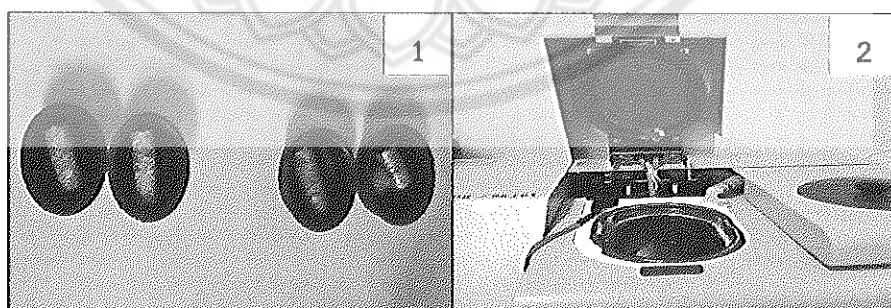
$$\text{Lower heating value (LHV)} = \text{HHV}-23.95(9\text{H}+\text{M}) \text{ kJ/kg} \quad (6)$$

เมื่อ      HHV คือ ค่าความร้อนสูงสุด (Higher heating value)  
                 H คือ เปอร์เซ็นต์ไฮโดรเจน  
                 M คือ เปอร์เซ็นต์ความชื้น

### 3. การทดสอบคุณสมบัติค่าความร้อนด้วยเครื่อง Bomb Calorimeter

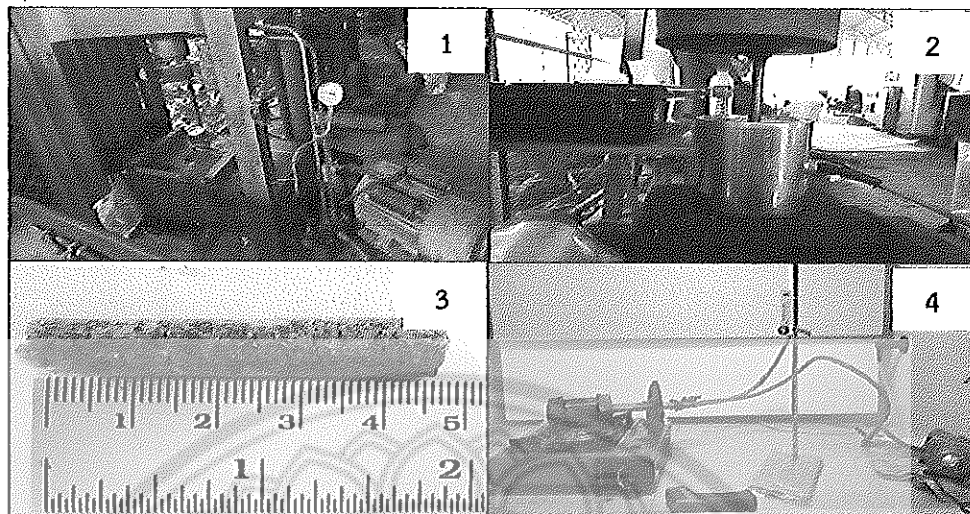
ในกรณีที่เป็นเชื้อเพลิงแข็งสามารถหาค่าความร้อนด้วยเครื่อง Bomb Calorimeter (ยี่ห้อ LEC รุ่น AC-500) โดยเริ่มจากใส่ตัวอย่างลงไปในถ้วยบรรจุเชื้อเพลิง (Ignition Cup) อย่างละ 1 g แสดงดังภาพ 16 (1) จากนั้นวางถ้วยบรรจุเชื้อเพลิงในหัวบอมบ์ (Bomb head) และใส่ลวดจุดระเบิด(Fuse Wire) เข้ากับ Eyelet โดยจะอยู่เหนือตัวอย่างและลวดจุดระเบิด จะต้องไม่สัมผัสกับตัวอย่าง จากนั้นเติมน้ำกําลังในออกซิเจนบอมบ์ (Oxygen Bomb) ประมาณ 1 ml แล้วนำหัวบอมบ์ใส่ลงไปในตัวออกซิเจนบอมบ์ แล้วทำการปิดฝาให้สนิท และเติมออกซิเจน ลงในตัวบอมบ์โดยกำหนดแรงดันของออกซิเจนประมาณ  $450 \text{ kg/cm}^2$  จากนั้นเติมน้ำกําลังในกรอบออกสแตนเลส (Bucket) ประมาณ 2 L แล้วนำเข้าเครื่องบอมบ์และกดสตาร์ท (Start) แสดงดังภาพ 16 (2) เครื่องจะเริ่มดำเนินการวิเคราะห์ค่าความร้อนของตัวอย่างและบันทึกผลค่าความร้อน (gravimetric, ถุงหัวพย์, 2553) โดยเครื่อง Bomb Calorimeter ที่ใช้วิเคราะห์ค่าความร้อนในงานนิวเคลียร์จะแปลงค่าความร้อนออกมาในหน่วย (cal/g) และนำมาแปลงหน่วยเป็น MJ/kg ดังสมการ (7)

$$\text{ค่าความร้อน} = \frac{\text{(ค่าความร้อนของตัวอย่างจากเครื่อง Bomb Calorimeter (cal/g)(4.184 MJ)}}{1,000 (\text{kcal})} \quad (7)$$



ภาพ 16 การเตรียมตัวอย่างเพื่อวิเคราะห์ค่าความร้อนและเครื่องวิเคราะห์ค่าความร้อน Bomb Calorimeter

- (1) การเตรียมตัวอย่างเพื่อวิเคราะห์ค่าความร้อน
- (2) เครื่องวิเคราะห์ค่าความร้อน Bomb Calorimeter



ภาพ 17 เครื่องอัดแบบไฮดรอลิค, เครื่องสีทเตอร์ให้ความร้อน, เซ็อเพลิงอัดเม็ด,  
เครื่องมือและอุปกรณ์การห่อริแฟคชัน

- (1) เครื่องอัดแบบไฮดรอลิค
- (2) เครื่องสีทเตอร์ให้ความร้อน
- (3) เซ็อเพลิงอัดเม็ด
- (4) เครื่องมือและอุปกรณ์การห่อริแฟคชัน

#### 4. การผลิตเซ็อเพลิงอัดเม็ด

การผลิตเซ็อเพลิงอัดเม็ดเริ่มดำเนินการโดยนำวัตถุดิบตั้งต้น “ได้แก่ ตะกอนพลาสติกชนิด PET ซึ่งเป็นสัก ขี้เลือยไม้สัก ขี้เลือยไม้ยูคาลิปตัส และช้างข้าวโพด ที่ผ่านการร่อนและบดย่อยให้มีขนาดประมาณ 0.5-1 mm มาผสมกันตามสัดส่วนที่กำหนดแสดงดังตาราง 9 และนำมาอัดด้วยเครื่องอัดไฮดรอลิค แสดงดังภาพ 17 (1) ซึ่งกำหนดคุณสมบัติ 85 100 และ 125 °C โดยใช้สีทเตอร์รัดห่อออกน้ำต ขนาดเส้นผ่าศูนย์กลาง 76.2 mm สูง 88.9 mm กำลังไฟฟ้าขนาด 600 วัตต์ 200 โวลต์ (Scma) แสดงดังภาพ 17 (2) เป็นตัวให้ความร้อน แรงดัน 100 110 และ 120 kg/cm<sup>2</sup> เวลา 0.5 1 และ 2 นาทีในการอัด

ตาราง 9 ศึกษาสัดส่วนที่เหมาะสมสำหรับวัตถุนิยมต่างๆ

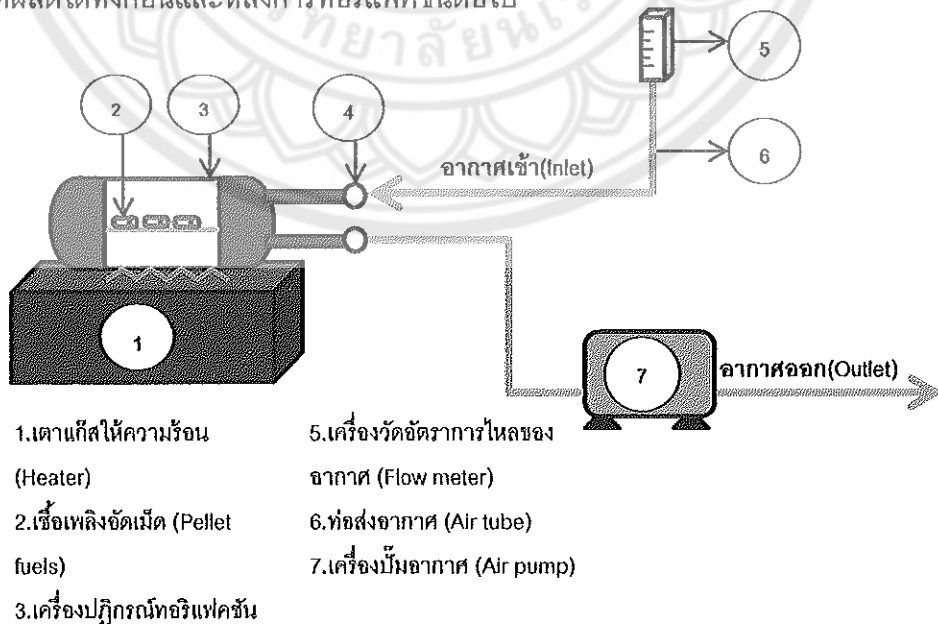
ตัวอย่าง	สัดส่วนของวัตถุนิยม(%)			
	PET	ชีล์เลือยไม้สัก	ชีล์เลือยไม้ยูคา ลิปตัส	ชั้นข้าวโพด
1	95	5	-	-
2	90	10	-	-
3	85	15	-	-
4	95	-	5	-
5	90	-	10	-
6	85	-	15	-
7	95	-	-	5
8	90	-	-	10
9	85	-	-	15

### 5. การหอริแฟคชันเชื้อเพลิงอัดเม็ด

การหอริแฟคชันเชื้อเพลิงอัดเม็ดกำหนดอุณหภูมิ 170 190 และ 225 °C อัตราการป้อนอากาศ 1.4 และ 6 L/min เวลา 5 10 และ 15 นาทีในการหอริแฟคชัน ทั้งนี้อุณหภูมิสูงสุดในการหอริแฟคชันเชื้อเพลิงอัดเม็ดต้องไม่เกิน 250 °C เนื่องจาก ตะกอนพลาสติกชนิด PET เมื่อนำไปวิเคราะห์ด้วยเครื่อง Thermogravimetric Analysis (TGA) เกิดการสลายตัวที่อุณหภูมิช่วง 300-357 °C ชีล์เลือยไม้สักเกิดการสลายตัวที่อุณหภูมิช่วง 250-280 °C (Punturat et al., 2017) ชีล์เลือยไม้ยูคาลิปตัสเกิดการสลายตัวที่อุณหภูมิช่วง 294-328 °C (Barneto et al., 2011) และชั้นข้าวโพดเกิดการสลายตัวที่อุณหภูมิช่วง 200-450 °C (Siterzov et al., 2017) ดังนั้นในงานวิจัย จึงได้กำหนดอุณหภูมิที่เหมาะสมในการหอริแฟคชันที่ 170 190 และ 225 °C ส่วนระยะเวลาใน การหอริแฟคชันกำหนดอยู่ในช่วง 5 10 และ 15 นาทีโดยในงานวิจัยใส่เชื้อเพลิงอัดเม็ดใน

เครื่องปฏิกรณ์ทอเรฟเฟคชันครั้งละ 3 เม็ด รวมน้ำหนัก 6 g โดยสอดคล้องกับงานวิจัยของ Onsree et al. (2019) ได้ใส่เชื้อเพลิงในการทอเรฟเฟคชันครั้งละ 6 เม็ด รวมน้ำหนัก  $9.0 \pm 0.3$  g ใช้เวลาในการทอเรฟเฟคชัน 10 20 และ 30 นาที โดยเทียบัญญัติโดยร่างค์ผลของเวลาที่ได้ในงานวิจัยเมื่อเทียบกับงานวิจัยของ Onsree et al. (2019) จึงใช้เวลาในการทอเรฟเฟคชันในช่วง 5 10 และ 15 นาที

โดยอุปกรณ์ที่ใช้ในการทอเรฟเฟคชันแสดงดังภาพ 17 (4) ซึ่งการทอเรฟเฟคชันแสดงดังภาพ 18 เริ่มดำเนินการโดยก่อนทำการทอเรฟเฟคชันจะต้องให้อากาศไหลอยู่ในระบบประมาณ 15-30 นาที โดยใช้เครื่องบีบอากาศ (Air pump) เป็นตัวให้อากาศและดูดอากาศออกจากระบบท่อส่งอากาศ (Air tube) ทั้งนี้เพื่อให้สภาวะอากาศในระบบบริสุทธิ์ หลังจากนั้นจะนำเชื้อเพลิงอัดเม็ดใส่เข้าไปในเครื่องปฏิกรณ์ทอเรฟเฟคชัน (Torrefaction reactor) แล้วปรับอัตราการไหลของอากาศด้วยเครื่องวัดอัตราการไหลของอากาศ (Flow meter) (ยี่ห้อ Shillj รุ่น LZM-6) โดยใช้เครื่องบีบอากาศเป็นตัวให้อากาศเข้าระบบและดูดอากาศออกจากระบบ ซึ่งควบคุมปริมาณอากาศเข้าและออกระบบโดยวาล์วควบคุมปริมาณอากาศ (Control valve) และเพิ่มความร้อนด้วยเตาแก๊สให้ความร้อน (Heater) ใช้เครื่องวัดอุณหภูมิอินฟราเรดเทอร์โมมิเตอร์ (ยี่ห้อ Aropak รุ่น AIT-42R) ซึ่งเป็นระบบเดเซอร์วิสอุณหภูมิของเครื่องปฏิกรณ์ทอเรฟเฟคชันให้อยู่ในสภาวะอุณหภูมิที่กำหนด จากนั้นนำเชื้อเพลิงอัดเม็ดทั้งก้อนและหลังการทอเรฟเฟคชันไปทดสอบหาคุณสมบัติทางกายภาพ ความร้อน ค่าการปนเปื้อนปะอุ่น และคลอไรด์ และทดสอบประสิทธิภาพเชื้อเพลิง อัดเม็ดที่ผลิตได้ทั้งก้อนและหลังการทอเรฟเฟคชันต่อไป

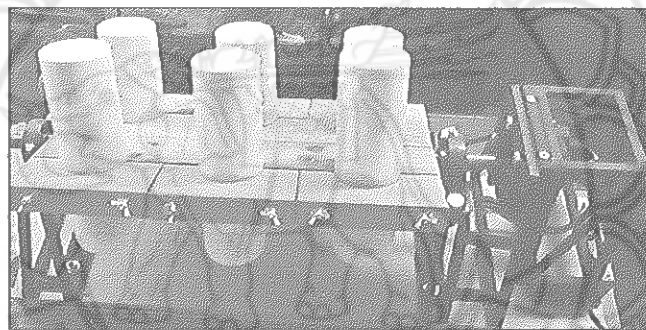


ภาพ 18 การทอเรฟเฟคชันเชื้อเพลิงอัดเม็ด

## 6. การทดสอบคุณสมบัติค่าดัชนีความคงทนของเชือเพลิงอัดเม็ด

ค่าดัชนีความคงทน (Drop shatter index; DSI) ในการทดสอบค่า DSI งานวิจัยนี้ได้ดัดแปลงรูปแบบการทดสอบโดยนำเชือเพลิงตัวอย่างประมาณ  $1\pm0.0005 \text{ g}$  ใส่ลงในหลอดพลาสติกปิดฝ่าให้แน่น เหล้าใส่เข้าไปในขวดกระบอกพลาสติกพร้อมทั้งปิดฝ่าให้แน่นนำไปเผาด้วยเครื่องวิเคราะห์ค่าการแตกร่วน แสดงดังภาพ 19 เป็นเวลา 24 ชั่วโมง จากนั้นนำมาซั่งน้ำหนักเพื่อหาค่า DSI โดยทำการทดสอบซ้ำ 3 ครั้งเพื่อนำค่าที่ได้มาเฉลี่ยและนำมาคำนวณหาค่า DSI โดยใช้สมการดังนี้

$$\text{ค่าดัชนีความคงทน (Drop shatter index; DSI)} = \frac{\text{น้ำหนักตัวอย่างหลังจากการทดสอบ shattering}}{\text{น้ำหนักตัวอย่างก่อนทำการทดสอบ shattering}} \quad (8)$$



ภาพ 19 เครื่องวิเคราะห์ค่าการแตกร่วน

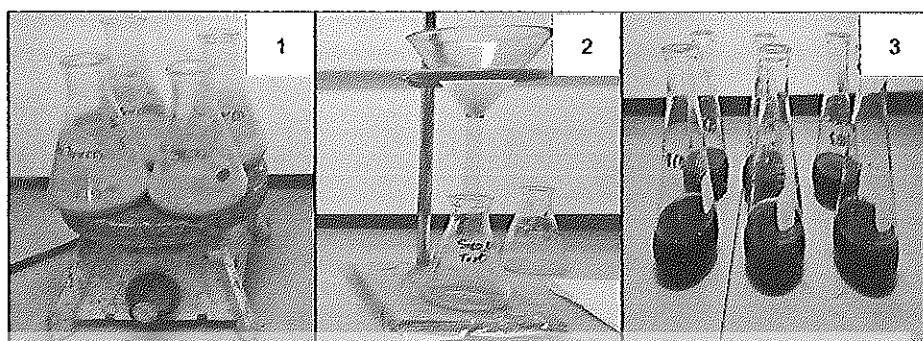
## 7. การวิเคราะห์หาค่าปรอทในเชือเพลิงอัดเม็ด

การวิเคราะห์หาองค์ประกอบโลหะหนักตามมาตรฐาน EN 15359:2011 “ได้แก่ ปรอท (Hg) และคลอร์ไรด์ (Cl) เป็นต้น” ในการวิเคราะห์หาสารปรอทตามมาตรฐาน EPA 7471A (Joint group of Experts on the Scientific Aspects of Marine Environmental Protection, 2017) จะดำเนินการวิเคราะห์หาโดยการนำตัวอย่างไปย่อยสลาย (Digestion) ซึ่งจะเตรียมตัวอย่าง 1 g (1.0001 g) ผสมกรดไนโตริก ( $\text{HNO}_3$ ) (ร้อยละ 65 โดยปริมาตร) (ยี่ห้อ RCI Labscan, ประเทศไทย) ปริมาณ 7 ml และกรดไฮโดรคลอริก (HCl) (ร้อยละ 37 โดยปริมาตร) (ยี่ห้อ RCI Labscan, ประเทศไทย) ปริมาณ 21 ml ลงไปในขวดอุปชุมพู่ (Erlenmeyer flask) ขนาด 250 ml และนำไปตั้งทิ้งไว้ในตู้ดูดไอสารเคมี (Fume Hood) (ยี่ห้อ Flexlab รุ่น SH 150 DC) ประมาณ 2 ชั่วโมง นำไปย่อยที่เครื่องให้ความร้อน (Hot Plate) ที่อุณหภูมิ  $80^\circ\text{C}$  เป็นเวลา 150 นาที และตั้งทิ้งไว้เพื่อปรับอุณหภูมิลงเหลืออุณหภูมิห้อง จากนั้นนำไปกรองผ่าน

กระดาษกรอง (เย็บ Whatman) จากนั้นนำสารละลายที่ได้ปรับปริมาตร 200 ml ด้วยน้ำกลั่นในขวดปรับปริมาตรขนาด 200 ml แล้วนำมาใส่ในบิกเกอร์ขนาด 250 ml เติมกรดซัลฟิริก ( $H_2SO_4$ ) (เย็บ RCI Labscan, ประเทศไทย) ปริมาณ 2 ml และ โพแทสเซียมเบอร์แมกานาเคนต ( $KMnO_4$ , 50 g/l) (เย็บ Emsure, สหรัฐอเมริกา) ปริมาณ 4 ml แล้วตั้งทิ้งไว้ 15 นาที เมื่อสีจางหายไปให้เติมโพแทสเซียมเบอร์แมกานาเคนต ( $KMnO_4$ ) ที่ละนิด แล้วปล่อยทิ้งไว้ 15 นาที แล้วเติมโพแทสเซียมเพอร์ซัลเฟต ( $K_2S_2O_8$ , 50 g/l) (เย็บ PanReac Applichem, ประเทศไทยเยอรมันนี) ปริมาณ 2 ml จากนั้นนำไปตั้งบนอ่างน้ำควบคุมอุณหภูมิ (Water bath) (เย็บ Scipro รุ่น DH-45-110) 95 °C เป็นเวลา 2 ชั่วโมง แล้วตั้งทิ้งไว้ให้เย็นแล้วเติมไฮดรอกซิลามีนไฮドรอคลอไรด์ ( $NH_2OH\cdot HCl$ , 100 g/l) (เย็บ Univar, ประเทศไทยอสเตรเลีย) ปริมาณ 1.6 ml แล้วปรับปริมาตรด้วยน้ำกลั่นจนมีปริมาตร 50 ml ในขวดปรับปริมาตรขนาด 250 ml จากนั้นนำมาใส่ลงในขวดวุปชุมพู่ขนาด 250 ml แล้วเติมสแตมนัส(II)คลอไรด์ ( $SnCl_2$ , 10 g/l) (เย็บ Univar, ประเทศไทยอสเตรเลีย) ปริมาณ 0.4 ml แล้วนำไปทดสอบเครื่อง Inductively Couple Plasma Optical Emission Spectrometer หรือ ICP-OES เพื่อวิเคราะห์หาองค์ประกอบโลหะหนักปorph (USDA Food Safety and Inspection Service, 2017) (กรมโรงงานอุตสาหกรรม กระทรวงอุตสาหกรรม, 2550) แสดงดังภาพ 20

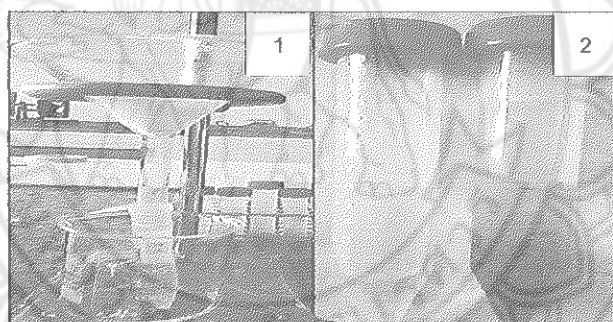
## 8. การวิเคราะห์หาค่าคลอไรด์ในเชื้อเพลิงอัดเม็ด

ส่วนในการวิเคราะห์หา Cl ตามมาตรฐาน EN- 15408:2011 (Recari et al., 2017) จะดำเนินการวิเคราะห์โดยนำเชื้อเพลิงอัดเม็ดทั้งก้อนและหลังการหักห้าม  $1\pm0.0005$  g ใส่ลงไปในหลอดเซนติฟิวเก็พลาสติก (Centrifuge tube) ขนาด 15 ml แล้วเติมน้ำ DI (Deionized water) (เย็บ RCI Labscan, ประเทศไทย) ปริมาณ 10 ml จากนั้นนำหลอดเซนติฟิวเก็พลาสติกที่มีเชื้อเพลิงอัดเม็ดผสมน้ำ DI ไปปั่นเรียบร้อยด้วยเครื่องเขย่าควบคุมอุณหภูมิ (เย็บ JSR รุ่น Jssi-300C) เป็นเวลา 12 ชั่วโมง จากนั้นนำกรองด้วยกระดาษกรองประมาณ 3 ครั้งแล้วนำสารละลายตัวอย่างที่ได้ใส่ลงไปในหลอดเซนติฟิวเก็พลาสติกปิดฝาจากนั้นนำไปทดสอบในเครื่อง Ionic chromatography เพื่อวิเคราะห์หาค่าคลอไรด์ แสดงดังภาพ 21



ภาพ 20 เตรียมตัวอย่างเพื่อวิเคราะห์ค่าการปนเปื้อนprotoxin  
เชือเพลิงอัดเม็ดทึบก่อนและหลังการหอริแฟคชัน

- (1) การย่อยสลายตัวอย่างด้วย เครื่องให้ความร้อน
- (2) การกรองตัวอย่าง
- (3) ตัวอย่างเตรียมนำไปตั้งบนอ่างน้ำควบคุมอุณหภูมิ



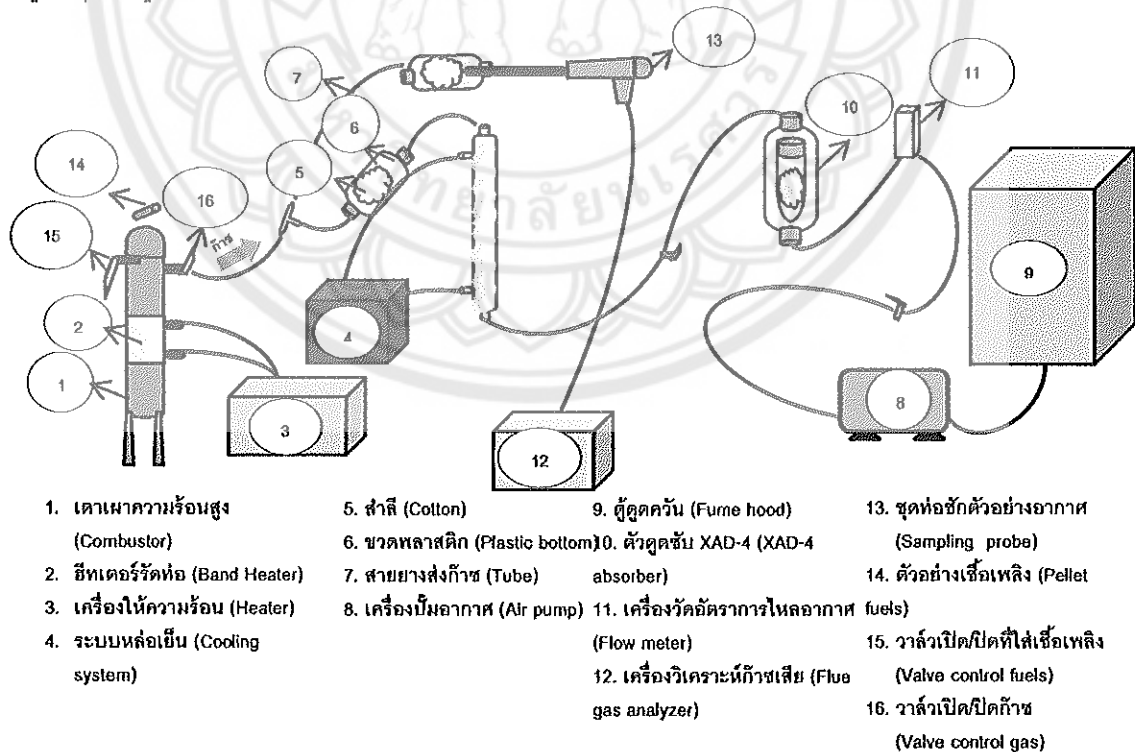
ภาพ 21 เตรียมตัวอย่างเพื่อวิเคราะห์ค่าการปนเปื้อนคลอไรด์ใน  
เชือเพลิงอัดเม็ดทึบก่อนและหลังการหอริแฟคชัน

- (1) การกรองตัวอย่าง
- (2) ตัวอย่างเตรียมนำไปทดสอบในเครื่อง Ionic chromatography เพื่อวิเคราะห์หาค่าคลอไรด์

## 9. การทดสอบการเผาไหม้

การวิเคราะห์น้ำมูลพิษจากการเผาไหม้ซึ่งจะวิเคราะห์หาปริมาณ  $O_2$   $CO_2$   $CO$   $NOx$   $H_2$   $SO_2$  BTEX และ 13PAHs เป็นต้น ซึ่งในการดำเนินการเผาไหม้ แสดงดังภาพ 22 จะเริ่มดำเนินการทดสอบการเผาไหม้โดยติดตั้งเตาเผาความร้อนสูง 850 °C และติดตั้งระบบหล่อเย็น (Cooling system) และมีตัวกรอง (Filter) โดยใช้สำลีใส่เข้าไปในขวดพลาสติกและเจาะรูหัวท้ายขวด

พลาสติกเพื่อใส่สายยางขนาด  $\frac{1}{4}$  นิ้ว เพื่อส่งก๊าซจากการเผาให้มีเชื้อเพลิงอัดเม็ดเข้าระบบและใช้เครื่องปั๊มอากาศเป็นตัวดูดก๊าซเข้าระบบแล้วปล่อยก๊าซเข้าสู่ดูดควัน (Fume hood) ซึ่งการติดตั้งอุปกรณ์ในการเก็บตัวอย่างก๊าซจากการเผาให้มีเชื้อเพลิงอัดเม็ด จะใช้หลอดเซนติฟิว๊กพลาสติกขนาด 50 ml นำมาเจาะรูที่ฝาและหยอดเพื่อใส่สายยางเข้าไป ซึ่งในหลอดเซนติฟิว๊กพลาสติกจะใช้ตัวดูดชิป XAD-4 (ยี่ห้อ Sigma-aldrich; สหรัฐอเมริกา) เพื่อดูดชิป 13PAHs และ BTEX จากการเผาให้มีเชื้อเพลิงอัดเม็ดโดยจะวางชิปสำลีในหลอดเซนติฟิว๊กพลาสติกที่ปิดฝาและใส่สายยาง โดยในการวัดอัตราการไหลของอากาศจะใช้เครื่องวัดอัตราการไหลของอากาศสำหรับอัตราการไหลของอากาศในระบบ 2 L/min ส่วนชุดห่อซักตัวอย่างอากาศ (Sampling probe) ของเครื่องวิเคราะห์ก๊าซเสีย Flue gas analyzer (ยี่ห้อ Testo รุ่น 350H) แสดงดังภาพ 23 (3) โดยชุดห่อซักตัวอย่างอากาศจะต่อเข้ากับขดพลาสติกซึ่งมีสำลีอยู่ข้างใน ซึ่งขดพลาสติกจะเจาะรูหัวและท้ายขดเพื่อใส่สายยางเข้มกับท่อสายยางที่ต่อตรงมาจากเตาเผาความร้อนสูง 850 °C เมื่อทำการติดตั้งระบบเก็บตัวอย่างเสร็จจะเริ่มดำเนินการติดตั้งเตาเผาความร้อนสูงแสดงดังภาพ 23 (2) โดยตั้งอุณหภูมิไว้ที่ 850 °C ซึ่งในระหว่างการติดตั้งจะมีการเปิดเครื่องปั๊มอากาศ เพื่อดูดมลพิษที่ตอกด้วยไนโตรเจนในระบบใช้เวลาประมาณ 10-15 นาที เมื่อเตาเผาความร้อนสูงมีอุณหภูมิเพิ่มขึ้นถึง 850 °C จะเริ่มดำเนินการเดินระบบ



ภาพ 22 การทดสอบการเผาให้มีเชื้อเพลิงอัดเม็ดทั้งก่อนและหลังการกรองไฟฟ้าชั้น

## 10. การวิเคราะห์ก๊าซเสียจากการเผาไหม้

การเก็บตัวอย่างก๊าซเสีย (Flue gas) ได้แก่ บริมาณ  $O_2$   $CO_2$   $CO$   $NOx$   $H_2$  และ  $SO_2$  เป็นต้น จะดำเนินการโดยนยอดตัวอย่างลงในเตาเผาอุณหภูมิสูง ช่วงเวลาละ 3 นาที โดยใช้เวลา หยอดตัวอย่างทั้งหมด 30 นาที และตรวจดูตัวอย่างก๊าชช่วงละ 5 นาที จนถึง 30 นาที โดยใช้ เครื่อง Flue gas analyzer ตรวจวัดและทำการบันทึกผล ส่วนการเก็บตัวอย่าง 13PAHs และ BTEX เมื่อเตาเผามีความร้อนถึง  $850\text{ }^{\circ}\text{C}$  จะทำการปิดการไอลอากาศในระบบด้วยวาล์วควบคุม การไอลของอากาศ แล้วใส่หลอดเซนติฟิคพลาสติกที่เจาะรูมีสายยางเสียบหัวท้ายและมี ตัวคุณภาพ XAD-4 อยู่ข้างในเข้าไปในระบบ จากนั้นทำการเปิดวาล์วและควบคุมอัตราการไอลของ อากาศในระบบ  $2\text{ L/min}$  และทำการหยอดตัวอย่างลงในเตาเผาที่อุณหภูมิ  $850\text{ }^{\circ}\text{C}$  ช่วงเวลาละ 3 นาที โดยใช้เวลาหยอดตัวอย่างทั้งหมด 30 นาที และจะเก็บตัวอย่าง 13 PAHs และ BTEX ช่วงเวลาละ 5 นาที จนถึง 30 นาที เช่นเดียวกับการเก็บตัวอย่างวิเคราะห์การเกิดก๊าซเสีย

## 11. การวิเคราะห์ปริมาณมลพิษ 13PAHs และ BTEX

เมื่อก๊อบตัวอย่างเสร็จจะนำไปใส่ถุงซิปพลาสติกเพื่อเตรียมนำไปสกัดหาบริมาณ 13PAHs และ BTEX แสดงดังภาพ 46 ภาคผนวก ฯ โดยในขั้นตอนการสกัดจะเริ่มดำเนินการโดยนำตัวอย่าง ที่เป็นตัวคุณภาพ XAD-4 พร้อมสำลีใส่เข้าไปใน Extraction thimbles cellulose (เย็บ Whatman) ใส่ลงไปในชุดสกัด Soxhlet extractor ใส่เอ็กซ์เจน (Hexane) (เย็บ Emsure, ประเทศเยอรมนี) และ ใส่ไดคลอโรเมเทน (Dichloromethane) (เย็บ Emsure, ประเทศเยอรมนี) อย่างละ  $150\text{ ml}$  หรือ 1:1 ใส่ลงไปในขวดก้นกลม (Round bottom flask) ขนาด  $500\text{ ml}$  สกัดที่อุณหภูมิ  $60\text{ }^{\circ}\text{C}$  เวลา 18 ชั่วโมง จากนั้นนำสารละลายตัวอย่างไประเหยโดยใช้เครื่องกลั่นระเหยแบบหมุนภายใต้ ศุภภูมิ (Rotary evaporator) (เย็บ BUCHI Rotavapor รุ่น R-200) แสดงดังภาพ 47 ภาคผนวก ฯ โดยใช้อุณหภูมิในการระเหย  $40-50\text{ }^{\circ}\text{C}$  โดยให้เหลือสารละลายตัวอย่าง  $1-2\text{ ml}$  จากนั้นคัดสารละลายตัวอย่างที่ได้ประมาณ  $1\text{ ml}$  ตัวอยหลอดฉีดยาขนาด  $5\text{ ml}$  โดยปลายหลอดจะ ใส Cellulose Acetate Syring filter (เย็บ Filtrex) ใส่ลงไปในขวดแก้ว Screw Thread vial (เย็บ Alwsc) ปิดฝาขวด vial Screw cap (เย็บ Alwsc) จากนั้นนำไปวิเคราะห์ด้วยเครื่องวิเคราะห์ ก๊าซクロมาโทกราฟี/แมสสเปกโตรมิเตอร์ (Gas chromatography/Mass Spectrometer; GC/MS) (เย็บ Shimadzu รุ่น QP2010 Plus) แสดงดังภาพ 23 (4)

การกำหนดสภาวะของเครื่อง GC/MS ที่ใช้ในการวิเคราะห์ของ 13PAHs แสดงดังตาราง 29 และ BTEX แสดงดังตาราง 30 ภาคผนวก ค ส่วนการเตรียมสารละลายมาตรฐานของ 13PAHs ทั้งนี้สารละลายมาตรฐาน PAHs (เย็บ Sigma-aldrich; สหรัฐอเมริกา) ที่ได้มามีสารละลาย

มาตรฐาน 13PAHs ได้แก่ อะซีแนปทิลสีน พลูคอร์น ฟีแนทรีน แคนทรีน ไพริน เบนโซเอไพริน ไครซีน เบนโซบีฟลูออแรนทีน เบนโซแคฟลูออแรนทีน เบนโซเอไพรินไดเบนโซเอกสารีน เบนโซจีเอสไโอลูrin และอินดีโน(1,2,3-ซีดี)ไพริน เป็นต้น ซึ่งสารละลายน้ำ 13PAHs จะใช้ความเข้มข้นที่ 30 90 120 mg/l แล้วนำไปวิเคราะห์ที่เครื่อง GC/MS เพื่อนำพื้นที่ (Area) มาแปลงเป็นกราฟสารละลายน้ำ แสดงดังภาพ 38 ภาคผนวก ฯ ซึ่งจะได้สมการ

$$y = mx + b \quad (9)$$

จากนั้นนำสมการที่ได้ไปคำนวนหาความเข้มข้น 13PAHs ในเชือเพลิงอัดเม็ดทั้งก้อนและหลังการหอริแฟคชันโดยใช้สมการ

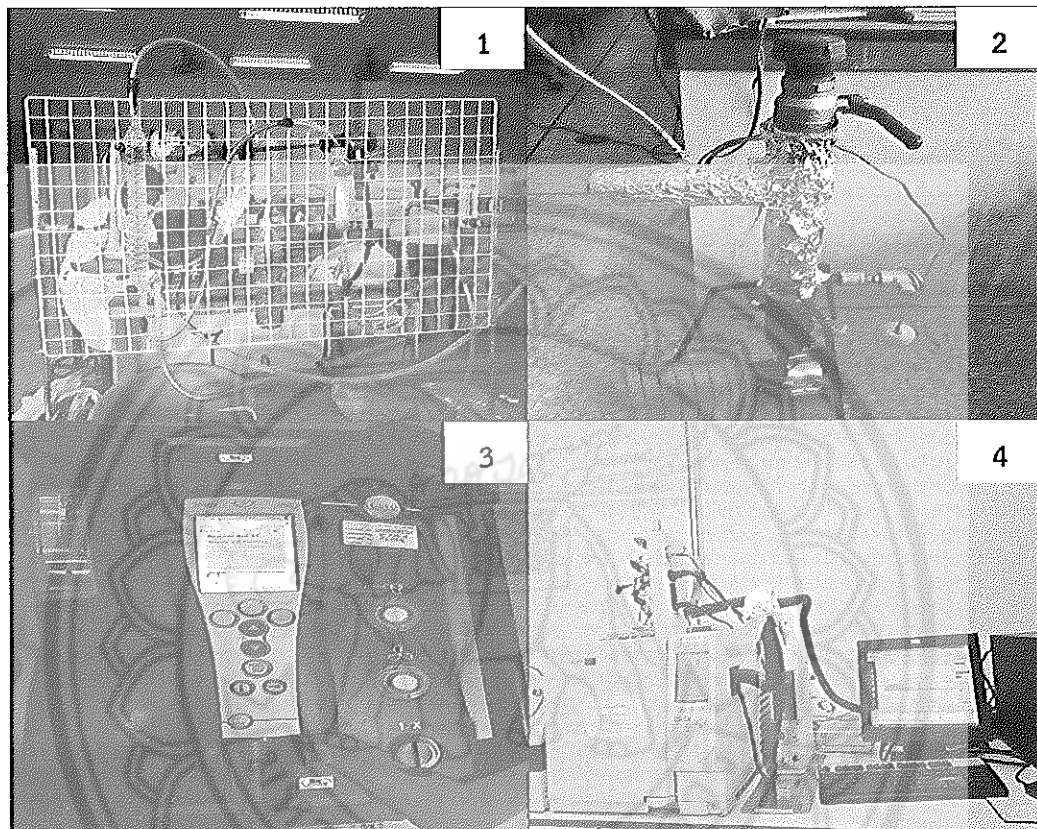
$$\text{mg/m}^3 = \frac{(\text{ppmv})(12.187)(\text{MW})}{(273.15 + ^\circ\text{C})} \quad (10)$$

เม็ด	mg/m <sup>3</sup>	คือ	มิลลิกรัมของก๊าซมลพิษ/ลูกบาศก์เมตรของอากาศโดยรอบ
ppmv		คือ	หนึ่งส่วนในล้านส่วนโดยปริมาตร(ปริมาตรของก๊าซมลพิษต่อปริมาตร $10^6$ ของอากาศโดยรอบ)
MW		คือ	มวลโมเลกุลของก๊าซมลพิษ
°C		คือ	อุณหภูมิท้อง 25 °C

โดยในการหา 13PAHs ในเชือเพลิงอัดเม็ดทั้งก้อนและหลังการหอริแฟคชันจะนำพื้นที่จากการวิเคราะห์ด้วยเครื่อง GC/MS มาคำนวนหาความเข้มข้นของ 13PAHs มีหน่วยเป็น g/Nm<sup>3</sup> ในเชือเพลิงอัดเม็ดทั้งก้อนและหลังการหอริแฟคชัน แสดงดังตาราง 21-26 ภาคผนวก ฯ และนำมาสรุปผลเป็นแผนภูมิแท่ง แสดงดังภาพ 30 และ 31

สวนการเติร์ยมสารละลายน้ำ BTEX (ยี่ห้อ Sigma-aldrich; สหรัฐอเมริกา) ซึ่งจะเติร์ยมความเข้มข้นที่ 5 20 30 40 mg/l แล้วนำไปวิเคราะห์ที่เครื่อง GC/MS เพื่อนำพื้นที่ (Area) มาแปลงเป็นกราฟสารละลายน้ำ แสดงดังภาพ 39 ภาคผนวก ฯ ซึ่งจะได้สมการ (9) จากนั้นนำสมการที่ได้ไปคำนวนหาความเข้มข้น BTEX ในเชือเพลิงอัดเม็ดทั้งก้อนและหลังการหอริแฟคชันโดยใช้สมการ (10) โดยในการหา BTEX ในเชือเพลิงอัดเม็ดทั้งก้อนและหลังการหอริแฟคชันจะนำพื้นที่ที่ได้จากการวิเคราะห์ด้วยเครื่อง GC/MS มาคำนวนหาความเข้มข้น

ของ BTEX มีหน่วยเป็น  $\text{g/Nm}^3$  ในเก็ปเพลิงอัดเม็ดทั้งก่อนและหลังการหัวไฟฟ้าชั้น แสดงดังตาราง 27-28 ภาคผนวก ฯ และนำมาสรุปผลเป็นแผนภูมิแท่ง แสดงดังภาพ 32 และ 33



ภาพ 23 อุปกรณ์และเครื่องมือในการเก็บตัวอย่างมลพิษจากการเผาไหม้เชื้อเพลิงอัดเม็ด, เตาเผาอุณหภูมิ  $850\text{ }^\circ\text{C}$ , เครื่อง Flue gas analyzer, เครื่องวิเคราะห์ก้าซ์โครมาโทกราฟี/แมสสเปคโทรมิเตอร์ (Gas chromatography/Mass Spectrometer)

- (1) อุปกรณ์และเครื่องมือในการเก็บตัวอย่างมลพิษจากการเผาไหม้เชื้อเพลิงอัดเม็ด
- (2) เตาเผาอุณหภูมิ  $850\text{ }^\circ\text{C}$
- (3) เครื่อง Flue gas analyzer
- (4) เครื่องวิเคราะห์ก้าซ์โครมาโทกราฟี/แมสสเปคโทรมิเตอร์ (Gas chromatography/Mass Spectrometer)

## บทที่ 4

### ผลการทดลองและอภิปรายผล

1. สมบัติทางกายภาพและเคมี ค่าความร้อนของวัตถุดิบตั้งต้นและเชื้อเพลิงอัดเม็ดหั่นก่อนและหลังการหอริแฟคชัน

#### 1.1 สมบัติทางกายภาพ

จากการศึกษาสมบัติทางกายภาพของวัตถุดิบตั้งต้นพบว่า ตะกอนพลาสติกชนิด PET ซึ่งเลือยไม้สัก ซึ่งเลือยไม้ยูคาลิปตัส ห้างข้าวโพด มีปริมาณความชื้นอยู่ในช่วงเฉลี่ยร้อยละ  $0.19\pm0.04$ - $8.93\pm0.07$  เต้าอยู่ในช่วงเฉลี่ยร้อยละ  $1.16\pm0.54$ - $3.11\pm0.04$  ปริมาณสารระเหยอยู่ในช่วงเฉลี่ยร้อยละ  $88.31\pm0.09$ - $98.65\pm0.13$  แสดงดังตาราง 10

ตาราง 10 สมบัติทางกายภาพและค่าความร้อนของวัตถุดิบตั้งต้น

สมบัติ	PET	ซึ่งเลือยไม้สัก	ซึ่งเลือยไม้ยูคาลิปตัส	ห้างข้าวโพด
<b>สมบัติทางกายภาพ (Proximate analysis)</b>				
ปริมาณความชื้น(%)	$0.19\pm0.04$	$8.59\pm0.09$	$8.93\pm0.07$	$5.90\pm0.03$
เต้า (%)	$1.16\pm0.54$	$3.11\pm0.04$	$1.47\pm0.35$	$2.22\pm0.06$
ปริมาณสารระเหย (%)	$98.65\pm0.13$	$88.31\pm0.09$	$89.60\pm0.27$	$91.89\pm0.07$
<b>ค่าความร้อน (Heating value)</b>				
HHV (MJ/kg)	$22.56\pm0.09$	$17.35\pm0.21$	$18.00\pm0.04$	$16.95\pm0.06$
LHV (MJ/kg)	21.90	15.80	16.45	15.44

จากการศึกษาสมบัติทางกายภาพของเชื้อเพลิงอัดเม็ดหั่นก่อนการหอริแฟคชันพบว่า เชื้อเพลิงอัดเม็ดที่ผ่านกระบวนการพลาสติกชนิด PET กับซึ่งเลือยไม้สัก ตะกอนพลาสติกชนิด PET กับซึ่งเลือยไม้ยูคาลิปตัส และตะกอนพลาสติกชนิด PET กับห้างข้าวโพด มีปริมาณความชื้นอยู่ในช่วงเฉลี่ยร้อยละ  $0.29\pm0.02$ - $0.52\pm0.09$  เต้าอยู่ในช่วงเฉลี่ยร้อยละ  $1.32\pm0.84$ - $1.71\pm0.05$  ปริมาณสารระเหยอยู่ในช่วงเฉลี่ยร้อยละ  $97.80\pm0.10$ - $98.16\pm1.08$

จากการศึกษาสมบัติทางกายภาพของเชื้อเพลิงอัดเม็ดหลังการหอริแฟคชัน พบว่ามีปริมาณความชื้นอยู่ในช่วงเฉลี่ยร้อยละ  $0.07\pm0.01$ - $0.17\pm0.02$  เต้าอยู่ในช่วงเฉลี่ยร้อยละ

$1.76 \pm 0.13$ - $2.19 \pm 0.11$  และมีปริมาณสารระเหยอยู่ในช่วงเฉลี่ยร้อยละ  $97.66 \pm 0.39$ - $98.07 \pm 0.85$  แสดงดังตาราง 11

ตาราง 11 สมบัติทางกายภาพของเชือเพลิงอัดเม็ดทึบก่อนและหลังการหอริแฟคชัน

สมบัติทาง กายภาพ	ก่อนหอริแฟคชัน			หลังหอริแฟคชัน		
	S.18	S.94	S.180	S.18	S.94	S.180
น้ำหนัก						
ความชื้น (%)	$0.50 \pm 0.04$	$0.29 \pm 0.02$	$0.52 \pm 0.09$	$0.17 \pm 0.02$	$0.07 \pm 0.01$	$0.16 \pm 0.05$
น้ำ (%)	$1.71 \pm 0.05$	$1.59 \pm 0.14$	$1.32 \pm 0.84$	$1.76 \pm 0.13$	$1.90 \pm 0.05$	$2.19 \pm 0.11$
ปริมาณสาร ระเหย(%)	$97.80 \pm 0.10$	$98.12 \pm 0.72$	$98.16 \pm 1.08$	$98.07 \pm 0.85$	$98.03 \pm 0.04$	$97.66 \pm 0.39$

หมายเหตุ : S.18 คือ ตะกอนพลาสติกชนิด PET; ชีวเลื่อยไม้สัก ในอัตราส่วน 85:15 ทำการหอริฟท์ที่อุณหภูมิ  $100^{\circ}\text{C}$  แรงดัน  $100\text{ kg/cm}^2$  เวลา 2 นาที ทำการหอริแฟคชันที่อุณหภูมิ  $225^{\circ}\text{C}$  อัตราการบีบอ้าอากาศ  $1\text{ L/min}$  เวลา 10 นาที

S.94 คือ ตะกอนพลาสติกชนิด PET; ชีวเลื่อยไม้คุคลิปต์ส ในอัตราส่วน 95:5 ทำการหอริฟท์ที่อุณหภูมิ  $100^{\circ}\text{C}$  แรงดัน  $100\text{ kg/cm}^2$  เวลา 1 นาที ทำการหอริแฟคชันที่อุณหภูมิ  $190^{\circ}\text{C}$  อัตราการบีบอ้าอากาศ  $6\text{ L/min}$  เวลา 10 นาที

S.180 คือ ตะกอนพลาสติกชนิด PET; แกนหัวโพด ในอัตราส่วน 85:15 ทำการหอริฟท์ที่อุณหภูมิ  $100^{\circ}\text{C}$  แรงดัน  $100\text{ kg/cm}^2$  เวลา 2 นาที ทำการหอริแฟคชันที่อุณหภูมิ  $170^{\circ}\text{C}$  อัตราการบีบอ้าอากาศ  $1\text{ L/min}$  เวลา 10 นาที

จากการศึกษาสมบัติทางกายภาพของเชือเพลิงอัดเม็ดหลังการหอริแฟคชันพบว่า มีปริมาณความชื้นและปริมาณสารระเหยลดลงเมื่อเทียบกับวัตถุดิบตั้งต้นและเชือเพลิงอัดเม็ดก่อนการหอริแฟคชัน ซึ่งให้เห็นว่าการหอริแฟคชันมีผลต่อค่าความชื้นและปริมาณสารระเหยของเชือเพลิงอัดเม็ด เนื่องจากสามารถระเหยและนำออกได้โดยเชือเพลิงอัดเม็ดโดยเฉพาะเด็นไยเซลลูโลส เฮมิเซลลูโลส และลิกนินในชีวมวล ส่งผลทำให้เชือเพลิงอัดเม็ดหลังการหอริแฟคชันมีน้ำหนักลดลง สอดคล้องกับงานวิจัยของ Chen et al. (2014) ศึกษาเกี่ยวกับผลของการหอริแฟคชันต่อเด็นไยเอมิเซลลูโลส เซลลูโลส และลิกนินในชีวมวลจากการศึกษาพบว่า ที่อุณหภูมิ  $210$ - $300^{\circ}\text{C}$  ในการหอริแฟคชันมีผลทำให้ปริมาณออกซิเจนในเด็นไยเอมิเซลลูโลสลดลง โดยการระเหยสารระเหยที่มีออกซิเจน ได้แก่ น้ำ สารประยุกต์อินทรีย์ที่มี  $\text{O}_2$ ,  $\text{CO}_2$  และ  $\text{CO}$  ซึ่งออกซิเจนและสารระเหยที่มีออกซิเจนเหล่านี้จะเปลี่ยนไปเป็นก๊าซ น้ำมันดินหรือทาร์ และน้ำ นอกจากนี้ปริมาณออกซิเจนจะระเหยออกจากเด็นไยเซลลูโลส และ เด็นไยลิกนิน โดยจะเปลี่ยนไปเป็น  $\text{CO}_2$ ,  $\text{CO}$  และน้ำ ระเหยออกจากเด็นไยเซลลูโลสและลิกนิน ให้มีน้ำหนักของโมเลกุลในเชือเพลิงลดลงร้อยละ  $4.19$ - $24.85$  จาก

ร้อยละ 7.73-23.61 หลังการทอริเฟคชัน นอกจานี้ที่อุณหภูมิ 185-325 °C ใน การทอริเฟคชัน มีผลต่อการสลายตัวของเส้นใยเย้มเซลลูโลสในชีวมวล ส่งผลทำให้น้ำหนักของเชือเพลิงลดลง ใน ส่วนของปริมาณเด้าของเชือเพลิงอัดเม็ดทั้งก่อนและหลังการทอริเฟคชันพบว่า มีเด้าสูงกว่า วัตถุดิบตั้งต้น เนื่องจากเด้าของเชือเพลิงอัดเม็ดมีทั้งปริมาณเด้าของตะกอนพลาสติกชนิด PET และชีวน้ำ (ที่เลือยไม่สัก ที่เลือยไม่ยุคคลิปต์ส และซังช้าวโพด) จึงมีปริมาณเด้าที่สูงกว่าวัตถุดิบตั้ง ต้นสอดคล้องกับงานวิจัยของ Vonk et al. (2018) ศึกษาเกี่ยวกับการวิเคราะห์เปรียบเทียบไม้และ เชือเพลิงแข็งที่ผ่านกระบวนการแก๊สซิฟิเคชันในเตาผลิตแก๊สเชือเพลิงแบบไฟล์ดจากงานศึกษา พบร่วมกัน ปริมาณเด้าของเชือเพลิงแข็งที่ผลิตจากไม้ผสมนังยาง พลาสติก และตะกอน น้ำเดีย มีปริมาณเด้ามากกว่าวัตถุดิบตั้งต้นที่เป็นไม้ซึ่งมีปริมาณเด้าประมาณร้อยละ 5.4-41.6 แต่ ไม่มีปริมาณเด้าเพียงร้อยละ 4.5-8.9 ซึ่งให้เห็นว่าเชือเพลิงแข็งที่ผลิตได้มีเด้าของไม้ นังยาง พลาสติก และตะกอนน้ำเดียรวมอยู่ด้วยมีปริมาณเด้ามากกว่าวัตถุดิบตั้งต้น ทั้งนี้งานวิจัยพบว่า ปริมาณเด้าของเชือเพลิงอัดเม็ดหลังการทอริเฟคชันมีค่ามากกว่าปริมาณเด้าก่อนการทอริเฟคชัน แสดงตั้งตาราง 11 เป็นผลมาจากการระหว่างการทอริเฟคชันองค์ประกอบโซเดียม (Na) โพแทสเซียม (K) และคลอไรด์ (Cl) อยู่ในวัตถุดิบตั้งต้นของเชือเพลิงอัดเม็ดไม่สามารถดูด 吸 ออกมานิสตานะก้าว แต่ทำปฏิกิริยา กันเปลี่ยนเป็น โซเดียมคลอไรด์ (NaCl) และ โพแทสเซียมคลอไรด์ (KCl) ซึ่งจัดเป็นสารประกอบบัญชาติก (Eutectic compound) ที่มี จุดหลอมเหลวต่ำ ( $700\text{-}900\text{ }^{\circ}\text{C}$ ) ซึ่งต่ำกว่าอุณหภูมิการทำงานของเตาเผาเด้า แต่จะเกิดการ หลอมตัวเมื่ออุณหภูมิสูงกว่า  $900\text{ }^{\circ}\text{C}$  (Recari et al., 2017) เมื่อนำไปเผาจึงทำให้เด้ามีปริมาณ ของ NaCl และ KCl ยังคงอยู่ในเด้าเป็นผลทำให้เชือเพลิงอัดเม็ดหลังการทอริเฟคชันมีปริมาณเด้า มากกว่าเชือเพลิงอัดเม็ดก่อนการทอริเฟคชัน ซึ่งสอดคล้องกับงานวิจัยของ Recari et al. (2017) ได้ศึกษาเกี่ยวกับการทอริเฟคชันเชือเพลิงแข็งเพื่อพัฒนาคุณสมบัติของเชือเพลิงสำหรับ กระบวนการแก๊สซิฟิเคชันจากการศึกษาพบว่า การทอริเฟคชันมีผลต่อเด้าของเชือเพลิงเพิ่มขึ้น ซึ่ง ในงานวิจัยได้ตรวจพบองค์ประกอบ อะลูมิเนียม (Al) แคลเซียม (Ca) ฟอสฟอรัส (P) โพแทสเซียม (K) และโซเดียม (Na) อยู่ในเด้าของเชือเพลิงหลังการทอริเฟคชัน ทั้งนี้เชือเพลิงมีส่วนผสมของ ชีวมวลและพลาสติก ซึ่งในชีวมวลมี Na และ K เป็นองค์ประกอบที่มาจากการแร่ธาตุในดินและปูยที่ใช้ เป็นฐานอาหารของพืช และพลาสติกมี Cl เป็นองค์ประกอบ ซึ่งในระหว่างการทอริเฟคชัน Na และ K ทำปฏิกิริยา กับ Cl เปลี่ยนเป็น NaCl และ KCl ซึ่งตรวจพบอยู่ในเด้าของเชือเพลิงหลัง การทอริเฟคชันส่งผลทำให้มีปริมาณเด้ามากกว่าเชือเพลิงก่อนการทอริเฟคชัน

## 1.2 สมบัติทางเคมี

การศึกษาสมบัติทางเคมีซึ่งจะทำการวิเคราะห์หาตุพินฐานของวัตถุดิบตั้งต้น โดยใช้เครื่อง Element analyzer ซึ่งสังเคราะห์ที่มหาวิทยาลัยเทคโนโลยีสุรนารีพบว่า ตะกอนพลาสติกชนิด PET ซึ่งเลือยไม้สัก ซึ่งเลือยไม้ยูคาลิปตัส และชั้นข้าวโพด มี C ในช่วงเฉลี่ยร้อยละ 38.41-47.58H ในช่วงเฉลี่ยร้อยละ 3.02-6.39 N ในช่วงเฉลี่ยร้อยละ 0.06-0.27 O ในช่วงเฉลี่ยร้อยละ 21.54-51.56 และตรวจไม่พบ S ในวัตถุดิบตั้งต้นซึ่งแสดงดังตาราง 12 ทั้งนี้สมบัติทางเคมีของตะกอนพลาสติกชนิด PET มีปริมาณองค์ประกอบธาตุ CHNO เท่ากับร้อยละ 38.41 3.02 0.08 และ 21.54 ตามลำดับ ซึ่งใกล้เคียงกับพลาสติกชนิด PET ที่เป็นวัตถุดิบตั้งต้นที่จะนำมาผลิต เป็นเชื้อเพลิงเบนซิน งานวิจัยของ Cui et al. (2017) ศึกษาเกี่ยวกับคุณสมบัติของเชื้อเพลิงและ การเกิดปฏิกิริยาไอน้ำของขยะพบว่า มีองค์ประกอบธาตุ CHN เท่ากับร้อยละ 61.3 4.2 และ 0.1 ตามลำดับ ทั้งนี้องค์ประกอบธาตุ CHN มีค่านโยบายงานวิจัยของ Cui et al. (2017) เนื่องจากมี การปนเปื้อนของผุนผง และดินที่ติดมากับตะกอนพลาสติกชนิด PET ส่วนองค์ประกอบธาตุ CHNO ของซึ่งเลือยไม้สักเท่ากับร้อยละ 47.58 6.32 0.06 และ 51.56 ตามลำดับ ซึ่งมีค่าใกล้เคียง กับองค์ประกอบธาตุ CHNO ของซึ่งเลือยไม้สักในงานวิจัยของ Balogun et al. (2014) ทำการศึกษา เกี่ยวกับการวิเคราะห์คุณสมบัติทางเคมีของไม้สักหลังการไฟฟ้าพลังงานแสงอาทิตย์ ที่มีองค์ประกอบธาตุ CHNO เท่ากับร้อยละ 49.6 6.3 0.4 และ 43.7 ตามลำดับ ตรวจไม่พบองค์ประกอบธาตุ S เช่นเดียวกับงานวิจัยซึ่งตรวจไม่พบองค์ประกอบธาตุ S ในซึ่งเลือยไม้สัก องค์ประกอบธาตุ CHNO ของซึ่งเลือยไม้ยูคาลิปตัสพบว่า มีค่าเท่ากับร้อยละ 44.22 6.28 0.16 และ 49.34 ตามลำดับ ซึ่งมีค่า ใกล้เคียงกับองค์ประกอบธาตุ CHNO ของสมบัติทางเคมีของไม้ยูคาลิปตัสในงานวิจัยของ Arteaga-Pérez et al. (2017) ศึกษาเกี่ยวกับการห่อแพ็คชันของไม้ยูคาลิปตัสเพื่อผลิตเป็นถ่าน เชื้อเพลิงขัดเม็ดจากการศึกษาพบว่า องค์ประกอบธาตุ CHNO มีค่าเท่ากับร้อยละ 47.2 6.2 0.2 และ 46.34 ตามลำดับ ส่วนองค์ประกอบธาตุ CHNO ของชั้นข้าวโพด จากผลการศึกษาพบว่า มีค่า เท่ากับ 42.91 6.39 0.27 และ 50.41 ตามลำดับ ซึ่งมีค่าใกล้เคียงกับองค์ประกอบธาตุ CHNO ของ ชั้นข้าวโพดในงานวิจัยของ Chen et al. (2014) ได้ทำการศึกษาเกี่ยวกับการไฟฟ้าพลังงาน แสงอาทิตย์และของเสียจากการทำอาหารที่มีน้ำมันในระบบฟิกซ์เบดจากการศึกษาพบว่า ชั้นข้าวโพดที่จะนำมาเป็นวัตถุดิบตั้งต้นมีองค์ประกอบธาตุ CHNO เท่ากับร้อยละ 42.03 5.51 0.61 และ 51.79 ตามลำดับ

นอกจากนี้สามารถนำมาหาค่าความร้อนสูงสุดเบื้องต้นให้เป็นไปตามที่มาตรฐาน EN 15359 ได้กำหนด โดยใช้สมการ Dulong ในการหาค่าความร้อน (HHV) ซึ่งจากการคำนวณ

พบว่า ตะกอนพลาสติกชนิด PET ชีล์เลือยไม้สัก ชีล์เลือยไม้ยูคาลิปตัส และซังข้าวโพด มีค่าความร้อนอยู่ในช่วง 13.46-15.90 MJ/kg ตามที่มาตรวจสอบกำหนด ซึ่งสอดคล้องกับงานวิจัยของ Garcés et al. (2016) ได้ศึกษาเกี่ยวกับการประเมินคุณภาพของค่าความร้อนจากของเสียเพื่อนำมาผลิตเป็นเชื้อเพลิงแข็ง โดยได้คาดการณ์องค์ประกอบธาตุ CHNOS จากวัตถุดิบตั้งต้น (พลาสติก เศษไม้กระดาษ และสิ่งทอ) ที่จะนำมาผลิตเป็นเชื้อเพลิงอัดเม็ดโดยสมการ Dulong ซึ่งจากการคำนวณพบว่า มีค่าความร้อนประมาณ 28.15 MJ/kg ซึ่งสามารถปั่นชีววัตถุดิบตั้งต้นจัดอยู่ในประเภทของของเสียที่จะนำมาผลิตเป็นเชื้อเพลิงแข็งประเภทที่ 1 เนื่องจากมีค่าความร้อนมากกว่า 25 MJ/kg ตามที่มาตรวจสอบ EN 15359 กำหนดซึ่งมีคุณสมบัติที่เหมาะสมที่จะนำมาเป็นวัตถุดิบตั้งต้นในการผลิตเชื้อเพลิงแข็ง

#### ตาราง 12 สมบัติทางเคมีของวัตถุดิบตั้งต้น

สมบัติ	PET	ชีล์เลือยไม้สัก	ชีล์เลือยไม้ยูคาลิปตัส	ซังข้าวโพด
C (%)	38.41	47.58	44.22	42.91
H (%)	3.02	6.32	6.28	6.39
N (%)	0.076	0.06	0.16	0.27
S (%)	N.D.	N.D.	N.D.	N.D.
O (%)	21.54	51.56	49.34	50.41

หมายเหตุ: N.D.(Not Detected)=ตรวจไม่พบ

#### 2. คุณสมบัติเชิงพลังงานความร้อน (Heating value)

จากการวิเคราะห์ค่าความร้อนของวัตถุดิบตั้งต้นโดยใช้เครื่อง Bomb calorimeter พบว่า ตะกอนพลาสติกชนิด PET ชีล์เลือยไม้สัก ชีล์เลือยไม้ยูคาลิปตัส และซังข้าวโพด มีค่าความร้อนอยู่ในช่วงเฉลี่ย  $16.95 \pm 0.06$ - $22.56 \pm 0.09$  MJ/kg แสดงดังตาราง 10

จากการวิเคราะห์ค่าความร้อนของเชื้อเพลิงอัดเม็ดก่อนการทอริแฟคชันโดยใช้เครื่อง Bomb calorimeter พบว่า เชื้อเพลิงอัดเม็ดที่ผสมตะกอนพลาสติกชนิด PET กับชีล์เลือยไม้สัก ตะกอนพลาสติกชนิด PET กับชีล์เลือยไม้ยูคาลิปตัส และตะกอนพลาสติกชนิด PET กับซังข้าวโพด โดยมีอัตราส่วนอย่างละ 85:15 มีค่าความร้อนอยู่ในช่วงเฉลี่ยร้อยละ  $21.84 \pm 0.53$ - $22.38 \pm 0.11$  MJ/kg และจากการวิเคราะห์ค่าความร้อนของเชื้อเพลิงอัดเม็ดหลัง

การหอวิไฟค์ชันโดยใช้เครื่อง Bomb calorimeter พบร้า มีค่าความร้อนอยู่ในช่วงเฉลี่ยร้อยละ  $21.60 \pm 0.10$ - $21.86 \pm 0.14$  MJ/kg แสดงดังตาราง 13

จากการวิเคราะห์ค่าความร้อนของเชื้อเพลิงอัดเม็ดหลังการหอวิไฟค์ชันมีค่าความร้อนสูงกว่าเมื่อเทียบกับค่าความร้อนของวัตถุดิบตั้งต้น (ตะกอนพลาสติกชนิด PET ซึ่งเลือยไม้สัก ซึ่งเลือยไม้ยูคาลิปตัส และซังข้าวโพด) เนื่องจากระหว่างการหอวิไฟค์ชันที่อุณหภูมิ  $170$ - $225$  °C มีการระเหยความชื้นและปริมาณสารระเหย (ปริมาณออกซิเจนและไออกไซด์) ออกจากชีวมวล รวมถึงมีการระเหยของก๊าซต่างๆ ( $H_2O$   $CO$   $CO_2$  และสารอินทรีย์ระเหยง่ายอื่นๆ) ทำให้ปริมาณออกซิเจนไออกไซด์ลดลงในชีวมวลระหว่างการหอวิไฟค์ชัน (Poudel et al., 2014) ทำให้เชื้อเพลิงอัดเม็ดหลังการหอวิไฟค์ชันมีค่าความร้อนสูงกว่าชีวมวล สอดคล้องกับงานวิจัยของ Pahla et al. (2017) ศึกษาเกี่ยวกับผลของการหอวิไฟค์ชัน เศษอาหาร เพื่อใช้เป็นเชื้อเพลิงร่วมกับชีวมวลพบว่า อุณหภูมิในการหอวิไฟค์ชันระหว่าง  $200$ - $275$  °C ทำให้มวนน้ำหนักของเศษอาหารลดลง เนื่องจากเกิดการสูญเสียความชื้น และเกิดการสลายตัวของสารประกอบแอลิฟติก (Aliphatic compound) และสารประกอบอะโรมาติก (Aromatic compound) ในโครงสร้างcarbon ไปเดทดและปฏิริย รวมถึงเกิดการสลายตัวของเส้นใยเยมิเซลลูลอสและเส้นใยเซลลูลอส ซึ่งจะสูญเสียหรือมีการระเหย  $H_2O$   $CO_2$  และ $CO$  ออกไปทำให้พันธะคาร์บอนมีความแข็งแรงเพิ่มขึ้น ส่งผลทำให้มีค่าความร้อนสูงขึ้น  $26$  MJ/kg จาก  $19.76$  MJ/kg

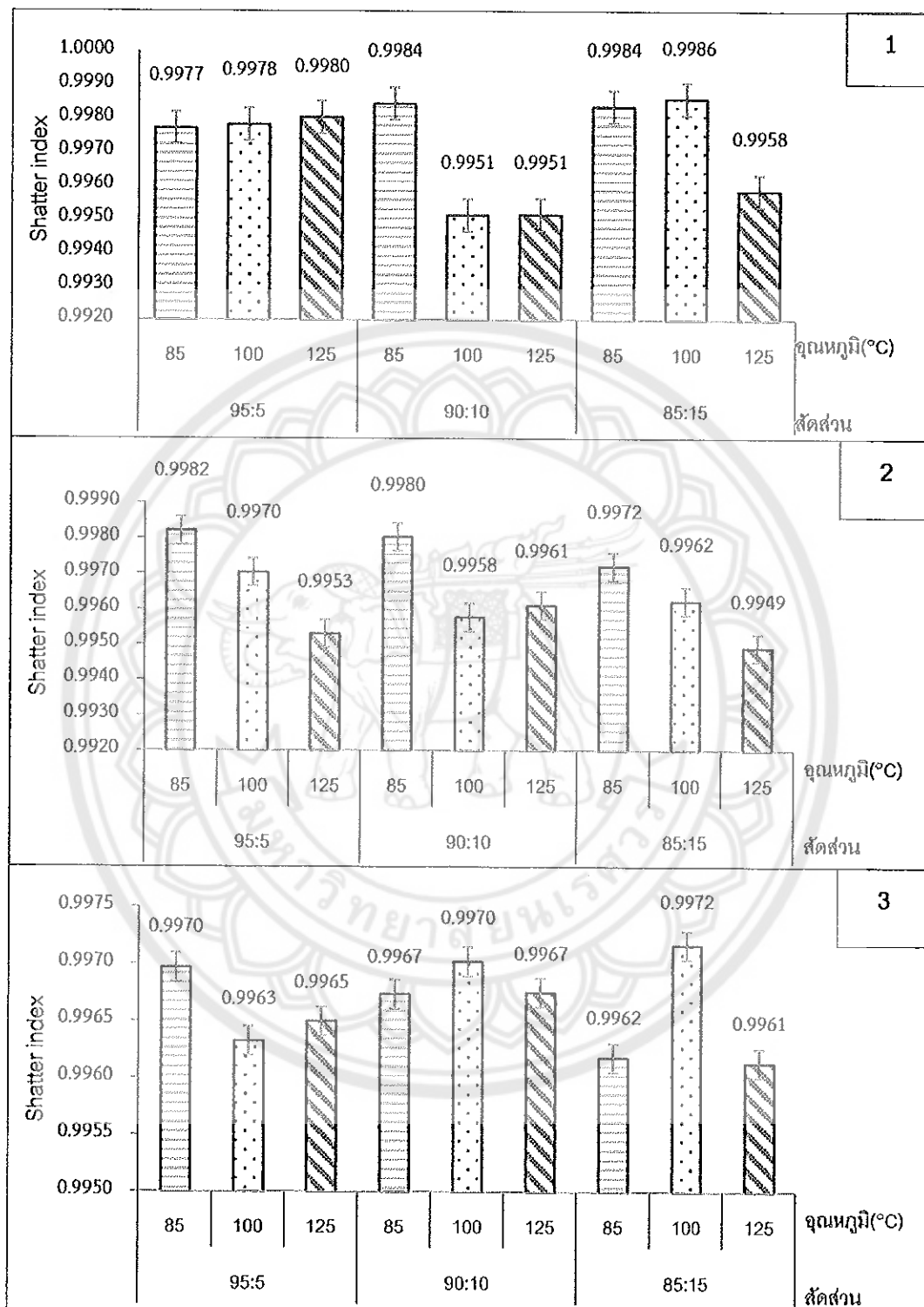
ทั้งนี้จากการวิเคราะห์ค่าความร้อนของเชื้อเพลิงอัดเม็ดหลังการหอวิไฟค์ชันมีค่าต่ำกว่าค่าความร้อนของเชื้อเพลิงอัดเม็ดก่อนการหอวิไฟค์ชัน แสดงดังตาราง 13 อาจเป็นผลมาจากการเพิ่มอุณหภูมิของการหอวิไฟค์ชันที่สูงและเริ่มเข้าสู่ภาวะของอุณหภูมิการไฟโรไลซิส ทำให้ค่าความร้อนหลังการหอวิไฟค์ชันของเชื้อเพลิงอัดเม็ดมีค่าลดลงสอดคล้องกับงานวิจัยของ Poudel et al. (2014) ได้ทำการศึกษาเกี่ยวกับผลของการหอวิไฟค์ชันต่อเศษอาหารจากการศึกษาพบว่า ค่าความร้อนของตัวอย่างเริ่มลดลงที่อุณหภูมิ  $250$  °C ใน การหอวิไฟค์ชันและค่าความร้อนเพิ่มขึ้นที่อุณหภูมิ  $300$  °C จนถึง  $400$  °C ใน การหอวิไฟค์ชันซึ่งหลังจาก  $400$  °C ค่าความร้อนเริ่มลดลงเนื่องจากเริ่มเข้าสู่ภาวะของการไฟโรไลซิส ซึ่งเกิดขึ้นที่อุณหภูมิสูงจึงทำให้ค่าความร้อน ( $HHV$ ) นั้นลดลงหลังจากอุณหภูมิ  $400$  °C จึงเป็นเหตุผลที่ว่าการใช้อุณหภูมิสูงไม่เอื้อต่อการหอวิไฟค์ชันอย่างไรก็ตามค่าความร้อน ( $HHV$ ) ของเชื้อเพลิงอัดเม็ดทั้งก่อนและหลังการหอวิไฟค์ชันมีค่าความร้อนที่มากกว่าหรือเท่ากับร้อยละ  $15$  MJ/kg เป็นไปตามที่มาตรฐาน EN 15359:2011 กำหนด จึงมีความเหมาะสมที่จะนำไปเป็นเชื้อเพลิงทดแทนได้

### ตาราง 13 ค่าความร้อนของเชือเพลิงอัดเม็ดทั้งก่อนและหลังการหอริแฟคชัน

สมบัติ	อัตราส่วน	ค่าความร้อน HHV (MJ/kg)
<b>ก่อนหอริแฟคชัน</b>		
ตะกอนพลาสติกชนิด PET: ชีลเล่ยไม้สัก	85:15	22.38±0.11
ตะกอนพลาสติกชนิด PET: ชีลเล่ยไม้บุญคาลิปตัส	85:15	22.20±0.08
ตะกอนพลาสติกชนิด PET: ชั้นข้าวโพด	85:15	21.84±0.53
<b>หลังหอริแฟคชัน</b>		
ตะกอนพลาสติกชนิด PET: ชีลเล่ยไม้สัก	85:15	21.86±0.14
ตะกอนพลาสติกชนิด PET: ชีลเล่ยไม้บุญคาลิปตัส	85:15	21.60±0.10
ตะกอนพลาสติกชนิด PET: ชั้นข้าวโพด	85:15	21.68±0.25

### 3. ค่าดัชนีความคงทน (DSI) ของเชือเพลิงอัดเม็ดทั้งก่อนและหลังการหอริแฟคชัน

การทดสอบค่าดัชนีความคงทนเป็นการทดสอบ เพื่อหาค่าความคงทนของเชือเพลิง อัดเม็ด ซึ่งมีความสำคัญต่อการขนส่งและการเก็บรักษาในระหว่างการขนส่งนั้น เชือเพลิงอัดเม็ดที่มีค่า DSI ต่ำที่สุดจะไม่แตกกว้างง่ายและมีความสมบูรณ์ของเม็ด งานวิจัยนี้ได้ศึกษาค่า DSI ของ เชือเพลิงอัดเม็ดก่อนการหอริแฟคชัน ซึ่งจะศึกษาสภาวะของการอัดที่ต่ำที่สุดโดยแบ่งออกเป็น การศึกษาสภาวะอุณหภูมิในการอัด แรงดันในการอัด และเวลาในการอัด จากการศึกษาพบว่า เชือเพลิงอัดเม็ดที่ผสมตะกอนพลาสติกชนิด PET กับชีลเล่ยไม้สักที่มีค่า DSI ต่ำที่สุด ได้แก่ S. 18 ซึ่ง มีค่า DSI ของอุณหภูมิในการอัดเหมาะสมที่สุด แสดงดังภาพ 24 (1) โดยมีอัตราส่วนตะกอน พลาสติกชนิด PET: ชีลเล่ยไม้สัก 85:15 สภาวะการอัดที่อุณหภูมิ 100 °C แรงดัน 100 kg/cm<sup>2</sup> เวลา 2 นาที S. 13 ซึ่งมีค่า DSI ของเวลาในการอัดเหมาะสมที่สุด แสดงดังภาพ 25 (1) โดยมี อัตราส่วนตะกอนพลาสติกชนิด PET: ชีลเล่ยไม้สัก 95:5 สภาวะการอัดที่อุณหภูมิ 100 °C แรงดัน 100 kg/cm<sup>2</sup> เวลา 1 นาที S. 44 ซึ่งมีค่า DSI ของแรงดันในการอัดเหมาะสมที่สุด แสดงดังภาพ 26 (1) โดยมีอัตราส่วนตะกอนพลาสติกชนิด PET: ชีลเล่ยไม้สัก 90:10 สภาวะการอัดที่อุณหภูมิ 100 °C แรงดัน 110 kg/cm<sup>2</sup> เวลา 2 นาที ซึ่งมีค่า DSI อยู่ในช่วง 0.9986-0.9993 แสดงดังตาราง 14

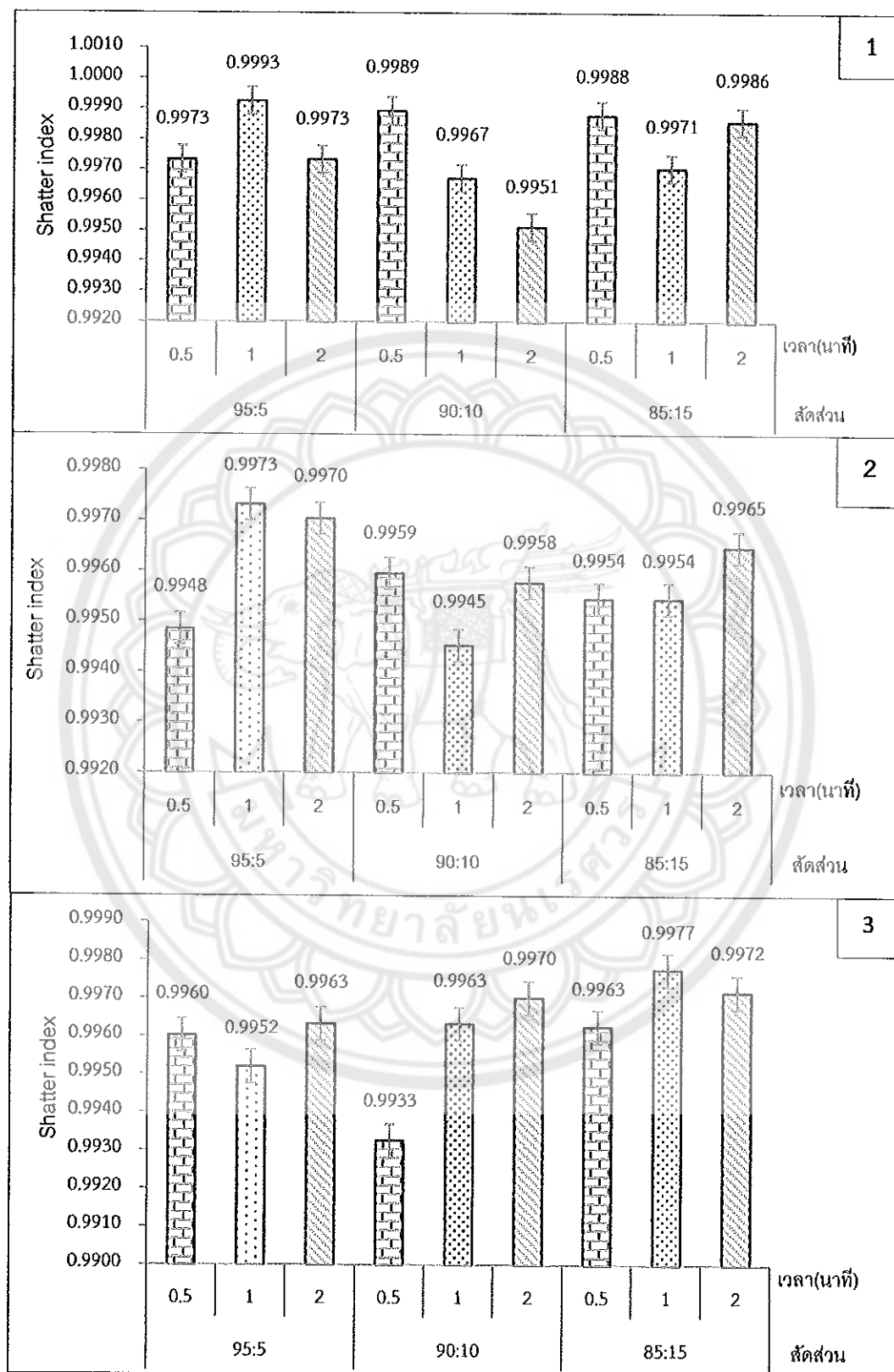


ภาพ 24 ผลการทดสอบ Shatter index ของสภาวะอุณหภูมิในการอัด เชือเพลิงอัดเม็ด

- (1) ผสมตะกอนพลาสติกชนิด PET:ชีลี่อยไม้สัก
- (2) ผสมตะกอนพลาสติกชนิด PET:ชีลี่อยไม้ยูคาลิปตัส
- (3) ผสมตะกอนพลาสติกชนิด PET:ชั้นข้าวโพด

เข็มเพลิงอัดเม็ดที่ผสมตะกอนพลาสติกชนิด PET กับเข็มเลือยไม้ยูคาลิปตัส ที่มีค่า DSi ดีที่สุด ได้แก่ S. 88 ซึ่งมีค่า DSi ของอุณหภูมิในการอัดเหมาะสมที่สุด แสดงดังภาพ 24 (2) โดยมีอัตราส่วนตะกอนพลาสติกชนิด PET: เข็มเลือยไม้ยูคาลิปตัส 95:5 สภาพการอัดที่อุณหภูมิ 85 °C แรงดัน 100 kg/cm<sup>2</sup> เวลา 2 นาที S. 94 ซึ่งมีค่า DSi ของเวลาในการอัดเหมาะสมที่สุด แสดงดังภาพ 25 (2) โดยมีอัตราส่วนตะกอนพลาสติกชนิด PET: เข็มเลือยไม้ยูคาลิปตัส 95:5 สภาพการอัดที่อุณหภูมิ 100 °C แรงดัน 100 kg/cm<sup>2</sup> เวลา 1 นาที S. 124 ซึ่งมีค่า DSi ของแรงดันในการอัดเหมาะสมที่สุด แสดงดังภาพ 26 (2) โดยมีอัตราส่วนตะกอนพลาสติกชนิด PET: เข็มเลือยไม้ยูคาลิปตัส 95:5 สภาพการอัดที่อุณหภูมิ 100 °C แรงดัน 110 kg/cm<sup>2</sup> เวลา 2 นาที ซึ่งมีค่า DSi อยู่ในช่วง 0.9973-0.9982 แสดงดังตาราง 14

เข็มเพลิงอัดเม็ดที่ผสมตะกอนพลาสติกชนิด PET กับชั้นข้าวโพดที่มีค่า DSi ดีที่สุด ได้แก่ S. 180 ซึ่งมีค่า DSi ของอุณหภูมิในการอัดเหมาะสมที่สุด แสดงดังภาพ 24 (3) โดยมีอัตราส่วนตะกอนพลาสติกชนิด PET: ชั้นข้าวโพด 85:15 สภาพการอัดที่อุณหภูมิ 100 °C แรงดัน 100 kg/cm<sup>2</sup> เวลา 2 นาที S. 177 ซึ่งมีค่า DSi ของเวลาในการอัดเหมาะสมที่สุด แสดงดังภาพ 25 (3) โดยมีอัตราส่วนตะกอนพลาสติกชนิด PET: ชั้นข้าวโพด 85:15 สภาพการอัดที่อุณหภูมิ 100 °C แรงดัน 100 kg/cm<sup>2</sup> เวลา 1 นาที S. 207 ซึ่งมีค่า DSi ของแรงดันในการอัดเหมาะสมที่สุด แสดงดังภาพ 26 (3) โดยมีอัตราส่วนตะกอนพลาสติกชนิด PET: ชั้นข้าวโพด 85:15 สภาพการอัดที่อุณหภูมิ 100 °C แรงดัน 110 kg/cm<sup>2</sup> เวลา 2 นาที ซึ่งมีค่า DSi อยู่ในช่วง 0.9972-0.9977 แสดงดังตาราง 14 ซึ่งให้เห็นว่าสภาพการอัดมีผลต่อความคงทนของเข็มเพลิงอัดเม็ดโดยที่อุณหภูมิในช่วง 75-100 °C ใน การอัดเม็ดมีผลทำให้ค่าความซึ่นของเข็มเพลิงอัดเม็ดลดลง ทั้งนี้ในระหว่างการอัดเม็ดในช่วงอุณหภูมิดังกล่าว มีผลทำให้เส้นไอลิกินินและโปรตีนในชีวมวลเกิดการอ่อนตัวและสร้างพันธะที่แข็งแกร่ง (Solid bridge formation) ระหว่างพันธะในชีวมวลทำให้เส้นไอลิกินินในชีวมวลเกิดการยืดเกราะทัวกันต่ำเกิดการสูญเสียโครงสร้างในชีวมวล ทำให้มีการสลายตัว สามารถเพิ่มแรงอัดในการอัดเม็ดได้ทำให้เข็มเพลิงมีการอัดแน่นและยึดเกาะกันเป็นเม็ดได้ดี (Nguyen et al., 2014) นอกจากนี้ถ้ามีค่าความซึ่นสูงส่งผลทำให้พลาสติกเกิดการหลอมตัวต่ำ (Glass transition) ไม่เกิดการหลอมรวมและยึดเกาะกับชีวมวลทำให้เข็มเพลิงอัดเม็ดมีค่าความคงทนต่ำและแตกหักได้ง่าย (Arnavat et al., 2015)

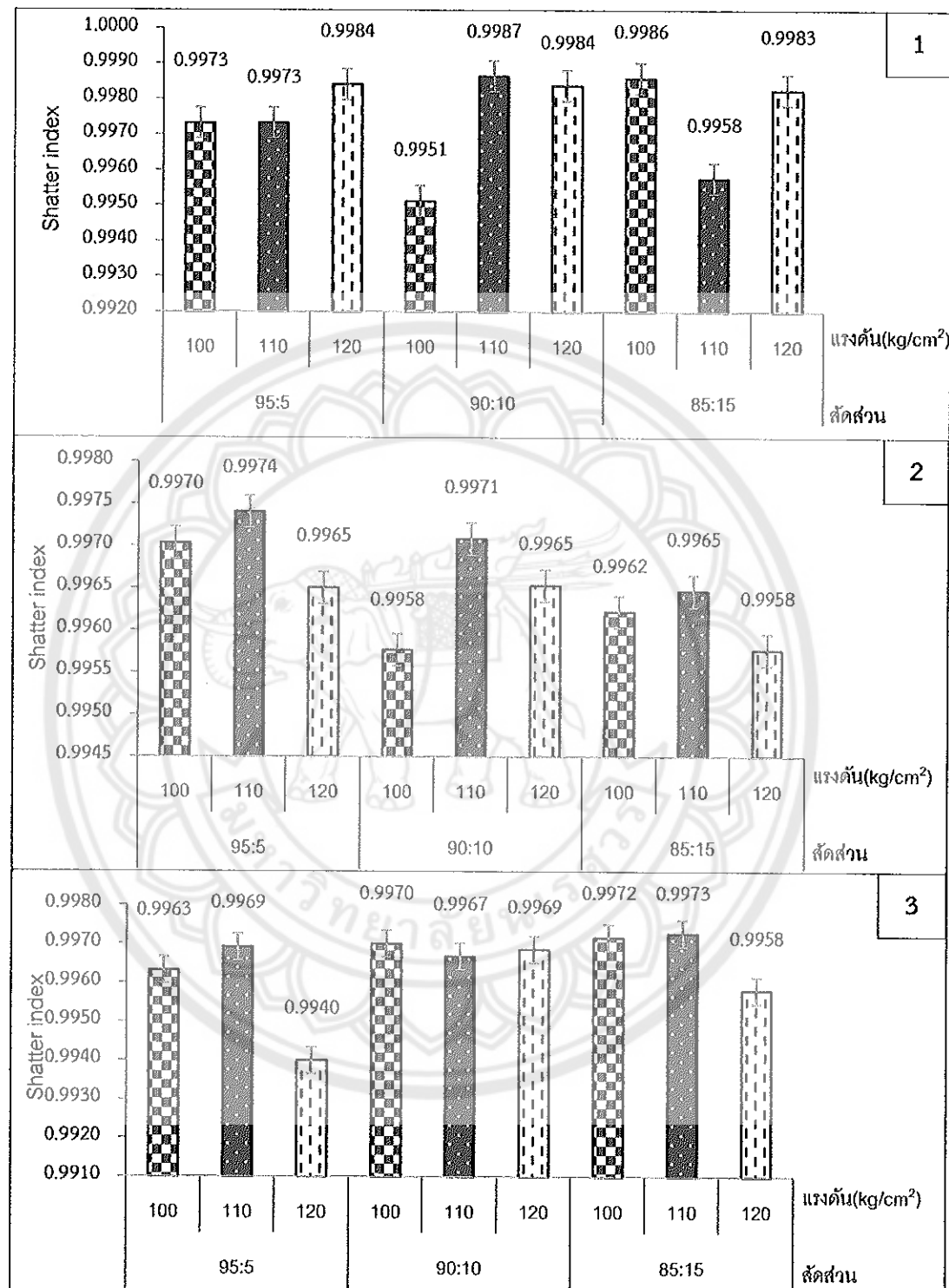


ภาพ 25 ผลการทดสอบ Shatter index ของเวลาในการอัดเชือเพลิงอัดเม็ด

(1) ผสมตะกอนพลาสติกชนิด PET:尼胶 (尼胶) ไม่มีสัก

(2) ตะกอนพลาสติกชนิด PET:尼胶 (尼胶) ไม่มียูคาลิปตัส

(3) ผสมตะกอนพลาสติกชนิด PET:尼胶 (尼胶) ชั้งข้าวโพด



ภาพ 26 ผลการทดสอบ Shatter index ของแรงดันในการอัดเทือกเพลิงอัดเม็ด

(1) ผสมตะกรอนพลาสติกชนิด PET:ชีลี่อยไม้สัก

(2) ตะกรอนพลาสติกชนิด PET:ชีลี่อยไม้ยูคาลิปตัส

(3) ผสมตะกรอนพลาสติกชนิด PET:ชังข้าวโพด

ตาราง 14 ค่าตัวแปรความคงทนของข้อต่อที่ผลิตจากกระบวนการหอรีมาฟ์คาม

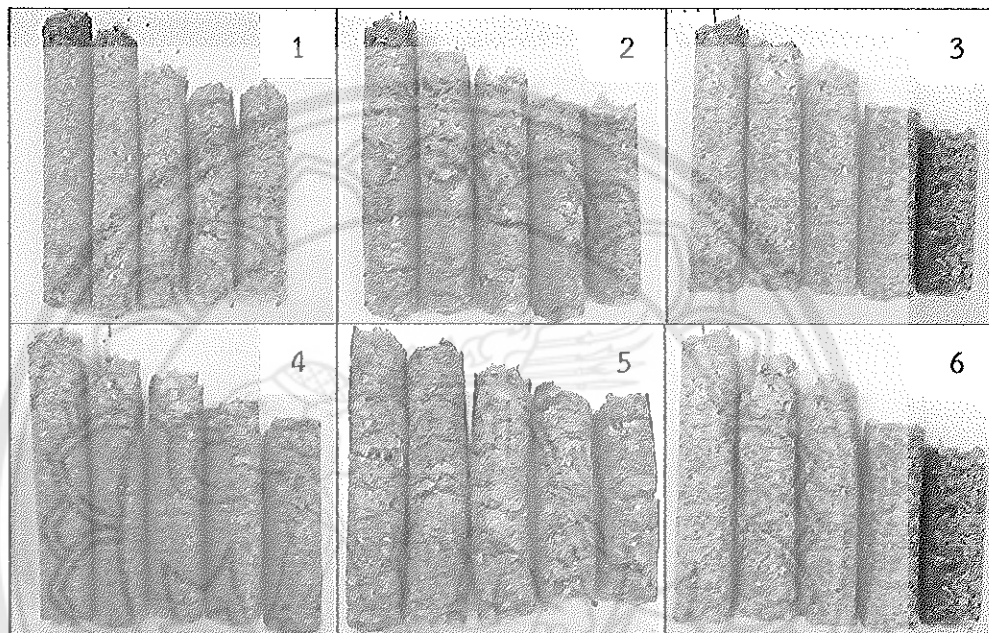
ตัวอย่าง		ตะกอนพลาสติกชนิด PET: ปั๊ลส์ไบเมสิก		ตะกอนพลาสติกชนิด PET: ชีลลิ่งไนโตรเจนไบเต็ม		ตะกอนพลาสติกชนิด PET: ซูชาร์กไพร์	
เชือกพิจิตรอัตโนมัติเม็ดสีทึบสีฟ้า		ตะกอนพลาสติกชนิด PET: ปั๊ลส์ไบเมสิก		ตะกอนพลาสติกชนิด PET: ชีลลิ่งไนโตรเจนไบเต็ม		ตะกอนพลาสติกชนิด PET: ซูชาร์กไพร์	
ชนิด	\$13	\$18	\$44	\$88	\$94	\$124	\$177
ตัวอย่าง							\$207
อัตราส่วน	95.5	85:15	90:10	95:5	95:5	95:5	85:15
อุณหภูมิ (°C)	100	100	100	85	100	100	100
แรงดัน (kg/cm <sup>3</sup> )	100	100	110	100	100	110	100
เวลา (min)	1	2	2	1	2	2	1
DSI	0.9993±0.0005	0.9986±0.004	0.9987±0.0003	0.9973±0.0017	0.9982±0.0008	0.9974±0.0020	0.9977±0.0010
							0.9972±0.0011
							0.9973±0.0008

### ตาราง 15 ค่าดัชนีความคงทนของเชือเพลิงอัดเม็ดหลังการหอริแฟคชัน

ตัวอย่าง	ตะกอนพลาสติกชนิด PET: ชีลเลียไม้สัก	ตะกอนพลาสติกชนิด PET: ชีลเลียไม้ยูคาลิปตัส	ตะกอนพลาสติกชนิด PET: ชิ้งช้าวโพด
<b>เชือเพลิงอัดเม็ดที่มีสภาวะการหอริแฟคชันดีที่สุด</b>			
ชนิดตัวอย่าง	S.18	S.94	S.180
อัตราส่วน	85:15	95:5	85:15
อุณหภูมิ (°C)	225	190	170
อัตราการป้อนอากาศ (L/min)	1	6	1
เวลา (นาที)	10	10	10
DSI	0.9999 ±0.0001	0.9994±0.0003	0.9997±0.0004

เมื่อนำเชือเพลิงอัดเม็ดที่มีสภาวะการอัดดีที่สุดซึ่งมีค่า DSI ดีที่สุด มาผ่านการหอริแฟคชันพบว่า สภาวะการหอริแฟคชันที่อุณหภูมิ 225 °C อัตราการป้อนอากาศ 1 L/min เวลา 10 นาที ของเชือเพลิงอัดเม็ดที่ผสมตะกอนพลาสติกชนิด PET และชีลเลียไม้สักเป็น S. 18 มีค่า DSI ดีที่สุดเท่ากับ 0.9999 ซึ่งมีค่าเพิ่มขึ้นจากเดิม 0.9986 สภาวะการหอริแฟคชันที่อุณหภูมิ 190 °C อัตราการป้อนอากาศ 6 L/min เวลา 10 นาที ของเชือเพลิงอัดเม็ดที่ผสมตะกอนพลาสติกชนิด PET และชีลเลียไม้ยูคาลิปตัส เป็น S. 94 มีค่า DSI ดีที่สุดเท่ากับ 0.9994 ซึ่งมีค่าเพิ่มขึ้นจากเดิม 0.9986 ส่วนสภาวะการหอริแฟคชันที่อุณหภูมิ 170 °C อัตราการป้อนอากาศ 1 L/min เวลา 10 นาที ของเชือเพลิงอัดเม็ดที่ผสมตะกอนพลาสติกชนิด PET และชิ้งช้าวโพด เป็น S. 180 มีค่า DSI ดีที่สุดเท่ากับ 0.9997 ซึ่งมีค่าเพิ่มขึ้นจากเดิม 0.9972 แสดงดังตาราง 15 ซึ่งให้เห็นว่า สภาวะในการหอริแฟคชันมีผลต่อตะกอนพลาสติกชนิด PET เกิดการหลอมตัว (Glass transition) จากสถานะแข็งเปร้าวกลายเป็นสถานะที่มีลักษณะคล้ายยางที่เนื้อเยื่า และลดลงรวมยึดเกาะกับชีวมวลในเชือเพลิงอัดเม็ด สอดคล้องกับงานวิจัยของ Ansah et al. (2016) ได้ทำการศึกษาเกี่ยวกับค่าความร้อนของเชือเพลิงที่ผลิตจากขยะชุมชนเมืองหลังการไฟโรไลซิส จากการศึกษาพบว่าอุณหภูมิในการหอริแฟคชัน 200-240 °C หรือ สูงกว่า 240 °C มีผลต่อการสลายตัวของเส้นใยลิกนิน เส้นใยเอมิเซลลูโลส และเส้นใยเซลลูโลสในชีวมวล ในระหว่างการหอริแฟคชันและพลาสติกชนิด PET เกิดการหลอมตัว (Glass transition) ในลักษณะที่เนื้อเยื่าและลดลงรวมกับ

ชีวมวล ทำให้เชือเพลิงที่ได้มีการยืดเกราะกันได้ดีและแตกกว้างน้อยลง ซึ่งเชือเพลิงอัดเม็ดทั้งก่อน และหลังการหอริแฟคชันที่ได้มีค่า DSI เป็นไปตามที่มาตรฐานกำหนดโดยมีค่ามากกว่า 0.95 (Tembe et al., 2014) เชือเพลิงอัดเม็ดทั้งก่อนและหลังการหอริแฟคชันที่มีค่า DSI ดีที่สุดแสดงดังภาพ 27



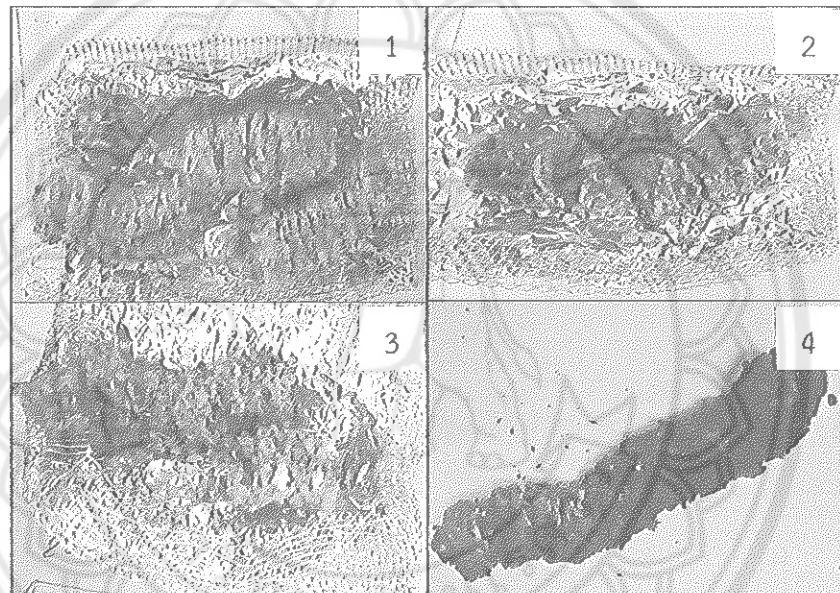
ภาพ 27 เชือเพลิงอัดเม็ดที่มีค่า DSI ดีที่สุด

- (1) เชือเพลิงอัดเม็ด S.18 ก่อนการหอริแฟคชัน
- (2) เชือเพลิงอัดเม็ด S.94 ก่อนการหอริแฟคชัน
- (3) เชือเพลิงอัดเม็ด S.180 ก่อนการหอริแฟคชัน
- (4) เชือเพลิงอัดเม็ด S.18 หลังการหอริแฟคชัน
- (5) เชือเพลิงอัดเม็ด S.94 หลังการหอริแฟคชัน
- (6) เชือเพลิงอัดเม็ด S.180 หลังการหอริแฟคชัน

#### 4. ผลของสภาวะการหอริแฟคชันเชือเพลิงอัดเม็ด

งานวิจัยนี้ได้ศึกษาสภาวะของการหอริแฟคชันเชือเพลิงอัดเม็ดโดยศึกษาสภาวะของ อุณหภูมิ อัตราการป้อนอากาศ และเวลาในการหอริแฟคชัน แสดงดังภาพ 28 เชือเพลิงอัดเม็ด ภายใต้สภาวะการหอริแฟคชันต่างๆ จากการทดลองพบว่า สภาวะของอุณหภูมิ อัตราการป้อนอากาศ และเวลา มีผลต่อการเปลี่ยนแปลงลักษณะของเชือเพลิงอัดเม็ด โดยอุณหภูมิตั้งแต่  $250^{\circ}\text{C}$

เชือเพลิงอัดเม็ดมีลักษณะการแตกร่วน ตากอนพลาสติกเริ่มขยายตัวและเกิดการหลอมละลายจึงทำให้เชือเพลิงอัดเม็ดไม่จับตัวกันเป็นก้อน แสดงดังภาพ 28 (2) และที่อุณหภูมิ  $300^{\circ}\text{C}$  เชือเพลิงอัดเม็ดเกิดการไหม้และแตกร่วนไม่จับตัวกันเป็นก้อน แสดงดังภาพ 28 (4) ผ่านผลของการทดสอบการทอริแฟคชันพบว่า เมื่อใช้ระยะเวลาในการทอริแฟคชันนานถึง 30 นาที มีผลทำให้เชือเพลิงอัดเม็ดเกิดการแตกร่วนมากขึ้นและไม่จับตัวกันเป็นก้อน แสดงดังภาพ 28 (3) นอกจากนี้ เมื่อไม่มีอัตราการป้อนอากาศเข้าไปในระบบการทอริแฟคชันมีผลทำให้เชือเพลิงอัดเม็ดเกิดการแตกร่วนและไม่จับตัวกันเป็นก้อน แสดงดังภาพ 28 (1)



ภาพ 28 เชือเพลิงอัดเม็ดภายใต้สภาวะการทอริแฟคชันต่างๆ

- (1) เชือเพลิงอัดเม็ดในสภาวะการทอริแฟคชันอุณหภูมิ  $150^{\circ}\text{C}$  อัตราการป้อนอากาศ  $0 \text{ L/min}$  เวลา 15 นาที
- (2) เชือเพลิงอัดเม็ดในสภาวะการทอริแฟคชันอุณหภูมิ  $250^{\circ}\text{C}$  อัตราการป้อนอากาศ  $4 \text{ L/min}$  เวลา 15 นาที
- (3) เชือเพลิงอัดเม็ดในสภาวะการทอริแฟคชันอุณหภูมิ  $250^{\circ}\text{C}$  อัตราการป้อนอากาศ  $4 \text{ L/min}$  เวลา 30 นาที
- (4) เชือเพลิงอัดเม็ดในสภาวะการทอริแฟคชันอุณหภูมิ  $300^{\circ}\text{C}$  อัตราการป้อนอากาศ  $4 \text{ L/min}$  เวลา 15 นาที

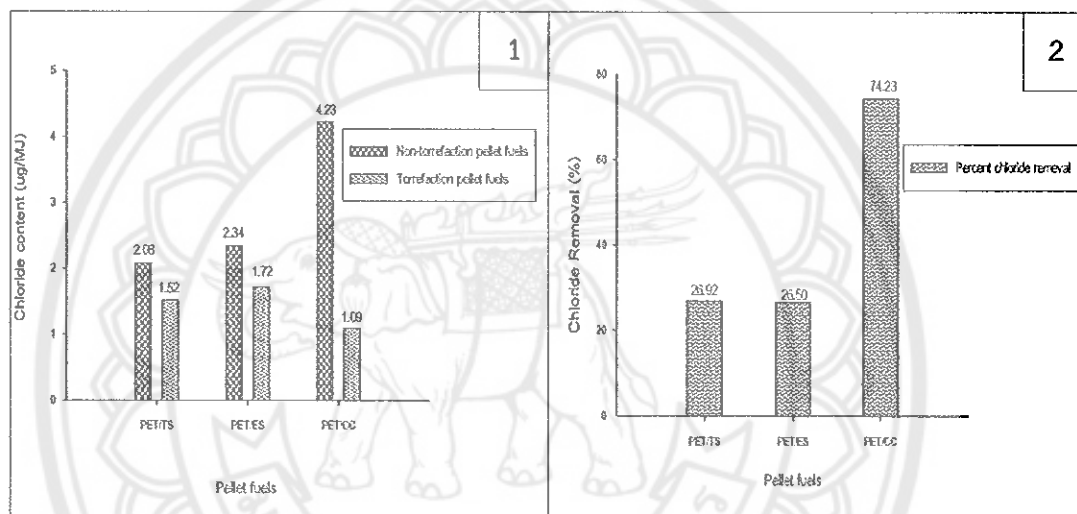
## 5. ปริมาณการปนเปื้อนคลอไครด์และปรอทของเชื้อเพลิงอัดเม็ดทั้งก่อนและหลังการหอริแฟคชัน

ปริมาณคลอไครด์ที่ปนเปื้อนอยู่ในเชื้อเพลิงอัดเม็ดสามารถเปลี่ยนรูปไปเป็นไออกไซกรด จำพวกกรดไฮโดรคลอริก และสารประกอบออกซิเจนในคลอรีน (Organochlorine compound) ที่อยู่ในยาฆ่าแมลง ส่งผลทำให้เกิดการกัดกร่อนของเตาเผา เชื้อเพลิงทำให้ชำรุดและเกิดการระเบิดของเตาเผาได้ (Casado et al., 2016) ในงานวิจัยจึงได้วิเคราะห์ค่าการปนเปื้อนคลอไครด์ในเชื้อเพลิงอัดเม็ด ทั้งก่อนและหลังการหอริแฟคชัน เพื่อให้ได้เชื้อเพลิงที่มีคุณภาพตามที่มาตรฐาน EN 15359:2011 กำหนด โดยการปนเปื้อนคลอไครด์ต้องมีค่าไม้ก่อไฟร้อยละ 1.00 จากการศึกษาพบว่า เชื้อเพลิงอัดเม็ดก่อนการหอริแฟคชันมีค่าการปนเปื้อนคลอไครด์ ในช่วง 46.52-92.41  $\mu\text{g/l}$  และเชื้อเพลิงอัดเม็ดหลังการหอริแฟคชันมีการปนเปื้อนคลอไครด์ในช่วง 23.64-33.28  $\mu\text{g/l}$  ทั้งนี้ เชื้อเพลิงอัดเม็ดทั้งก่อนและหลังการหอริแฟคชันมีค่าวั้วยละการปนเปื้อนคลอไครด์น้อยมาก ผู้วิจัย จึงเลือกใช้หน่วย  $\mu\text{g/MJ}$  โดยเชื้อเพลิงอัดเม็ดก่อนหอริแฟคชันที่ผสมตะกอนพลาสติกชนิด PET กับชีลเลอญี่ไม้สักมีค่าการปนเปื้อนคลอไครด์เท่ากับ 46.51  $\mu\text{g/l}$  หรือ 2.08  $\mu\text{g/MJ}$  เมื่อนำไปผ่านการหอริแฟคชันมีค่าคลอไครด์ปนเปื้อนลดลงเท่ากับ 33.28  $\mu\text{g/l}$  หรือ 1.52  $\mu\text{g/MJ}$  ซึ่งหลังการหอริแฟคชันมีการกำจัดคลอไครด์เท่ากับร้อยละ 26.92 เชื้อเพลิงอัดเม็ดก่อนหอริแฟคชันที่ผสมตะกอนพลาสติกชนิด PET กับชีลเลอญี่ไม้สักมีค่าการปนเปื้อนคลอไครด์เท่ากับ 51.96  $\mu\text{g/l}$  หรือ 2.34  $\mu\text{g/MJ}$  เมื่อนำไปผ่านการหอริแฟคชันมีค่าคลอไครด์ปนเปื้อนลดลงเท่ากับ 37.25  $\mu\text{g/l}$  หรือ 1.72  $\mu\text{g/MJ}$  ซึ่งหลังการหอริแฟคชันมีการกำจัดคลอไครด์เท่ากับร้อยละ 26.50 ส่วน เชื้อเพลิงอัดเม็ดก่อนหอริแฟคชันที่ผสมตะกอนพลาสติกชนิด PET กับชิ้นข้าวโพดมีค่าการปนเปื้อนคลอไครด์เท่ากับ 92.41  $\mu\text{g/l}$  หรือ 4.23  $\mu\text{g/MJ}$  เมื่อนำไปผ่านการหอริแฟคชันมีค่าคลอไครด์ปนเปื้อนลดลงเท่ากับ 23.64  $\mu\text{g/l}$  หรือ 1.09  $\mu\text{g/MJ}$  ซึ่งหลังการหอริแฟคชันมีการกำจัดคลอไครด์เท่ากับร้อยละ 74.23 แสดงดังภาพ 29 แสดงให้เห็นว่าการหอริแฟคชันสามารถระเหยคลอไครด์ออกจากเชื้อเพลิงอัดเม็ดได้ และค่าคลอไครด์ปนเปื้อนของเชื้อเพลิงอัดเม็ดทั้งก่อนและหลังการหอริแฟคชัน ที่วิเคราะห์เป็นไปตามที่มาตรฐานกำหนด

รู้ได้เห็นว่าการหอริแฟคชันมีผลต่อการกำจัดปริมาณคลอไครด์ในเชื้อเพลิงอัดเม็ด ซึ่งสามารถระเหยคลอไครด์ออกจากเชื้อเพลิงอัดเม็ด หรือ ทำให้อบค์ประกลบคลอไครด์ที่อยู่ในตะกอนพลาสติกชนิด PET จับตัวกับ Na และ K ที่อยู่ในเชื้อเพลิงเปลี่ยนไปเป็นองค์ประกอบอื่น เช่น สารประกอบแอลคาโรต์ (KCl) และ เกลือคลอไครด์ (NaCl) ทดสอบล้องกับงานวิจัยของ Wang et al. (2018) ได้ทำการศึกษาเกี่ยวกับองค์ประกอบคลอไครด์ที่อยู่ในเศษอาหารหลังการหอริแฟคชันจากการศึกษาพบว่า อุณหภูมิ 250-350 °C ใน การหอริแฟคชันมีผลทำให้ปริมาณ

คลอไรด์ในตัวอย่างลดลง เนื่องจากองค์ประกอบคลอไรด์ได้เปลี่ยนรูปเป็น NaCl และ KCl ในเชื้อเพลิงอัดเม็ด และ NaCl สามารถทำปฏิกิริยากับกลุ่มคาร์บอนซิล และมีการระเหยของคลอไรด์ และ คลอไรด์สามารถไปจับตัวกับองค์ประกอบคาร์บอนในชีวนวลด้วยในเชื้อเพลิงอัดเม็ด หลังจากนั้นเปลี่ยนรูปเป็น C-Cl เป็นสารประกอบอินทรีย์ให้เห็นว่าการทอริแฟคชันสามารถลดปริมาณคลอไรด์ในเชื้อเพลิงอัดเม็ดได้

การทดสอบปริมาณprotoทั้งหมดโดยเทคนิคไอออนโคลมาโทกราฟพบว่า ไม่สามารถตรวจพบค่าการปนเปื้อนprotoทั้งหมดเชื้อเพลิงอัดเม็ดทั้งก่อนและหลังการทอริแฟคชัน แสดงดังตาราง 16



ภาพ 29 ค่าการปนเปื้อนคลอไรด์ในเชื้อเพลิงอัดเม็ดทั้งก่อนและหลังการทอริแฟคชันและค่าร้อยละการกำจัดคลอไรด์ปนเปื้อนออกจากเชื้อเพลิงอัดเม็ด PET/TS (ตะกอนพลาสติกชนิด PET/ชีลเลอเยไม้สัก) PET/ES (ตะกอนพลาสติกชนิด PET/ชีลเลอเยไม้ยูคาลิปตัส)

- (1) ค่าการปนเปื้อนคลอไรด์ในเชื้อเพลิงอัดเม็ดทั้งก่อนและหลังการทอริแฟคชัน
- (2) ค่าร้อยละการกำจัดคลอไรด์ปนเปื้อนออกจากเชื้อเพลิงอัดเม็ด PET/TS (ตะกอนพลาสติกชนิด PET/ชีลเลอเยไม้สัก) PET/ES (ตะกอนพลาสติกชนิด PET/ชีลเลอเยไม้ยูคาลิปตัส) และ PET/CC (ตะกอนพลาสติกชนิด PET/ชันข้าวโพด) หลังการทอริแฟคชัน

### ตาราง 16 ค่าการปนเปื้อนprotoxของเชื้อเพลิงอัดเม็ดทั้งก่อนและหลังการหอริแฟคชัน

เชื้อเพลิงอัดเม็ด	ตัวอย่าง		
	PET:ชีลีย์ไม้สัก	PET:ชีลีย์ไม้ยูคาลิปตัส	PET:ชั้งข้าวโพด
ก่อนหอริแฟคชัน	N.D.	N.D.	N.D.
หลังหอริแฟคชัน	N.D.	N.D.	N.D.

หมายเหตุ: N.D.(Not Detected)=ตรวจไม่พบ

### 6. ปริมาณก๊าซเสีย (Flue gas) ที่เกิดจากการเผาไหม้ของเชื้อเพลิงอัดเม็ดทั้งก่อนและหลังการหอริแฟคชัน

ในการเก็บตัวอย่างเพื่อวิเคราะห์การเกิดก๊าซเสียได้แก่  $O_2$   $CO_2$   $CO$   $NOx$   $H_2$  และ  $SO_2$  เป็นต้น ซึ่งจะดำเนินการโดยหยุดตัวอย่างลงในเตาเผาที่อุณหภูมิ  $850^{\circ}C$  ช่วงเวลาละ 3 นาที โดยใช้เวลาหยุดตัวอย่างทั้งหมด 30 นาที และตรวจวัดตัวอย่างก๊าซช่วงละ 5 นาทีจนถึง 30 นาที โดยใช้เครื่อง Flue gas analyzer ในการตรวจวัด จากการศึกษาพบว่า เชื้อเพลิงอัดเม็ด ผสมตะกอนพลาสติกชนิด PET กับชีลีย์ไม้สักหรือ S. 18 ก่อนการหอริแฟคชันในช่วงเวลา 5-30 นาที มีปริมาณ  $O_2$  อยู่ในช่วงเฉลี่ยร้อยละ  $6.47 \pm 0.12-9.90 \pm 0.26$   $CO_2$  อยู่ในช่วงเฉลี่ยร้อยละ  $2.54 \pm 0.27-5.50 \pm 0.15$   $CO$  อยู่ในช่วงเฉลี่ย  $1,435.80 \pm 220.99-4,771.80 \pm 176.15$  ppm  $NOx$ รวม อยู่ในช่วงเฉลี่ย  $106.54 \pm 9.37-289.82 \pm 93.29$  ppm  $H_2$  อยู่ในช่วงเฉลี่ย  $816.00 \pm 75.25-2,882.00 \pm 35.05$  ppm และตรวจไม่พบปริมาณ  $SO_2$  เชื้อเพลิงอัดเม็ดผสม ตะกอนพลาสติกชนิด PET กับชีลีย์ไม้ยูคาลิปตัสหรือ S. 94 ก่อนการหอริแฟคชันในช่วงเวลา 5-30 นาที มีปริมาณ  $O_2$  อยู่ในช่วงเฉลี่ยร้อยละ  $5.61 \pm 1.92-11.06 \pm 0.75$   $CO_2$  อยู่ในช่วงเฉลี่ยร้อยละ  $1.92 \pm 0.61-8.09 \pm 0.43$   $CO$  อยู่ในช่วงเฉลี่ย  $1,134.60 \pm 230.20-5,410.20 \pm 1,835.55$  ppm  $NOx$ รวม อยู่ในช่วงเฉลี่ย  $47.18 \pm 7.86-108.08 \pm 3.97$  ppm  $H_2$  อยู่ในช่วงเฉลี่ย  $324.20 \pm 87.71-525.60 \pm 27.31$  ppm และตรวจไม่พบปริมาณ  $SO_2$  เชื้อเพลิงอัดเม็ดผสม ตะกอนพลาสติกชนิด PET กับชั้งข้าวโพดหรือ S. 180 ก่อนการหอริแฟคชันในช่วงเวลา 5-30 นาที มีปริมาณ  $O_2$  อยู่ในช่วงเฉลี่ยร้อยละ  $4.71 \pm 1.2-7.50 \pm 0.30$   $CO_2$  อยู่ในช่วงเฉลี่ยร้อยละ  $2.76 \pm 0.06-9.91 \pm 0.06$   $CO$  อยู่ในช่วงเฉลี่ย  $1,500.60 \pm 79.77-15,361.40 \pm 3982.98$  ppm  $NOx$ รวม อยู่ในช่วงเฉลี่ย  $47.14 \pm 10.26-133.30 \pm 5.55$  ppm  $H_2$  อยู่ในช่วงเฉลี่ย  $1,119.40 \pm 104.52-18,603.60 \pm 1,527.22$  ppm และตรวจไม่พบปริมาณ  $SO_2$  ดังแสดงในตาราง 17

ปริมาณก๊าซเสียที่เกิดจากการเผาไหม้ของเชื้อเพลิงอัดเม็ดหลังการห่อริแฟคชันพบว่า เชื้อเพลิงอัดเม็ดสมตะกอนพลาสติกชนิด PET กับชีลเล้อยไม้สักหรือ S. 18 หลังการห่อริแฟคชันในช่วงเวลา 5-30 นาที มีปริมาณ  $O_2$  อยู่ในช่วงเฉลี่ยร้อยละ  $8.14 \pm 0.08$ - $11.85 \pm 0.02$   $CO_2$  อยู่ในช่วงเฉลี่ยร้อยละ  $2.25 \pm 0.41$ - $3.87 \pm 0.34$  CO อยู่ในช่วงเฉลี่ย 6,661.40±888.05-12,220.40±2,761.97 ppm NOxรวม อยู่ในช่วงเฉลี่ย  $81.38 \pm 45.72$ - $152.24 \pm 24.43$  ppm  $H_2$  อยู่ในช่วงเฉลี่ย 9,311.00±585.32-26,326.20±607.71 ppm และตรวจไม่พบปริมาณ  $SO_2$  เชื้อเพลิงอัดเม็ดผสมตะกอนพลาสติกชนิด PET กับชีลเล้อยไม้สักคาลิปต์สหหรือ S. 94 หลังการห่อริแฟคชันในช่วงเวลา 5-30 นาที มีปริมาณ  $O_2$  อยู่ในช่วงเฉลี่ยร้อยละ  $10.14 \pm 0.71$ - $10.90 \pm 0.34$   $CO_2$  อยู่ในช่วงเฉลี่ยร้อยละ  $2.32 \pm 0.74$ - $4.09 \pm 1.09$  CO อยู่ในช่วงเฉลี่ย 11,312.20±3,499.77-14,111.40±5,240.36 ppm NOxรวม อยู่ในช่วงเฉลี่ย  $65.74 \pm 12.31$ - $147.64 \pm 14.03$  ppm  $H_2$  อยู่ในช่วงเฉลี่ย 16,734.00±4,658.54-23,012.40±964.35 ppm และตรวจไม่พบปริมาณ  $SO_2$  เชื้อเพลิงอัดเม็ดผสมตะกอนพลาสติกชนิด PET กับชั้งข้าวโพดหรือ S. 180 หลังการห่อริแฟคชันในช่วงเวลา 5-30 นาที มีปริมาณ  $O_2$  อยู่ในช่วงเฉลี่ยร้อยละ  $11.00 \pm 0.39$ - $11.59 \pm 0.31$   $CO_2$  อยู่ในช่วงเฉลี่ยร้อยละ  $0.91 \pm 0.04$ - $3.98 \pm 1.02$  CO อยู่ในช่วงเฉลี่ย 1,175.60±135.90-1,502.20±113.93 ppm NOxรวม อยู่ในช่วงเฉลี่ย  $56.42 \pm 5.13$ - $70.08 \pm 7.94$  ppm  $H_2$  อยู่ในช่วงเฉลี่ย 601.60±3.10-15,076.60±575.30 ppm และตรวจไม่พบปริมาณ  $SO_2$  แสดงดังตาราง 17

ตาราง 17 ปริมาณกําลังสีที่เกิดจากกําลังการเผาไหม้ของเชื้อเพลิงและผลกระทบต่อการเผาไหม้คัน

ตัวอย่าง	ช่วงเวลา(นาที)	O <sub>2</sub> (%)	CO <sub>2</sub> (%)	CO(ppm)	NOx(ppm)	H <sub>2</sub> (ppm)	SO <sub>2</sub> (ppm)
<b>เชื้อเพลิงอัดเม็ดกําลังการเผาไหม้</b>							
PET:	5-10	9.36±0.44	3.55±0.19	2,613.60±262.01	289.82±93.29	1,271.60±274.84	N.D.
พี.เอ.ที.รีไซเคิล	15-20	9.90±0.26	2.54±0.27	4,771.80±176.15	106.54±9.37	2,882.00±35.05	N.D.
	25-30	6.47±0.12	5.50±0.15	1,435.80±220.99	220.24±2.76	816.00±75.25	N.D.
PET:	5-10	11.06±0.75	1.92±0.61	1,134.60±230.20	68.66±11.25	324.20±87.71	N.D.
พี.เอ.ที.รีไซเคิลสีดำ	15-20	5.61±1.92	8.09±0.43	14,579.80±959.72	47.18±7.86	1,232.60±260.12	N.D.
	25-30	9.11±0.58	4.66±1.90	5,410.20±1,835.55	108.08±3.97	525.60±27.31	N.D.
PET:	5-10	4.71±1.2	9.91±0.06	10,603.00±3,483.41	75.64±2.78	18,603.60±1,527.22	N.D.
พี.เอ.ที.รีไซเคิล	15-20	7.35±1.05	2.76±0.06	15,361.40±3982.98	47.14±10.26	10,064.60±1,256.41	N.D.
	25-30	7.50±0.30	6.60±0.62	1,500.60±79.77	133.30±5.55	1,119.40±104.52	N.D.
<b>เชื้อเพลิงอัดเม็ดกําลังการเผาไหม้คัน</b>							
PET:	5-10	10.39±0.44	2.25±0.41	6,661.40±888.05	152.24±24.43	26,326.20±607.71	N.D.
พี.เอ.ที.รีไซเคิล	15-20	11.85±0.02	2.34±0.90	12,220.40±2,761.97	143.56±15.56	21,288.80±1,129.57	N.D.
	25-30	8.14±0.08	3.87±0.34	10,364.80±1,676.40	81.38±45.72	9,311.00±585.32	N.D.
PET:	5-10	10.61±0.29	4.09±1.09	11,587.60±5,772.49	147.64±14.03	23,012.40±964.35	N.D.
พี.เอ.ที.รีไซเคิลสีดำ	15-20	10.14±0.71	2.32±0.74	11,312.20±3,499.77	141.30±4.02	16,734.00±4,658.54	N.D.
	25-30	10.90±0.34	3.46±0.72	14,111.40±6,240.36	65.74±12.31	19,644.20±2,876.023	N.D.
PET:พี.เอ.ที.	5-10	11.59±0.31	1.19±0.15	1,175.60±135.90	56.42±5.13	601.60±3.10	N.D.
	15-20	11.00±0.39	3.98±1.02	12,813.80±1,826.60	70.08±7.94	15,076.60±575.30	N.D.
	25-30	11.55±0.01	0.91±0.04	1,502.20±113.93	60.76±1.7	1,038.20±65.06	N.D.

หมายเหตุ: N.D.(Not Detected)=ตรวจไม่พบ

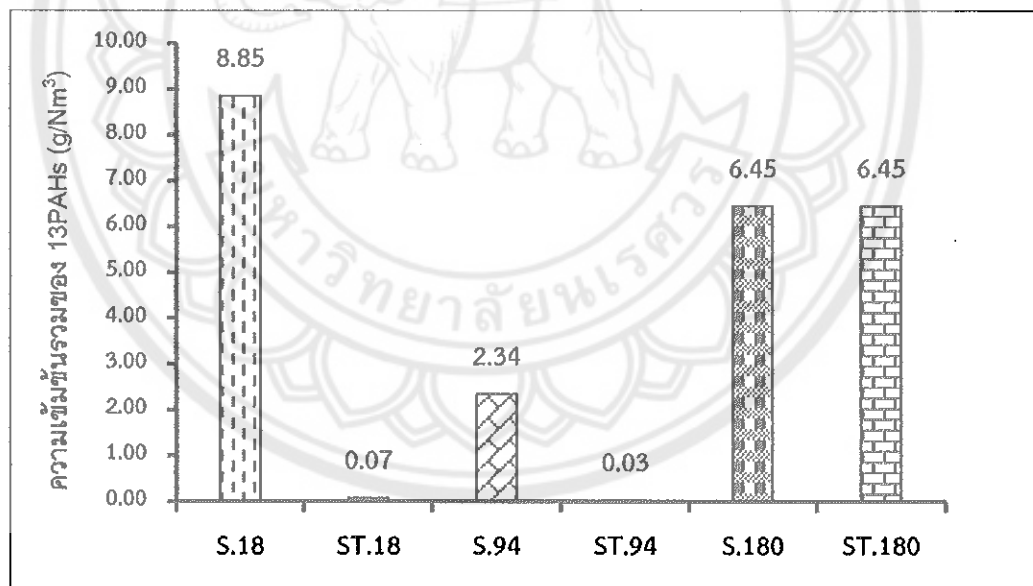
ทั้งนี้การที่ปริมาณ CO และ H<sub>2</sub> จากการเผาไหม้ของเชื้อเพลิงอัดเม็ดหลังการหอริแฟคชัน S. 18 และ S. 94 เพิ่มขึ้นเนื่องจากมีองค์ประกอบของ O/C และ H/C ต่ำกว่าเชื้อเพลิงอัดเม็ดก่อน การหอริแฟคชัน S. 18 และ S. 94 หรือเกิดจากปริมาณออกซิเจนมีส่วนทำให้เกิดการออกซิเดชันของ CO แล้วผลิตเป็น H<sub>2</sub> และ CO<sub>2</sub> ส่วนปริมาณ CO<sub>2</sub> ที่เกิดจากการเผาไหม้ของเชื้อเพลิงอัดเม็ดหลังการหอริแฟคชัน S. 18, S. 94 และ S. 180 มีปริมาณ CO<sub>2</sub> ลดลง และปริมาณ O<sub>2</sub> และ H<sub>2</sub> เพิ่ม เนื่องจาก O<sub>2</sub> และ H<sub>2</sub> เผาไหม้ไม่หมด จึงทำให้มีปริมาณของ CO<sub>2</sub> ลดลง (Ibetao et al., 2017) ทั้งนี้ปริมาณ CO ที่เกิดจากการเผาไหม้ของเชื้อเพลิงอัดเม็ดหลังการหอริแฟคชัน S. 180 มีปริมาณที่ลดลง เป็นผลมาจากการปริมาณของออกซิเจนในตัวอย่าง หรือเกิดการเปลี่ยนแปลงของกระบวนการเผาไหม้และกําชเสียหรืออาจเป็นผลมาจากการเพิ่มขึ้นของปริมาณสารระเหยที่ออกมากจากชีวมวล (Mylläri et al., 2016) ปริมาณ NOx จากการเผาไหม้เชื้อเพลิงอัดเม็ดหลังการหอริแฟคชัน S. 94 มีปริมาณที่เพิ่มขึ้นเนื่องจากปริมาณไนโตรเจนของวัตถุดิบตั้งต้น (ตะกอนพลาสติกชนิด PET และชีล็อยด์ไม้ยูคาลิปตัส) มีอยู่มาก (Xiao et al., 2015) และในระหว่างการหอริแฟคชันระยะเวลา 10 นาที อาจยังไม่สามารถระเหยในต่อเจน ออกจากเชื้อเพลิงอัดเม็ด จึงทำให้มีปริมาณของไนโตรเจนเพิ่มขึ้น ส่งผลทำให้ในระหว่างการเผาไหม้เกิด NOx เพิ่มขึ้น (Lasek et al., 2017) ส่วนปริมาณ O<sub>2</sub> ที่เกิดจากการเผาไหม้ของเชื้อเพลิงอัดเม็ดหลังการหอริแฟคชัน S. 18, S. 94 และ S. 180 มีปริมาณเพิ่มขึ้นอยู่ในช่วงร้อยละ 8-11 ซึ่งมีปริมาณ O<sub>2</sub> จากการเผาไหม้สักครู่กว่าร้อยละ 30 มีผลต่อการเผาไหม้ของเชื้อเพลิง เนื่องจากถ้ามี O<sub>2</sub> มากเกินไปอาจทำให้อุณหภูมิในการเผาไหม้ลดลง ทำให้มีค่าความชื้นสูงจึงทำให้เกิดการเผาไหม้ไม่สมบูรณ์จากการที่มี O<sub>2</sub> มากเกินไป (Sung et al., 2018)

## 7. ปริมาณ 13PAHs และ BTEX ที่เกิดจากการเผาไหม้ของเชื้อเพลิงอัดเม็ดทั้งก่อนและหลังการหอริแฟคชัน

ในการเก็บตัวอย่างเพื่อวิเคราะห์หาปริมาณ 13PAHs และ BTEX จากการเผาไหม้เชื้อเพลิงอัดเม็ดทั้งก่อนและหลังการหอริแฟคชัน จะดำเนินการหยดตัวอย่างลงในเตาเผาที่อุณหภูมิ 850 °C ช่วงเวลา 3 นาที โดยใช้เวลาหยดตัวอย่างทั้งหมด 30 นาที และจะเก็บตัวอย่าง 13PAHs และ BTEX ช่วงเวลา 5 นาที จนถึง 30 นาที เช่นเดียวกับการเก็บตัวอย่าง วิเคราะห์การเกิดกําชเสีย จากการศึกษาพบว่าเชื้อเพลิงอัดเม็ดผสมตะกอนพลาสติกชนิด PET กับชีล็อยด์ไม้สักหรือ S. 18 ก่อนการหอริแฟคชันมีปริมาณความชื้นรวมของ 13PAHs เฉลี่ย 8.85 g/Nm<sup>3</sup> หลังการหอริแฟคชันพบว่า มีปริมาณความชื้นรวมของ 13PAHs ลดลงเฉลี่ย 0.07 g/Nm<sup>3</sup> เชื้อเพลิงอัดเม็ดผสมตะกอนพลาสติกชนิด PET กับชีล็อยด์ไม้ยูคาลิปตัสหรือ S. 94

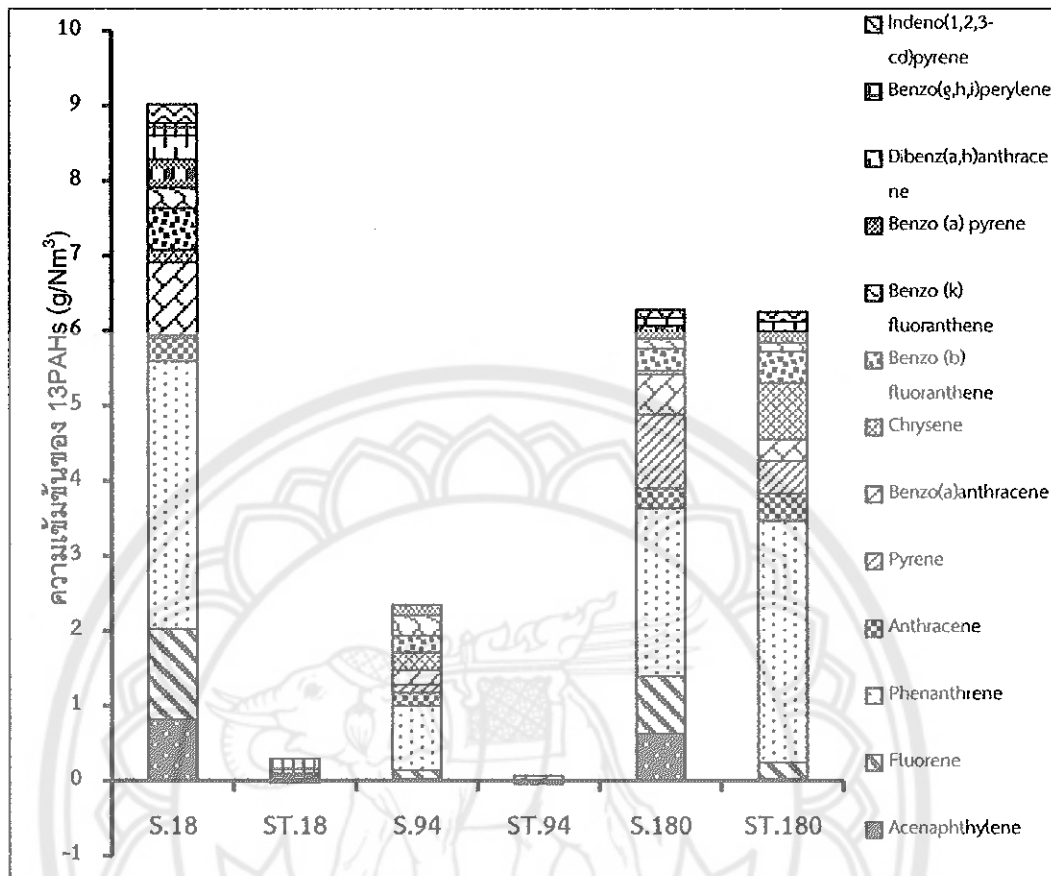
ก่อนการหอริแฟคชันมีปริมาณความเข้มข้นรวมของ 13PAHs เฉลี่ย  $2.34 \text{ g/Nm}^3$  หลังการหอริแฟคชันพบว่า มีปริมาณความเข้มข้นรวมของ 13PAHs ลดลงเฉลี่ย  $0.03 \text{ g/Nm}^3$  ส่วนเชื้อเพลิงอัดเม็ดผสมตะกอนพลาสติกกับชั้นโพดหรือ S. 180 ทั้งก่อนและหลังการหอริแฟคชัน มีปริมาณความเข้มข้นรวมของ 13PAHs ไม่เปลี่ยนแปลงเฉลี่ย  $6.45 \text{ g/Nm}^3$  แสดงดังภาพ 30

ทั้งนี้เชื้อเพลิงอัดเม็ดหลังการหอริแฟคชันมีปริมาณ 13PAHs ลดลงซึ่งให้เห็นว่า การหอริแฟคชันมีผลต่อการลดปริมาณ 13PAHs เนื่องจากสภาวะของการหอริแฟคชันมีผลต่อการเปลี่ยนแปลงโครงสร้างพันธะอะโรมาติกไฮโดรคาร์บอนของตะกอนพลาสติกชนิด PET และเส้นใยเซลลูโลสโดยการสลายโครงสร้างของพันธะอะโรมาติกไฮโดรคาร์บอนในช่วงเวลา จะทำให้สารประกอบแอลไฟติกในเซลลูโลสเกิดการสลายพันธะเปลี่ยนเป็นสารประกอบเพอร์ฟริด (Lee et al., 2016) นอกจากนี้การหอริแฟคชันสามารถทำให้สารประกอบพวง แมพทาลีน อะซีเเบปทิคลีน และ ฟีเແມทีรีน ซึ่งเป็นองค์ประกอบหลักของ 13PAHs ลดลง (Recari et al., 2017)



ภาพ 30 ความเข้มข้นรวมของ 13PAHs ในเชื้อเพลิงอัดเม็ดก่อนและหลังการหอริแฟคชัน

S.18; PET:ชีลีย์ไนส์ก ก่อนการหอริแฟคชัน S.94; PET:ชีลีย์ไนส์คุณภาพดี ก่อนการหอริแฟคชัน S.180; PET:ชั้นโพด ก่อนการหอริแฟคชัน ST.18; PET:ชีลีย์ไนส์ก หลังการหอริแฟคชัน ST.94; PET:ชีลีย์ไนส์คุณภาพดี หลังการหอริแฟคชัน และ ST.180; PET:ชั้นโพด หลังการหอริแฟคชัน

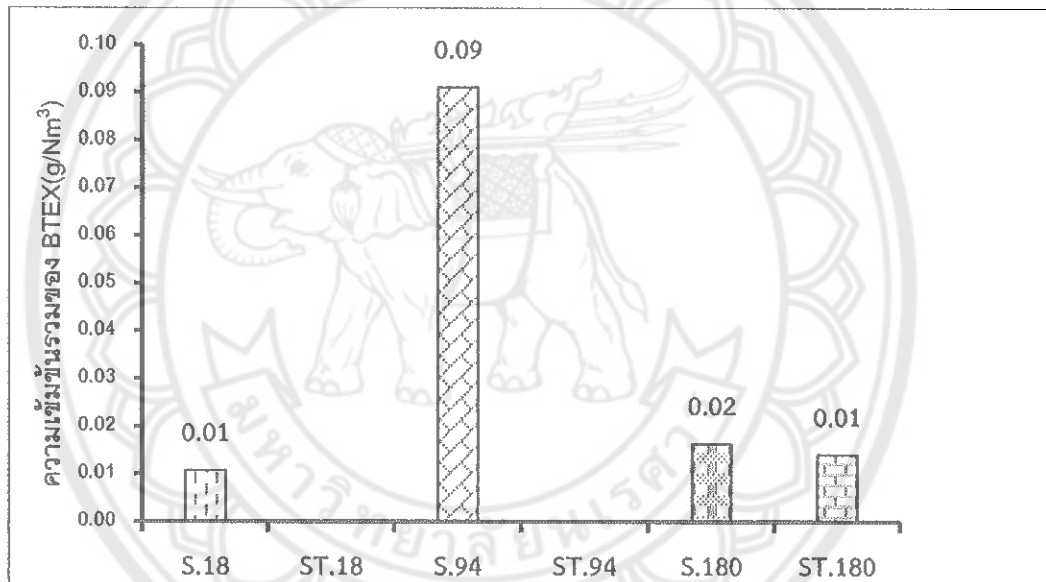


ภาพ 31 สัดส่วนของ Polycyclic Aromatic Hydrocarbons (PAHs) แต่ละชนิดในเชื้อเพลิงอัดเม็ดก่อนและหลังการหอริแฟคชัน

S.18; PET: เชื้อเพลิงอัดเม็ดก่อนการหอริแฟคชัน S.94; PET: เชื้อเพลิงอัดเม็ดก่อนการหอริแฟคชัน S.180; PET: ชั้งข้าวโพด ก่อนการหอริแฟคชัน ST.18; PET: เชื้อเพลิงอัดเม็ดก่อนหลังการหอริแฟคชัน ST.94; PET: เชื้อเพลิงอัดเม็ดก่อนหลังการหอริแฟคชัน ST.180; PET: ชั้งข้าวโพดหลังการหอริแฟคชัน

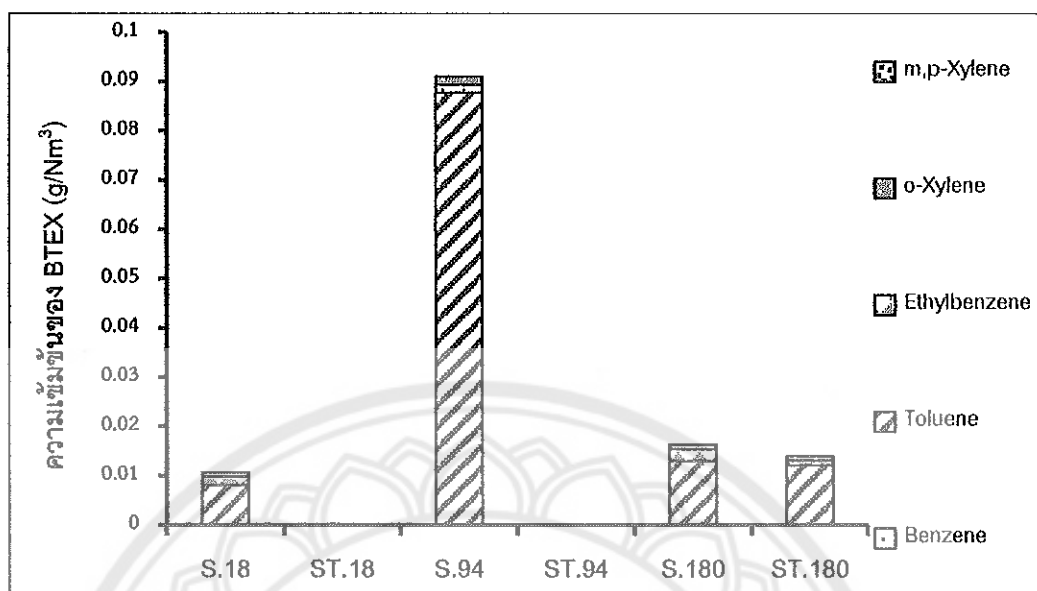
ปริมาณ BTEX จากการเผาไหม้เชื้อเพลิงอัดเม็ดทั้งก่อนและหลังการหอริแฟคชันพบว่า เชื้อเพลิงอัดเม็ดผสมตะกอนพลาสติกชนิด PET กับเชื้อเพลิงอัดเม็ดหรือ S. 18 ก่อนการหอริแฟคชัน มีปริมาณความเข้มข้นรวมของ BTEX เฉลี่ย  $0.01 \text{ g/Nm}^3$  หลังการหอริแฟคชันตรวจไม่พบปริมาณความเข้มข้นรวมของ BTEX เฉลี่ย  $0.01 \text{ g/Nm}^3$  หลังการหอริแฟคชันตรวจไม่พบปริมาณความเข้มข้นรวมของ BTEX ส่วน เชื้อเพลิงอัดเม็ดผสมตะกอนพลาสติกกับชั้งข้าวโพดหรือ S. 180 ก่อนการหอริแฟคชันมีปริมาณความเข้มข้นรวมของ BTEX เฉลี่ย  $0.09 \text{ g/Nm}^3$  หลังการหอริแฟคชันตรวจไม่พบปริมาณความเข้มข้นรวมของ BTEX ส่วน เชื้อเพลิงอัดเม็ดผสมตะกอนพลาสติกกับชั้งข้าวโพดหรือ S. 180 ก่อนการหอริแฟคชันมีปริมาณความเข้มข้นรวมของ BTEX เฉลี่ย  $0.02 \text{ g/Nm}^3$  หลังการหอริแฟคชันมีปริมาณความเข้มข้นรวมของ

BTEX ลดลงเหลือ  $0.01 \text{ g/Nm}^3$  แสดงดังภาพ 32 ซึ่งให้เห็นว่าอุณหภูมิในการทอริแฟคชัน  $210-270 \text{ }^\circ\text{C}$  มีผลต่อการสลายตัวของสารองค์ประกอบฟีโนลิก (Phenolic) ของเส้นใยลิกนินในชีวนะ สามารถเหยกลายเป็น BTEX มีผลทำให้เกิดการสลายตัวของโครงสร้างพันธะเคมีในเส้นใยลิกนิน (Cleavage of ether linkages and demethoxylation) โดยเกิดการสลายตัวของกลุ่มเมทธิล (Methyl group;  $\text{CH}_3$ ) ออกจากโมเลกุลในเส้นใยลิกนินซึ่งจะสูญเสียองค์ประกอบคาร์บอน 1 อะตอม และไฮโดรเจน 2 อะตอมเหลือไฮโดรเจน 1 อะตอม เมื่อใช้อุณหภูมิในการทอริแฟคชันไปเพาท์อุณหภูมิ  $850 \text{ }^\circ\text{C}$  จึงตรวจพบ BTEX มีปริมาณลดลง (Zhang et al., 2018)



ภาพ 32 ความเข้มข้นรวมของ BTEX ในเชือเพลิงอัดเม็ดก้อนและหลังการทอริแฟคชัน

S.18; PET: ชี้เดียวไม้สัก ก่อนการทอริแฟคชัน S.94; PET: ชี้เดียวไม้ยูคาลิปตัส ก่อนการทอริแฟคชัน S.180; PET: ชิ้งช้าาโพด ก่อนการทอริแฟคชัน ST.18; PET: ชี้เดียวไม้สัก หลังการทอริแฟคชัน ST.94; PET: ชี้เดียวไม้ยูคาลิปตัส หลังการทอริแฟคชัน และ ST.180; PET: ชิ้งช้าาโพด หลังการทอริแฟคชัน



ภาพ 33 สัดส่วนของ BTEX ในเชือเพลิงอัดเม็ดก่อนและหลังการหอริไฟฟ้าชัน

S.18; PET:ชีลี่อยไนส์ก ก่อนการหอริไฟฟ้าชัน S.94; PET:ชีลี่อยไนส์คัลปิตต์ ก่อนการหอริไฟฟ้าชัน S.180; PET:ชั้งข้าวโพด ก่อนการหอริไฟฟ้าชัน ST.18; PET:ชีลี่อยไนส์ก หลังการหอริไฟฟ้าชัน ST.94; PET:ชีลี่อยไนส์คัลปิตต์ หลังการหอริไฟฟ้าชัน และ ST.180; PET:ชั้งข้าวโพดหลังการหอริไฟฟ้าชัน

## บทที่ 5

### บทสรุปและข้อเสนอแนะ

#### 1. สรุปผลการวิจัย

จากการศึกษาเชือเพลิงอัดเม็ดทั้งก่อนและหลังการหอริแฟคชัน เพื่อนำคุณสมบัติทางกายภาพและเคมี คุณสมบัติเชิงพลังงานความร้อน ปริมาณการปนเปื้อนปeroxide และคอลอไรด์ และทดสอบการเผาไหม้บนพิษอากาศ จากการศึกษาพบว่า สมบัติทางกายภาพของเชือเพลิงอัดเม็ด เมื่อนำไปผ่านการหอริแฟคชัน มีปริมาณความชื้นลดลงอยู่ในช่วงเฉลี่ยร้อยละ 0.07-0.17 และ มีปริมาณสารระเหยลดลงอยู่ในช่วงเฉลี่ยร้อยละ 97.66-98.07 แสดงให้เห็นว่าการหอริแฟคชัน สามารถเตรียมความชื้นและปริมาณสารระเหยออกจากเชือเพลิงอัดเม็ดได้ ในการวิเคราะห์ค่าความร้อนด้วยเครื่อง Bomb calorimeter พบว่า เชือเพลิงอัดเม็ดทั้งก่อนและหลังการหอริแฟคชันมีค่าความร้อนสูงกว่าวัตถุดิบตั้งต้น (ตะกอนพลาสติกชนิด PET ซึ่งเลือยไม้สัก ซึ่งเลือยไม้ยูคาลิปตัส และซังข้าวโพด) ประมาณ 21-22 MJ/kg ซึ่งมีค่าความร้อนเป็นไปตามที่มาตรฐาน EN 15359:2011 กำหนด ทั้งนี้ในการให้ค่าพลังงานความร้อนเชือเพลิงอัดเม็ดที่ผลิตจากตะกอนพลาสติกชนิด PET กับซึ่งเลือยไม้สักในอัตราส่วน 85:15 สามารถให้ค่าความร้อนได้มากกว่า เชือเพลิงอัดเม็ดที่ผลิตจากตะกอนพลาสติกชนิด PET กับซึ่งเลือยไม้ยูคาลิปตัสและซังข้าวโพด ประมาณ 21.38-22.38 MJ/kg และอัตราส่วนผสมของวัตถุดิบตั้งต้นที่นำมาผลิตเชือเพลิงอัดเม็ด ต้องมีปริมาณของตะกอนพลาสติกชนิด PET มากกว่าซีมวล (ซึ่งเลือยไม้สัก ซึ่งเลือยไม้ยูคาลิปตัส และซังข้าวโพด) ถ้าหากซีมวลมีปริมาณที่มากกว่าจะทำให้มีเชือเพลิงอัดเม็ดมีค่าความชื้นสูงขึ้น และส่งผลทำให้ค่าพลังงานความร้อนต่ำ

นอกจากนี้สภาพการหอริแฟคชันเชือเพลิงอัดเม็ด ในกรณีที่อุณหภูมิมากกว่า 300 °C มีผลทำให้เชือเพลิงเกิดการไหม้ ถ้าหากไม่มีการป้อนอากาศเข้าระบบและใช้เวลาในการหอริแฟคชันนานมากกว่า 30 นาที มีผลทำให้เชือเพลิงอัดเม็ดเกิดการแตกร่วนและไม่จับตัวกัน เป็นก้อน งานวิจัยนี้จึงได้กำหนดสภาพการหอริแฟคชันที่อุณหภูมิ 170 – 190 และ 225 °C อัตราการป้อนอากาศ 1 – 4 และ 6 L/min เวลา 5 – 10 และ 15 นาที ในการหอริแฟคชัน เมื่อนำ เชือเพลิงอัดเม็ดไปทดสอบค่าดัชนีความคงทน (DSI) พบว่า เชือเพลิงอัดเม็ดหลังการหอริแฟคชันใน สภาวะที่เหมาะสม คือ อุณหภูมิช่วง 170-225 °C อัตราการป้อนอากาศ 1-6 L/min เวลา 10 นาที โดยจะมีค่า DSI ตี่ที่สุดในช่วง 0.9994-0.9999 ซึ่งมีค่ามากกว่า 0.95 เป็นไปตามที่มาตรฐาน

กำหนดในการวิเคราะห์ค่าการปนเปื้อนปรอทและคลอไคร์ด พบว่า เขื้อเพลิงอัดเม็ดหลังการหอริแฟคชัน มีค่าการปนเปื้อนคลอไคร์ดคง 23.64-33.28  $\mu\text{g/l}$  หรือ 1.09-1.72  $\mu\text{g/MJ}$  จากเดินมีปริมาณคลอไคร์ดปนเปื้อน 46.51-92.41  $\mu\text{g/l}$  หรือ 23.64-37.25  $\mu\text{g/MJ}$  ซึ่งการหอริแฟคชันสามารถกำจัดคลอไคร์ดออกจากการเขื้อเพลิงอัดเม็ดได้ถึงร้อยละ 26.50-74.23 และค่าคลอไคร์ดของเขื้อเพลิงอัดเม็ดหลังการหอริแฟคชันที่วิเคราะห์ได้เป็นไปตามที่มาตรฐาน EN 15359:2011 กำหนด และตรวจไม่พบค่าการปนเปื้อนปรอทในเขื้อเพลิงอัดเม็ดทั้งก่อนและหลังการหอริแฟคชัน

ในส่วนของการวิเคราะห์ปริมาณก๊าซเสีย พบว่า เขื้อเพลิงอัดเม็ดหลังการหอริแฟคชัน มี  $\text{CO}_2$  คง แต่มี  $\text{CO}$  จากการเผาไหม้ อาจเป็นผลมาจากการมีปริมาณอากาศน้อย ทำให้เกิดการเผาไหม้ไม่สมบูรณ์ในระหว่างเผาไหม้ และเตาเผาที่ใช้เป็นเตาเผาขนาดเล็ก ทำให้ระยะเวลาคงอยู่ของเขื้อเพลิงสั้นเกินไป (Residence time) อาจทำให้เกิด  $\text{CO}$  ได้เร็วและเครื่องตราชวัดได้ง่ายขึ้น อย่างไรก็ตามเขื้อเพลิงอัดเม็ดที่ผลิตได้ไม่ก่อให้เกิด  $\text{SO}_2$  จากการเผาไหม้ เนื่องจากในเขื้อเพลิงอัดเม็ดไม่มีส่วนผสมของชัลเฟอร์ และจากผลการวิเคราะห์ปริมาณ 13PAHs และ BTEX ในเขื้อเพลิงอัดเม็ดผ่านทดสอบตะกอนพลาสติกชนิด PET กับชี้เลือยไม้สักและตะกอนพลาสติกชนิด PET กับชี้เลือยไม้ยูคาลิปตัสหลังการหอริแฟคชัน มีปริมาณความเข้มข้นรวมของ 13PAHs ลดลง และตราชาก็ไม่พบปริมาณความเข้มข้นรวมของ BTEX และในส่วนของเขื้อเพลิงอัดเม็ดผ่านทดสอบตะกอนพลาสติกชนิด PET กับชั้งข้าวโพดหลังการหอริแฟคชัน พบว่า ปริมาณความเข้มข้นรวมของ 13PAHs ไม่เปลี่ยนแปลงและปริมาณความเข้มข้นรวมของ BTEX มีปริมาณที่ลดลง ซึ่งให้เห็นว่า การหอริแฟคชันสามารถปรับปรุงคุณภาพเขื้อเพลิงอัดเม็ดให้มีคุณสมบัติทั้งทางด้านการให้พลังงานความร้อน การปลดปล่อยมลพิษที่เป็นไปตามที่มาตรฐานกำหนดซึ่งสามารถที่จะใช้เป็นเขื้อเพลิงทดแทนได้

## 2. ข้อเสนอแนะ

2.1 ควรมีการศึกษาค่าการคุณภาพความชื้นของเขื้อเพลิงหลังการหอริแฟคชัน และศึกษาเกี่ยวกับ Fluoride ในก๊าซเสีย และฝุ่น PM 10 PM 2.5 จากการเผาไหม้เขื้อเพลิงอัดเม็ดทั้งก่อนและหลังการหอริแฟคชัน

2.2 ควรศึกษาเกี่ยวกับพารามิเตอร์ Mass yield และ Energy efficiency และเบริกบานเทียน unit ของพลังงานของกระบวนการท่อเขื้อเพลิงที่ได้และสัดส่วนของพลังงานที่เสียไป (Mass balance)

2.3 ควรมีการศึกษาเพิ่มเติมเกี่ยวกับการใช้พัสดุงานด้านกระถางไฟฟ้า และการปลดปล่อยก๊าซเรือนกระจกของเชื้อเพลิงอัดเม็ดเพื่อนำไปสู่การพัฒนาในระดับอุตสาหกรรม

2.4 ควรมีการรวบรวมข้อมูลและประเมินเศรษฐศาสตร์เบื้องต้นในการผลิต  
เชื้อเพลิงอัดเม็ด





## บรรณานุกรม

กรมพัฒนาพลังงานทดแทนและอนุรักษ์พลังงาน กระทรวงพลังงาน. (2556). ศักยภาพ  
ชีวมวลในประเทศไทย. สืบค้น 19 เมษายน 2562, จาก

<http://biomass.dede.go.th>

กรมโรงงานอุตสาหกรรม กระทรวงอุตสาหกรรม. (2550). ตำราระบบการจัดการมลพิษจาก  
อุตสาหกรรม (ครั้งที่ 2). นนทบุรี: สำนักพิมพ์สถาบันสิ่งแวดล้อมไทย.

คู่มือแนวทางและเกณฑ์คุณสมบัติของเสียเพื่อการแบรูปเป็นแห่งเชื้อเพลิงและบล็อก  
ประสาน. (2560). สืบค้น 5 เมษายน 2560, จาก <https://books.google.co.th>

จิตราลดາ มุประสิทธิ์. (2553). องค์ประกอบและสัดส่วนของโพลีไซคลิกอะโรมาติก  
ไฮโดรคาร์บอน (PAHs) ใน PM10 จากแหล่งปลดปล่อยต่างประเภทในจังหวัด

สงขลา. สืบค้น 24 กันยายน 2560, จาก <http://kb.psu.ac.th>

เดชา วัฒนชัยยิ่งเรือง. (2555). โครงการศึกษาการผลิตแห่งเชื้อเพลิงเขี้ยวจากใบยางพารา  
(รายงานการวิจัย). พิษณุโลก: มหาวิทยาลัยแม่ฟ้า.

ธนิยา เก้าคล. (2561). การเปลี่ยน-แบรูปชีวมวลและสารอินทรีย์เพื่อเป็นพลังงาน  
หมุนเวียน. กรุงเทพฯ: หน่วยผลิตเอกสารและตำรา คณะวิศวกรรมศาสตร์  
มหาวิทยาลัยสงขลานครินทร์.

นพภาพร พานิช. (2550). ตำราระบบบำบัดมลพิษอากาศ (ครั้งที่ 2). กรุงเทพฯ: สำนักพิมพ์  
ศูนย์บริการวิชาการแห่ง茱ฬาลงกรณ์มหาวิทยาลัย.

ประพันธ์ คุชคราดา, และศศิธร สรรพอค้า. (2558). พลังงานจากชีวมวลและวัสดุเหลือใช้.  
กรุงเทพฯ: โรงพิมพ์แห่งจุฬาลงกรณ์มหาวิทยาลัย.

แผนงานวิจัย การวิจัยและพัฒนาการเพิ่มนูลค่าไม้สักตัดสางขยายระยะจากสวนป่า  
โครงการใช้ประโยชน์ต่างและน้ำสมควรไม้จากเศษไม้ ปลายไม้ของไม้สักเพื่อ<sup>2</sup>  
สร้างมูลค่าเพิ่ม. (2560). NRCT Research Information Repository. สืบค้น  
3 มีนาคม 2560, จาก <http://rir.nrct.go.th>

วรุณิ ถุงทรัพย์. (2553). โครงการศึกษาการผลิตเชื้อเพลิงเขี้ยวคัดแห่งจากลำต้นหัวโพด  
(วิทยานิพนธ์ปริญญาบัณฑิต): พิษณุโลก, มหาวิทยาลัยแม่ฟ้า.

- ศูนย์วิจัยและฝึกอบรมด้านสิ่งแวดล้อม กรมส่งเสริมคุณภาพสิ่งแวดล้อม กระทรวง  
ทรัพยากรธรรมชาติและสิ่งแวดล้อม. (2560). โครงการศึกษาสารโพลีไซคลิกอะโร  
มาติกไนโตรคาร์บอน (PAHs) ในบรรยายกาศอันเนื่องจากปัญหามอกควัน และ<sup>1</sup>  
ผลต่อสุขภาพของประชาชน (น. 1-47). สืบค้น 3 มีนาคม 2560, จาก  
<http://doi.nrct.go.th>
- สถาบันพลาสติกแห่งประเทศไทย.(2556). *Asean plastic end-user market trend.* สืบค้น  
19 เมษายน 2562, จาก [www.ftiplastic.com](http://www.ftiplastic.com)
- สถาบันวิจัยวิทยาศาสตร์และเทคโนโลยีแห่งประเทศไทย. (2558). คาร์บอนไดออกไซด์  
(carbon dioxide) ฝ่ายวิศวกรรม. สืบค้น 26 กันยายน 2560, จาก  
<http://www.tistr.or.th>
- อวพรวน ปานขาว, และสันติ สุขสะอาด. (2557). การผลิตและการตลาดของผลิตภัณฑ์ไม้สัก  
ในตำบลน้ำเข้า อำเภอสูงเม่น จังหวัดแพร่. ราชสารวัณศาสดร, 1, 28-35.
- อริสา กาญจนาระจาง, และการดี ช่วยบำรุง. (2560). การตรวจวัดก๊าซคาร์บอนไดออกไซด์  
เพื่อตรวจสอบประสิทธิภาพการระบายอากาศภายในห้องเรียน. ราชสาร  
วิทยาศาสตร์และเทคโนโลยี, ฉบับที่ 6, 960-974.
- Aller, D., Bakshi, S., & Laird, B.D. (2017). Modified method for proximate analysis  
of biochars. *Journal of Analytical and Applied Pyrolysis*, 124, 335-342.
- Ambient Air Pollution by Polycyclic Aromatic Hydrocarbons (PAH). (2001).  
*European Union - European Commission.* Retrieved September 24, 2017,  
from [https://europa.eu/european-union/index\\_en](https://europa.eu/european-union/index_en)
- Ansah, E., Wang, L., & Shahbazi, A. (2016). Thermogravimetric and calorimetric  
characteristics during co-pyrolysis of municipal solid waste components.  
*Waste Management*, 56, 196–206.
- Araújo, S., Boas, M.A.V., Neiva, D.M., Carneiro, A.C., Vital, B., Breguez, M., &  
Pereira, H. (2016). Effect of a mild torrefaction for production of eucalypt  
wood briquettes under different compression pressures. *Biomass and  
Bioenergy*, 90, 181-186.
- Archer, S.A., & Wilckens, R.S. (2018). Systematic analysis of biomass derived fuels  
for fuel cells. *International of hydrogen energy*, 43, 23178-23192.

- Arena,U., & Gregorio, F.D. (2016). Fluidized bed gasification of industrial solid recovered fuels. *Waste Management*, 50, 86-92.
- Arnavat, M.P., Shang, L., Sárossy, Z., Ahrenfeldt, J., & Henriksen, U.B. (2015). From a single pellet press to a bench scale pellet mill - Pelletizing six different biomass feedstocks. *Fuel Processing Technology*, 142, 27-33.
- Arteaga-Pérez, L.E., Grandón, H., Flores, M., Segura, C., & Kelley, S.S. (2017). Steam torrefaction of Eucalyptus globulus for producing black pellets: A pilot-scale experience. *Bioresource Technology*, 238, 194-204.
- Azócar, L., Hermosilla, N., Gayb, A., Rochac, S., Díazd, J., & Jarae, P. (2019). Brown pellet production using wheat straw from southern cities in Chile. *Fuel*, 237, 823-832.
- Balogun, A.O., Lasode, O.A., & McDonald, A.G. (2014). Devolatilisation kinetics and pyrolytic analyses of Tectona grandis (teak). *Bio Resource Technology*, 156, 57-62.
- Barneto, A.G., Hernández, R.B., & Berenguer, J.M. (2011). Thermogravimetric characterization of eucalyptus wood. *Peer-reviewed Article*, 72, 53-56.
- Białowiec, A., Pulka, J., Stepień', P., Manczarski, P., & Golaszewski, J. (2017). The RDF/SRF torrefaction: An effect of temperature on characterization of the product – Carbonized Refuse Derived Fuel. *Waste Management*, 70, 91-100.
- Bonifazi, G., Serranti, S., Potenza, F., Luciani, V., & Maio, D.F. (2015). Standardization of Solid Recovered Fuels through Gravity Separation and Chemical Based Imaging Techniques. *Energy Procedia*, 82, 328-334.
- Casado, R.R., Rivera, J.A., García, E.B., Cuadrado, R.E., Llorente, M.F., Sevillano, R.B., & Delgado, A. P. (2016). Classification and characterization of SRF produced from different flows of processed MSW in the Navarra region and its co-combustion performance with olive tree pruning residues. *Waste Management*, 47, 206-216.

- Chen, D., Gao, A., Cen, K., Zhang, J., Cao, X., & Ma, Z. (2017). Investigation of biomass torrefaction based on three major components:Hemicellulose, cellulose, and lignin. *Energy Conversion and Management*, 169, 228-237.
- Chen, G., Liu, C., Ma, W., Zhang, X., Li, Y., Yan, B., & Zhou, W. (2014). Co-pyrolysis of corn cob and waste cooking oil in a fixed bed. *Bioresource Technology*, 166, 500-507.
- Chen, M.H., Lai, C.C., Chen, H.L., Lin, C.H., Hsiao, H.T., Liu, L.C., & Chen, C.M. (2018). Preparation of long-chain branched polyethylene terephthalates (PETs), and crystallization behaviors, thermal characteristics, and hydrolysis resistance of their biaxially stretching films. *Physics and chemistry of solids*, 129, 354-367.
- Conesa, J.A., Rey, L., Egea, S., & Rey M.D. (2011). Pollutant Formation and Emissions from Cement Kiln Stack Using a Solid Recovered Fuel from Municipal Solid Waste. *Environmental Science and Technology*, 45(13), 5878-5884.
- Contrerasa, M.L., Ganeshb, N., Rodillaa, I., & Bahillo, A. (2018). Assess of biomass co-firing under oxy-fuel conditions on Hg speciation and ash deposit formation. *Fuel*, 215, 395-405.
- Cui, H., & Turn, S. (2017). Fuel properties and steam reactivity of solid waste streams from contingency bases. *Waste Management*, 78, 16-30.
- Dehghani, M., Fazlizadeh, M., Sorooshian, A., Tabatabae, H.R., Miri, M., Baghani, A.N., Delikhoon, M., Mahvi, A.H., & Rashidi, M. (2018). Characteristics and health effects of BTEX in a hot spot for urban pollution. *Ecotoxicology and Environmental Safety*, 155, 133-143.
- Diaz-Silvarrey, L.S., McMahon, A., & Phan, A.N. (2018). Benzoic acid recovery via waste poly (ethylene terephthalate) (PET) catalytic pyrolysis using sulphated zirconia catalyst. *Journal of Analytical and Applied Pyrolysis*, 134, 621-631.

Domazetovska, S., Strezov, V., Filkoski, R.V., & Kan, T. (2017). Assessment of thermal processing behaviour of corn cob, vine rod and sunflower. *18th Symposium on Thermal Science and Engineering of Serbia: proceedings*, 262-271.

*EN 15400:2011, Solid recovered fuels - determination of calorific value, European Committee for Standardization.* (2011). Retrieved August 23, 2017, from <https://www.en.aenor.es>

*EN 15402:2011, Solid recovered fuels - determination of the content of volatile matter, European Committee for Standardization.* (2011). Retrieved August 23, 2017, from <https://www.en.aenor.es>

*EN 15403:2011, Solid recovered fuels - determination of ash content, European Committee for Standardization.* (2011). Retrieved August 23, 2017, from <https://www.en.aenor.es>

*EN 15407:2011, Solid recovered fuels — methods for the determination of carbon (C), hydrogen (H) and nitrogen (N) content, European Committee for Standardization.* (2011). Retrieved August 23, 2017, from <https://www.en.aenor.es>

*EN 15408:2011, Solid recovered fuels - methods for the determination of sulphur (S), chlorine (Cl), fluorine (F) and bromine (Br) content, European Committee for Standardization.* (2011). Retrieved August 23, 2017, from <https://www.en.aenor.es>

*EN 15414-3:2011 Solid recovered fuels - determination of moisture content using the oven dry method - Part 3: Moisture in general analysis sample, European Committee for Standardization.* (2011). Retrieved August 23, 2017, from <https://www.en.aenor.es>

European Committee for Standardization. (2017). *Standards.cen.eu*. Retrieved January 2, 2017, from <http://standards.cen.eu>

- Fyffe, J.R., Breckel, A.C., Townsend, A.K., & Webber, M.E. (2012). *Residue-Derived Solid Recovered Fuel for Use in Cement Kilns*. Plastics.americanchemistry.com. Retrieved August 8, 2017, from <https://plastics.americanchemistry.com>
- Garcés, D., Díaz, E., Sastre, H., Ordóñez, S., & González-LaFuente, J.M. (2016). Evaluation of the potential of different high calorific waste fractions for the preparation of solid recovered fuels. *Waste Management*, 47, 164-173.
- Gisi, S.D., Chiarelli, A., Tagliente, L., & Notarnicola, M. (2017). Energy, environmental and operation aspects of a SRF-fired fluidized bed waste-to-energy plant. *Waste Management*, 73, 271-286.
- Goffe, J., & Ferrasse, J.H. (2018). Stoichiometry impact on the optimum efficiency of biomass. *Energy*, 170, 438-458.
- Gug, J., Cacciola, D., & Sobkowicz, M.J. (2015). Processing and properties of a solid energy fuel from municipal solid waste (MSW) and recycled plastics. *Waste Management*, 35, 283-292.
- Han, Y., Hoekman, S.K., Cui, Z., Jena, U., & Dasc, P. (2019). Hydrothermal liquefaction of marine microalgae biomass using co-solvents. *Algal Research*, 38, 101421.
- Hosseiniwand, H., Sokhansanj, S., & Lim, C.J. (2018). Co-pelletization of microalgae Chlorella vulgaris and pine sawdust to produce solid fuels. *Fuel Processing Technology*, 177, 129-139.
- Hu, G., Liu, G., Wu, D., & Fu, B. (2018). Geochemical behavior of hazardous volatile elements in coals with different geological origin during combustion. *Fuel*, 233, 361-376.
- Huh, S.Y., Lee, H., Shin, J., Lee, D., & Jang, J. (2018). Inter-fuel substitution path analysis of the Korea cement industry. *Renewable and Sustainable Energy Reviews*, 82, 4091-4099.

Ibeto, C.N., Enoch, P., & Alum, O.L. (2017). Impact of torrefaction on fuel emission and properties of lignite and their blends with biowastes. *J. Chem. Soc. Nigeria*, 42, 15-21.

Jiang, N., Yin, S., Guo ,Y., Li, J., Kang, P., Zhang, R., & Tang, X. (2017). Characteristics of mass concentration, chemical composition, source apportionment of PM<sub>2.5</sub> and PM<sub>10</sub> and health risk assessment in the emerging megacity in China. *Atmospheric Pollution Research*, 9, 309-321.

*Joint group of Experts on the Scientific Aspects of Marine Environmental Protection*. (2017). Retrieved September 5, 2017, from <http://www.gesamp.org>

Ke, C., Ma, X., Tang, Y., Tang, F., & Zheng, W. (2019). Effects of natural and modified calcium-based sorbents on heavy metals of food waste under oxy-fuel combustion. *Bioresource Technology*, 271, 251-257.

Khaniabadi, Y.O., Polosa, R., Chuturkova, R.Z., Daryanoosh, M., Goudarzi, G., Borgini, A., Tittarelli, A., Basiri, H., Armin, H., Nourmoradi, H., Babaei, A.A., & Naserian, P. (2016). Human health risk assessment due to ambient PM<sub>10</sub> and SO<sub>2</sub> by an air quality modeling technique. *Process Safety and Environmental Protection*, 111, 346-354.

Lasek, J.A., Kopczynski, M., Janusz, M., Iluk, A., & Zuwalla, J. (2017). Combustion properties of torrefied biomass obtained from flue gas-enhanced reactor. *Energy*, 119, 362-368.

Lee, H.W., Kim, Y.M., Jae, J., Jeon, J.K., Jung, S.C., Kim, S.C., & Park, Y.K. (2016). Production of aromatic hydrocarbons via catalytic co-pyrolysis of torrefied cellulose and polypropylene. *Energy Conversion and Management*, 129, 81-88.

- Li, P.H., Yu, J., Bi, C.L., Yuec, J.J., Li, Q.Q., Wang, L., Liu J., Xiao, Z., Guo, L., & Huang, B.J. (2019). Health risk assessment for highway toll station workers exposed to PM<sub>2.5</sub>-bound heavy metals. *Atmospheric Pollution Research*, 1309-1042.
- Lin, Y.P., Wang, W.H., Pan, S.Y., Ho, C.C., Hou, C.J., & Chiang, P.C. (2016). Environmental impacts and benefits of organic Rankine cycle power generation technology and wood pellet fuel exemplified by electric arc furnace steel industry. *Applied Energy*, 183, 369-379.
- Liu, F.F., Liu, G.Z., Zhu, Z.L., Wang, S.C., & Zhao, F.F. (2018). Interactions between microplastics and phthalate esters as affected by microplastics characteristics and solution chemistry. *Chemosphere*, 214, 688-694.
- Liu, X., Chen, M., & Wei, Y. (2015). Combustion behavior of corncob/bituminous coal and hardwood/bituminous coal. *Renewable Energy*, 81, 355-365.
- Lonardo, M.C.D., Franzese, M., Costa, G., Gavasci, R., & Lombardi, F. (2016). The application of SRF vs. RDF classification and specifications to the material flows of two mechanical-biological treatment plants of Rome: Comparison and implications. *Waste Management*, 47, 195-205.
- Mabahwi, N.A.B., Leh, O.L.H., & Omar, D. (2014). Human Health and Wellbeing: Human health effect of air pollution. *Procedia Social and Behavioral Sciences*, 153, 221-229.
- Manouchehrinejad, M., & Mani, S. (2018). Torrefaction after pelletization (TAP): Analysis of torrefied pellet quality and co-products. *Biomass and Bioenergy*, 118, 93-104.
- McKechnie, J., Saville, B., & MacLean, H.L. (2016). Steam-treated wood pellets: Environmental and financial implications relative to fossil fuels and conventional pellets for electricity generation. *Applied Energy*, 180, 637-649.

- Montané, D., Abelló, S., Farriol, X., & Berrueco, C. (2013). Volatilization characteristics of solid recovered fuels (SRFs). *Fuel Processing Technology*, 113, 90-96.
- Myläri, F., Karjalainen, P., Taipale, R., Aalto, P., Häyrynen, A., Rautiainen, J., Pirjola, L., Hillamo, R., Keskinen, J., & Rönkköa, T. (2016). Physical and chemical characteristics of flue-gas particles in a large pulverized fuel-fired power plant boiler during co-combustion of coal and wood pellets. *Combustion and Flame*, 176, 544-566.
- Nguyen, Q.N., Cloutier, A., Achim, A., & Stevanovic, T. (2014). Effect of process parameters and raw material characteristics on physical and mechanical properties of wood pellets made from sugar maple particles. *Biomass and Bioenergy*, 80, 388-349.
- Nicodème, T., Berchem, T., Jacquet, N., & Richel, A. (2018). Thermochemical conversion of sugar industry by-products to biofuels. *Renewable and Sustainable Energy Reviews*, 88, 151-159.
- Nithikul, J., Karthikeyan, O.P., & Visvanathan, C. (2010). Reject management from a Mechanical Biological Treatment plant in Bangkok, Thailand. *Resources, Conservation and Recycling*, 55, 417-422.
- Onsree, T., Tippayawong, N., Williams, T., McCullough, K., Barrow, E., Pogaku, R., & Lauterbach, J. (2019). Torrefaction of pelletized corn residues with wet flue gas. *Bioresource Technology*, 285, 121330.
- Pahla, G., Ntuli, F., & Muzenda, E. (2017). Torrefaction of landfill food waste for possible application in biomass co-firing. *Waste Management*, 71, 512-520.
- Passamani, G., Ragazzi, M., & Torretta, V. (2016). Potential SRF generation from a closed landfill in northern Italy. *Waste Management*, 47, 157-163.

- Pegadoa, T.S.S., Schmida, K., Winemillerb, K.O., Chelazzic, D., Cincinellic, A.C., Deic, L., & Giarrizzoa, T. (2018). First evidence of microplastic ingestion by fishes from the Amazon Riverestuary. *Marine Pollution Bulletin*, 133, 814-821.
- Plastic Waste Management Institute. (2009). *An Introduction to Plastic Recycling*. Pwmi.or.jp. Retrieved May 10, 2017, from <http://www.pwmi.or.jp>.
- Porshnov, D., Ozols, V., Bertina, L.A., Burlakovs, J., & Klavins, M. (2018). The 15th International Symposium on District Heating and Cooling Assessing the feasibility of using the heat. *Energy Procedia*, 147, 48-53.
- Poudel, J., Ohm, T.I., & Oh, S.C. (2014). A study on torrefaction of food waste. *Fuel*, 140, 275-281.
- Pradhan, P., Arora, A., & Mahajani, S.M. (2017). Pilot scale evaluation of fuel pellets production from garden waste biomass. *Energy for Sustainable Development*, 43, 1-14.
- Punturat, R., & Samaksaman, U. (2017). Characteristics of pellets produced from residues of polyethylene terephthalate plastic mixed with teak sawdust. *Research and Innovation-base University*: proceedings, 72-73.
- Recari, J., Berueco, C., Puy, N., Alier, S., Bartrolí, J., & Farriol, X. (2017). Torrefaction of a solid recovered fuel (SRF) to improve the fuel properties for gasification processes. *Applied Energy*, 203, 177-188.
- Ruangtrakul, S., Prueaksasit, T., & Morknoy, D. (2013). Health Risk Assessment of Tollway Station Workers Exposed to BTEX via Inhalation in Bangkok Faculty of Science. (1st ed). Chulalongkorn University: *Journal of Environmental Management*, 9, 1-22.
- Sandro, N., Agis, P., Gojmir, R., Vlasta, Z., & Müslüm, A. (2018). Using pellet fuels for residential heating: A field study on its efficiency and the users' satisfaction. *Energy and Buildings*, 184, 193-204.

Standards-Air Quality-Environment-European Commission. (2017). *Ec.europa.eu*.

Retrieved September 25, 2017, from

<http://ec.europa.eu/environment/air/quality/standards.htm>

Sung, J.H., Back, S.K., Jeong, B.M., Kim, J.H., Choi, H.S., Jang, H.N., & Seo, Y.C. (2018). Oxy-fuel co-combustion of sewage sludge and wood pellets with flue gas recirculation in a circulating fluidized bed. *Fuel Processing Technology*, 172, 79-85.

Surup, G., Vehus, T., Eidem, P.A., Trubetskaya, A., & Nielsen, H.K. (2018). Characterization of renewable reductants and charcoal-based pellets for the use in ferroalloy industries. *Energy*, 167, 337-345.

Tan, X., Li, B., Lu, J., Li, S., Baiyun, R., Lv, Y., Lu, Q., & Zhang, Z. (2018). Dietary luteolin protects against HgCl<sub>2</sub>-induced renal injury via activation of Nrf2-mediated signaling in rat. *Journal of Inorganic Biochemistry*, 179, 24-31.

Tembe, E.T., Otache, P.O., & Ekhuemelo, D.O. (2014). Density, Shatter index, and Combustion properties of briquettes produced from groundnut shells, rice husks and saw dust of Daniellia oliveri. *J.Appl.Biosci*, 82, 7372-7378.

Unpinit, T., Poblarp, T., Sailoon, N., Wongwicha, P., & Thabuot, M. (2015). Fuel Properties of Bio-Pellets Produced from Selected Materials under Various Compacting Pressure. *Energy Procedia*, 79, 657-662.

USDA Food Safety and Inspection Service. (2017). *Fsis.usda.gov*. Retrieved September 5, 2017, from <https://www.fsis.usda.gov>

Vonk, G., Piriou, B., Santos, P.F.D., Wolbert, D., & Vaïtilingom, G. (2018). Comparative analysis of wood and solid recovered fuels gasification in a downdraft fixed bed reactor. *Waste Management*, 85, 106-120.

Wagland, S.T., Kilgallon, P., Coveney, R., Garg, A., Smith, R., Longhurst, P.J., Pollard S.J.T., Simms, N., & . (2011). Comparison of coal/solid recovered fuel (SRF) with coal/refuse derived fuel (RDF) in a fluidised bed reactor. *Waste Management*, 31, 1176-1183.

- Wang, Y., Hu, S., Li, W., Gu, J., Yuan, H., Ling, X., & Chen, Y. (2018). Chlorine migration mechanisms during torrefaction of fermentation residue from food waste. *Bioresource Technology*, 271, 9-15.
- WHO (2006). *WHO global air quality guidelines for particulate matter, ozone, nitrogen dioxide and sulfur dioxide-Global update 2005: Summary of risk assessment*. Geneva, World Health Organization .Retrieved February 10, 2019, from  
[http://whqlibdoc.who.int/hq/2006/WHO\\_SDE\\_PHE\\_OEH\\_06.02\\_eng.pdf](http://whqlibdoc.who.int/hq/2006/WHO_SDE_PHE_OEH_06.02_eng.pdf)
- Xiao, Z., Yuan, X., Jiang, L., Chen, X., Li, H., Zeng, G., Leng, L., Wang, H., & Huang, H. (2015). Energy recovery and secondary pollutant emission from the combustion of co-pelletized fuel from municipal sewage sludge and wood sawdust. *Energy*, 91, 441-450.
- Xiao, Z., Yuan, X., Li, H., Jiang, L., Leng, L., Chen, X., Zeng, G., Li, F., & Cao, L. (2015). Chemical speciation, mobility and phyto-accessibility of heavy metals in fly ash and slag from combustion of pelletized municipal sewage sludge. *Science of the Total Environment*, 536 ,774–783.
- Yao, X., & Xu, K. (2016). Comparative study of characterization and utilization of corncob ashes from gasification process and combustion process. *Construction and Building Materials*, 119, 215-222.
- Yue, Y., Singh, H., Singh, B., & Mani, S. (2017). Torrefaction of sorghum biomass to improve fuel properties. *Bioresource Technology*, 232, 372-379.
- Zhang, C., Ho, S.H., Chen, W.H., Xie, Y., Liu, Z., & Chang, J.S. (2018). Torrefaction performance and energy usage of biomass wastes and their correlations with torrefaction severity index. *Applied Energy*, 220, 598-604.
- Zhang, S., Zhua, S., Zhang, H., Chenb, T., & Xiongb, Y. (2018). Catalytic fast pyrolysis of rice husk: Effect of coupling leaching with torrefaction pretreatment. *Journal of Analytical and Applied Pyrolysis*, 133, 91-96.

Zhao, L., Giannis, A., Lam, W.Y., Lin, S.X., Yin, K., Yuan, G.A., & Wang, J.Y. (2016).

Characterization of Singapore RDF resources and analysis of their heating value. *Sustainable Environment Research*, 26, 51-54.





**ภาคผนวก ก ผลการทดลองและการคำนวณคุณสมบัติทางกายภาพ (Proximate analysis)  
ของวัตถุดิบตั้งต้นและเชือเพลิงอัดเม็ดทึบก้อนและหลังการหอริแฟคชัน**

**ตาราง 18 ผลการทดลองและการคำนวณค่าความชื้น (Moisture content) เชือเพลิงอัดเม็ด  
ผลิตจากตะกอนพลาสติกชนิด PET และขี้เลือยไม้สักหลังการหอริแฟคชัน  
หรือ ตัวอย่างที่ 18**

ก่อนอบ		หลังอบ	
น้ำหนักฟอร์ม	น้ำหนักตัวอย่างที่ 18	น้ำหนักฟอร์ม+น้ำหนัก ตัวอย่างที่ 18	น้ำหนักตัวอย่างที่ 18
0.3701	5.1982	5.558	5.1879
0.3507	5.1116	5.4541	5.1034
0.3711	5.1554	5.5182	5.1471
ค่าเฉลี่ย 0.364	5.1551	5.5101	5.1461
ค่าความชื้น = $0.17 \pm 0.02\%$			

ค่าความชื้น (%)

$$= \frac{5.1551 - 5.1461}{5.1551} \times 100$$

$$= 0.1733\%$$

**ตาราง 19 ผลการทดลองและการคำนวณเก้า (Ash content) เชือเพลิงอัดเม็ดผลิตจาก  
ตะกอนพลาสติกชนิด PET และขี้เลือยไม้สักหลังการหอริแฟคชัน หรือ  
ตัวอย่างที่ 18**

ก่อนเผา		หลังเผา	
น้ำหนักครุภาระ	น้ำหนักตัวอย่างที่ 18	น้ำหนักครุภาระ+น้ำหนัก ตัวอย่างที่ 18	น้ำหนักตัวอย่างที่ 18
37.0558	0.5232	37.0645	0.0087
37.5439	0.5358	37.5538	0.0099
ค่าเฉลี่ย 37.2999	0.5295	37.3092	0.0093
เก้า = $1.76 \pm 0.13\%$			

$$\text{เก้า (\%)} = \frac{0.0093}{0.5295} \times 100$$

$$= 1.7564 \%$$

**ตาราง 20 ผลการทดลองและการคำนวณปริมาณสารระเหย (Volatile matter) เชือเพลิง  
อัดเม็ดผลิตจากตะกอนพลาสติกชนิด PET และขี้เลือยไม้สักหลัง  
การทดสอบครั้งที่ 18**

ก่อนเผา		หลังเผา	
น้ำหนักครุภาระเบิล	น้ำหนักตัวอย่างที่ 18	น้ำหนักครุภาระเบิล+น้ำหนักตัวอย่างที่ 18	น้ำหนักตัวอย่างที่ 18
37.544	0.5228	37.5492	0.0052
39.4225	0.5051	39.4336	0.0111
ค่าเฉลี่ย 38.4833	0.5140	38.4914	0.0082
ปริมาณสารระเหย = $98.07 \pm 0.85 \%$			

$$\text{ปริมาณสารระเหย (\%)} = \left( \frac{0.5140 - 0.0082}{0.5140} \times 100 \right) - 0.1733 \\ = 98.2409 \%$$

ทั้งนี้เมื่อได้คำนวณหาปริมาณคาร์บอนคงตัว (Fixed carbon) มีค่าติดลบจึงนำมารวมกับปริมาณสารระเหยเพื่อให้ได้ค่ารวมทั้งหมดเป็น 100 เปอร์เซ็นต์ดังนั้นค่าปริมาณสารระเหยเท่ากับ 98.0703 %

$$98.2409 - 0.1706 = 98.0703 \%$$

ปริมาณคาร์บอนคงตัวมีค่าติดลบเนื่องจากในเชือเพลิงอัดเม็ดมีปริมาณของตะกอนพลาสติก PET มากกว่าชิ่วนมวลด เนื่องจากตะกอนพลาสติก PET ไม่สามารถวิเคราะห์ค่าคาร์บอนคงตัวได้ซึ่งสอดคล้องในงานวิจัยของ Zhao et al. (2016) ที่ไม่มีค่าการวิเคราะห์ปริมาณคาร์บอนคงตัวของพลาสติกชนิด PET ดังนั้นปริมาณคาร์บอนคงตัวในงานวิจัยนี้จึงได้นำไปรวมกับปริมาณสารระเหยเพื่อให้ได้ค่ารวมทั้งหมดเป็น 100 เปอร์เซ็นต์

ภาคผนวก ๙ ตารางการคำนวณค่า 13PAHs และ BTEX ในเชื้อเพลิงขุดเม็ดทั่งก่อนและหลังการกรองผ่านเครื่อง

ตาราง 21 การคำนวณปริมาณมลพิษออกฤทธิ์ต่อเชื้อเพลิงขุด 13PAHs จากเชื้อเพลิงขุด PETTS ก่อนการกรองผ่านเครื่อง

ตรวจสอบผลสารต้องห้าม PET : ชีสเลือยไม้สักก่อนกรองกริบเชื้อ								
13PAHs	y=mx+b	Area	X (ng/μL)	ppmv	MW (g/mol)	mg/m <sup>3</sup> (at ambient)	mg/Nm <sup>3</sup> (at STP)	g/Nm <sup>3</sup>
Acenaphthylene	y = 4903.4x + 277830	735442.8	1443.172	144.317	152.2	897.83	822.55	0.8225
Fluorene	y = 5627.4x + 273607	11168968	1936.127	193.613	166.22	1315.46	1205.16	1.2052
Phenanthrene	y=6957.3x + 236480	37432276.5	5346.298	534.630	178.23	3894.90	3568.31	3.5683
Anthracene	y = 8032.6x + 184687	3864091.5	458.048	45.805	178.23	333.70	305.72	0.3057
Pyrene	y = 10891x + 197415	697902	45.954	4.595	202.25	37.99	34.81	0.0348
Benzo(a)anthracene	y = 12960x + 54429	14906177	1145.968	114.597	228.29	1069.35	979.69	0.9797
Chrysene	y = 14630x + 92955	2932469	194.086	19.409	228.29	181.11	165.93	0.1659
Benzo(b)fluoranthene	y = 19100x + 124930	11348926.5	587.644	58.764	252.31	606.05	555.24	0.5552
Benzo(k) fluoranthene	y = 20930x + 89661	6163099.5	290.179	29.018	252.32	299.28	274.19	0.2742
Benzo(a)pyrene	y = 22771x + 38230	9161675.5	400.661	40.066	252.31	413.21	378.56	0.3786
Dibenz(a,h)anthracene	y = 28412x - 11447	14773090	304.917	30.492	278.35	346.92	317.83	0.3178
Benzo(g,h,i)perylene	y = 9891.6x + 237385	N.D.	N.D.	276.33	N.D.	N.D.	N.D.	N.D.
Indeno(1,2,3-cd)pyrene	y = 23150x + 122338	5643455.5	238.493	23.849	276.33	269.38	246.79	0.2468

หมายเหตุ: N.D.(Not Detected)=ตรวจไม่พบ

ตาราง 22 การคำนวณปริมาณและพิษอุบัติเหตุ PAHs จากเชื้อเพลิงถ่าน PET/ES ก่อนการกรองแก๊สชีน

13PAHs	y=mx+b	Area	(ng/μL)	ppmV	MW (g/mol)	mg/m <sup>3</sup> (at ambient)	mg/Nm <sup>3</sup> (at STP)	g/Nm <sup>3</sup>
Acenaphthylene	y = 4903.4x + 277830	494713	44.231	4.423	152.2	27.52	25.21	0.0252
Fluorene	y = 5627.4x + 273607	1307616	183.745	18.375	166.22	124.84	114.37	0.1144
Phethanthrene	y = 6957.3x + 236480	9264233	1297.594	129.759	178.23	945.33	866.06	0.8661
Anthracene	y = 8032.8x + 184687	2271969	259.845	25.984	178.23	189.30	173.43	0.1734
Pyrene	y = 10891x + 197415	1690223	137.068	13.707	202.25	113.31	103.81	0.1038
Benz(a)anthracene	y = 12960x + 54429	2991635	226.636	22.664	226.29	211.48	193.75	0.1938
Chrysene	y = 14630x + 92955	4079689	272.504	27.250	228.29	254.29	232.96	0.233
Benz(b)fluoranthene	y = 19100x + 124930	4605021	234.560	23.456	252.31	241.91	221.62	0.2216
Benz(k) fluoranthene	y = 20930x + 896661	6199352	291.911	29.191	252.32	301.07	275.82	0.2758
Benz(a)pyrene	y = 22771x + 38230	3293768	142.969	14.297	252.31	147.45	135.08	0.1351
Dibenz(a,h)anthracene	y = 48412x + 11447	N.D.	N.D.	N.D.	278.35	N.D.	N.D.	N.D.
Benzo(g,h,i)perylene	y = 9891.6x + 237385	N.D.	N.D.	N.D.	276.33	N.D.	N.D.	N.D.
Indeno(1,2,3-cd)pyrene	y = 23150x + 122338	N.D.	N.D.	N.D.	276.33	N.D.	N.D.	N.D.

หมายเหตุ: N.D.(Not Detected)=ตรวจไม่พบ

ตาราง 23 การคำนวณปริมาณแหล่งพิษทางการแพทย์ 13PAHs จากเชื้อเพลิงกลด PET/CC ก่อนการกรองริบบิ้งค์

ตัวอย่างเชิงพาณิชย์ PET : ชั้นห้ามนำเข้าสู่ประเทศไทย		X (ng/μL)	ppm	MW (g/mol)	mg/m <sup>3</sup> (at ambient)	mg/Nm <sup>3</sup> (at STP)	g/Nm <sup>3</sup>
13PAHs	y=mx+b						
Acenaphthylene	y = 4903.4x + 277830	5683316	1102.395	110.240	152.2	685.83	628.32
Fluorene	y = 5627.4x + 273607	7183930	1227.978	122.798	166.22	834.33	764.37
Phenanthrene	y = 6957.3x + 236480	23619638	3360.982	336.098	178.23	2448.55	2243.24
Anthracene	y = 8032.8x + 184687	3388435	398.833	39.883	178.23	290.56	266.20
Pyrene	y = 10891x + 197415	14307918	1285.611	129.561	202.25	1071.09	981.28
Benzo(a)anthracene	y = 12960x + 54429	81920668	627.904	62.790	228.29	585.93	536.80
Chrysene	y = 14630x + 92955	972034	60.087	6.009	228.29	56.07	51.37
Benzo(b)fluoranthene	y = 19100x + 124930	6103335	313.005	31.301	252.31	322.81	295.74
Benzo(k) fluoranthene	y = 20930x + 89661	2954899	136.896	13.690	252.32	141.19	129.35
Benzo(a)pyrene	y = 22771x + 38230	4226955	183.950	18.395	252.31	189.71	173.81
Dibenz(a,h)anthracene	y = 48412x + 11447	4881236	100.591	10.059	278.35	114.45	104.85
Benzo(g,h,i)perylene	y = 9891.6x + 237385	1805019	158.481	15.848	276.33	179.01	164.00
Indeno(1,2,3-cd)pyrene	y = 23150x + 122338	2496845	102.570	10.257	276.33	115.85	106.14

ตาราง 24 การคำนวณโดยประมาณค่าของสารต้องห้าม PAHs จากเครื่องผลิตเม็ด PET/TS หลังการทดสอบไฟไหม้

13PAHs	y=mx+b	Area	X (ng/μL)	ppmv	MW (g/mol)	mg/m <sup>3</sup> (at ambient)	mg/Nm <sup>3</sup> (at STP)	g/Nm <sup>3</sup>
Acenaphthylene	y = 4903.4x + 277630	N.D.	N.D.	152.2	N.D.	N.D.	N.D.	N.D.
Fluorene	y = 5627.4x + 273607	N.D.	N.D.	166.22	N.D.	N.D.	N.D.	N.D.
Phenanthrene	y = 6957.3x + 236480	N.D.	N.D.	178.23	N.D.	N.D.	N.D.	N.D.
Anthracene	y = 8032.8x + 184687	34895.5	-18.647	-1.865	178.23	-13.59	-12.45	-0.012
Pyrene	y = 10891x + 197415	20615.5	-16.234	-1.623	202.26	-13.42	-12.30	-0.012
Benzo(a)anthracene	y = 12960x + 54429	N.D.	N.D.	228.28	N.D.	N.D.	N.D.	N.D.
Chrysene	y = 14630x + 92955	572683.5	32.791	3.279	228.29	30.60	28.03	0.028
Benzo(b)fluoranthene	y = 19100x + 124930	936248	42.477	4.248	252.31	43.81	40.13	0.0401
Benzo(k) fluoranthene	y = 20930x + 89661	N.D.	N.D.	252.32	N.D.	N.D.	N.D.	N.D.
Benzo(a)pyrene	y = 22771x + 36230	752376	31.362	3.136	252.31	32.34	29.63	0.0296
Dibenz(a,h)anthracene	y = 48412x - 11447	N.D.	N.D.	N.D.	278.35	N.D.	N.D.	N.D.
Benzo(g,h,i)perylene	y = 9891.6x + 237385	N.D.	N.D.	N.D.	276.33	N.D.	N.D.	N.D.
Indeno(1,2,3-cd)pyrene	y = 23150x + 122338	N.D.	N.D.	N.D.	276.33	N.D.	N.D.	N.D.

หมายเหตุ: N.D.(Not Detected)=ตรวจไม่พบ

ตาราง 25 การคำนวณปริมาณเพิ่มขึ้นของสารชนิด 13PAHs จากเชื้อเพลิงการเผาไหม้ PET/ES หลังการเผาไหม้ครั้งที่ 2

ชนิดของสารต้องประสงค์ 13PAHs	y=mx+b	Area (ng/μL)	X (ng/μL)	ppmv	MW (g/mol)	mg/m <sup>3</sup>		mg/Nm <sup>3</sup> (at STP)	g/Nm <sup>3</sup>
						(at ambient)	(N.D.)		
Acenaphthylene	y = 4903.4x + 277630	N.D.	N.D.	152.2	152.2	N.D.	N.D.	N.D.	N.D.
Fluorene	y = 5627.4 x + 273607	N.D.	N.D.	166.22	166.22	N.D.	N.D.	N.D.	N.D.
Phenanthrene	y = 6957.3 x + 236480	94098	-20.465	-2.047	178.23	-14.91	-13.66	-0.014	-0.014
Anthracene	y = 8032.8 x + 184687	33336	-16.842	-1.884	178.23	-13.73	-12.58	-0.013	-0.013
Pyrene	y = 10891x + 197415	9166.5	-17.285	-1.728	202.25	-14.29	-13.09	-0.013	-0.013
Benzo(a)anthracene	y = 12960 x + 54429	285550.5	17.833	1.783	228.29	16.64	15.25	0.0152	0.0152
Chrysene	y = 14630 x + 92955	N.D.	N.D.	228.29	228.29	N.D.	N.D.	N.D.	N.D.
Benzo(b)fluoranthene	y = 19100 x + 124930	N.D.	N.D.	252.31	252.31	N.D.	N.D.	N.D.	N.D.
Benzo(k) fluoranthene	y = 20930 x + 89661	1217322	53.878	5.388	252.32	55.57	50.91	0.0509	0.0509
Benzo(a)pyrene	y = 22771 x + 38230	N.D.	N.D.	252.31	252.31	N.D.	N.D.	N.D.	N.D.
Dibenz(a,h)anthracene	y = 48412 x - 11447	N.D.	N.D.	278.35	278.35	N.D.	N.D.	N.D.	N.D.
Benzo(g,h,i)perylene	y = 9891.6 x + 237385	N.D.	N.D.	276.33	276.33	N.D.	N.D.	N.D.	N.D.
Indeno(1,2,3-cd)pyrene	y = 23150 x + 122338	N.D.	N.D.	276.33	276.33	N.D.	N.D.	N.D.	N.D.

หมายเหตุ: N.D.(Not Detected)=ตรวจไม่พบ

ตาราง 26 การคำนวณปริมาณและพื้นที่ของสาร PAHs จากชีวเคมีอัตโนมัติ PET/CC หลังการถูกเผาไหม้

คะแนนพลาสติกนิต PET : รังสีวัตถุทางเคมีและเชื้อเพลิง		ค่าคงที่ของสาร PAHs		ค่าคงที่ของสาร PAHs		ค่าคงที่ของสาร PAHs		ค่าคงที่ของสาร PAHs	
13PAHs	y=mx+b	Area	X (ng/μL)	ppm	MW (g/mol)	mg/m <sup>3</sup> (at ambient)	mg/m <sup>3</sup> (at STP)	mg/Nm <sup>3</sup>	g/Nm <sup>3</sup>
Acenaphthylene	y = 4903.4x + 277830	551237.5	55.759	5.576	152.2	34.69	31.78	0.0318	
Fluorene	y = 5627.4x + 273607	2217357	345.408	34.541	166.22	234.68	215.00	0.215	
Phenanthrene	y = 6957.3x + 236480	33812399	4825.998	482.600	178.23	3515.85	3221.04	3.221	
Anthracene	y = 8032.8x + 184687	4578156	546.941	54.694	178.23	398.46	365.05	0.365	
Pyrene	y = 10591x + 197415	6456508	574.703	57.470	202.25	475.11	435.27	0.4353	
Benz(a)anthracene	y = 12960x + 54429	4372216	333.163	33.316	228.29	310.89	284.82	0.2848	
Chrysene	y = 14630x + 92955	12998306	882.116	88.212	228.29	823.14	754.12	0.7541	
Benz(b)fluoranthene	y = 19100x + 124930	8600510	443.748	44.375	252.31	457.65	419.27	0.4193	
Benz(k) fluoranthene	y = 20930x + 89661	2661946	122.899	12.290	252.32	126.75	116.13	0.1161	
Benz(a)pyrene	y = 22771x + 38230	3624883	157.510	15.751	252.31	162.44	148.82	0.1488	
Dibenz(a,h)anthracene	y = 48412x - 11447	6161879	127.044	12.704	278.35	144.55	132.43	0.1324	
Benzo(g,h,i)perylene	y = 9891.6x + 237385	2101817	188.486	18.849	276.33	212.90	195.05	0.195	
Indeno(1,2,3-cd)pyrene	y = 23150x + 122338	3026262	125.439	12.544	276.33	141.69	129.81	0.1298	

**ตาราง 27 การคำนวณปริมาณมลพิษจากสารฟูโนติก BTEX จากเชื้อเพลิงชุดเดียว PET/TS, PET/ES และ PET/CC  
ก่อนการเผาไหม้**

ตัวอย่างผลลัพธ์ของ PET : น้ำเสียไม่สีที่ก่อนการเผาไหม้						
BTEX	y=mx+b	Area	X (ng/μL)	ppmV	MW (g/mol)	mg/m <sup>3</sup> (at ambient)
Benzene	y = 7650.4x + 264406	N.D.	N.D.	78.11	N.D.	N.D.
Toluene	y = 19258x - 125350	330035.5	23.647	2.365	92.14	8.91
Ethylbenzene	y = 91761x - 225172	177896	4.393	0.439	106.17	1.91
o-Xylene	y = 160717x - 309642	362285.5	2.152	0.215	106.16	0.93
m,p-Xylene	y = 110748x - 381401	N.D.	N.D.	106.16	N.D.	N.D.
กากบาทก่อนเผาไหม้ที่สกัดด้วยน้ำยาคลีนิคท์ ก่อนการเผาไหม้						
Benzene	y = 7650.4x + 264406	N.D.	N.D.	78.11	N.D.	N.D.
Toluene	y = 19258x - 125350	4775158	254.466	25.447	92.14	95.84
Ethylbenzene	y = 91761x - 225172	162931	4.228	0.423	106.17	1.84
o-Xylene	y = 160717x - 309642	343475	4.064	0.406	106.16	1.76
m,p-Xylene	y = 110748x - 381401	N.D.	N.D.	106.16	N.D.	N.D.
ตัวอย่างผลลัพธ์ของ PET : น้ำเสียไม่สีที่ก่อนการเผาไหม้						
Benzene	y = 7650.4x + 264406	N.D.	N.D.	78.11	N.D.	N.D.
Toluene	y = 19258x - 125350	604934	37.921	3.792	92.14	14.28
Ethylbenzene	y = 91761x - 225172	327505	6.023	0.602	106.17	2.61
o-Xylene	y = 160717x - 309642	62720	2.317	0.232	106.16	1.01
m,p-Xylene	y = 110748x - 381401	N.D.	N.D.	106.16	N.D.	N.D.

หมายเหตุ: N.D.(Not Detected)=ตกร่องไม่พบ

ตาราง 28 การคำนวณปริมาณน้ำมันละหุ่งออกาการชนิด BTEX จากเชื้อเพลิงอัคตีนิค PET/TS,PET/ES และ PET/CC  
หลังการเผาไหม้ครั้งที่ 1

ตะกอนพลาสติกชนิด PET : ชีส์อยไม้สักหลังการเผาไหม้ครั้งที่ 1						
BTEX	$y = ax + b$	Area	X (ng/μL)	ppmv	MW (g/mol)	mg/m <sup>3</sup> (at ambient)
Benzene	$y = 7650.4x + 264406$	N.D.	N.D.	78.11	N.D.	N.D.
Toluene	$y = 19256x - 125350$	N.D.	N.D.	92.14	N.D.	N.D.
Ethylbenzene	$y = 91761x - 225172$	N.D.	N.D.	106.17	N.D.	N.D.
o-Xylene	$y = 160717x - 309642$	N.D.	N.D.	106.16	N.D.	N.D.
m,p-Xylene	$y = 110748x - 381401$	N.D.	N.D.	106.16	N.D.	N.D.
ตะกอนพลาสติกชนิด PET : ชีส์อยไม้สักหลังการเผาไหม้ครั้งที่ 2						
Benzene	$y = 7650.4x + 264406$	N.D.	N.D.	78.11	N.D.	N.D.
Toluene	$y = 19256x - 125350$	N.D.	N.D.	92.14	N.D.	N.D.
Ethylbenzene	$y = 91761x - 225172$	N.D.	N.D.	106.17	N.D.	N.D.
o-Xylene	$y = 160717x - 309642$	N.D.	N.D.	106.16	N.D.	N.D.
m,p-Xylene	$y = 110748x - 381401$	N.D.	N.D.	106.16	N.D.	N.D.
ตะกอนพลาสติกชนิด PET : ชีส์ชาร์โภตพหลังการเผาไหม้ครั้งที่ 1						
Benzene	$y = 7650.4x + 264406$	N.D.	N.D.	78.11	N.D.	N.D.
Toluene	$y = 19256x - 125350$	555224	35.340	92.14	13.31	12.19
Ethylbenzene	$y = 91761x - 225172$	16764	2.637	0.264	106.17	1.14
o-Xylene	$y = 160717x - 309642$	209925	2.057	0.206	106.16	0.89
m,p-Xylene	$y = 110748x - 381401$	N.D.	N.D.	106.16	N.D.	N.D.

หมายเหตุ: N.D.(Not Detected)=ตรวจไม่พบ

**ภาคผนวก ค ສภาวะของเครื่อง GC/MS ที่ใช้ในการวิเคราะห์ของ 13PAHs และ BTEX จากการเผาไหม้เชื้อเพลิงอัดเม็ดทึ้งก่อนและหลังการหอริแฟคชัน**

**ตาราง 29 สภาวะของเครื่อง GC/MS ที่ใช้ในการวิเคราะห์ของ 13PAHs จากการเผาไหม้เชื้อเพลิงอัดเม็ด**

Item	Value		
Oven			
Initial temp (°C)	60		
Maximum temp (°C)	300		
Initial time (min)	3.6		
Equilibration time (min)	2		
Ramps	Rate (°C/min)	Final temp (°C)	Final time (min)
1	25	180	0
2	12	240	0
3	20	320	15
Post temp(°C)	50		
Run time (min)	30.3		
Inlet			
Mode	Split		
Initial temp (°C)	300		
Pressure (kPa)	93.1		
Split ratio	10.6		
Split flow (mL/min)	1.5		
Total flow (mL/min)	20.4		
Gas type	Helium gas		
Column			
Type	Capillary column		
Model	DB-5MS (30 m x 0.25 mm x 0.25 µm )		
Max temp (°C)	320		
Mode	Linear velocity		
Pressure (kPa)	93.1		
Detector			
Temp (°C)	300		
Hydrogen flow (mL/min)	45		
Air flow (°C)	450		
Mode	Linear velocity flow		
Thermal aux			
Initial temp (°C)	150		
Injector	Syringe Injector		

**ตาราง 30 สภาวะของเครื่อง GC/MS ที่ใช้ในการวิเคราะห์ของ BTEX จากการเผาไหม้เชื้อเพลิงอัดเม็ด**

Item	Value		
<b>Oven</b>			
Initial temp (°C)	40		
Maximum temp (°C)	200		
Initial time (min)	2.5		
Equilibration time (min)	1		
Ramps	Rate (°C/min)	Final temp (°C)	Final time (min)
1	15	250	1
Post temp(°C)	50		
Run time (min)	17		
<b>Inlet</b>			
Mode	Split		
Initial temp (°C)	200		
Pressure (kPa)	24.2		
Split ratio	60		
Split flow (mL/min)	0.69		
Total flow (mL/min)	45.2		
Gas type	Helium gas		
<b>Column</b>			
Type	Capillary column		
Model	DB-5MS (30 m x 0.25 mm x 0.25μm )		
Max temp (°C)	200		
Mode	Linear velocity		
Pressure (kPa)	24.2		
<b>Detector</b>			
Temp (°C)	200		
Hydrogen flow (mL/min)	40		
Air flow (°C)	450		
Mode	Linear velocity flow		
<b>Thermal aux</b>			
Initial temp (°C)	200		
Injector	Syringe injector		

**ภาคผนวก ๔ เอกสารผลการวิเคราะห์คุณสมบัติทางเคมี (Ultimate analysis) ของ  
วัตถุดินตั้งต้น ผลการวิเคราะห์การปนเปื้อนคลอไรด์และปรอทใน  
เชื้อเพลิงอัดเม็ดหั่งก่อนและหลังการหอริแฟคชัน**

ที่ หน 0632/นรข.1247		 ๑๖ กันยายน ๒๕๖๑				
<b>เรียน นางสาววิสาภากรณ์ พันธุรักษ์</b> หน่วยงานภาครัฐหรือราชการทุกแห่งและผู้เกี่ยวข้อง มหาวิทยาลัยราชภัฏวไลยอลงกรณ์ เลขที่ ๙๙ หมู่ที่ ๙ ตำบลท่าใหม่ อำเภอเมือง จังหวัดพิษณุโลก ๖๕๐๐๐						
<b>รายงานผลการทดสอบ</b> <b>ห้องปฏิบัติการ ศูนย์เครื่องมือวิทยาศาสตร์และเทคโนโลยี</b> หมายเลขอปบของรับบริการ ฝกทกท ๑๒๔๒/๖๑ วันที่รับตัวอย่างทดสอบ ๑๑ กันยายน ๒๕๖๑		<b>รายงานผลการทดสอบสำหรับที่ Rep. ทกท ๑๒๔๒</b> วันเดียวกับที่ได้รับตัวอย่าง ๑๑-๑๖ กันยายน ๒๕๖๑				
รายการ ที่	รายการทดสอบ	<b>ผลการทดสอบ</b> ชื่อตัวอย่าง : ๑. ชีส์ออย ไฟด์คากาโน่สีเขียว นามสกุลตัวอย่าง : ฝกทก NS4985/๖๑		วิธีการคิดอย่าง ที่ใช้ทดสอบ		
		ชื่อตัวอย่าง : ๒. ชีส์ ชาโกโก้ นามสกุลตัวอย่าง : ฝกทก NS4986/๖๑				
		ลักษณะเรื่องสภาพ ตัวอย่าง : ของแข็ง ลักษณะเรื่องสภาพ ตัวอย่าง : ของแข็ง				
		1	Carbon		44.219 %Wt	42.929 %Wt
		2	Hydrogen		6.282 %Wt	6.393 %Wt
		3	Nitrogen		0.156 %Wt	0.265 %Wt
4	Sulfur	N.D.	N.D.	CHNSO Analysis / CHN628.628S Truspec Micro O		
5	Oxygen	49.343 %Wt	50.413 %Wt			

N.D. = Not detected

  
 ( ผู้ช่วยศาสตราจารย์ นายสัตวแพทย์ ดร. กฤติ พิทยากร )  
 รองผู้อำนวยการศูนย์เครื่องมือวิทยาศาสตร์และเทคโนโลยี  
 ปฏิบัติการแทนผู้อำนวยการศูนย์เครื่องมือวิทยาศาสตร์และเทคโนโลยี  
 ผู้รับรองรายงานผลการทดสอบ

- รายงานนี้เป็นร่องเท้าเพื่อหัวขอร่างที่กำกับทดสอบตามที่ระบุไว้ข้างต้นเท่านั้น  
 - ห้ามลักลอบนำไปในรายงานผลการทดสอบแต่ถ้าหากมีการส่วนแยกให้หัวขอร่างฉบับโดยให้ได้รับความยินยอมจากผู้รับทดสอบ  
 จากที่ได้รับ

End of Report

มหาวิทยาลัยเทคโนโลยีสุรนารี ๑๑๑ ถนนวิภาวดีรังสิต ต.สุรนารี อ.เมือง จ.นครราชสีมา ๓๐๐๐๐ Tel.0-4422-3000 Fax.0-4422-4070  
 Sutarto University of Technology 111 University Avenue, Sub District 1 Suranaree, Muang District, Nakhon Ratchasima 30000, Thailand  
หน้า ๑๔

**ภาพ ๓๔ เอกสารผลการวิเคราะห์คุณสมบัติทางเคมี (Ultimate analysis)  
ของวัตถุดินตั้งต้นที่ส่งวิเคราะห์ที่มหาวิทยาลัยเทคโนโลยีสุรนารี**

Ionic Contamination		No.1	No.2	No.3	No.4	No.5	No.6	No.7	No.8	No.9	No.10	Specification
(ppb)	Chloride (Cl <sup>-</sup> )	46.51	51.03	32.83	60.89	51.96	39.39	82.67	92.41	96.75	39.90	N/A

ภาพ 35 เอกสารผลการวิเคราะห์การปนเปื้อนคลอร่าด์ในเชื้อเพลิงอัดเม็ดก่อนการ  
ทอริแฟคชัน ส่งวิเคราะห์ที่บริษัท เบลตัล อินดัสเตรียล (ประเทศไทย)  
จำกัด

Ionic Contamination		No.1	No.2	No.3	Specification
Anions (ppb)	Chloride (Cl <sup>-</sup> )	33.28	37.25	23.64	N/A

ภาพ 36 เอกสารผลการวิเคราะห์การปนเปื้อนคลอร่าด์ในเชื้อเพลิงอัดเม็ดหลังการ  
ทอริแฟคชันส่งวิเคราะห์ที่บริษัท เบลตัล อินดัสเตรียล (ประเทศไทย)  
จำกัด



ห้องปฏิบัติการทดลอง (มีอุปกรณ์) ชั้นต้น

สำหรับการทดสอบคุณภาพของสินค้าที่มีความซับซ้อน เช่น อาหารและเครื่องดื่ม ยา เครื่องสำอาง ผลิตภัณฑ์เคมี และวัสดุทางสถาปัตยกรรม ฯลฯ

Central Lab

วันที่ออก : 25 กันยายน 2561

เลขที่ใบอนุญาต : TRC/M61/19481

หน้า : 1/1

### ใบรายงานผลการทดสอบ

ชื่อ-นามสกุลผู้ติดต่อ	นางสาวอรุณรัตน์ พิริยะธรรมชัยเดชีพิทักษ์วงศ์
โทรศัพท์มือถือ/เบอร์ติดต่อ	099-9999999
รหัสตัวอย่าง	CM61/07958-001
ลักษณะของตัวอย่าง	ปรุงเป็นส่วนๆ : ส้มสักดี กระบวนการบรรจุ : หลอดพลาสติก, ถุงแพค, ขวดแก้ว บริเวณบรรจุ : ห้องลิฟต์ คุณสมบัติของตัวอย่าง : ดูดซึมน้ำได้ดี, แห้ง快
วันที่รับตัวอย่าง	20 กันยายน 2561
วันที่ออกผล	20 กันยายน 2561 - 25 กันยายน 2561

### ผลการทดสอบ

รายการทดสอบ	ผลการทดสอบ	หน่วย	LOD	วิธีทดลองเชิงเดียว
Mercury (Hg)	Not Detected	ppm	0.18	Detected by ICP-OES

บัญชีผลิตภัณฑ์

(นามสกุลผู้รับเอกสาร ที่ลงชื่อ)  
ผู้ทดสอบผู้รับผลการทดสอบโดยผู้รับผิดชอบ  
ผู้ตรวจสอบและ/or ผู้รับเอกสาร

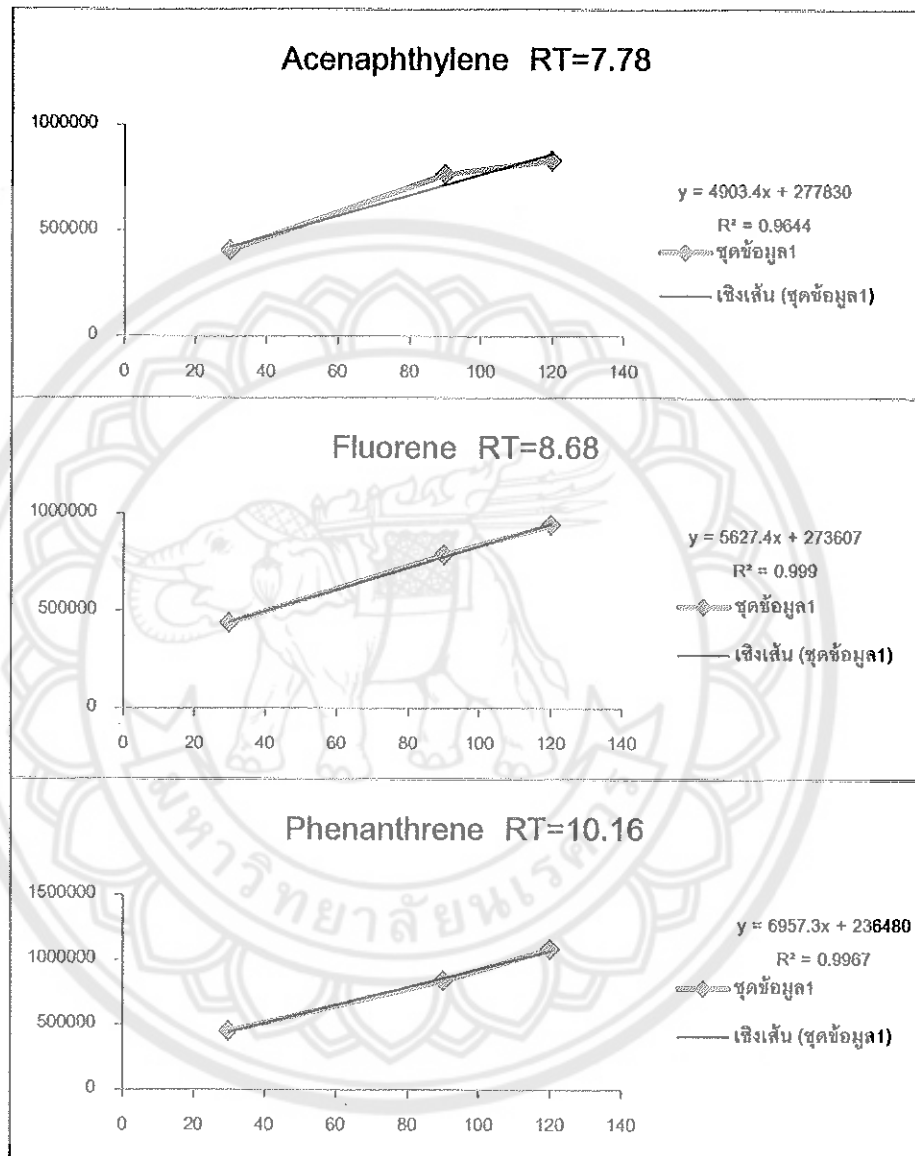
CERTIFIED

รายงานฉบับนี้เป็นผลของการทดสอบที่ดำเนินการโดยทีมงานทางห้องปฏิบัติการ  
รายงานนี้อาจถูกใช้เป็นหลักฐานในการตัดสินใจของผู้ประกอบการ ไม่สามารถนำไปใช้ในทางกฎหมายได้  
FM-QI-21-01-01/803(14.0), 12/2014 - CM

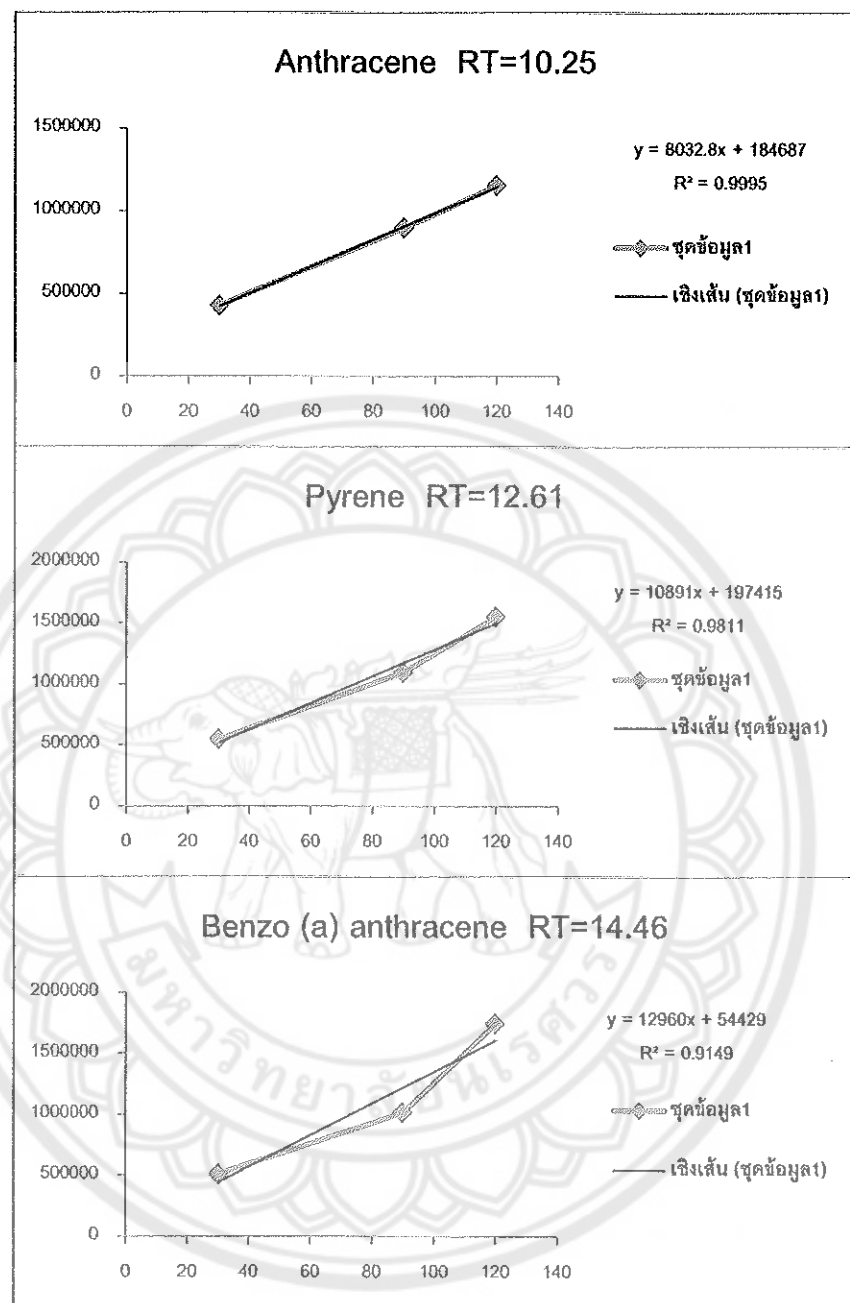


ภาพ 37 เอกสารผลการวิเคราะห์การปนเปื้อนปeroxในเชื้อเพลิงอัดเม็ด  
ห้องก่อนหลังการห่อรีไฟฟ์ชั้น ส่งวิเคราะห์ที่บริษัท  
ห้องปฏิบัติการกลาง (ประเทศไทย) จำกัด

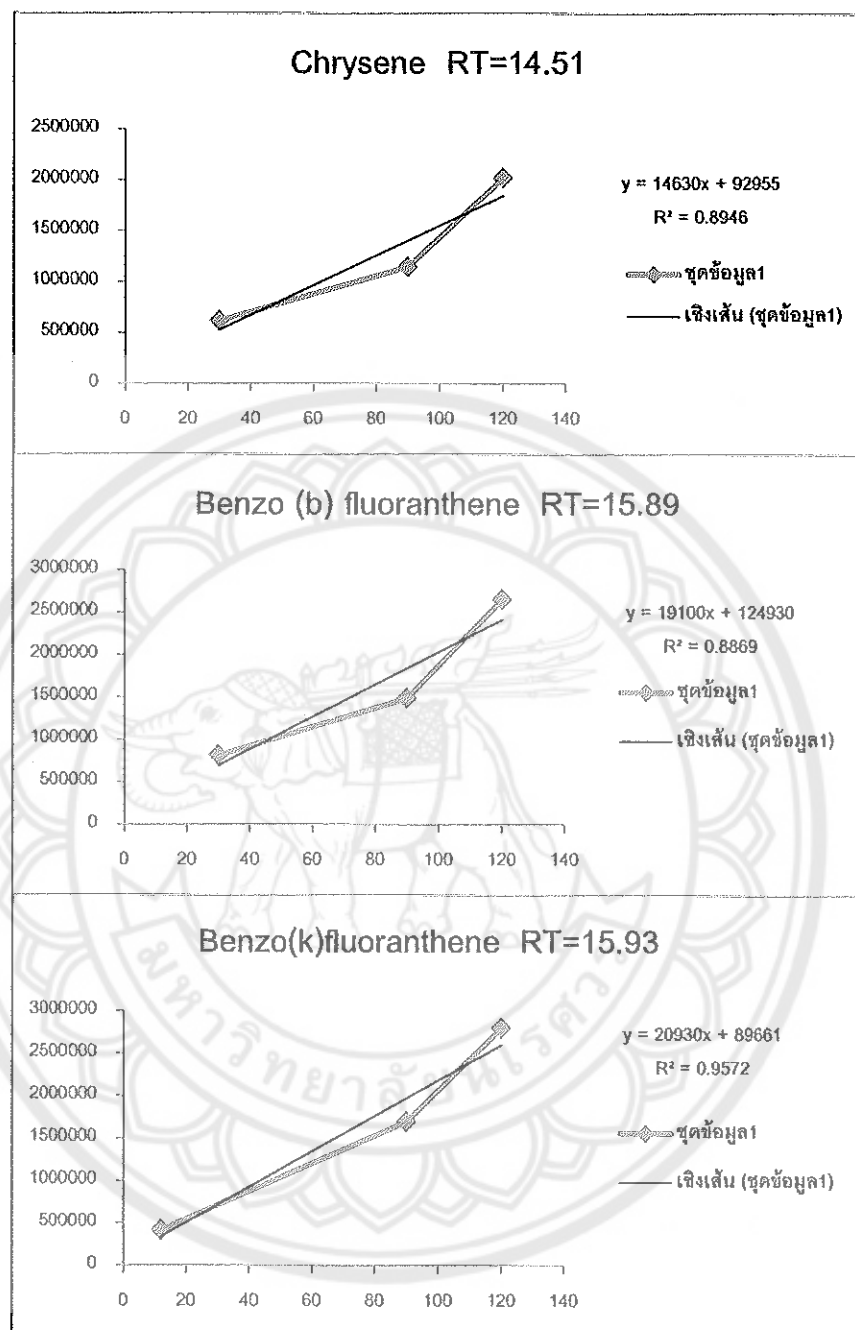
ภาคผนวก ๑ กราฟมาตรฐานแสดงความเข้มข้นของตัวอย่างสารละลายน้ำ PAHs 13 และ BTEX ที่ใช้อ้างอิงในการคำนวณ



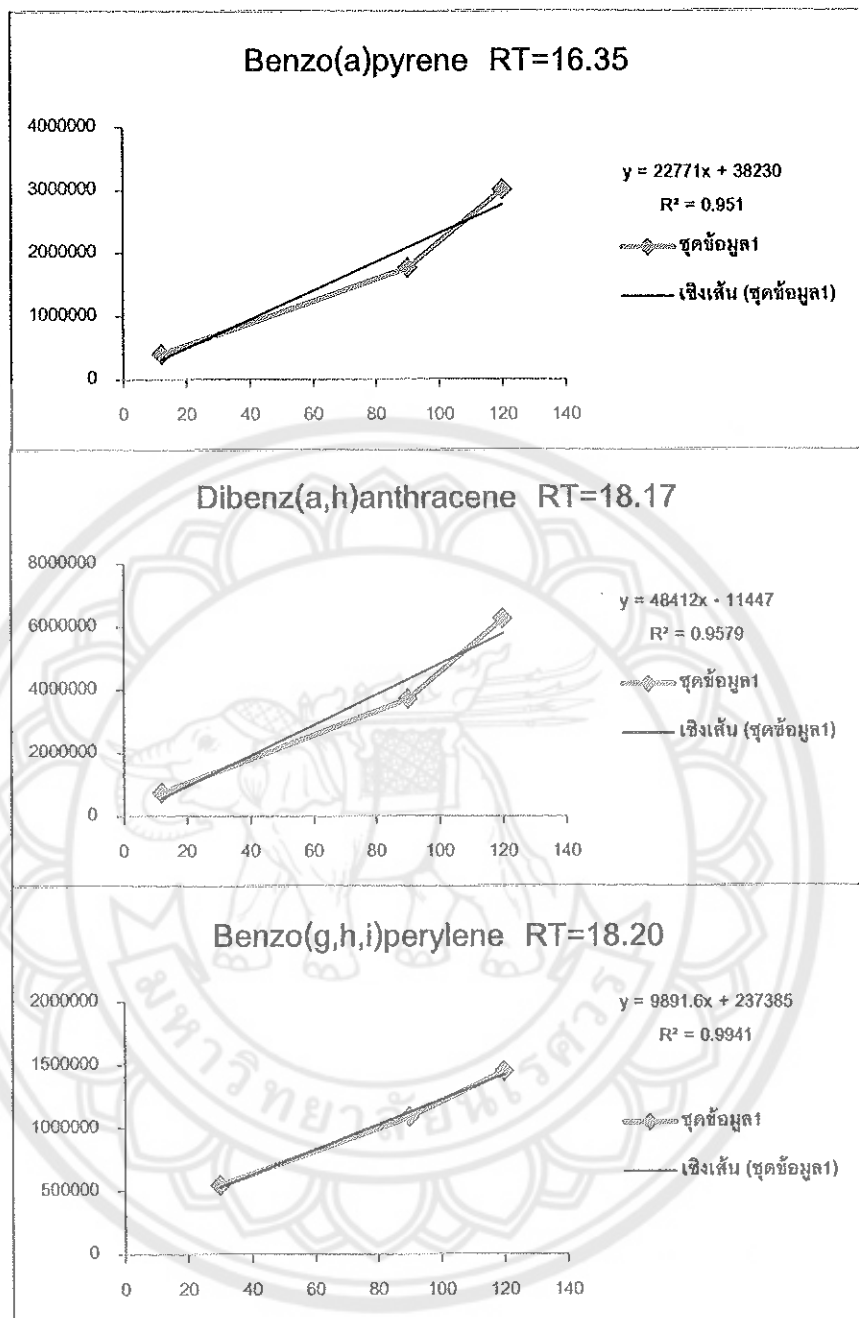
ภาพ 38 กราฟมาตรฐานของสารละลายน้ำ PAHs 13 ชนิด  
ที่ความเข้มข้น 30 90 และ 120 mg/l



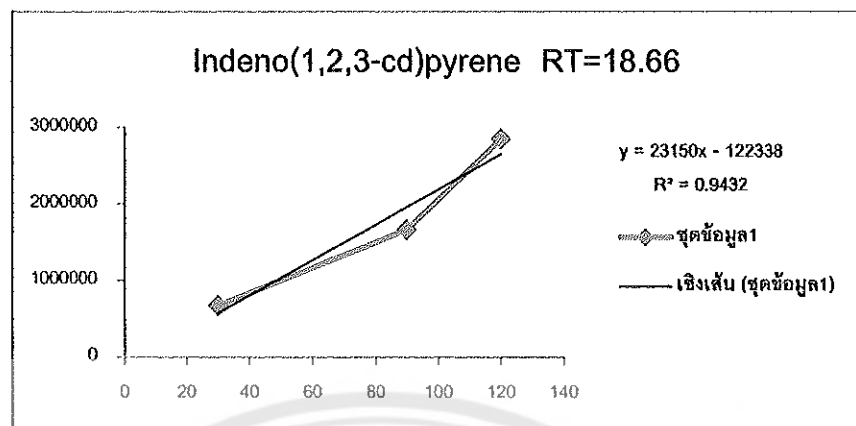
ภาพ 38 (ต่อ)



ภาพ 38 (ต่อ)

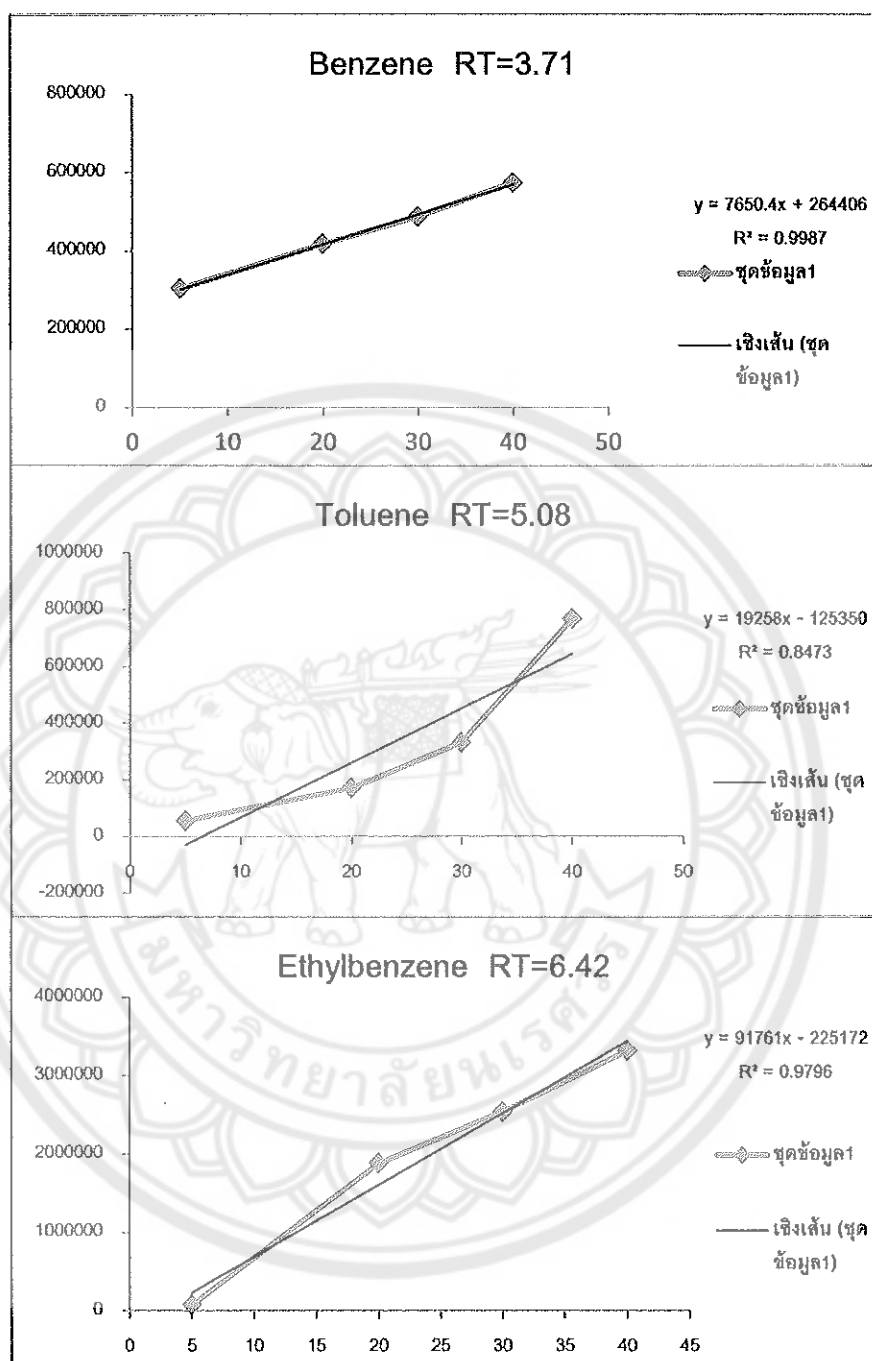


ภาค 38 (ต่อ)



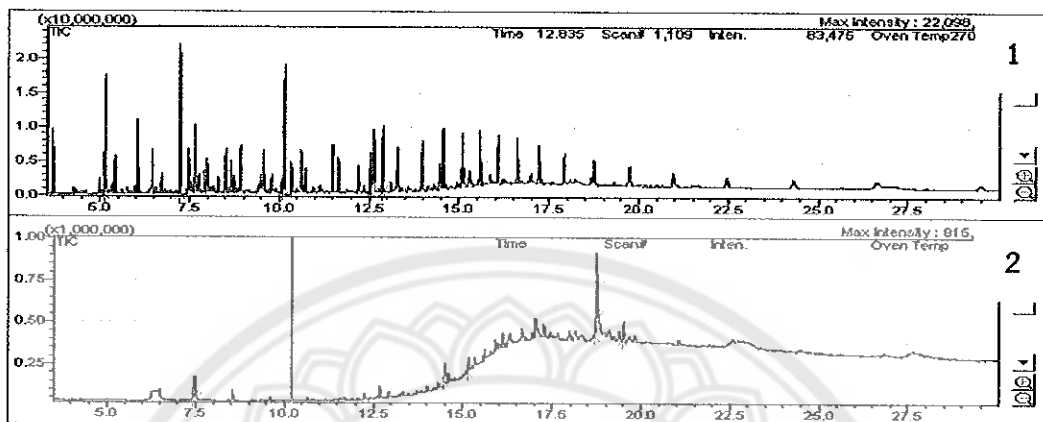
ภาพ 38 (ต่อ)





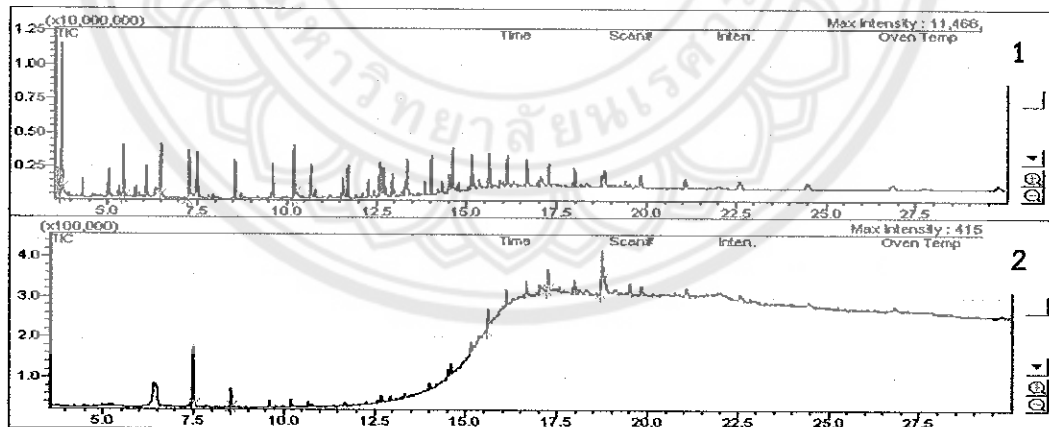
ภาพ 39 กราฟมาตรฐานของสารละลายน้ำมัน BTEX  
 ที่ความเข้มข้น 5 20 30 และ 40 mg/l

**ภาคผนวก ฉ ผลการวิเคราะห์ค่า 13PAHs และ BTEX ในเชื้อเพลิงอัดเม็ดหังก่อนและ  
หลังการทอริแฟคชันจากเครื่อง GC/MS**



**ภาพ 40 (1) ผลการวิเคราะห์ค่า 13PAHs ในเชื้อเพลิงอัดเม็ดผลิตจากตะกอนพลาสติกชนิด PET และขี้เลือยไม้สักก่อนการทอริแฟคชันจากเครื่อง GC/MS**

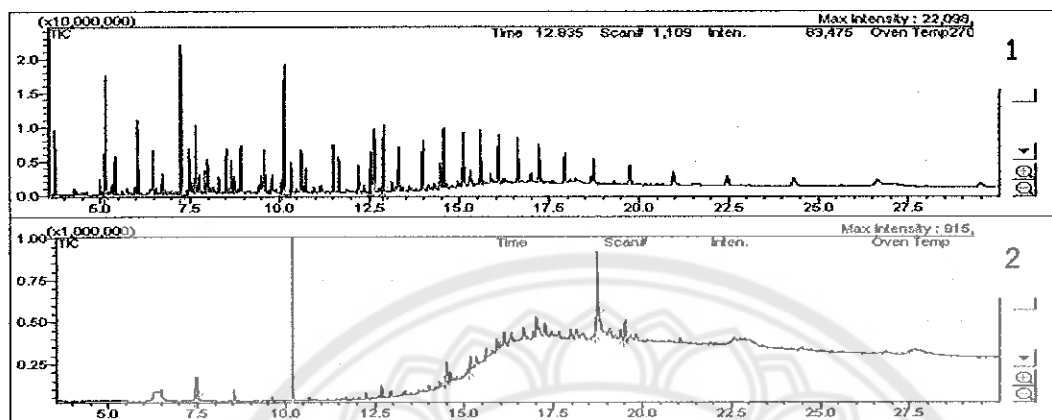
**(2) ผลการวิเคราะห์ค่า 13PAHs ในเชื้อเพลิงอัดเม็ดผลิตจากตะกอนพลาสติกชนิด PET และขี้เลือยไม้สักหลังการทอริแฟคชันจากเครื่อง GC/MS**



**ภาพ 41 (1) ผลการวิเคราะห์ค่า 13PAHs ในเชื้อเพลิงอัดเม็ดผลิตจากตะกอนพลาสติกชนิด PET และขี้เลือยไม้ยูคาลิปตัสก่อนการทอริแฟคชันจากเครื่อง GC/MS**

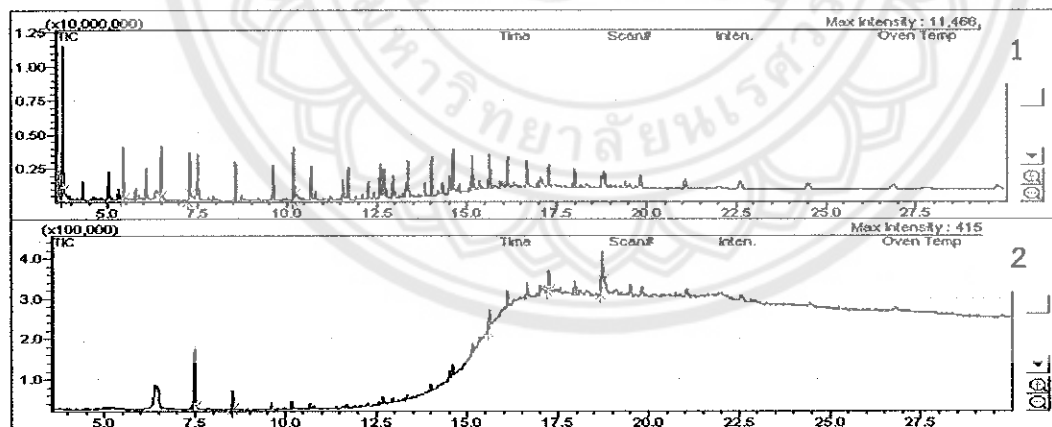
**(2) ผลการวิเคราะห์ค่า 13PAHs ในเชื้อเพลิงอัดเม็ดผลิตจากตะกอนพลาสติกชนิด PET และขี้เลือยไม้ยูคาลิปตัสหลังการทอริแฟคชันจากเครื่อง GC/MS**

ภาคผนวก ฉ ผลการวิเคราะห์ค่า 13PAHs และ BTEX ในเชื้อเพลิงอัดเม็ดหั่งก่อนและหลังการทอริแฟคชันจากเครื่อง GC/MS



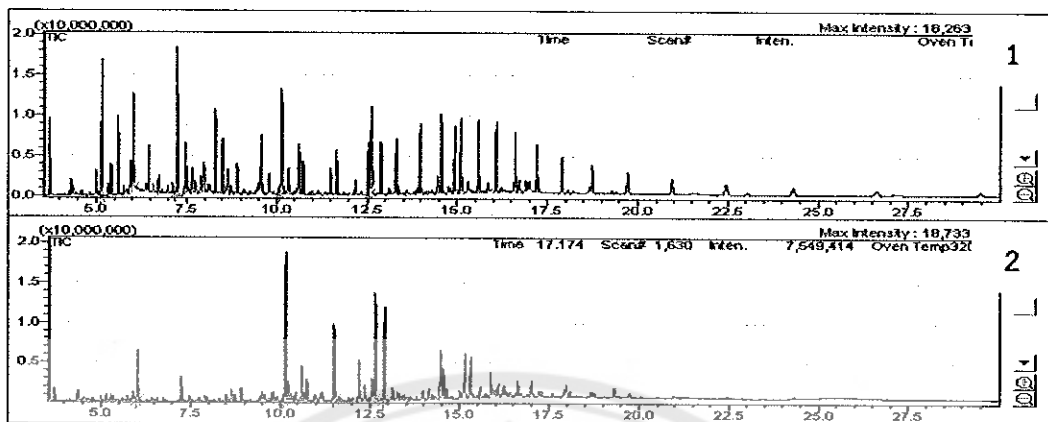
ภาพ 40 (1) ผลการวิเคราะห์ค่า 13PAHs ในเชื้อเพลิงอัดเม็ดผลิตจากตะกอนพลาสติกชนิด PET และขี้เลือยไม้สักก่อนการทอริแฟคชันจากเครื่อง GC/MS

(2) ผลการวิเคราะห์ค่า 13PAHs ในเชื้อเพลิงอัดเม็ดผลิตจากตะกอนพลาสติกชนิด PET และขี้เลือยไม้สักหลังการทอริแฟคชันจากเครื่อง GC/MS

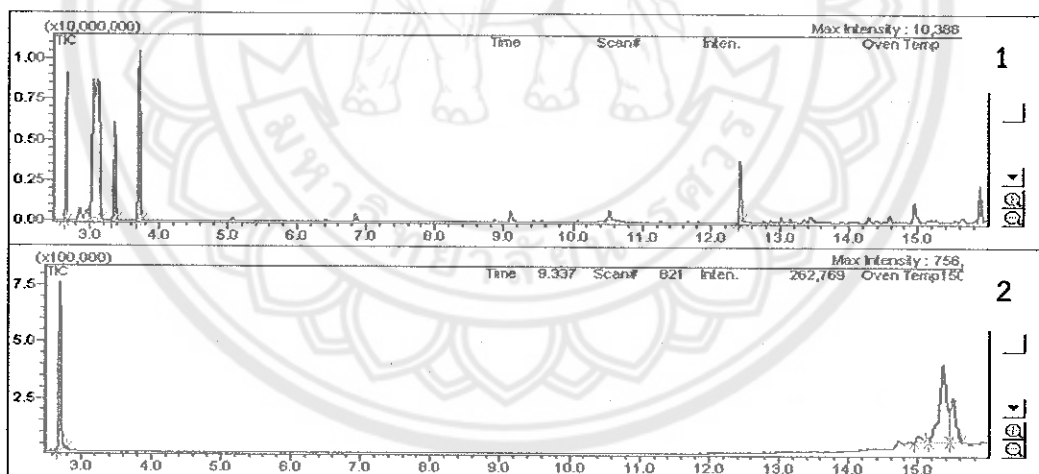


ภาพ 41 (1) ผลการวิเคราะห์ค่า 13PAHs ในเชื้อเพลิงอัดเม็ดผลิตจากตะกอนพลาสติกชนิด PET และขี้เลือยไม้ยูคาลิปตัสสก์ก่อนการทอริแฟคชันจากเครื่อง GC/MS

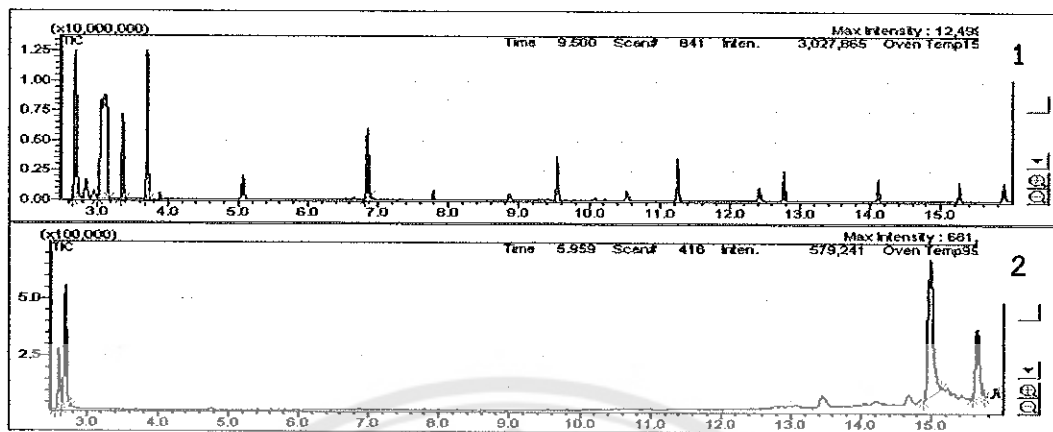
(2) ผลการวิเคราะห์ค่า 13PAHs ในเชื้อเพลิงอัดเม็ดผลิตจากตะกอนพลาสติกชนิด PET และขี้เลือยไม้ยูคาลิปตัสหลังการทอริแฟคชันจากเครื่อง GC/MS



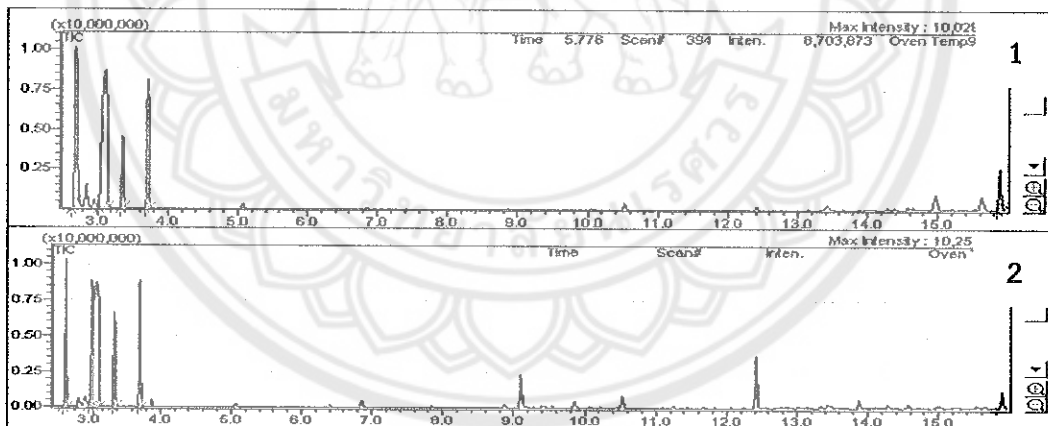
- ภาพ 42 (1) ผลการวิเคราะห์ค่า 13PAHs ในเชื้อเพลิงอัดเม็ดผลิตจากตะกอนพลาสติกชนิด PET และชั้งข้าวโพดก่อนการทำริแฟคชันจากเครื่อง GC/MS
- (2) ผลการวิเคราะห์ค่า 13PAHs ในเชื้อเพลิงอัดเม็ดผลิตจากตะกอนพลาสติกชนิด PET และชั้งข้าวโพดหลังการทำริแฟคชันจากเครื่อง GC/MS



- ภาพ 43 (1) ผลการวิเคราะห์ค่า BTEX ในเชื้อเพลิงอัดเม็ดผลิตจากตะกอนพลาสติกชนิด PET และชีลียไม้สักก่อนการทำริแฟคชันจากเครื่อง GC/MS
- (2) ผลการวิเคราะห์ค่า BTEX ในเชื้อเพลิงอัดเม็ดผลิตจากตะกอนพลาสติกชนิด PET และชีลียไม้สักหลังการทำริแฟคชันจากเครื่อง GC/MS

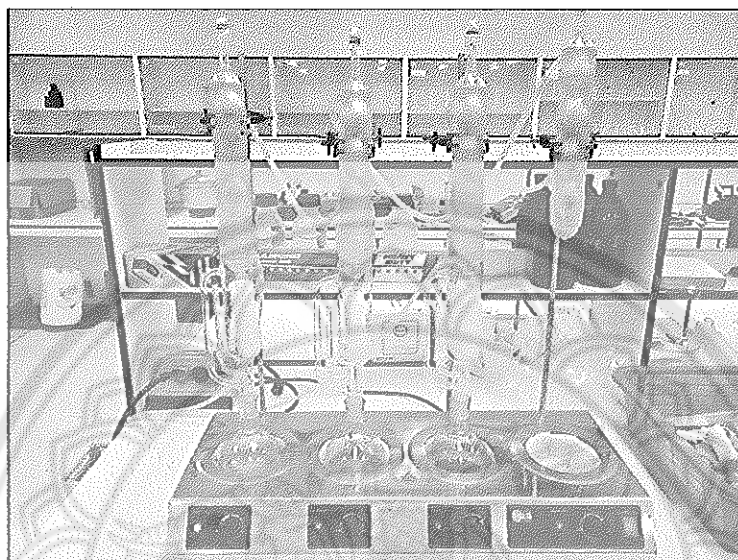


- ภาพ 44 (1) ผลการวิเคราะห์ค่า BTEX ในเชื้อเพลิงอัดเม็ดผลิตจากตะกอนพลาสติกชนิด PET และขี้เลือยไม้มีญาลีปัตสก่อนการทำริแฟคชันจากเครื่อง GC/MS
- (2) ผลการวิเคราะห์ค่า BTEX ในเชื้อเพลิงอัดเม็ดผลิตจากตะกอนพลาสติกชนิด PET และขี้เลือยไม้มีญาลีปัตสกการทำริแฟคชันจากเครื่อง GC/MS

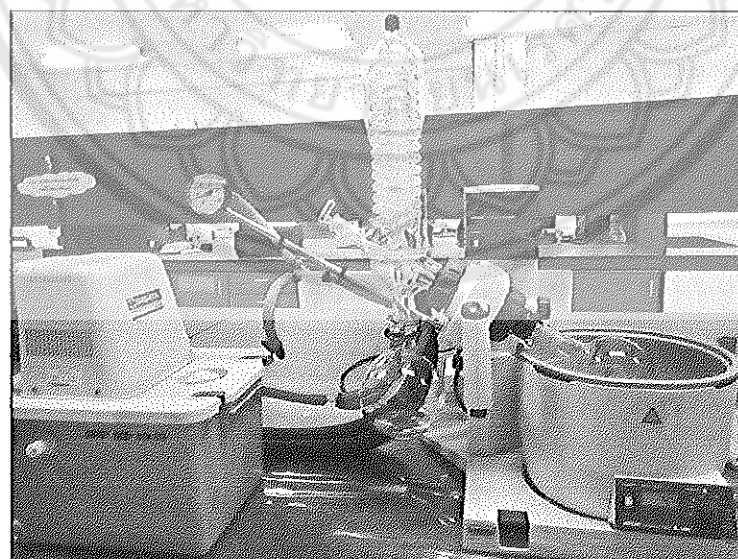


- ภาพ 45 (1) ผลการวิเคราะห์ค่า BTEX ในเชื้อเพลิงอัดเม็ดผลิตจากตะกอนพลาสติกชนิด PET และซังข้าวโพดก่อนการทำริแฟคชันจากเครื่อง GC/MS
- (2) ผลการวิเคราะห์ค่า BTEX ในเชื้อเพลิงอัดเม็ดผลิตจากตะกอนพลาสติกชนิด PET และซังข้าวโพดหลังการทำริแฟคชันจากเครื่อง GC/MS

**ภาคผนวก ช การสกัดนำไปรีามณ 13PAHs และ BTEX ในเชื้อเพลิงอัดเม็ดหั่งก่อนและ  
หลังการหอริแฟคชัน**

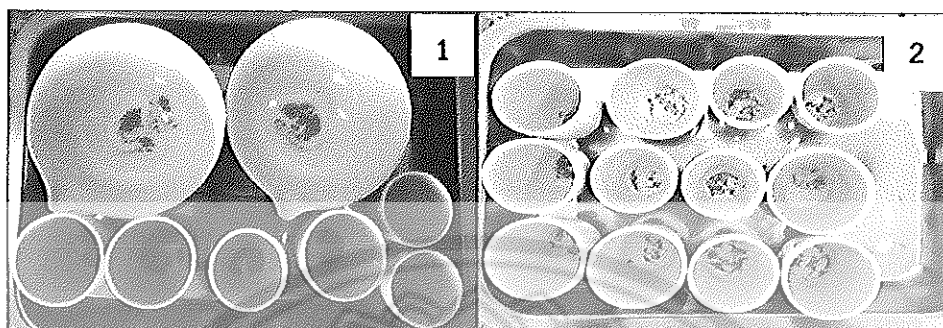


ภาพ 46 ชุดสกัดนำไปรีามณ 13PAHs และ BTEX ในเชื้อเพลิง  
อัดเม็ดหั่งก่อนและหลังการหอริแฟคชัน

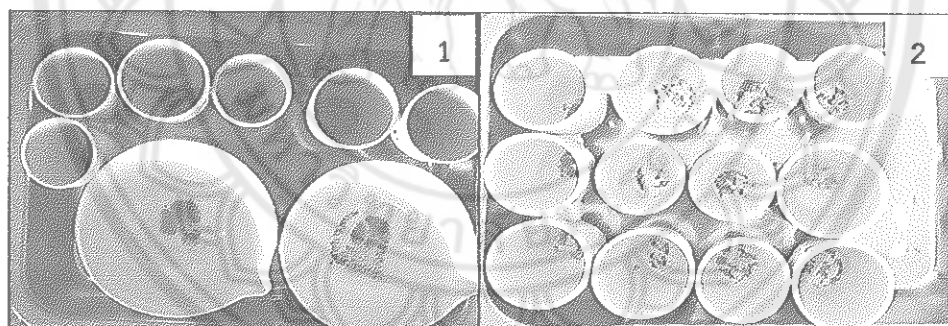


ภาพ 47 เครื่องกลั่นระบบทะเขียวแบบหมุนภายใต้  
สูญญากาศ(Rotary evaporator (BUCHI  
Rotavapor, R-200))

**ภาคผนวก ซ เก้าและปีริมาณเด้าจากการวิเคราะห์ปริมาณสารระเหยของวัตถุดิบตั้งต้นและเชื้อเพลิงอัดเม็ดทึ้งก่อนและหลังการหอริแฟคชัน**

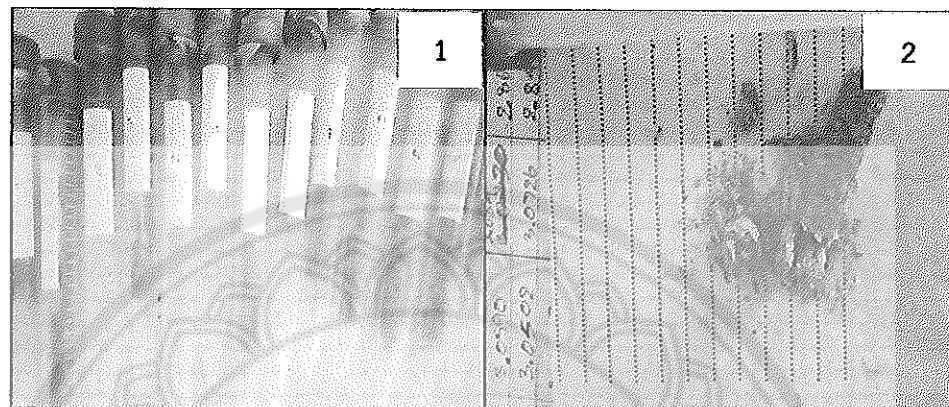


ภาพ 48 (1) เด้าของตะกอนพลาสติกชนิด PET ขี้เลือยไม้สัก ขี้เลือยไม้ยูคาลิปตัส และ ชั้งข้าวโพด เพาที่อุณหภูมิ  $750\text{ }^{\circ}\text{C}$  เวลา 3 ชั่วโมง  
(2) เด้าของเชื้อเพลิงอัดเม็ดทึ้งก่อนและหลังการหอริแฟคชัน เพาที่อุณหภูมิ  $750\text{ }^{\circ}\text{C}$  เวลา 3 ชั่วโมง



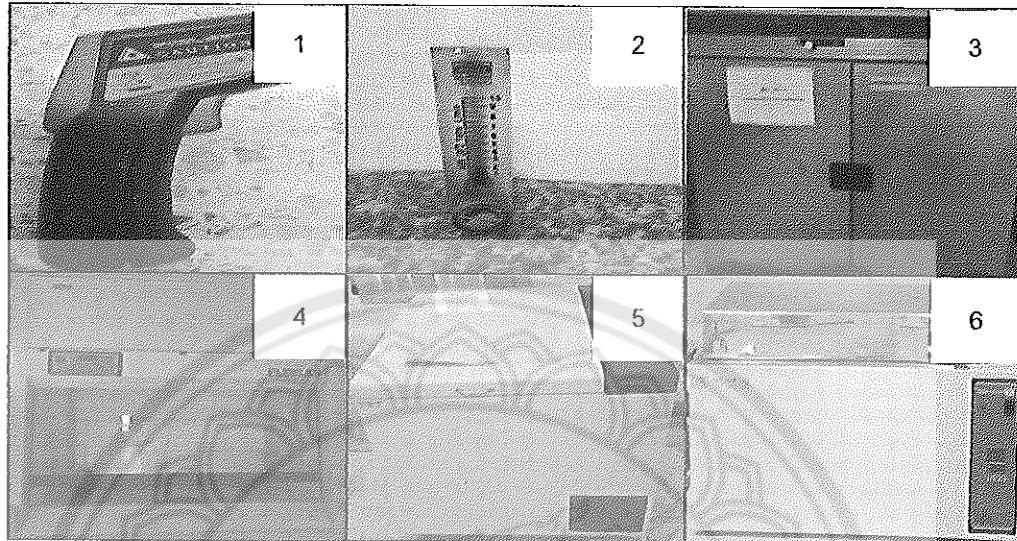
ภาพ 49 (1) เด้าจากการวิเคราะห์ปริมาณสารระเหยของตะกอนพลาสติกชนิด PET ขี้เลือยไม้สัก ขี้เลือยไม้ยูคาลิปตัส และ ชั้งข้าวโพด เพาที่อุณหภูมิ  $900\text{ }^{\circ}\text{C}$  เวลา 7 นาที  
(2) เด้าจากการวิเคราะห์ปริมาณสารระเหยของเชื้อเพลิงอัดเม็ดทึ้งก่อนและหลังการหอริแฟคชัน เพาที่อุณหภูมิ  $900\text{ }^{\circ}\text{C}$  เวลา 7 นาที

ภาคผนวก ณ การเตรียมเชือเพลิงอัดเม็ดทึบก้อนและหลังการหอริแฟคชันเพื่อทดสอบค่าดัชนีความคงทน และเชือเพลิงอัดเม็ดที่ได้จากการอัดด้วยเครื่องอัดไฮดรอลิก



ภาพ 50 (1) ตัวอย่างเตรียมทดสอบค่าดัชนีความคงทนด้วยเครื่องวิเคราะห์ค่าการแตกร่วน  
(2) ตัวอย่างหลังทดสอบค่าดัชนีความคงทนด้วยเครื่องวิเคราะห์ค่าการแตกร่วน

ภาคผนวก ญ ภาพแสดงเครื่องมือและอุปกรณ์ที่ใช้ในการทดลอง



ภาพ 51 เครื่องมือและอุปกรณ์ที่ใช้ในการทดลอง

- (1) เครื่องวัดอุณหภูมิอินฟราเรดเทอร์โมมิเตอร์ (Aropak, AIT-42R)
- (2) เครื่องวัดอัตราการไหลของอากาศ (Flow meter) (SHLLJ, LZM-6)
- (3) ตู้อบลมร้อน(Hot air oven) (Memmert)
- (4) ตู้ดูดไอสารเคมี (Fume Hood) (Flexlab, SH 150 DC)
- (5) เครื่องเขย่าควบคุมอุณหภูมิ(JSR, JSSI-300C)
- (6) อ่างน้ำควบคุมอุณหภูมิ (Water bath) (Scipro, DH-45-110)